





MBL/WHOI



0 0301 0013885 5







QK  
569 D  
P 25

5893  
P 19  
2  
1127

BEITRAGE ZUR KENNTNISS

DER

FOSSILEN BACILLARIEN  
UNGARN.

III. THEIL:

(Beschreibung der auf Tafel 1- 42 abgebildeten Arten)

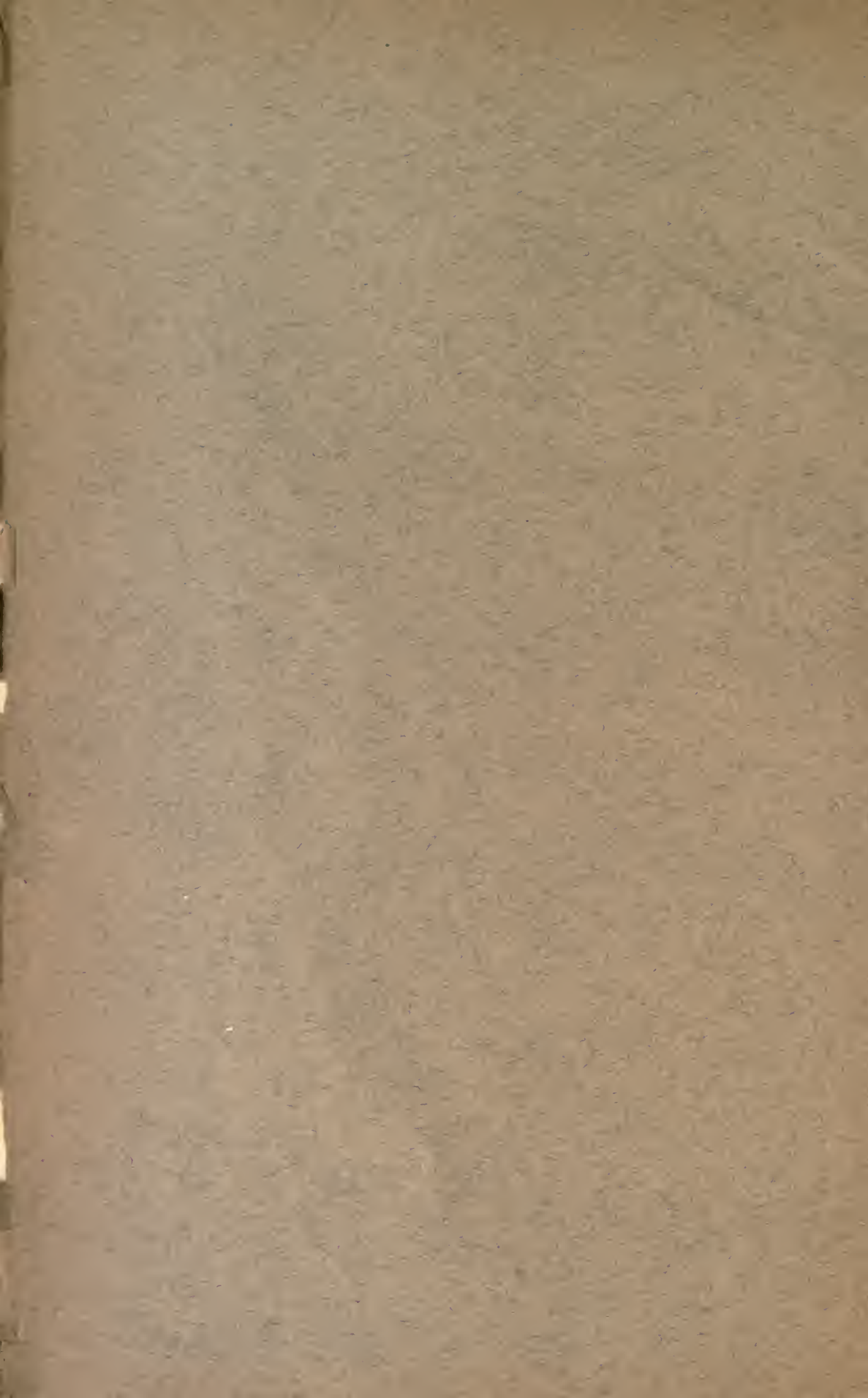
von

Dr. JOSEF PANTOCSEK.

DIRECTOR DES KÖNIGL. UNG. STAATSKRANKENHAUSES IN POZSONY.



POZSONY  
BUCHDRUCKEREI C. F. WIGAND  
1905.



Beschreibung neuer Bacillarien  
welche  
in der Pars III der  
„Beiträge zur Kenntniss der fossilen Bacillarien Ungarns“  
abgebildet wurden.



Dr. Josef Pantocsek,  
Direktor des königl. ung. Staats-Krankenhauses in Pozsony.



POZSONY.  
BUCHDRUCKEREI C. F. WIGAND.  
1905.



In folgenden Zeilen gebe ich die Beschreibung der von mir  
in dem III. Theile: Beiträge zur Kenntniss der fossilen  
Bacillarien Ungarn's auf Tafel 1—42 abgebildeten  
584 neuen oder weniger bekannten Bacillarien.

Es sind dies nicht nur fossile Süßwasser- oder Meeres-  
Bacillarien aus Ungarn, sondern auch solche aus den tertiären  
Ablagerungen aus Baldjick in Bulgarien; Abashiri, Kumatomari,  
Netanai, Senday, Setanaigori, Theschiogori und Wembets in  
Japan; Ananino und Kusnetzk im europ. Russland; sowie aus  
Pausram in Mähren.

Die tabellarische Übersicht sämmtlicher ungarischen Süß-  
wasser-Bacillarien, so wie die der neuen ungarischen marinē  
fossilen Funde von Borostelek, Káränd, Izsopallaga, Izsopallaga  
Serges und Nyermegy, so auch meine neuesten Analysen  
neuer marinē Funde aus Japan, Mähren, Nieder-Österreich,  
Russland, Steiermark und Ungarn sollen unbedingt in kürzester  
Zeit, so wie es mir meine freie Zeit gestattet, theilweise schon  
im nächsten Jahre erscheinen.

*Acanthodiscus* Pant. nov. gen. 1892. condit.

*Valvis circularibus vel subellipticis convexis cum cristis  
et punctis irregulariter dispositis ornatis.*

1. *Acanthodiscis rugosus* Pant. nov. spec.

Diametros valvae circularis 100—120  $\mu$ . Facis valvae  
superficialis irregulariter punctata cristata. Punctis disseminatis,  
Cristis ad centrum valvae circulariter dispositis elevatis.

Ocurrit in stratis antiquissimis ad Kusnetzk in Rossia europea. — Icon: Beiträge III., tab. XI., fig. 180. Synon. Gutwinskiella De Toni; Bruuiella Van Henrek: Cotyledon Brun.

2. *Achnathes baldjickii* (Brightw.) Grun.

Long. valvae 36—40  $\mu$ . lat. 23—25  $\mu$ . costis 8 in 10  $\mu$ . Ex stratis marinis tertiariis ad Borostelek, ad Nyermegy Hungariae. Icon: Beiträge III., tab. 13., fig. 204.

3. *Achnanthes baldjickii* (Brightw.) Grun. var. *subquadrata* Pant. nov. var.

Recedit a specie valvis subquadratis 40—45  $\mu$ . longis 32—34  $\mu$ . latis, polis leniter productis. et costis alternatibus longioribus et brevioribus 8 in 10  $\mu$ .

Ocurrit cum specie in stratis marinis tertiariis ad Borostelek et Nyermegy Hungariae. Icon: Beiträge III., tab. 13., fig. 202.

4. *Actinocyclus boryanus* Pant. n. s.

Valvis circularibus convexis, cum ocello intramarginali unico et appendiculis 9—12—15 marginalibus et radiis ab appendiculis ad centrum subnudum percurrentibus notatis. Structura punctata, punctis ad radios in lineas radiantes ceterum in lineas parallelas decrescentes ordinatis. Diametr. valvae 30—35  $\mu$ .

In stratis marinis tertiariis ad Bory Hungariae. Icon: Beiträge III., tab. 30., fig. 441.

5. *Actinocyclus Loczyi* Pant. nov. spec.

Discus convexus late marginatus, cum ocello intramarginali et appendiculis minoribus 28—32. Structura punctata, punctis 8—12 in 10  $\mu$ . ad appendiculos in lineas radiantes, ceterum in lineas parallelas, decrescentes ordinatis. Centrum valvae 4·5—5  $\mu$ . latum, nudum. Diametr. valvae 100—110  $\mu$ .

Ocurrit in stratis tertiariis marinis in valle Bremia ad Kavnam, ad Nyermegy et ad Kárand Hungariae. Icon: Beiträge III., tab. 30., fig. 442.

6. *Actinocyclus neogradensis* Pant. nov. spec.

Discus convexus late marginatus, cum ocello intramarginali unico et appendiculis marginalibus 25—30. Structura punctata: punctis ad apendiculos in lineas radiantes ceterum in lineas alternates longiores breviores parallelas dispositis. Diametr. valvae 65—75  $\mu$ . Punctis 7—10 in 10  $\mu$ .

Occurit in stratis marinis tertiariis ad Szelez in Hungaria. Icon: Beiträge tab. 42., fig. 573.

7. *Actinodictyon Weisflogii* Pant. n. s.

Valvis circularibus sub planis, late marginatis, cum plicis radiantibus: primariis elevatis, undis, alternatibus longioribus ab apendice marginali usque ad centrum valvae nudum percurrentibus et dein cum dimidio brevioribus a margine magis distantioribus ad centrum percurrentibus. Plicis secundariis cuneiformibus depresso irregulariter et disseminate punctulatis. Appendiculis armatis, cum rima lavi ad centrum percurrentibus. Plicis primaris ad apendiculos evidenter inflatis. Diametr. valvae 55  $\mu$ . Latitudo marginis 2  $\mu$ .

In stratis diatomaceis antiquissimis marinis ad Ananino in Russia europea. Icon: Beiträge III. tab. 5., fig. 84.

8. *Actinoptychus Baxterii* Pant. nov. spec. Syn. *A. notabilis* Pant.

Valva circularis convexa cum margine hyalino 2  $\mu$ . lato. Segmentis cuneiformibus 6. primariis elevatis ad marginem cum appendiculo minori notatis, secundariis depresso, ad marginem area circulari vestitis. Regulis 6. distinctis. Structura duplex reticulata et punctata punctis 17—20 in 10  $\mu$ . Area centralis nuda. Diametr. valvae 65—70  $\mu$ .

Ex stratis tertiariis marinis diatomaceis ad Nyermegy, Borostelek et Izsopallaga Serges in Hungaria. Icon: Beitr. III. tab. 18. fig.

9. *Actinoptychus glabratus* Grun. var. *andesitica* Pant. n. v.

Recedit a specie praesertim rimis nudis valde abbreviatis nunquam ad appendiculos percurrentibus. Diametr. valvae 82—100  $\mu$ . margine 1—1·5  $\mu$ . lato; punctis 15 in 10  $\mu$ ; appendiculis 9—12.

In stratis tertiariis marinis ad Bory in Hungaria.

10. *Actinoptychus Kusnetzkianus* Pant. nov. spec.

Valva circularis parum convexa, segmentis cuneiformibus 8; primariis elevatis ad marginem appendiculo sat crasso area pyriformi nuda cincto ornatis; secundariis depresso ad marginem cum area levi ancoriformi signatis; — regulis 6 crassis cum structura quasi hirsuta vestitis. Area centralis subhexagona, nuda. Structura valvae punctata, punctis in lineas radiantes et transversas dispositis. Diametr. valvae 90—100  $\mu$ . Punctis 6—8 in 10  $\mu$ .

In stratiis antiquissimis marinis diatomaceis ad Kusnetzk in Russia europea. Icon: Beitr. III. tab. 26. fig. 383.

11. *Actinoptychus Imperator* Pant. nov. spec.

Valvis circularibus convexis cum margine hyalino 1·5  $\mu$ . lato: segmentis cuneiformibus 6; primariis elevatis ad marginem appendiculis tribus, ab area circulari nuda cinctis notatis; secundariis depresso, a margine per aream nudam ancoriformem interruptis. Area centralis magna nuda irregulariter hexagona. Structura punctata; punctis 10 in  $\mu$ , in lineas radiantes et subcirculares dispositis. Diametr. valvae 143—158  $\mu$ ., area centralis 35  $\mu$ . lata.

In stratis tertiaris diatomaceis marinis ad Sct. Redondo in California. Icon: Beiträge III., tab. 37., fig. 522.

12. *Actinoptychus maculosus* Pant. nov. spec.

Valvis circularibus convexis cum margine hyalino 2  $\mu$ . lato notatis; segmentis cuneiformibus 6; primaris elevatis medio cum appendiculo sat crasso, ad polum superiorem et inferiorem cum rima distinta notato; secundariis depresso omnibus ad aream centralem magnam nudam irregulariter circularem percurrentibus. Structura punctata maculata. Punctis in lineas radiantes et sub circulares dispositis. Diametr. valvae 90—100  $\mu$ . Diametr. areae centralis 1·5—2  $\mu$ ; punctis 18—20 in 10  $\mu$ .

In stratis marinis diatomaceis ad Oamaru in Australia. Icon: Beiträge III., tab. 39., fig. 545.

13. *Actinoptychus Pethöi* Pant. nov. spec.

E grege *Actinopthus glabratii*. Valva circularis, marginata, margine hyalino, interne striolata 4  $\mu$ . lato. Segmentis 20 ad

regulas plicatis, cuneiformibus. Primariis elevatis ad marginem cum appendiculo parvulo notatis, secundariis depresso ad marginem cum poro rotundo nudo signatis; regulis hispidulis et rimis nudis in aream nudam centralem cum plicis cuneiformibus 10 notatam percurrentibus. Figura areae centralis hincinde asteroidea. Structura punctata; punctis 13 in 10  $\mu$ . in lineas obliquas decussatas ordinatis. Diametr. valvae 163—170  $\mu$ .

Ocurred in stratis tertiaris marinis ad Nagy Kúrtös in Hungaria. Icon: Beitr. III. tab. 12. fig. 192.

#### 14. *Actinoptychus Petiti Pant. nov. spec.*

Valvis circularibus cum segmentis cuneiformibus 6 notatis. Segmentis primariis elevatis, cum appendiculo marginali et rima nuda ad aream centralem percurrente notatis et secundariis depresso ad marginem cum poro rotundo nudo et regula hispida ad aream centralem nudam percurrente signatis. Area centralis nuda rotundata dilatata. Structura punctata, punctis 15 in 10  $\mu$ . in lineas obliquas decussatas dispositis. Diametr. valvae 74—110  $\mu$ .

Ex stratis marinis tertiaris ad Bory in Hungaria. Icon: Beitr. III tab. 7. fig. 112.

#### 15. *Actinoptychus Schmidtii Pant. nov. spec.*

Valva circularis, marginata, margine striolato. cum segmentis 6 notata. Segmentis cuneiformibus, primariis elevatis ad marginem appendiculo minuto ornatis, secundariis depresso ad latera cum regula valida, sordida, hispidula et area linearis dilata ad polum superiore inflatam cinctis. Area centralis hexagona nuda, dilatata. Structura punctata hispida, punctis sat crassis 16 in 10  $\mu$ . in lineas obliquas et decussatas ordinatis. Diametr. valvae 70—85  $\mu$ .

Habitat in stratis marinis tertiaris ad Bory in Hungaria. Icon: Beitr. III. tab. 4. fig. 65.

#### 16. *Actinoptychus Semseyi Pant. nov. spec.*

Valva circularis, marginata, margine 1·5  $\mu$ . lato punctulato. Segmentis cuneiformibus 16, primariis elevatis, secundariis

depressis ad aream centralem dilatatam asteroideam percurrentibus; omnibus ad regulas hispidas in polo marginali cum poro rotundo dilatato nuda signatis, rimis abbreviatis nudis ex medio segmenti primarii ad aream centralem percurrentibus: Appendiculis nullis. Structura punctata, punctis 15--18 in 10  $\mu$ . in lineas obliquas et decussatas dispositis. Diametr. valvae 60--70  $\mu$ .

Ocurred in stratis tertiaris marinis ad Nagy-Kürtös in Hungaria. Icon: Beitr. III. tab. 4. fig. 68.

17. *Actinoptychus Californicus* Pant. nov. spec.

Valva crenularis marginata, margine 4  $\mu$ , lato, striolata et spinis distinctis ornata. Segmentis cuneiformibus 20—24, primariis elevatis ad marginem cum appendiculo sat crasso ornatis, secundariis depressis, regulis distinctis sat hispidis cinctis. Area centralis dilatata asteroidea. — Structura duplex, punctata et maculata. Punctis 15--18 in 10  $\mu$ . in lineas obliquas et decussatas ordinatis.

Ex stratis tertiaris marinis ad Set. Monica in California. Icon: Beitr. III. tab. 41. fig. 561. Synon. *Actinoptychus spinifer* Pant. olim.

18. *Actinoptychus Staubii* Pant. nov. spec.

Valvis parvis, crenularibus, marginatis. Margine 1  $\mu$ , lato squamuoso. Segmentis cuneiformibus 12. Primariis elevatis ad marginem appendiculo distincto notatis, secundariis depressis, ad marginem vitta transversa, parum arcuata, nuda, dilatata et plicis nudis dilatatis, ad aream centralem asteroideam nudam percurrentibus. Structura duplex, punctato maculata. Punctis 18—20 in 10  $\mu$ . in lineas obliquas et decussatas dispositis. Diametr. valvae 42—55  $\mu$ .

Ex stratis marinis tertiaris ad Bory in Hungaria. Icon. Beitr. III. tab. 6. fig. 88.

19. *Amphipora hiharensis* Pant. nov. spec.

Frustulis elongatis, medio constrictis 100  $\mu$ . longis, ad polos 30  $\mu$ , medio 10  $\mu$  latis, cum plicis duabus longitudinalibus arcuato sigmoideis et polis acuminatis. Structura striata: striis transversis arcuatis ad medium 18 ad polos 22 in 10  $\mu$ .

Occurrit in stratis marinis tertiaris ad Kárán. Nyermegy, Izsopallaga Serges et Borostekek in Hungaria. Icon: Beitr. III. tab. 42. fig. 577.

20. *Amphora acuta* Greg. var. *neogena* Pant. nov. var.

Valvis 84—92  $\mu$ . longis. 18—20  $\mu$ . latis, elongatis, dorso convexis, ventre planis. Polis productis, leniter in flexis, obtusis: Striis subradiantibus 17·5 in 10  $\mu$ . punctatis. ad medium valvae, vitta dilatata nuda interruptis.

Habitat in stratis tertiaris marinis ad Bory Hungariae. Icon: Beitr. III. tab. 12. fig. 187.

21. *Amphora andesitica* Pant. nov. spec.

Valvis elongatis, 80—90  $\mu$ . longis, 14—16  $\mu$ . latis, dorso convexis, ventre planis. cum polis rotundatis. crassis, modice inflexis. Rhaphe directa. Structura punctata. Punctis 8 in 10  $\mu$ . ad dorsum uniserialiter, ad ventrem in series duabus longitudinalibus dispositis.

Species huc distingtissima oconrit in stratis tertiaris marinis ad Kárán. Hungariae. Icon: Beitr. III. tab. 13. fig. 205.

22. *Amphora argus* Pant. nov. spec.

Valvis 100—120  $\mu$ . longis, 22—25  $\mu$ . latis, dorso convexis, ventre directis, ad medium modice inflatis; polis rotundatis. Rhaphe directa, ad polos et medio, ab area nuda dilatata cincta. Structura striata, striis 15 in 10  $\mu$ . striolatis.

Habitat in stratis tertiaris aquae dulcis ad Köpecz in Transilvania. Icon: Beitr. III. tab. 22. fig. 329.

23. *Amphora boryana* Pant. nov. spec.

E grege Mexicanae. cum valvis dorso convexis, ventre subconcavis 200—225  $\mu$ . longis. 42—50  $\mu$ . latis, ad polos rotundatis. cum pilica longitudinali arcuata notatis. Structura striata. striis 6—7 in 10  $\mu$ . subradiantibus. grosse punteratis. ad ventrem uniserialiter punctatis. Rhaphe arcuata.

Habitat in stratis tertiaris marinis ad Bory in Hungaria. Icon: Beitr. III. tab. 38. fig. 531.

*24. Amphora Budayana* Pant. nov. spec.

E grege Ovalis; cum valvis elongatis, dorso convexis, ventre subplanis, directis, ad polos inflexis, rotundatis, 43—45  $\mu$ . longis, 20  $\mu$ . latis. Rhaphe directa. Structura ad dorsum striolata, striolis 10 in 10  $\mu$ . transversis, ad ventrem uniserialiter punctatis.

Habitat in stratis tertiaris aquae dulcis ad Köpecz in Transilvania. Icon: Beitr. III. tab. 23. fig. 336.

*25. Amphora gigantea* Grun. var. *andesitica* Pant. nov. var.

Valvis crassis, 100—110  $\mu$ . longis 23—25  $\mu$ . latis, ad polos obtusis, rotundatis, dorso convexis, ventre ad medium leniter inflatis. Rhaphe arcuata. Structura striata, striae 7—8 in 10  $\mu$ . crassae, punctatae, puncta 7—8 in 10  $\mu$ . — Striis ventralibus tantum polos versus ad formam insulae aggregatis.

Habitat in stratis tertiaris marinis ad Bory Hungariae. Icon: Beitr. III. tab. 17. fig. 243.

*26. Amphora intersecta* A. Schm.

Valvis 60—75  $\mu$ . longis, ad medium 10  $\mu$ . ad polos 3  $\mu$ . latis. Striis crassis, 11—12 in 10  $\mu$ . punctatis; punctis crassis, 11—12 in 10  $\mu$ .

In stratis marinis tertiaris ad Bory, Kárás, Borostelek Serges, Nyermegy in Hungaria. Icon: Beitr. III. tab. 12. fig. 190.

*27. Amphora invidenda* Pant. nov. spec.

Valvis elongatis, ad polos arcuatis, 123  $\mu$ . longis, 13  $\mu$ . latis. Polis obtusis. Rhaphe arcuata. Structura striata. Striis 6—7 in 10  $\mu$ . punctatis, ad marginem cum serie punctorum majorum notata.

Habitat in stratis marinis tertiaris ad Serges Hungariae. Icon: Beitr. III. tab. 14. fig. 210.

*28. Amphora juvenalis* Pant. nov. spec.

E grege Acutiusculae; cum valvis elongatis, 49—52  $\mu$ . longis, 7  $\mu$ . latis, ad dorsum convexis et ad ventrem planis, cum polis productis, subcapitatis. Rhaphe directa. Structura striata, striae 6—7 in 10  $\mu$ . subtiliter punctatne ad ventrem cum serie longitudinali punctorum notatis.

Habitat in stratis marinis tertiaris ad Serges Hungariae.  
Icon: Beitr. III. tab. 13. fig. 199.

29. *Amphora Kossuthii* Pant. nov. spec.

Valvis magis elongatis, 140—155  $\mu$ . longis, 13—14  $\mu$ . latis, ad dorsum leniter arcuatis, ad ventrem subplanis, cum polis modice inflexis, obtusis, incrassatis. Rhaphe leniter arcuata. Structura striata; striae in dorso 11—13 transversae, punctatae, ad ventrem cum serie marginali punctorum signatis.

Habitat in stratis marinis tertiaris ad Nyermegy Hungariae.  
Icon: Beitr. III. tab. 10. fig. 169.

30. *Amphora Lima* A. Schm. var. *fossilis* Pant. nov. var.

Ex grege Arenicola cum frustulis ovalibus, apice truncatis, membrana connectivalis nuda, biplicata. Valvis elongatis cymbiformibus 84  $\mu$ . longis, 35  $\mu$ . latis, polis obtusis, ad ventrem modice inflexis. Rhaphe curvatoflexa. Structura striata; striis 11—12 in 10  $\mu$ . subradianibus, punctatis.

In stratis marinis tertiaris ad Bory Hungariae. Icon: Beitr. III. tab. 23. fig. 347.

31. *Amphora Lunyacsekii* Pant. nov. spec.

Valvula producta 139—135  $\mu$ . longa 25  $\mu$ . lata, cum polis incrassatis, parum ad ventrem inflexis. Rhaphe arcuata, ad polos characteristice ad aream angularem dilatata. Structura striata, striis 9—10 in 10  $\mu$ . transversis, punctatis, subradianibus, ad porum centralem macula dilatata interruptis.

Habitat in stratis marinis tertiaris ad Nagy Kurtös Hungariae. Icon: Beitr. III. tab. 35. fig. 498.

32. *Amphora Nova Caledonica* Grun. var. *hungarica* Pant. n. v.

Valva 115—120  $\mu$ . longa, 20—21  $\mu$ . lata. Striis 10 in 10  $\mu$ . punctatis, ad rhaphen leniter arcuatam stauro nudo interruptis.

In stratis tertiaris marinis ad Bory Hungariae. Icon: Beitr. III. tab. 15. fig. 227.

33. *Amphora staurophora* Pant. nov. spec.

Valvis productis, 85—90  $\mu$ . longis, 13—13·5 latis, ad dorsum convexis, ventre plane. Rhaphe directa. Structura striata.

Striae 10 in 10  $\mu$ . punctatae, subradiantes, ad medium valvae stauro nudo, dilatato, interruptae.

In stratis marinis tertiaris ad Bory Hungarie. Icon: Beitr. III., tab. 15., fig. 228.

*34. Amphora sejuncta* Pant. nov. spec.

Valva elongata 117  $\mu$ . longa, 25.5  $\mu$ . lata, directa, cum doso areuato, et polis obtusis. Rhaphe directa. polos versus incrassata. Structura punctata; punctis in strias 8—10 transversas subradiantes ordinatis

In stratis tertiaris aquae dulcis ad Köpecz Transilvaniae. Icon: Beitr. III., tab. 35., fig. 495.

*35. Amphora Staubii* Pant. nov. spec.

E grege Ovalis. cum valvis cymbiformibus. 45  $\mu$ . longis, 10  $\mu$ . latis, cum polis subtruncatis, ad dorsum inflexis Rhaphe leniter arcuata. Structura striata. Striae 12 in 10  $\mu$ . punctatae, subradiantes, ad medium valvae per nodulum centrale transverse dilatum interruptae.

In stratis tertiaris aquae dulcis ad Köpecz Transilvaniae. Icon: Beitr. III., tab. 10., fig. 171.

*36. Amphora strigata* Pant. nov. spec.

Valvis vastis, incrassatis, leniter arcuatis 99.2  $\mu$ . longis 16  $\mu$ . latis, ad polos obtusis. Rhaphe arcuata, ad polos evidenter inflata. Structura striata, striae 10—12 in 10  $\mu$ . transversae, ad dorsum subradiantes, ad ventrem parallelae.

In stratis tertiaris aquae dulcis ad Sentenai in insula japonica Yesso. Icon: Beitr. III., tab. 11., fig. 181.

*37. Amphora suavis* Pant. nov. spec.

Valvis minoribus, 60—90  $\mu$ . longis, 12—18  $\mu$ . latis, leniter arcuatis cum polis vastis, obtusis. Rhaphe leniter arcuata. Structura striata. Striae punctatae 8—10 in 10  $\mu$ ., ad medium valvae per nodulum centrale dilatum interruptae.

In stratis tertiaris aquae dulcis ad Bodos Transilvaniae. Icon: Beitr. III., tab. 28., fig. 416.

38. *Amphora tertiaria* Pant. nov. spec.

Valvis arcuatis 132  $\mu$ . longis, 18  $\mu$ . latis. polos versus incrassatis, obtusis. Rhaphe leniter arcuata. Structura striata. Striae subradiantibus, punctatis, 8—9 in 10  $\mu$ .

In stratis marinis tertiaris ad Nagy Kurtös Hungariae. Icon: Beitr. III., tab. 15., fig. 225.

39. *Amphora transilvanica* Pant. nov. spec.

Valvis arcuatis, crassis, 112  $\mu$ . longis, 26  $\mu$ . latis. cum polis incrassatis. Rhaphe valida, subduplex inflexa. Structura punctata, puncta in lineas subradiantes 9—10 in 10  $\mu$ . ordinata, ad medium valvae. a poro centrali uudo. ad figuram stauro dilatato, interruptis.

In stratis tertiaris aquae dulcis ad Bodos Transilvaniae. Icon: Beitr. III., tab. 1.. fig. 12.

40. *Amphora verrucosa* Pant. nov. spec.

Valvis leniter arcuatis, incrassatis, 74  $\mu$ . longis, 12  $\mu$ . latis, polos versus obtusis. Rhaphe leniter arcuata. Striae transversae, subradiantes, punctatae, 8—11 in 10  $\mu$ . ad dorsum a vitta longitudinali nuda interruptis.

In stratis tertiaris aquae dulcis ad Köpecz in Transilvania. Icon: Beitr. III., tab. 10., fig. 166.

41. *Amphora vittata* Pant. nov. spec.

E grege Ovalis cum valvis cymbiformibus arcuatis, incrassatis, 67·5  $\mu$ . longis, 18  $\mu$ . latis, ad polos obtusis. Rhaphe directa ad polos inflexa. Striae subradiantae, punctatae, 12—14 in 10  $\mu$ . a vitta longitudinali nuda, totam valvam percurrentem et medio valvae vittis duabus transversis interruptae.

Habitat in stratis marinis tertiaris ad Bory in Hungaria. Icon: Beitr. III., tab. 22., fig. 326.

42. *Anisodiscus Pantocsekii* Grun.

Frustula e latere connect. visa angularis, cum lateribus undulatis et spinis marginalibus cincta. Long. lat. 54·5  $\mu$ ; altitudo frustulae 27·2  $\mu$ .

Habitat in stratis tertiaris marinis ad Szelez Hungariae. Icon: Beitr. III., tab. 37., fig. 225.

43. *Arachnoidiscus giganteus* Pant. nov. spec.

Valvis circularibus subplanis, late marginatis, margine 7·5  $\mu$ . lato, septatis, septis alternantim longioribus brevioribusque, radiantibus, marginem versus arcuate coniunctis; Structura cellulosa, cellulae rotundae, papillosae, ad medium valvae maiores distantioresque 1—2 in 10  $\mu$ ., marginem versus decrecentes, minores densioresque, 3—4 in 10  $\mu$ ., omnes in lineas radiantes et circulares ordinatis. Area centralis magna nuda, a corona cellularum majorum oblongarum et minorum rotundarum cincta. Diametr. valvae 216—250  $\mu$ . et areae centralis 12—15  $\mu$ .

Occurit in stratis antiquinimis marinis ad Kusnetzk in Russia europea. Icon: Beitr. III., tab. 2., fig. 26.

44. *Arachnoidiscus rossicus* Pant. nov. spec.

Valvis circularibus, planis, marginatis, cum structura septata et cellulosa. Septis alternantibus, longioribus, usque ad aream centralem nudam nunquam punctatam percurrentibus et minoribus, marginalibus, abbreviatis, omnibus ad marginem arcuato conjugatis; cellulae papillosae, de centro ad marginem decrescentibus, ad centrum majoribus 4—5 in 10  $\mu$ ., omnibus ad lineas radiantes et circulares dispositis, nunquam disseminatis.

In stratis antiquissimis marinis ad Kusnetzk in Russia europea. Icon: Beitr. III., tab. 15., fig. 225.

45. *Arachnoidiscus simbirsciunus* Pant. nov. spec.

Valvis circularibus, planis, marginatis, cum structura septata et cellulosa. Septis alternantibus, longioribus et multo brevioribus; longiores usque ad centrum dilatatum pereurrentes; breviores tandem ad marginem dispositis, omnibus ad marginem inter se arcuate conjugatis. Cellulae papillosae, ad centrum permagnae, 2 in 10  $\mu$ ., ad marginem multo minores, 4—5 in 10  $\mu$ ., omnibus in lineas radiantes et circulares dispositis. Area centralis dilatata cum poris disseminatis papilosis, magnis ornata. Diametr. valvae 142—150  $\mu$ ; areae centralis 15  $\mu$ ; latitudo marginis, 6·5  $\mu$ .

Occurit in stratis vetustissimis marinis ad Ananino in Russia europea. Icon: Beitr. III., tab. 15., fig. 223.

*46. Asteromphalus Brunii* Pant. nov. spec.

Valvis suborbicularibus, minoribus, cum area centrali hyalina subcirculari sat dilatata, cum radiis primariis 5, a centro usque ad marginem percurrentibus, excepto medio omnibus incrassatis, validioribus et secundaris 5, dimidio minoribus, tandem in area hyalina ad figura zigzag dispositis. Ceteram portiones valvae punctatae, punctis 13—15 in 10  $\mu$ . in lineas decussatas et subspirales dispositis. Diametr. valvae 30—35  $\mu$ .

Habitat in calcare diatomaceo tertiaro marino ad Borostelek Hungariae. Icon: Beitr. III., tab. 21, fig. 309.

*47. Asteromphalus Debyi* Pant. nov. spec.

Circularis, cum area media hyalina, nuda, rotundata, dilatata. Radiis primariis 5, incrassatis, ab centro usque ad marginem percurrentibus, mediano basin incrassato, quasi ampuliformi. Radiis secundariis 3, abbreviatis, cum primariis arcuate conjunctis. Ceterum discus punctatus, punctis 11—13 in 10  $\mu$ ., in lineas circulares et decussatas dispositis. Diametr. valvae 45—52  $\mu$ .

Occurit in stratis diatomaceis tertiaris marinis ad Kárád Hungariae. Icon: Beitr. III., tab. 21., fig. 305.

*48. Asteromphalus hungaricus* Pant. nov. spec.

Circularis, cum area hyalina, dilatata, rotundata. Radiis primariis 6, incrassatis, usque ad marginem percurrentibus, medio ad basim incrassato; secundariis 4 abbreviatis, cum primariis arcuate conjunctis. Structura disci punctata; punctis 8 in 10  $\mu$ . in lineas decussatas dispositis. Diametr. disci 70—80  $\mu$ .

Ex stratis marinis tertiaris ad Nyermegy et Borostekek in Hungaria. Icon: Beitr. III., tab. 30., fig. 436.

*49. Asteromphalus Grovei* Pant. nov. spec.

Circularis, cum area centrali hyalina nuda asteriformi. Radis primariis 10 incrassatis, usque ad marginem valvae percurrentibus; secundariis abbreviatis furcatis. Structura punctata, punctis 10 in 10  $\mu$ . in lineas decussatas dispositis. Diametr. 80—90  $\mu$ .

Ex stratis tertiaris marinis ad Borostekek in Hungaria. Icon: Beitr. III., tab. 25., fig. 380.

50. *Asteromphalus Kinkerii* Pant. nov. spec.

Circularis, cum area centrali hyalina, nuda, subastereoidea; radiis primaris incrassatis, longioribus 8, et secundariis abbreviatis linearibus 6 et uno furcato. Structura punctata; punctis in lineas decussatas et parallelas dispositis, 14—15 in  $\mu$ . Diametr. 55—60  $\mu$ .

In stratis marinis tertiaris ad Káránd in Hungaria. Icon: Beitr. III., tab. 24., fig. 357.

51. *Asteromphalus Lóczyi* Pant. nov. spec.

Circularis, cum area centrali hyalina dilatata; radiis primariis 8 inerassatis, mediano ad basim crasso, ad polum linearis, secundariis basim furcatis, cum primariis arcuate conjunctis. Structura valvae punctata; punctis 12—14 in 10  $\mu$ . in lineas parallelas et decussatas dispositis. Diametr. 60—70  $\mu$ .

In stratis marinis tertiaris ad Kavna-Bremia in Hungaria. Icon: Beitr. III., tab. 31., fig. 451.

52. *Aulacodiscus boryanus* Pant. nov. spec.

E grege Margaritaceorum, cum valvis rotundis, convexis, ad marginem hyalinum cum plica elevata circulari notatis, circumvallatis; processis 5 majoribus, a margine remotis, melius ad medium valvae dispositis, area nuda dilatata cinctis: rimis 5. ad aream centralem percurrentibus, minus distinctis; structura cellulosa; cellulis 3—4 in 10  $\mu$ . papillosis, ad marginem minoribus, omnibus in lineas radiantes longiores et breviores, ad marginem confluentes ordinatis. Diametr. 172·5  $\mu$ .

In stratis tertiaris marinis ad Bory in Hungaria. Icon: Beitr. III., tab. 3., fig. 43.

53. *Aulacodiscus Gurovii* Pant. nov. spec.

Valvis circularibus convexis, ad marginem cum plica circulari notatis; processis 3, majoribus, maxime elevatis, area nuda circulari dilatata cinctis, cum rima nuda elevata, ad aream centralem hyalinam circularem nudam percurrentibus. Structura punctata; puncta 6—8—10 in 10  $\mu$ . in lineas radiantes et circulares ordinata. Diametr. 150—170  $\mu$ .

In stratis marinis antiquissimis ad Kusnetzk in Russia europea. Icon: Beitr. III., tab. 21., fig. 313. — Dedicavi pulcherrimam hanc speciem Domino A. W. Guow professori geologiae in Universitate ad Charkow.

54. *Aulacodiscus Jimboi* Pant. nov. spec.

E majoribus, cum valvis circularibus, inter processos depressis, ad marginem cum vitta hyalina circulari et centro cum area hyalina nuda circulari notatis; processis marginalibus 9—12, ab area nuda circulari et plica arcuata cinctis, et in rimas abbreviatas percurrentibus. Structura papillosa. papillae a punctis minimis cinctae, papillae in lineas radiantes et meandreas dispositis, 4—7 in 10  $\mu$ ; margo cum corona punctorum parvolorum distinctus; puneta 15 in 10  $\mu$ .

In stratis marinis calcareis tertiaris ad Sendaï in Japonia. Icon: Beitr. III., tab. 41. fig. 567.

Dedicavi hanc pulcherrimam speciem amico meo Dom. K. Jimbo, professori geologiae in Tokio Japoniae.

55. *Aulacodiscus Ledebourii* Pant. nov. spec.

Valvis late marginatis, margine incospicue striolato, cum appendiculis 5 maxime elevatis et 5 depressionibus; rimis 5 radiantibus, nudis et area centrali circulari nuda hyalina notatis. Appendiculis per elevatis, incrassatis, robustis, area nuda dilatata cinctis. Structura papillose punctata; papillae incrassatae, asperae, in lineas radiantes et arcuatas dispositae 6—10 in 10  $\mu$ . Diametr. 90—105  $\mu$ .

Occurrit in stratis marinis vetustissimis ad Kusnetzk in Russia europea. Icon: Beitr. III., tab. 16., fig. 234.

Denominavi hanc insignem speciem in memoriam Dom. Dr. C. F. Ledebour auctori Floraë Rossicae.

56. *Aulacodiscus nigrescens* Pant. nov. spec.

Circularis, convexus, cum appendiculis mediocribus 3, a margine remotius depositis et area centrali parva nuda; discus nigrescens, cum structura punctata, punctis in lineas radiantes et circulares dispositis, 4—5 in 10  $\mu$ ; spatium interpunctale, cum poris subtilibus notatum. Diametr. 80—90  $\mu$ .

Habitat in stratis diatomaceis antiquissimis ad Kusnetzk Rossiae. Icon: Beitr. III., tab. 26., fig. 393.

57. *Aulacodiscus notabilis* Pant. nov. spec.

Valvis circularibus, marginatis, subplanis; margine punctato et anulo hyalino 3—4  $\mu$ . lato interno cincto; appendiculis submarginalibus 11, elevatis; plicis arcuatis depressis; rimis profundis, abbreviatis; area centralis nuda 9  $\mu$ . lata, circularis; structura cellulosa, cellulae rotundae, 3, 4, 6 in 10  $\mu$ . ad centrum valvae majores, marginem versus decrescentes, hic in lineas confluentes, ceterum in lineas radiantes et circulares dispositae. Diametr. 120—150  $\mu$ .

Habitat in stratis marinis tertiaris ad Nagy Kürtös in Hungaria. Icon: Beitr. III., tab. 9., fig. 151.

58. *Aulacodiscus Peragalloi* Pant. nov. spec.

Circularis convexus, cum appendicibus 3, robustis, ab area nuda hyalina cinctis et rimis haut distinctis, ad marginem striis validis, atris, ornatus; area centralis nuda circularis, diminuta; structura punctata, punctis 8 in 10  $\mu$ ., in lineas radiantes et circulares dispositis. Diametr. 110—125  $\mu$ .

Habitat in stratis marinis antiquissimis ad Kusnetzk in Russia. Icon: Beitr. III., tab. 25., fig. 371.

Dedicavi hanc speciem illustram Dom. M. Peragallo, investigatori Bacillarum celeberrimo a Paris.

59. *Aulacodiscus szakalensis* Pant. nov. spec.

Circularis, hyalinus, marginatus, cum margine striolato, 3  $\mu$ . lato et appendicibus marginalibus 3, validis; rimis abbreviatis sat profundis; area centralis circularis; structura punctata, punctis 3—4 in 10  $\mu$ . in lineas radiantes et circulares ordinatis. Diametr. 135—150  $\mu$ .

In stratis marinis tertiaris ad Szakal in Hungaria. Icon: Beitr. III., tab. 28., fig. 415.

60. *Aulacodiscus Tschesnowii* Pant. nov. spec.

Circularis convexus, cum plicis arcuatis, appendicis validis, ad marginem sitis et rimis profundis; area centralis irregularis

nuda; structura papillosa, papiilae 2—3 in 10  $\mu$ ., in lineas subradiantes et meandricas serratotortas ordinatae, margine hyalino, 4—6  $\mu$ . lato. Diametr. 85—216  $\mu$ .

In stratis marinis antiquissimis ad Kusnetzk in Russia. Icon: Beitr. III., tab. 6., fig. 93.

Dedicavi dom. Prof. A. P. Tschestnoff in Saratow.

### 61. *Auliscus Haradae* Pant. nov. spec.

Valva circularis. modice convexa marginata, margine hyalino, cum duobus ocellis subplanis magnis, ad marginem dispositis et area centrali hyalina nuda subcirculari. dilatata. Structura striato flammea, striae asperae confluentes, ad ocellos in lineas arcuatas, ceterum in lineas radiantes dispositis. Diametr. valvae 95—100  $\mu$ .

Habitat in calcare marino tertiario ad Sendai Japoniae. Icon: Beitr. III., tab. 31., fig. 452.

Dedicavi hanc speciem domino Prof. geologiae Harada in Tokio

### 62. *Auliscus Jimboi* Pant. nov. spec.

Circularis convexus, cum margine hyalino. ocellis duobus minoribus prominentibus, ad marginem sitis, et area centrali subrotunda, hyalina, nuda. Structura striatoflammea; striae confluentes longiores brevioresque in lineas armatas dispositis. Diametr. 85—92  $\mu$ .

Habitat in calcare tertiario marino ad Sendai in Japonia. Icon: Beitr. III., tab. 31., fig. 454.

Dedicavi hanc speciem amico meo dom. K. Jimbo protes. geol. in Tokio.

### 63. *Auliscus Lóczyi* Pant. nov. spec.

Circularis subplanus, cum margine hyalino 3  $\mu$ . lato, ocellis duobus majoribus, prominentibus et area centrali subrotunda, hyalina nuda. Structura striolata: striolae disseminatae in lineas arcuatas irregulares ordinatae. Diametr. valvae 78—85  $\mu$ .

In stratis tertiariorum marinis Kavna Bremia in Hungaria. Icon: Beitr. III., tab. 5., fig. 82.

Denominavi hanc speciem ad honorem dom. Lud. de Lóczy protes. univ. Budapestini.

64. *Auliscus Stöckhardtii Janisch var. *flavescens* Pant. nov. var.*

Valva circularis, insignis convexa, cum ocellis duobus marginalibus dilatatis, area centrali circulari hyalina nuda dilatata, et corona marginali margaritarum. Structura striata et margaritata; striae ad marginem radiantes, ad ocellos in lineas arenatoflexas dispositae, hic valva cum depressione panduriformi notata. Diametr. 108—115.

\* In calcare tertiaro marino ad Senday in Japonia. Icon: Beitr. III., tab. 31. fig. 445.

65. *Auricula Grunowii Pant. nov. spec.*

Valvis arcuatis, ad dorsum impressis 58  $\mu$ . longis, 9  $\mu$ . latis, cum polis obtusis. Structura duplex, costae 6 in 10  $\mu$ .; striis radiantibus 12 in 10  $\mu$ .

In stratis marinis tertiaris ad Nyermegy in Hungaria. Icon: Beitr. III., tab. 31., fig. 453.

66. *Auricula Pethöi Pant. nov. spec.*

Valvis elongatis, cum impressione dorsali distincta et polis obtusis. Structura disseminate punctata et striata; striae 20 in 10  $\mu$ ., transversae. Margo dorsalis cum vitta arcuata, medio impressa notatus. Long. 136—140  $\mu$ ; lat. 12—15  $\mu$ .

In stratis marinis tertiaris ad Káránd. Icon: Beitr. III., tab. 41., fig. 565.

Dedicavi dom. Julio de Petheö in Budapest.

67. *Auricula punctata Pant. nov. spec.*

Valvis vastis, elongatis, ad marginem dorsalem arcuatis, medio impressis, ad ventrem concavis; polis subacutis. Structura punctata. Puneta ad marginem in lineas radiantes disposita. Long. 148—150  $\mu$ ; lat. ad polos 22—23  $\mu$ ., ad medium valvae 12—13  $\mu$ . Punctis 12 in 10  $\mu$ .

In stratis tertiaris marinis ad Nyermegy in Hungaria. Icon: Beitr. III., tab. 39.. fig. 547.

68. *Auricula striata Pant. nov. spec. Syn. *Amphiprora striata* Paut.*

Valvis elongatis, medio dorsi constrictis, cum polis obtusis 130—140  $\mu$ . longis, 26—30  $\mu$ . latis. Structura striolata, striolis

12—13 in 10  $\mu$ . in lineas longitudinales et transversas arcuatas ordinatis. Margo valvae hyalinus 2·5  $\mu$ . latus.

Habitat in stratis marinis tertiaris trachyticis ad Nyermegy in Hungaria. Icon: Beitr. III., tab. 39., fig. 543.

69. *Auricula Szontaghii* Pant. nov. spec.

Valvis reniformibus, 50—60  $\mu$ . longis, ad polos 39—40  $\mu$ . latis, ad medium constrictis, 23—25  $\mu$ . latis, ad dorsum eam rhabpe arcuata valida notatis. Structura striolata, striae arcuato furcatae 10 in 10  $\mu$ .

Habitat in stratis marinis tertiaris calcareis ad Borostekek in Hungaria. Icon: Beitr. III., tab. 7., fig. 104.

Proxima *Auriculae Amphitritis* Castrac. qua viva in mare Adriatico et in mare mediteraneo ad Villefranche occurrit et a qua species nostra structura robustiore sat distinctae.

70. *Biddulphia crassiuscula* Pant. nov. spec.

Valvis sub ellipticis marginatis, magis convexis byalinis ad polos cum ocellis duobus rotundatis, hyaliniis, nudis marginatis, ad centrum valvae poris rotundatis disseminatis notatis. — Longit. 74—76  $\mu$ ., lat. 54—56  $\mu$ ., lat. marg. 1—1·2  $\mu$ ., diam. ocell. 6  $\mu$ .

Occurrit in stratis antiquissimis marinis ad Kusnetzk in Russia europea. Icon: Beitr. III., tab. 34., fig. 483.

71. *Biddulphia fistulosa* Pant. nov. spec.

Valvis elongatis, polygibbis, cum gibbo medio maxime elevato et cornubus duobus elevatis ornatis. Structura septata et punctata. Septis hyalinis, nudis, transversis, inter gibbos positis. Punctis in lineas pararellas ordinatis. Long. valvae 158—161  $\mu$ .

Occurrit in stratis antiquissimis marinis ad Kusnetzk in Russia. Icon: Beitr. III., tab. 18., fig. 273.

72. *Biddulphia Grorei* Pant. nov. spec.

Valvis minoribus ellipticis, ad polos subacuteis, cornutis 23·2  $\mu$ . long., 13·6  $\mu$ . latis, convexis, marginatis, margine septato, ceterum valva cum poris rotundis, grossis, disseminatis, ornata, poris 4 in 10  $\mu$ .

Oecurrit in stratis tertiaris marinis ad Oamaru in Nova Codanonia. Icon: Beitr. III., tab. 9., fig. 147.

73. *Biddulphi Guowii* Pant. nov. spec.

Valvis ellipticis bicornutis, cum gibbo centrali elevato. Structura punctata, punctis in lineas paralellas ordinatis. Long. valvae 79.5  $\mu$ .

In stratis vetustissimis marinis ad Kusnetzk in Russia europea. Icon: Beitr. III., tab. 24., fig. 366.

Dedicavi hanc speciem dom. prof. Guow in Charkow.

74. *Biddulphia Jimboi* Pant. nov. spec. Syn.: *Biddulphia Japonica* Pant.

Valvis elongatis subellipticis polygibbis, septatis, cum cornubus duobus lateralibus et gibbo centrali maximo, magis elevato; structura spinulosa et disseminate punctata. Long. valvae 82—124  $\mu$ . long. cornubus 34—36  $\mu$ , alt. gibbi centrali 27—40  $\mu$ .

Oecurrit in stratis marinis tertiaris ad Wembets in insula Jesso. Icon: Beitr. III., tab. 18., fig. 267, 271.

75. *Biddulphia permagna* Pant.

Ex stratis marinis tertiaris ad Bory in Hungaria.

Icon: Beitr. III., tab. 35., fig. 500 ex lat. con. visa.

76. *Biddulphia Tschestnowii* Pant. nov. spec.

Valvis subellipticis, magis convexis; cornubus duobus elevatis, prominentibus, conicis, ad polos dispositis et structura irregulariter punctata striolata ornatis. Long. 108  $\mu$ , lat. 85  $\mu$ .

In stratis vetustissimis marinis ad Kusnetzk in Rossia. Icon: Beitr. III., tab. 23., fig. 338.

Dedicavi hanc speciem eximiam amico meo A. P. Tschestnow in Saratow.

77. *Biddulphia Tuomeyi* (Bail.) Rop. var. *boryana* Pant.

Valvis elongatis, polygibbis, cum dissepimentis 4 transversis et cornubus duobus ad polos sitis distinctis. Structura punctata: punctis 8 in 10  $\mu$ , in lineas longitudinales subrectas

et subradiantes ordinatis, gibbus centralis cum setis duabus elongatis distinctus. Cornua crassa. Long. 127  $\mu$ .

In stratis marinis tertiaris ad Bory in Hungaria. Icon: Beitr. III., tab. 11., fig. 185.

78. *Campylodiscus Bergonii* Pant. nov. spec.

Suborbicularis, 76—95  $\mu$ . longus, 68—84  $\mu$ . latus, subplanus, costatus; costis marginalibus validis squamaeformibus radiantibus, 4 in 10  $\mu$ . validis, ad marginem confluentibus, bie poro majori et spinula signatis. Area centralis longitudinalis nuda, hyalina. Ceterum structura striolata: striolis ex costis exeuntibus, in lineas radiantes, ad aream centralem percurrentibus.

In stratis marinis tertiaris trachyticis ad Nyermegy in Hungaria. Icon: Beitr. III., tab. 39., fig. 537.. tab. 41., fig. 569.

Denominavi ad honorem celeb. diatom. Dom. Bergon.

79. *Campylodiscus boryanus* Pant. nov. spec.

Subcircularis, cum corona costarum alternantim longioribus, brevioribusque squamaeformibus, ad centrum in spina longa transientibus, 3—4 in 10  $\mu$ ., spatio intercostale transverse striolato et margine striolato ornatus. Centrum irregulariter striolatum, bie unilateraliter ad formam sellae elevatus. Atitudo valvae 100—105  $\mu$ ; lat. 109—111  $\mu$ .

Ex stratis marinis tertiaris ad Bory in Hungaria. Icon: Beitr. III., tab. 40., fig. 550.

80. *Campylodiscus Brassayi* Pant. nov. spec.

Suborbicularis, cum corona punctorum marginalium et costis arcuatiss radiantibus. in aream centralem longitudinalem nudam dilatatam, cum lineis punctata striolatis, transientibus. Valva ad polum inferiorem plicatoelevata. Long. 58—60  $\mu$ ., lat. 54—56  $\mu$ : costis 10 in 20  $\mu$ .

In stratis marinis tertiaris ad Bory in Hungaria. Icon: Beitr. III., tab. 30., fig. 443.

Dedicavi ad honorem Prof. S. de Brassay in Kolozsvár.

81. *Campylodiscus bremianus* Pant. nov. spec.

Suborbicularis. 85—90  $\mu$ . longus. 78—80  $\mu$ . latus, cum margine striolato 3·5  $\mu$ . lato et costis 3. in 10  $\mu$ . marginalibus, alternantim longioribus, brevioribusque ad formam squamae dilatatis, non nullis ad centrum in spina longa transientibus. Area centralis bilateraliter arcuato impressa, irregulariter reticulata striolata. Valva ad polum inferiorem ad formam sellae inflexa.

In stratis tertiaris marinis in valle Bremia ad Kavnam in Hungaria. Icon: Beitr. III., tab. 40., fig. 548.

82. *Campylodiscus contortus* Pant. nov. spec.

Valvis ad formam 8 contortis, cum polis obtusis depressis. 130—140  $\mu$ . longis, 78—82  $\mu$ . latis. Margine fenestrato; costis arcuatis radiantibus; spaciū intercostale leniter striolatum. Area centralis leniter striolata, elevato inflexa.

In stratis tertiaris aquae dulcis ad Köpecz in Transilvania. Icon: Beitr. III., tab. 35., fig. 501.

83. *Campylodiscus crassus* Pant. nov. spec.

Circularis 74·8  $\mu$ . longus, 73·1  $\mu$ . latus, eum margine striolato. Costis marginalibus 2·5 in 10  $\mu$ . arenatoradiantibus, ad aream centralem longitudinalem nudam hyalinam, in lineas punctatas transientibus et plica arcuata bilateraliter interruptis.

Ex stratis tertiaris marinis ad Káránd in Hungaria. Icon: Beitr. III., tab. 37., fig. 516.

84. *Campylodiscus dilatatus* Pant. nov. spec.

Circularis dilatatus, 154—160  $\mu$ . longus, 147—160  $\mu$ . latus, cum margine 2·5  $\mu$ . lato, striolato. Costis validis, ad formam squamae confluentibus, marginalibus, alternantim longioribus brevioribusque, in lineas radiantes indistinctis, leniter punctatis, ad centrum ad figuram clepsydrae elevatam transientibus. Centrum reticulatostriolatum. Valva ad polum inferiorem plica arcuatotorta notata.

In stratis tertiaris marinis ad Káránd in Hungaria. Icon: Beitr. III., tab. 38., fig. 532.

85. *Campylodiscus Eulensteini* Pant. nov. spec.

Syn. *Campylodisens limbatus* Breb. var. *astralis* Eulenst.  
 Long. valvae circularis 94.5—100  $\mu$ . lat. 90—92  $\mu$ . Costis  
 abbreviatis. 3—3.5 in 10  $\mu$ ., radiantibus, ad formam squamae  
 dilatatis, ad marginem punctatis. Costae polos versus sitis, ad  
 centrum quasi spinosae. Area centralis dilatata, plicis dnbus  
 transversis et puocis disseminatis notata. Margo valvae strio-  
 latus 1.5  $\mu$ . latus.

In stratis tertiaris marinis ad Nagy Kürtös in Hungaria,  
 Ieon: Beitr. III.. tab. 13., fig. 198.

86. *Campylodiscus Grunowii* Pant. nov. spec.

Valvis parvulis, obovato cordatis, parum inflexis, 48—50  $\mu$ .  
 longis, 51—53  $\mu$ . latis, cum margine hyalino striato, corona  
 margaritorum ornato, 3  $\mu$ . lato. Costis arcuatis, usque ad aream  
 nudam longitudinalem ad formam raphe dilatata. transien-  
 tibus 8 in 10  $\mu$ .

Ex stratis tertiaris marinis in valle Bremia ad Karnam  
 in Hungariam sitis.

Dedieavi hanc speciem amico meo dom. A. Grunow in  
 Berndorf, diatomologo celeberrimo.

87. *Campylodiscus hibernicus* E. var. *transsilvanicus* Pant. nov. var.

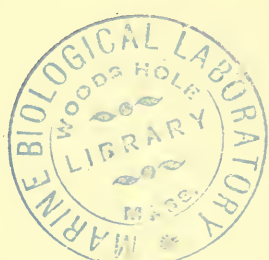
Valvis variabiliter tortis. Forma primaria valvae cordato  
 obovata ad formam sellae contorta, squamis marginalibus  
 dilatatis, confluentibus et costis validis, punctatis, ad aream  
 centralem perecurrentibus. Long. 30—35  $\mu$ ., lat. 40—43  $\mu$ .

In stratis aquae dulcis tertiaris ad Köpecz in Transilvania,  
 Ieon: Beitr. III.. tab. 10., fig. 163.

88. *Campylodiscus Jimboi* nov. spec.

Valvis subcircularibus, ad polum inferiorem leniter im-  
 pressis, 80—84  $\mu$ . longis. 77—80  $\mu$ . latis, cum margine hyalinio,  
 3.5  $\mu$ . lato, squamis dilatatis et corona margaritarum notato.  
 Costis validis hyalinis arcuatis, ad aream longitudinalem nudam  
 pereurrentibus. 4—5 in 10  $\mu$ .

In stratis marinis tertiaris ad Teshiogori in insula Jesso  
 sitis. Ieon: Beitr. III.. tab. 28., fig. 409.



89. *Campylodiscus Kidstonii* Pant. nov. spec.

Suborbicularis, 84  $\mu$ . long., 82  $\mu$ . latus, cum margine striolato 25  $\mu$ . late. Costis 3—5 in 10  $\mu$ ., ad formam spuamiae dilatatis, alternantim longioribus brevioribusque; costae fere lageuniformae, cum spina longa arenata, ad aream centralem transientes. Area centralis dilatata, subreniformis hyalina nuda, corona margaritarum ovalium 7—8 in 10 perinsigne cincta. Valva polos versus duabus plicis arcuatis notata.

Ex stratis tertiaris marinis ad Bory in Hungaria. Icon: Beitr. III., tab. 13., fig. 200.

Dedicavi hauc speciem Dom. Kidston in Stirling Scotiae.

90. *Campylodiscus Kützingii* Bail. Syn. *Campylodiscus striolatus* Grun.

Haec rara species sat frequens in stratis marinis tertiaris hungaricis ad Bory, Borostelek, Bremia, Káránd, et Nyermegy sitis.

Valva fere orbicularis 85—90  $\mu$ . long., 85—90  $\mu$ . lata. Margine hyalino corona margaritarum notato 2·5—3  $\mu$ . late. Costis arcuatis transversis, ad aream nudam longitudinalem centralem percurrentibus, 6—8 in 10  $\mu$ .

Icon: Beitr. III., tab. 30., fig. 433.

91. *Campylodiscus neogradensis* Pant. nov. spec.

Orbicularis, 86—90  $\mu$ . longus, 85—88  $\mu$ . latus, fere planus, marginatus, cum margine 1·5  $\mu$ . lato guttato striolato, costatus; costis validis, ad formam squamae dilatatis hyalinis, abbreviatis, marginalibus, 4—5 in 10  $\mu$ . Area centralis dilatata subnuda. punctis nonullis indistinctis notata.

Ex stratis tertiaris marinis ad Szakal in Hungaria. Icon: Beitr. III., tab. 37., fig. 518.

92. *Campylodiscus noricus* G. var. *fossilis* Pant. nov. var.

Valva subericularis subplana 280  $\mu$ . longa, 273·5  $\mu$ . lata, cum margine hyalino nudo 5·5  $\mu$ . lato et costis validis ad marginem in lineam nudulosam coronaliam confluentibus ornata. Costis 1 in 10  $\mu$ ., dilatatis punctatis, radiantibus, usque ad aream

centralem striolato punctatam percurrentibus, spatium intercostale hyalinum nudum.

In stratis tertiaris aquae dulcis ad Bodos in Transilvania.  
Icon: Beitr. III., tab. 14., fig. 215.

93. *Campylodiscus reticulatus* Pant. nov. spec.

Valvis subcircularibus. 92—98  $\mu$ . altis, 104—108  $\mu$ . latis, ad polum inferiorem plica arcuata, ad centrum magis dilatatum, fere clepsydraeforme, irregulariter cum striolis reticulariter confluentibus notatis. Costis validis, hyalinis, nudis, ad formam squamae dilatatis, alternantim longioribus, brevioribusque, marginalibus, 3—4 in 10  $\mu$ . ad aream centralem in spina longitudinali transientibus, spinis, ad formam squamae majori confluentibus. Margo hyalinus 35  $\mu$ . latns.

Ex stratis marinis tertiaris ad Borostekek in Hungaria.  
Icon: Beitr. III., tab. 39., fig. 539.

94. *Campylodiscus squamosus* Pant. nov. spec.

Subcircularis 52—55  $\mu$ . altus et latus, marginalis, margine 1·5  $\mu$ . striolato. Costis validis, ad formam squamae dilatatis, 3 in 10  $\mu$ . marginalibus, abbreviatis, ovalibus, ad aream centralem cum spina arcuata transientibus; spatium interspinale transverse striolatum. Valva ad polos plicis duabus ad formam sellae tortis notata. Area centralis clepsydraeformis, reticulata, punctata, dilatata.

Ex stratis calcareis marinis tertiaris ad Borostekek in Hungaria. Icon: Beitr. III., tab. 37., fig. 517.

95. *Campylodiscus szakalensis* Pant. nov. spec.

Circularis. 65—70  $\mu$ . altus, 68—71  $\mu$ . latus, cum margine spinuloso. 1·5  $\mu$ . lato; costis 4 in 10  $\mu$ ., dilatatis, ad formam squamae dilatatis, in spina arcuata ad aream centralem percurrente ornatus. Area centralis dilatata, rotundata, hyalina, nuda, ad polos plicis duabus ad formam sellae tortis, cincta.

In stratis tertiaris marinis ad Szakal in Hungaria. Icon  
Beitr. III., tab. 36., fig. 503.

96. *Campylodiscus Szontaghii* Pant. nov. spec.

Orbiculares. 144—150  $\mu$ . latus, suplanus, cum margine spinuloso 3  $\mu$ . lato; costis radiantibus abbreviatis, marginalibus ad formam squiniae dilatatis, inflatis, cum spina arenata, in area centrali hyalina magna subquadrata dilatata, transientibus ornatus. Spatium interspinale, transverse striolatum. Costis 3 in 10  $\mu$ .

In stratis tertiaris marinis ad Izsópallaga in Hungaria. Icon: Beitr. III., tab. 25., fig. 373.

Dedicavi dom. dr. T. de Szontagh geologo Budapestini.

97. *Cerataulus boryanus* Pant. nov. spec.

Valva circularis 80—90  $\mu$ . lata, convexa cum margine hyalino nudo 3  $\mu$ . lato, ocellis duobus elevatis dilatatis, ad polos sitis, ornata. Structura setoso spinuloso punctata. Setis inter punctos mixtis, validis, praecipue duabus centralibus pervalidis et perlóngis. Punctis 10—11 in 10  $\mu$ . in lineas tortas dispositis.

In stratis tertiaris marinis ad Bory in Hungaria. Icon: Beitr. III., tab. 29., fig. 421; tab. 32., fig. 463.

98. *Cerataulus japonicus* Pant. nov. spec.

Valva convessa elliptica 260—270  $\mu$ . longa, 184—190  $\mu$ . lata, cum margine 5—6  $\mu$ . lato, hyalino, spinuloso, setoso, a structura plica nuda elliptica diviso, et ocellis elevatis hyalinis dilatatis carinatis, ad polos dispositis ornata. Structura setoso, punctata. Setis validis, inter punctos dispositis. Punctis 10 in 10  $\mu$ . in lineas arcuato radiantes, usque ad centrum haut nudum percurrentibus.

In stratis tertiaris marinis ad Wembets in insula Jesso. Icon: Beitr. III., tab. 16., fig. 237.

99. *Cerataulus Peragalloi* Pant. nov. spec.

Ellipticus, convexus, 110—120  $\mu$ . longus, 96—98  $\mu$ . latus, marginatus, margine hyalino 3·5  $\mu$ . lato, cum ocellis duobus (uno plerumque deformato) elevatis, ad polos sitis ornatus. Structura striato setosa punctata, striis radiantibus, ad marginem setis validis inter punctos dispositis. Punctis in lineas tortas arcuatas, per totam valvam dispositis.

In stratis marinis tertiaris ad Kavna Bremia in Hungaria.

Icon: Beitr. III., tab. 32., fig. 455.

Dedicavi domino M. Peragallo collonello Parisii.

100. *Cerataulus turgidus* E. var. *hispidissimus* Pant. nov. var.

Valva convexa elliptica. 165—170  $\mu$ . longa, et 95—100  $\mu$ . lata, cum ocellis magis elevatis. ad marginem sitis et margine 4—5  $\mu$ . lato. striolata ornata. Structura punctata spinulosa retosa hispida. Setis et spinulis inter punctos mixtis; setis 3—6 ad marginem sitis pervalidis. Punctis 10—12 in 10  $\mu$ . in lineas arcuato radiantes, usque ad centrum elevatum percurrentes, dispositis.

In stratis marinis tertiaris ad Bory in Hungaria. Icon: Beitr. III., tab. 27., fig. 404.

101. *Cerataulus Weissflogii* Pant. nov. spec.

Valvis ellipticis convexis marginatis, cum ocellis duobus, ellipticis permagnis, magis elevatis, carinatis, ad polos alternantim dispositis, ornatis. Structura setuloso punctata et spinulis setis per totam valvam inter punctos intermixtis, spinis permagnis et pervalidis, ad imaginem centralem dispositis. Punctis in lineas arcuato radiantes dispositis, usque ad centrum elevatum percurrentibus, hic ad formam imaginis sigmoidem, valde distinctam, praeclaram et characteriticam dispositis. Margo striolata punctatus setulosus, 6—9  $\mu$ . latus. Diametr. major valvae 108—170  $\mu$ . Diametr. minor valvae 87—122  $\mu$ . Diametr. ocelli major 27—30  $\mu$ . Diametr. ocelli minor 16—22  $\mu$ .

Habitat in stratis marinis tertiaris ad Szakal in Hungaria. Icon: Beitr. III., tab. 22., fig. 327.

Dedicavi hanc pulcherrimam speciem amico meo Dom. E. Weissflog, diatomologo celeberrimo in Dresdena.

102. *Chaetoceros biharensis* Pant. nov. spec.

Valva discoidea, cum centro elevato et duabus setis lateribus perlongis ad formam cornu tortis apicem versus inflexis dilatatis, hispidis. ornata. Altitudo valvae 5·1  $\mu$ ., latit. 10·2  $\mu$ ., longitudo setae 80  $\mu$ .

In stratis tertiaris marinis ad Kárand Hungariae. Icon: Beitr. III., tab. 21., fig. 306.

103. *Chaetoceros gracilis* Pant. nov. spec.

Valva discoidea, subplana, punctata et duabus setis perlóngis, apicem versus flexuosis hispidis ornata. Altitudo valvae  $3\cdot4\ \mu$ . latitud.  $11\cdot9\ \mu$ . Long. setae  $119\ \mu$ .

In stratis tertiaris marinis ad Káránd Hungariae. Icon: Beitr. III., tab. 19., fig. 276.

104. *Chaetoceros hungaricus* Pant. nov. spec.

Valvis discoideis, ad centrum maxime elevatis, gibbosis, cum setis duabus lateralibus, attenuatis, acutissimis, nudis ornatis. Valva striolato punctata. — Altitudo valvae  $10\cdot2\ \mu$ . latit.  $13\cdot6\ \mu$ . Longitudo setae  $93\cdot5\ \mu$ .

In stratis tertiaris marinis ad Káránd. Icon: Beitr. III., tab. 14., fig. 211.

105. *Chaetoceros Pethöi* Pant. nov. spec.

Valva discoidea, subplana, hyalina, nuda, setis duabus perlóngis apicem versus dilatatis hispidissimis ornata. — Altit. valvae  $5\cdot1\ \mu$ . latitudo  $15\cdot3\ \mu$ . Longitudo setae  $161\cdot5\ \mu$ .

In stratis marinis tertiaris ad Káránd Hungariae. Icon: Beitr. III., tab. 20., fig. 289.

106. *Cheloniodiscus Ananinoensis* Pant. n. g. et spec.

Valva inferior frustulae hyalinae subnuda, tantum centro et marginem versus parvis punctis disseminatis notata. Valva ad polos modice acuminata, mucronulata. Diametros long.  $73\ \mu$ . transversalis  $65\ \mu$ .

In stratis antiquissimis marinis ad Ananino in Russia europea. Icon: Beitr. III., tab. 27., fig. 398.

107. *Clavicula Jimboi* Pant. nov. spec.

Valvis elongatis, linearibus, polos versus incrassatis, rotundatis, capitatis. Structura polos versus dense punctata, ceterum valva hyalina tantum ad marginem  $1\cdot7\ \mu$ . lato, serie longitudinali margaritarum obliquarum 11 in  $10\ \mu$ . ornata. Long. fragm.  $73\cdot1\ \mu$ . lat.  $8\cdot5\ \mu$ .

In stratis tertiaris marinis ad Abashiri in insula Jesso. Icon: Beitr. III., tab. 42., fig. 583.

Dedicavi dom. K. Jimbo profess. geologiae in univers. Tokio.

108. *Clavicula Kinkerii* Pant. nov. spec.

Valvis elongatis, linearibus, polos versus modice attenuatis productis, rotundatis, capitatis. Structura punctata; punctis ad polos in lineas radientes, ceterum in lineas transversas, parallellas, ordinatis. Series punctorum, vitta nuda hyalina longitudinali, totam valvam circum circa pereurrente interrupta, ergo vitta bilaterali nuda notata. Punctis polos versus majoribus disseminatis. — Long. fragmenti 131  $\mu$ ., latitudo capitis 9—10  $\mu$ ., lat. med. valvae 18—20  $\mu$ . Series punctorum 15 in 10  $\mu$ .

In stratis marinis tertiaris ad Bory in Hungaria. Icon: Beitr. III., tab. 3., fig. 50.

Dedicavi dom. J. Kiuker diatomologo celeberrimo in Amsterdam.

109. *Cocconeis andesitica* Pant. nov. spec.

Valvis late ellipticis, 37—40  $\mu$ . long., 30—33  $\mu$ . lat., marginatis. Structura puneta, punctis in lineas transversas arcuato radientes et longitudinales tortuosas ordinatis, 15 in 10  $\mu$ . Area centralis longitudinalis subrhomboidea et ad medium saepe etiam unilateraliter dilatata.

In stratis tertiaris marinis ad Bory Hungariae. Icon: Beitr. III., tab. 10., fig. 170.

110. *Cocconeis boryana* Pant. nov. spec.

Valvis ellipticis marginatis, 18—20  $\mu$ . longis, 11—12  $\mu$ . latis, punctis 10 in 10  $\mu$ . in lineas arcuatas radientes, et longitudinales ordinatis. Area hyalina longitudinalis angustata, nuda.

In stratis tertiaris aquae dulcis ad Bory Hungariae. Icon: Beitr. III., tab. 2., fig. 33.

111. *Cocconeis californica* Grun. var. *hungarica* Pant.

Valva ellipticia, ad marginem corona margaritarum majorum notata, punctata; punctis 15 in 10  $\mu$ ., in lineas arcuatas radientes et longitudinales ordinatis. Area longitudinalis nuda, angustata.

In stratis tertiaris aquae dulcis ad Bory Hungariae. Icon: Beitr. III., tab. 10., fig. 164.

112. *Cocconeis De Toniana* Pant. nov. spec.

Valvis ellipticis hyalinis, cum corona striolarum marginarium et centralium transversalium, hyalinarum, haut visibilium et linea punctorum grossiorum arcuata notatis. Diametros long. 102  $\mu$ ., latit. 71  $\mu$ ., lat. marg. 5.1  $\mu$ . Striae 11—12 in 10  $\mu$ .

In stratis mariis tertiaris ad Szent Péter et Nagy Kúrtös in Hungaria. Icon: Beitr. III., tab. 34., fig. 482.

Dedicavi Dom. J. de Toni algologo celeberrimo in Padua.

113. *Cocconeis dubravicensis* Pant. nov. spec.

Elliptica, cum corona duplice marginali striolarum majorum et striolis hyalinis in lineas arcuatas radiantes 16 in 10  $\mu$ . ordinatis notata. Long. valv. 29—32  $\mu$ . lat. 15—17  $\mu$ .

In stratis tertiaris aquae duleis ad Dubravica in Hungaria. Icon: Beitr. III., tab. 36., fig. 509.

114. *Cocconeis formosa* Brun.

Ex stratis tertiaris marinis ad Wembets in insula Jesso. Long. valvae 94—100  $\mu$ . lat. 73—80  $\mu$ . Poris subtiliter punctatis, in lineas arenatas ordinatis, 3—4 in 10  $\mu$ .

Icon: Beitr. III., tab. 32., fig. 457.

115. *Cocconeis Haradae* Pant. nov. spec.

Valva elliptica, 75—85  $\mu$ . longa, 50—62  $\mu$ . lata, cum structura grosse punctata, quasi cellulosa; cellulae 5 in 10  $\mu$ ., in lineas arenatas 2—3 in 10  $\mu$ ., radiantes ordinatae, marginalibus confluentibus, permagnis, punctulatis.

In stratis marinis tertiaris ad Wembets in insula Jesso.

Icon: Beitr. III., tab. 24., fig. 368.

Dedicavi Dom. Harada geolo in Tokio.

116. *Cocconeis japonica* Pant. n. s.

Valva elliptica, 75—85  $\mu$ . long., 35—45  $\mu$ . lat. plana, Structura striolata; striae 8 in 10  $\mu$ ., in lineas arcuato radiantes et longitudinales ordinatae. Striae ad marginem valvae, vitta dilatata nuda circulari et ad medium valvae, vitta longitudinali nuda unilateraliter dilatata interruptae.

In stratis tertiaris marinis ad Wembet in insula Jesso.

Icon: Beitr. III., tab. 42.. fig. 582.

117. *Cocconeis Jimboi* Pant. nov. spec.

Valva elliptica, 80—96  $\mu$ . longa, 30—46  $\mu$ . lata, striolata. Striae 14 in 10  $\mu$ ., in lineas arenato radiantes transversas ordinatis, ad nodum centralem vitta transversa lata nuda interruptis.

In stratis tertiariorum marinorum ad Abashiri et Wembets in insula Jesso. Icon: Beitr. III., tab. 2., fig. 24.

Dedicavi Dom. K. Jimbo prof. geologiae in Tokio.

118. *Cocconeis Kinkerii* Pant. nov. spec.

Valva elliptica, 30—40  $\mu$ . longa, 24—34  $\mu$ . lata, hyalina, nuda, tantum ad marginem corona striolarum 12 in 10  $\mu$ . et ad medium valvae nonnullis poris majoribus disseminatis, quasi duas lineas irregulares constituentes, notata.

In stratis marinorum tertiariorum ad Wembets in insula Jesso. Icon: Beitr. III., tab. 2., fig. 30.

Dedicavi diatomologo celeberrimo domino J. Kinker in Amsterdam.

119. *Cocconeis lineata* E. var. *minor* Pant.

Valvis 20—25  $\mu$ . longis, 15—20  $\mu$ . latis, cum corona striolarum marginalium et 6 vittis longitudinalibus arcuatis, a striolis transverse dispositis constitutis, notata. Striolae 30 in 10  $\mu$ .

In stratis tertiariorum aqua dulcis ad Köpecz in Transsilvania. Icon: Beitr. III., tab. 21., fig. 311.

120. *Cocconeis lineata* E. var. *pygmaea* Pant.

Valva elliptica, 13—16  $\mu$ . longa, 8—11  $\mu$ . lata, cum margine hyalino dilatato nudo. Structura striata. Striae 25 in 10  $\mu$ . transversae, parallelae, a vitta nuda longitudinali bilaseraliter interruptae.

In stratis tertiariorum aquae dulcis ad Köpecz in Transsilvania. Icon: Beitr. III., tab. 8., fig. 140.

121. *Cocconeis Lunyacsekii* Pant. nov. spec.

Valvis ellipticis hyalinis, 57·8  $\mu$ . long., 47·8  $\mu$ . lat., marginatis, margine 1·7  $\mu$ . lato, cum corona striolarum marginalibus

et serie linearum longitudinarum striolarum 11—12 in 10  $\mu.$ , transversarum 5—5 notatis.

In stratis tertiaris marinis ad Nagy Kürtös Hungariae.  
Icon: Beitr. III., tab. 41., fig. 564.

122. *Cocconeis notabilis* Pant. nov. spec.

Valva elliptica, 85—100  $\mu.$  longa, 62—77  $\mu.$  lata, cum anulo hyalino marginali nudo, vittis atris 3 ellipticis et lineis atris longitudinalibus 5—5 ornata; structura striata; striae 20 in 10  $\mu.$ , ad marginem sitis radiantes, ad lineas longitudinales sitis transversae parallelae.

In stratis tertiaris marinis ad Wembets in insula Jesso.  
Icon: Beitr. III., tab. 35., fig. 492.

123. *Cocconeis pellucida* Grun. var. *fossilis* Pant.

Valva elliptica 68  $\mu.$  longa, 44·2  $\mu.$  lata, hyalina, marginata, cum corona striolarum marginalium, vittis e granulis constitutis longitudinalibus, leniter arcuatis 5—5, et striis hyalinis transversis, arcuato radiantibus vestita. Striolae hyalinae et granulae 10 in 10  $\mu.$

In stratis marinis tertiaris ad Nagy Kürtös Hungariae.  
Icon: Beitr. III., tab. 32., fig. 465.

124. *Cocconeis Pethöi* Pant. nov. spec.

Valva elliptica, 80—96  $\mu.$  longa, 60—76  $\mu.$  lata; cum margine hyalino, corona granulorum ellipticorum 5 in 10  $\mu.$  marginalium, et striis 5 in 10  $\mu.$  subtiliter punctatis arcuato radiantibus ornata. Striae a corona granulorum vitta hyalina elliptica nuda separatae.

In stratis tertiaris marinis ad Borostekek Hungariae.  
Icon: Beitr. III., tab. 36., fig. 504.

Dedicavi amico meo domino J. de Pethö geologo Budapestini.

125. *Coscinodiscus anastomosans* Pant. nov. spec.

Discus orbicularis, 61  $\mu.$  latus, cum cellulis confluentibus irregulariter formatis ornatus, ad centrum et ad marginem densioribus minoribusque aggregatis.

In stratis marinis tertiaris ad Káránd Hungariae. Icon: Beitr. III., tab. 28., fig. 411.

126. *Coscinodiscus Asonumae* Pant. nov. spec.

Discus orbicularis convexus, 160—200  $\mu$ . latus, cum cellulis magnis 1—2 in 10  $\mu$ ., papillosis, ornatus. Cellulae in lineas radiantes ad centrum percurrentes ordinatae.

In stratis tertiaris marinis ad Wembets insulae Jesso. Icon: Beitr. III., tab. 15., fig. 221.

127. *Coscinodiscus Boeckii* Pant. nov. spec.

Discus orbicularis convexus, 102—124  $\mu$ . latus, cum cellulis hexagonis papillosis, 4—5 in 10  $\mu$ . tectus. Cellulae in lineas radiantes ordinatae, margo 2·5—3·5  $\mu$ . latus, subtiliter striolatus.

In stratis marinis tertiaris ad Bory Hungariae. Icon: Beitr. III., tab. 35., fig. 497.

Dedicavi dom. Boeckh directori Instituti geologici Budapestini.

128. *Coscinodiscus brightwellioides* (Grun.) Pant.

Discus orbicularis marginatus, leniter convexus, cellulosus. Cellulae papillosae hexagonae, in lineas radiantes ordinatae, ad medium radii maxime et hic anulum perillustrum eminentem constituentes. Cellulae ad centrum nudum 4, ad marginem sitis 6, in 10  $\mu$ . — Diametros vaivae 100—125  $\mu$ . Margo 3  $\mu$ . latus subtiliter punctatus.

In stratis tertiaris marinis ad Káránd Hungariae. Icon: Beitr. III., tab. 28. fig. 410.

129. *Coscinodiscus Haradae* Pant. nov. spec.

Discus orbicularis, 20—30  $\mu$ . latus. marginatus et punctis in lineas radiantes longiores brevioresque usque ad centrum percurrentes 10 in 10  $\mu$ . ordinatis. Margine nudo hyalino 8  $\mu$ . lato.

In stratis aquae dulcis tertiaris ad Sentenai in insula Jesso. Icon: Beitr. III., tab. 8. fig. 139.

130. *Coscinodiscus japonicus* Pant. nov. spec.

Perillustris. Discus orbicularis magis convexus, late marginatus, cellulosus. — Margo hyalinus 27·5  $\mu$ . latus. Cellulae papillosae, magnae, hexagonae. striolatae  $\frac{1}{2}$ —1 in 10  $\mu$ , in lineas radiantes et spiraliter tortas ordinatae, ad marginem productae lageniformae. Diametros disci 180—190  $\mu$ .

In stratis tertiaris marinis ad Wembets, Abashiri in insula Jesso. Icon: Beitr. III., tab. 1., fig. 10.

131. *Coseinodiscus Jimboi* Pant. nov. spec.

Discus orbicularis, parum convexus, late marginatus, cellulosus. Margo 3  $\mu$ . latus, subtiliter striolatus, striolae 18 in 10  $\mu$ . et margaritis 10 et  $\infty$  majoribus ornatus. Cellulae papillosae in lineas radiantes ordinatae, 6 in 10  $\mu$ . Centrum disci rotundatum nudum. Diametr. disci 40—50  $\mu$ .

In stratis tertiaris marinis ad Wembets insulae Jesso. Icon: Beitr. III., tab. 4., fig. 54.

132. *Coscinodiscus Kusnetzkianus* Pant. nov. spec.

Discus rotundatus, magis convexus, cellulosus. Cellulae papillosae hexagonae permagnae, 1—2 in 10  $\mu$ ., in lineas radiantes usque ad centrum valvae percurrentes, dispositae. Diametros valvae 100—115  $\mu$ .

In stratis antiquissimis marinis ad Kusnetzk in Rossia europea. Icon: Beitr. III., tab. 29., fig. 425.

133. *Coscinodiscus Peragalloi* Pant. nov. spec.

Discus orbicularis, late marginatus, punctulatus. Margo 10  $\mu$ . latus striolatus. Puncta in lineas radiantes et fasciculatas ordinatis 6—7 in 10  $\mu$ . Diametr. disci 120—130  $\mu$ .

In stratis marinis tertiaris ad Thesiogori in insula Jesso. Icon: Beitr. III., tab. 33., fig. 471.

Dedicavi dom. M. Peragallo diatomologo celeberrimo Parisii.

134. *Coscinodiscus Pethöi* Pant. nov. spec.

Discus ellipticus, convexus, ad polos truncatus, cum structura punctata ornatus, 70—80  $\mu$ . longus, 50—60  $\mu$ . latus.

Puncta in lineas radiantes et spirales ordinata 8—10 in 10  $\mu$ . ad centrum maxima.

In stratis tertiaris marinis ad Kárand Hungariae. Icon: Beitr. III., tab. 21., fig. 318.

135. *Coscinodiscus transilvanicus* Pant. nov. spec.

Valva orbicularibus, plana, 33—40  $\mu$ . lata, marginata, punctata Margine 1·5  $\mu$ . lato, byalino. Puncta ad marginem in lineas abbreviatas marginales radiantes ordinata et in radios 10—15 et  $\infty$  usque ad centrum percurrentes disposita. Centrum disci hyalinum, rotundatum, tantum unico poro centrali notatum.

In stratis tertiaris aquae dulcis ad Bodos, Kopecz et Bibarezfalva in Transilvania. Icon: Beitr. III., tab. 8., fig. 138.

136. *Craspedodiscus Weissflogii* Pant. nov. spec.

Valva disciformis, orbicularis, convexa marginata, cum plicis duabus circularibus, una marginali altera centrali et structura cellulosa notata. — Margo striatus 8  $\mu$ . latus. Cellulae inter plicas dispositae hexagonae majores papillosae, 5 in 10  $\mu$ . ad centrum dispositae minores, rotundatae, hic in lineas radian tes et circulares dispositae, 6—7 in 10  $\mu$ . Diametros valvae 45—50  $\mu$ .

In stratis tertiaris marinis ad Szakal Hungariae. Icon: Beitr. III., tab. 26., fig. 394.

Dedicavi hanc pulchram speciem amico meo diatomologo celleberimo dom. E. Weissflog Dresdae.

137. *Craticula hungarica* Pant.

Lamina interna craticularis, vel Naviculae cuspidatue, vel Naviculae Elsaie Thum, vel Naviculae Perotetii pertinens. In stratis tertiaris marinis ad Szent Peter in Hungaria in uno exemplari ame inventa. Long. 194  $\mu$ . lat. 40·8  $\mu$ . Icon: Beitr. III., tab. 23., fig. 349.

138. *Cyclotella pygmaea* Pant.

Discus circularis, convexus, pygmaeus, cum margine 1·5  $\mu$ . lato, striolato, squamis marginalibus et poris disseminatis, vestitus. Diametr. disci 10—13  $\mu$ .

In stratis tertiaris aquae dulcis ad Bodos, Köpecz et Bibarezfalva in Transilvania. Icon: Beitr. III., tab. 2., fig. 22., tab. 4., fig. 59.

139. *Cyclotella radiatopunctata* Pant. nov. spec.

Valva circularis convexa, ad marginem spinosa 32  $\mu$ . longa, puncta. Punctis 8 in 10  $\mu$ . in lineas radiantes, ad centrum percurrentes, ordinatis.

In stratis tertiaris aquae dulcis ad Köpecz in Transilvania. Icon: Beitr. III., tab. 36., fig. 507.

140. *Clycotella transilvanica* Pant. nov. spec.

Valva circularis, 30—35  $\mu$ . longa, cum margine oblique striolato 1·5  $\mu$ . lato, cum anulo marginali, a margaritis majoribus ovalibus constituto et punctis minoribus in lineas radiantes usque ad centrum percurrentes, 10 in 10  $\mu$ . ornata.

In stratis tertiaris aquae dulcis ad Bodos, Köpecz et Bibarezfalva in Transilvania. Icon: Beitr. III., tab. 11., fig. 177.

141. *Cyclotella transilvanica* var. *disseminatepunctata* Pant. n. s.

Valva parvula 16—20  $\mu$ . lata. Punctis ad centrum disci disseminatis.

In stratis tertiaris aquae ad Köpecz in Transilvania. Icon: Beitr. III., tab. 36., fig. 511.

142. *Cymatoplura gigantea* Pant. nov. spec.

Valva oblongo elliptica 214·5  $\mu$ . longa, 85·5  $\mu$ . lata. cum corona squamarum marginalium, 3 in 10 et plicis transversis elevatis 6, vestita. Structura subtiliter striolata. Striae polos versus radiantes, ceterum transversae, totam valvam percurrentes. 18—19 in 10  $\mu$ .

In stratis tertiaris aquae dulcis ad Köpecz in Transilvania. Icon: Beitr. III., tab. 34., fig. 485.

143. *Cymatopleura gracilis* Pant. nov. spec.

Valvis elongatis, 139—145  $\mu$ . long., 17—23  $\mu$ . latis, polos versus fere cuneatis. ad marginem striolatis. Striae 8 in 10  $\mu$ .

abbreviatae, polos versus radiantes, caeterum transverse. Area centralis longitudinalis nuda.

In stratis tertiaris aquae dulcis ad Köpecz Transilvaniae.  
Icon: Beitr. III., tab. 18., fig. 259.

144. *Cymatopleura Kinkerii* Pant. nov. spec.

Valva lateelliptica 187  $\mu$ . longa, 65  $\mu$ . lata, cum polis fere cuneatis et lateribus leniter impressis, ad marginem cum corona papillorum ovalium ornata, et quinque fenestris rhomboideis hyalinis nudis, tantum inter angulos, duabus lineis erutatis notata. Plicae transversales prominentes. Structura striolata. Striae transversae 19—20  $\mu$  in 10  $\mu$ .

In stratis tertiaris aquae dulcis ad Köpecz Transilvaniae.  
Icon: Beitr. III., tab. 4., fig. 51.

Dedicavi hanc pulcherrimam speciem amico meo diatomologo celeberrimo J. Kinker in Antwerpia.

145. *Cymbella abnormis* Grun. var. *fossilis* Pant. n. v.

Valvis linearibus, 46  $\mu$ . longis, 9  $\mu$ . latis, cum polis rotundatis rostratis. Area centralis ad formam stauri nudi dilatata. Striae marginales, ad ventrem 9, ad dorsum 10 in 10  $\mu$ . Rhaphe polos versus ad dorsum flexa.

In stratis tertiaris aquae dulcis ad Dubravica Hungariae.  
Icon: Beitr. III., tab. 17., fig. 255.

146. *Cymbella affinis* Kg.

Valvis cymbiformibus, abbreviatis tumidis, 15—18  $\mu$ . longis, 5—8  $\mu$ . latis. Striae 12 in 10  $\mu$ . subtiliter punctatae. Rhaphe modice areuata.

In stratis tertiaris aquae dulcis ad Farkasfalva Hungariae.  
Icon: Beitr. III., tab. 4., fig. 52.

147. *Cymbella austriaca* Grun. var. *fossilis* Pant.

Valvis cymbiformibus. cum polis rotundatis incrassatis, 40—45  $\mu$ . longis, 10—12  $\mu$ . latis. Rhaphe leniter curvata. Area centralis ovalis. Striae ad dorsum 10, ad ventrem 12 in 10  $\mu$ . subtiliter punctatae.

In stratis tertiaris aquae dulcis ad Deménd in Hungaria.  
Icon: Beitr. III., tab. 8., fig. 133.

148. *Cymbella austriaca* Grun. var. *excisa* Grun.

Valva in latere ventrali quasi excisa,  $39\cdot2 \mu.$  longa,  $11\cdot2 \mu.$  lata. Striae ad ventrem 10, ad dorsum 8—9 in  $10 \mu.$  Striae subtiliter punctatae.

In stratis tertiaris aquae dulcis ad Bory in Hungaria. Icon: Beitr. III., tab. 1., fig. 11.

149. *Cymbella Budayana* Pant. nov. spec.

Valvis assymetrice latelanceolatis, ad dorsum elevatis, arcuato convexis, ad ventrem modice inflatis. Rhaphe leniter arcuata, ad polos subcapitatos dorsum versus flexa. Porus centralis dilatatus ovalis. Striae validae striolatae, ad ventrem 7—10 in  $10 \mu.$ , ad dorsum 6—7 in  $10 \mu.$  Long. valvae  $64 \mu.$  lat.  $24 \mu.$

In stratis tertiaris aquae dulcis ad Bodos, Köpecz et Bibareczfalva in Transilvania. Icon: Beitr. III., tab. 15., fig. 233.

150. *Cymbella Budayana* Pant. var. *gracilior* Pant.

Gracilior, long. v.  $64 \mu.$ , lat.  $20 \mu.$  Striae ad dorsum 7—10 ad ventrem 10—12 in  $10 \mu.$

In stratis tertiaris aquae dulcis ad Köpecz, Bodos, Bibareczfalva in Transilvania. Icon: Beitr. III., tab. 24., fig. 363.

151. *Cymbella capitata* Pant. nov. spec.

Valvis assymetrice lanceolatis, polos versus incrassatis, capitatis. Rhaphe leniter arcuata, ad polos dorsum versus flexis. Porus centralis robustus ovalis. Striae subtiliter punctatae 10 in  $10 \mu.$  Long.  $90\cdot1 \mu.$  lat.  $18\cdot7 \mu.$

In stratis tertiaris aquae dulcis ad Bodos Transilvaniae. Icon: Beitr. III., tab. 10., fig. 160.

152. *Cymbella cistula* (E.) Hempr. var. *hungarica* Pant. n. s.

Valvis assymetrice lanceolatis, ad dorsum magis arcuatis, hic cum plica arcuata marginali notatis, ad ventrem leniter inflatis, cum polis rotundatis. Rhaphe leniter arcuata. Porus centralis dilatatus ovalis. Striae 10—12 in  $10 \mu.$  transversae, punctatae. Long.  $73\cdot6 \mu.$ , lat.  $13\cdot6 \mu.$

In stratis tertiaris aquae dulcis ad Bory Hungariae. Icon: Beitr. III., tab. 3.. fig. 40.

153. *Cymbella Clementis* Pant. nov. spec.

Assymetrice lanceolata, elongata 143.5  $\mu$ . longa, 28.5  $\mu$ . lata, cum polis rotundatis, dorso arcuato, ventre leniter inflato. Rhaphe leniter arcuata. Area centralis ovalis dilatata, unilatera-liter macula notata. Striae 10 in 10  $\mu$ . punctatae; punctis 13 in 10  $\mu$ . radiantes.

In stratis tertiaris aquae dulcis ad Dubravica Hungariae.  
Icon: Beitr. III., tab. 20., fig. 303.

Denominavi in memoriam inventori strati diatomacei ad Dubrovica Prof. J. Clemens Neosolii.

154. *Cymbella cymbiformis* E.

Valvis elongatis, cum dorso arcuato, ventre sub plano, polos versus leniter productis, subcapitatis. Rhaphe leniter arcuata; nodulus centralis dilatatus. Striae radiantes, subtiliter punctatae, in dorso 10—12, in ventro 12 in 10  $\mu$ . Long. 43  $\mu$ . lat. 9.6  $\mu$ .

In stratis tertiaris aquae dulcis ad Deménd Hungariae.  
Icon: Beitr. III., tab. 10., fig. 174.

155. *Cymbella cymbiformis* E. var. *producta* Pant.

Valvis elatioribus, gracilioribus. 93  $\mu$ . longis, 13.5  $\mu$ . latis, ad ventrem inflatis, cum polis rotundatis. Striae punctatae, ad dorsum 10, ad ventrem 11—12 in 10  $\mu$ .

In stratis tertiaris aquae dulcis ad Dubravica in Hungaria.  
Icon: Beitr. III., tab. 23., fig. 346.

156. *Cymbella dubravicensis* Grun.

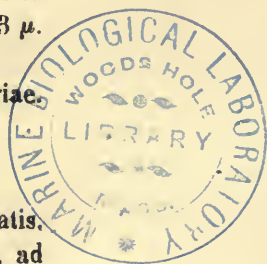
Long. valvae 150  $\mu$ ., lat. 25  $\mu$ . Striae punctatae, ventre et dorso 7—8 in 10  $\mu$ ; punctis 15 in 10  $\mu$ .

In stratis tertiaris aquae dulcis ad Dubravica Hungariae.  
Icon: Beitr. III., tab. 17., fig. 251.

157. *Cymbella gigantea* Pant. nov. spec.

Lanceolate assymetrica, cum dorso arcuato, ventre plano et polis rotundatis. Rhaphe leniter arcuata dilatata. Area centralis dilatata ovalis. Striae radiantes, punctatae 7—9 in 10  $\mu$ .

In stratis tertiaris aquae dulcis ad Bodos Transsilvaniae.  
Icon: Beitr. III., tab. 21., fig., 321.



158. *Cymbella Grunowii* Pant. nov. spec.

Valvis assymetricis lanceolatis, cum dorso elevato arcuato et ventre subplano, polis rotundatis obtusis. Rhaphe modice arcuata ad polos dorsum versus inflexa dilatata. Area centralis dilatata ovalis, ad ventrem pliea uniserialiter punctata et pliea nuda innaris notata. Structura punctata. Punctis 10 in 10  $\mu$ . in lineas radiantes ordinatis. Long. 192  $\mu$ , lat. 31.5  $\mu$ .

In stratis tertiaris aquae dulcis ad Dubravica Hungariae.  
Icon: Beitr. III., tab. 19., fig. 283.

Denominavi ad honorem Diatomologo celeberrimo A. Grunow in Berndorf.

159. *Cymbella helvetica* Kg. var. *fossilis* Pant.

64  $\mu$ . longis, 12.8  $\mu$ . latis, cum striis punctatis, 12 in 10  $\mu$ .

In stratis tertiaris aquae dulcis ad Farkasfalva Hungariae.  
Icon: Beitr. III., tab. 9., fig. 158.

160. *Cymbella Jimboi* Pant. nov. spec.

Valvis assymetricis lanceolatis, cum dorso arenato, ventre inflato, polis rotundatis, rhaphe modice arcuata; striis 9, 10, 11 in 10  $\mu$ . grosse punctatis; punctis 12 in 10  $\mu$ . Area centralis dilatata ad ventrem poris duabus crassis notata. Long. 90.5  $\mu$ , lat. 16.5  $\mu$ .

In stratis tertiaris aquae dulcis ad Sentenai in insula Jesso.  
Icon: Beitr. III., tab. 8., fig. 130.

Dedicavi dom. J. Jimbo geologo in Tokio.

161. *Cymbella Kochii* Pant. nov. spec.

Valvis cymbiformibus, cum dorso arenato, ventre plano, polis obtusis rotundatis, rhaphe modice arcuata apice ad dorsum inflexa; zona hyalina ampla circa nodulum centrale et polos versus paulo dilatata. Striis subradiantibus 10—12 in 10  $\mu$ . punctatis. Long. 57.5  $\mu$ ; lat. 12  $\mu$ .

In stratis tertiaris ad Bodos. Köpecz et Bibareczfalva Transilvaniae. Icon: Beitr. III., tab. 1. fig. 2.

Dedicavi Dom. Prof. A. Koch geologo Budapestini.

162. *Cymbella lanceolata* E. var. *fossilis* Pant. nov. spec.

Long. 110  $\mu$ . lat. 21  $\mu$ . Striis punctatis 10—12 in 10  $\mu$ . Rhaphe directa leniter arcuata, zona hyalina nuda ampla polos versus et ad nodulum centralem dilatata.

In stratis marinis tertiariis ad Bory Hungariae. Icon: Beitr. III., tab. 23., fig. 344.

163. *Cymbella lanceolata* E. var. *rubusta* Pant. n. v.

Long. 154  $\mu$ . lat. 34·5  $\mu$ ., cum dorso elevato areuato et ventre modice inflato, polis rotundatis. Striae 10 in 10  $\mu$ . punctatis. Rhaphe modice arcuata.

In stratis tertiariis aquae dulcis ad Bodos et Köpecz in Transilvania. Icon: Beitr. III., tab. 28., fig. 350.

164. *Cymbella latestriata* Pant. nov. spec.

Long. 36—40  $\mu$ . lat. 12  $\mu$ . cum dorso areuato, ventre piano, polis modice productis subcapitatis. Rhaphe directa, polos versus modice inflexa, a zona hyalina dilatata cineta. Striis crassis transversis, 10 in 10  $\mu$ . abbreviatis marginalibus.

In stratis tertiariis aquae dulcis ad Dubravica et Bory Hungariae. Icon: Beitr. III., tab. 1., fig. 9.; tab. 21., fig. 316.

165. *Cymbella obtusa* Pant. nov. spec.

Parvula incrassata 16  $\mu$ . longa, 7·2  $\mu$ . lata, cum polis obtusis, dorso valde arcuato, ventre piano. Raphe directa. Striis 10 in 10  $\mu$ . transversis parallelis.

In stratis tertiariis aquae dulcis ad Bory Hungariae. Icon: Beitr. III., tab. 5., fig. 79.

166. *Cymbella pachyptera* Pant. nov. spec.

Valvis dorso inflatis, ventre subplanis cum polis incrassatis, polis productis modice ad dorsum flexis. Rhaphe modice ad dorsum flexa, a zona hyalina dilatata cineta. Striis 7—8 in 10  $\mu$ . incrassatis abbreviatis marginalibus, nudis. Long. 46·5  $\mu$ ., lat. 15  $\mu$ .

In stratis tertiariis aquae dulcis ad Dubravica Hungariae. Icon: Beitr. III., tab. 23., fig. 304.

167. *Cymbella Peragalloi* Pant. nov. spec.

101  $\mu$ . longis 31.5  $\mu$ . latis, dorso arcuato, ventre convexo cum polis parum productis incrassatis, rotundatis. Rhaphe modice arcuata. Area centralis dilatata. Striis 7—8 in 10  $\mu$ . grosse punctatis. Punctis 10 in 10  $\mu$ .

In stratis tertiaris aquae dulcis ad Köpecz Transilvaniae. Icon: Beitr. III., tab. 42., fig. 584.

Dedicavi dom. colonelli M. Peragallo Parisii.

168. *Cymbella perdurrans* Pant. nov. spec. Syn. *C. inflata* Pant.

Valvis cymbiformibus gracilibus, dorso arcuatis, ventre inflatis, 40.8  $\mu$ . longis, 8  $\mu$ . latis. Raphe arcuata. Striis radian-tibus 10—11 in 10  $\mu$ .

In stratis tertiaris aquae dulcis ad Sentenai in insula Jesso. Icon: Beitr. III., tab. 6., fig. 96.

169. *Cymbella perfecta* Pant. nov. spec.

Valvis cymbiformibus 88.8  $\mu$ . longis, 17.6  $\mu$ . latis, dorso arcuatis, ventre inflatis, polis rotundatis. Rhaphe modice arcuata. Striis 6—10 in 10  $\mu$ . subtiliter punctatis. Punctis 22 in 10  $\mu$ .

In stratis tertiaris aquae dulcis ad Deménd Hungariae. Icon: Beitr. III., tab. 17., fig. 249.

170. *Cymbella plutonica* Pant. nov. spec.

Valvis cymbiformibus 94.4  $\mu$ . longis, 22.4  $\mu$ . latis, dorso arcuatis, ventre inflatis, cum polis incrassatis rotundatis. Rhaphe arcuata. Area centralis dilatata. Striis radiantibus, punctatis, 8—10 in 10  $\mu$ . Punctis 12 in 10  $\mu$ .

In stratis tertiaris aquae dulcis ad Bory Hungariae. Icon: Beitr. III., tab. 20., fig. 297.

171. *Cymbella praeclara* Pant. nov. spec.

Valvis 114  $\mu$ . longis, 16  $\mu$ . latis, dorso arcuatis, ventre inflatis, ad polos crassis rotundatis. Rhaphe arcuata. Area centralis dilatata ovalis. Striis 16—18 in 10  $\mu$ . punctatis, punctis 28 in 10  $\mu$ .

In stratis tertiaris aquae dulcis ad Köpecz Transilvaniae. Icon: Beitr. III., tab. 36., fig. 512.

172. *Cymbella Rakócziana* Pant. nov. spec.

Cum dorso arcuato, ventre parum convexo, polis rotundatis. Rhaphe arcuata. Area centralis dilatata ovalis. Striae subradiantes punctatae, 8—12 in 10  $\mu$ . Long. 72  $\mu$ . lat. 15·2  $\mu$ .

In stratis tertiaris aquae dulcis ad Köpecz Transilvaniae. Icon: Beitr. III., tab. 8., fig. 121.

Denominavi in memoriam Principis Francisci Rákóczy II.

173. *Cymbella simplex* Pant. nov. spec.

Valvis incrassatis, cum dorso arcuato, ventre inflato et polis rotundis. Rhaphe directa. Striis radiantibus 8—9, in ventre 15 in 10  $\mu$ . Long. 49·5  $\mu$ . lat. 16·5  $\mu$ .

In stratis tertiaris aquae dulcis ad Dubravica Hungariae. Icon: Beitr. III., tab. 21., fig. 308.

174. *Cymbella Staubii* Pant. nov. spec.

Valvis dorso arcuatis, ventre inflatis, cum polis rotundatis. Rhaphe arcuata, a zona hyalina dilatata nuda cineta. Striis 12 in 10  $\mu$ ., dorso radiantibus, ventre transversis parallelis, punctatis. Long. 36  $\mu$ ., lat. 9·5  $\mu$ .

In stratis tertiaris aquae dulcis ad Bory Hungariae. Icon: Beitr. III., tab. 8., fig. 131.

Dedicavi Dom. M. Staub paleontologo Budapestini.

175. *Cymbella Sturii* Grun.

Long. valvae 217  $\mu$ .. lat. 33  $\mu$ . Striae 8—10 in 10  $\mu$ .

In stratis tertiaris aquae dulcis ad Bory et Dubravica in Hungaria. Icon: Beitr. III., tab. 19., fig. 287.

176. *Cymbella suavis* Pant. nov. spec.

Valvis dorso arcuatis, ventre inflatis, cum polis attenuatis rotundatis. Raphe arcuata dilatata. Striis 8—10 in 10  $\mu$ . radiantibus punctatis, puneta 14 in 10  $\mu$ . Long. 81  $\mu$ ., lat. 26  $\mu$ .

In stratis tertiaris aquae dulcis ad Köpecz et Bodos in Transilvania. Icon: Beitr. III., tab. 15., fig. 229.

177. *Cymbella Szontaghii* Pant. nov. spec.

Valvis 91  $\mu$ . longis, 15  $\mu$ . latis, cum dorso elevato arcuato et ventre inflato, ad polos attenuatis rotundatis. Rhaphe leniter

arcuata. Structura latecostata. Costae nudae. ad dorsum radiantes 6 in 10  $\mu$ ., ad ventrem brevioribus transversis parallelis 6 in 10  $\mu$ .

In stratis tertiaris marinis ad Borostekek Hungariae. Icon: Beitr. III., tab. 10., fig. 161.

Dedicavi Dom. Dr. T. de Szontagh geologo Budapestini.

178. *Cymbella turgida* Pant. nov. spec.

43  $\mu$ . longa, 10  $\mu$ . lata, cum dorso arcuato et ventre subplano, cum polis rotundatis. Rhaphe arcuata. Striae 12 in 10  $\mu$ ., ad dorsum radiantes, ad ventrem transversae parallelae.

In stratis tertiaris aquae dulcis ad Bory Hungariae. Icon: Beitr. III., tab. 6., fig. 103.

179. *Cymbella valida* Pant. nov. spec.

Vasta, valvis 76·8  $\mu$ . longis, 12  $\mu$ . latis, cum dorso arcuato, ventre modice inflato et polis validis rotundatis. Rhaphe modice arcuata. Nodus centralis dilatatus Striae punctatae 7—9 in 10  $\mu$ .

In stratis tertiaris aquae dulcis ad Deménd Hungariae. Icon: Beitr. III., tab. 9., fig. 154.

180. *Cymbella vegeta* Pant. nov. spec.

Valva cymbiformis, dorso arcuata. ad ventrem subplana cum polis rotundatis. Rhaphe modice arcuata; nodulus centralis dilatatus, ovalis: striae 8 in 10  $\mu$ . subradiantes punctatae. Long. 88·5  $\mu$ ., lat. 25·5  $\mu$ .

In stratis tertiaris aquae dulcis ad Dubravica Hungariae. Icon: Beitr. III., tab. 24., fig. 359.

181. *Diatoma anceps* (E.) Grun. var. *fossilis* n. v.

Elougatis linearibus, cum polis constrictis capitatis, 48  $\mu$ . longis, 8  $\mu$ . latis, cum costis transversis 11 in 10  $\mu$ . Spatium intercostale punctatum.

In stratis tertiaris aquae dulcis ad Sentenai in insula Jesso. Icon: Beitr. III., tab. 8., fig. 141.

182. *Diatoma fossile* Pant. nov. spec.

Valvis elongatis linearibus 43·6  $\mu$ . long., 8  $\mu$ . latis, transversae costatis. Polis rotundatis nudis.

In stratis tertiaris aquae dulcis ad Deménd in Hungaria.  
Icon: Beitr. III., tab. 2., fig. 27.

183. *Dictyoneis hungarica* Pant. Syn. *Pseudodictyoneis hungarica* Pant.

Valvis linearelanceolatis, medio modice constrictis, cum polis obtusis. Structura celluloso punctata. Cellulis marginalibus 4—5 in 10  $\mu$ . medio interruptis. Poneta in lineas arcuato transverse randiantes 10—12 in 10  $\mu$ . ordinatis. Rhaphe directa, polos versus contrarius flexis. Long. 121  $\mu$ . lat. 24  $\mu$ ., ad medium 16  $\mu$ .

In stratis tertiaris marinis ad Kavana. Bremia, Bory, Borostelek, Káränd, Nyermegy in Hungaria. Icon: Beitr. III., tab. 1., fig. 8.

184. *Dimeregramma boryanum* Pant.

Frustulis rectangularis concatenatis, ad marginem breviter striolatis, striis 15 in 10  $\mu$ ., angulis obtusis. polis quasi trigibbis, membrana connectivalis nuda biplicata. Long. 44·8  $\mu$ ., lat. 8  $\mu$ .

In stratis tertiaris ad Bory Hungariae. Icon: Beitr. III., tab. 23., fig. 343.

185. *Dycladia japonica* Pant. nov. spec.

Valvis a latere primario visis discoideis, superiore cum cornubus duobus elevatis, inferiori magis convexis medio impressis. A latere secundario cylindricis, cum polo superiore arcuato medio impresso, polo inferiori, bicornuto. Membrana connectivalis ad marginem uniseraliter punctata. Diametr. 12  $\mu$ . long. cornu 12  $\mu$ .

In stratis marinis tertiaris ad Wembets in insula Jesso. Icon: Beitr. III., tab. 5., fig. 70.

186. *Endictya Lunyacsekii* Pant.

Diametr. 175·5  $\mu$ . Cellulae 4 in 10  $\mu$ .

In stratis marinis tertiaris ad Nagy Kurtös. Icon: Beitr. III., tab. 10., fig. 168.

187. *Endictya Schmidtii* Pant.

Diametr. 123—124  $\mu$ . Cellulae 3 in 10  $\mu$ .

In stratis tertiaris marinis ad Nagy Kürtös. Icon: Beitr. III., tab., fig. 69.

188. *Epithelion Pant. nov. gen.*

Valvis ellipticis magis convexis, cum structura epithelloidea vel punctato spinosa ornatis.

188. *Epithelion curvatum* Pant. nov. spec.

Valvis ellipticis convexis cum polis acutis. Structura squamosa, centrum elevatum squamis sparse tectum. Long. 52—82  $\mu$ , lat. 33—40  $\mu$ .

In stratis marinis antiquissimis ad Kusnetzk in Russia. Icon: Beitr. III., tab. 17., fig. 253.

189. *Epithelion hungaricum* Pant. nov. spec.

Valvis ellipticis convexis, ad polos obtusis rotundatis. Structura striolata squamosa. Long. 48  $\mu$ , lat. 19  $\mu$ .

In stratis marinis tertiaris ad Nagy Kürtös Hungariae. Icon: Beitr. III., tab. 27., fig. 396.

190. *Epithelion russicum* Pant. nov. spec.

Valvis ellipticis convexis ad polos acutis. Discus disseminato squamosus, cum setis intermixtis. Long. 48  $\mu$ , lat. 33  $\mu$ .

In stratis marinis antiquissimis ad Kusnetzk in Russia. Icon: Beitr. III., tab. 29., fig. 424.

191. *Epithelion spinifer* Pant. nov. spec.

Valva elliptica convexa, ad polos acuta, cum squamis, poris et spinis disseminatis tecta. Long. 89  $\mu$ , lat. 42  $\mu$ .

In stratis antiquissimis marinis ad Kusnetzk in Russia. Icon: Beitr. III., tab. 20., fig. 291.

192. *Epithemia Argus* (E.) Kg. var. *fossillis* Pant. n. v.

Valvis elongatis parum arcuatis, ad polos obtusis, cum septis transversis parallelis et pseudorhaphe abbreviata. ad ventrem cum angulo elevans. Spatium interseptale punctatum,

puncta in lineas 4 longitudinales ordinatis 12 in 10  $\mu$ . Long. 46·4  $\mu$ ., lat. 9·6  $\mu$ . Septis 4—5 in 10  $\mu$ ., striis 18 in 10  $\mu$ .

In stratis tertiaris aquae dulcis ad Köpecz in Transilvania. Icon: Beitr. III., tab. 3., fig. 37.

193. *Epithemia cistula* (E.) Grun. var. *lunaris* Grun.

Long. valvae 28—51  $\mu$ ., altitudo 19—14  $\mu$ ., septis 4—5 in 10  $\mu$ . Pseudorhaphe totam valvam ad formam vittae nudae arcuatae percurrentes.

In stratis aquae dulcis tertiaris ad Dubravica, Bory, Farkasfalva, Moesár. Icon: Beitr. III., tab. 3., fig. 38, 39., tab. 26., fig. 386.

194. *Epithemia directa* Pant. nov. spec.

Valvis linearibus elongatis 109  $\mu$ . longis, 14  $\mu$ . latis, medio dorso modice impressis, ventre plano, polis obtusis. Pseudorhaphe ventre sita abbreviata, medio angulo elevata. Septis transversis parallelis, 5 in 10  $\mu$ . Striis 2 inter septa sitis, punctatis 10 in 10  $\mu$ .

In stratis aquae dulcis tertiaris ad Bodos et Köpecz Transilvaniae. Icon: Beitr. III., tab. 17., fig. 244.

195. *Epithemia Ehrenbergii* Pant. nov. spec.

Valvis cymbiformibus, cum polis obtusis et vitta atra, ad dorsum sita notatis. Pseudorhaphe ad ventrem sita, medio cum angulo elevans. Septis radiantibus 4—5 in 10  $\mu$ . Spatium interseptale cum 2—3 striis punctatis. Striae 8—10 in 10  $\mu$ . Long. 88  $\mu$ ., altid. 15  $\mu$ .

In stratis aquae dulcis tertiaris ad Köpecz. Icon: Beitr. III., tab. 23., fig. 348.

196. *Epithemia gibberula* Kg. var. *perlonga* Pant.

Valvis angustatis cymbiformibus, 125  $\mu$ . longis, 12  $\mu$ . latis. Pseudorhaphe arcuata, medio impressa. Septis 6, striis punctatis 14 in 10  $\mu$ .

In stratis tertiaris marinis ad Borostelek et Bory Hungariae. Icon: Beitr. III., tab. 10., fig. 175.

197. *Epithemia perlonga* Pant. nov. spec.

Valvis cymbiformibus, cum polis obtusis rotundatis Pseudorhaphe ad ventrem sita angulo elevata. Septis radian-  
tibus. Spatium interseptale cum striis grosse punctatis 3—4. Long. 170  $\mu$ ., altit. 17  $\mu$ ., septa 3—4 in 10  $\mu$ ; strae 8—9 in 10  $\mu$ .

In stratis tertiaris aquae dulcis ad Bodos et Köpecz in Transilvania. Icon: Beitr. III., tab. 16., fig. 238.

198. *Epithemia striolata* Pant. nov. spec.

Valvis linearibus elongatis 110  $\mu$ . long., 12  $\mu$ . latis, cum polis obtusis. Septis 9 in 10  $\mu$ . transversis subradianibus. Struc-  
tura striolata duplex, striolae ad marginem sitae abbreviatae parallelae, spatia interseptalia transverse striolata.

In stratis aquae dulcis tertiaris ad Köpecz Transilvaniae. Icon: Beitr. III., tab. 17., fig. 248.

199. *Epithemia tertaria* Pant. nov. spec.

Valvis cymbiformibus elongatis ad polos attenuatis obtusis 142  $\mu$ . longis, 12  $\mu$ . latis. Pseudorhaphe arcuata. Septis 4—5 in 10  $\mu$ . transversis parallelis. Striis punctatis.

In stratis tertiaris marinis ad Nyermegy in Hungaria. Icon: Beitr. III., tab. 41., fig. 557.

200. *Epithemia transilvanica* Pant. nov. spec.

Valvis cymbiformis, cum dorso elevato arcuato, ventre magis convexo, polis obtusis rotundatis. Septis validis, ad for-  
mam vittae nudae dilatatis, 2—3 in 10  $\mu$ . Spatium interseptale striis duabus grosse punctatis 8 in 10  $\mu$ ., ornatum. Pseudo-  
rhaphe angulosa, ad ventrem sita. Long. 84·4  $\mu$ ., altit. 16  $\mu$ .

In stratis tertiaris aquae dulcis ad Bodos Transilvaniae. Icon: Beitr. III., tab. 1., fig. 16.

201. *Epithemia Zebrina* (E.) Grun.

Long. valvae 46·4  $\mu$ ., altit. 8·8  $\mu$ . Septis 2—3 in 10  $\mu$ . Striis punctatis 15 in 10  $\mu$ .

In stratis tertiaris aquae dulcis ad Magyar Hertman in Transilvania. Icon: Beitr. III., tab. 26., fig. 385.

202. *Ethmodiscus carinatus* Pant. nov. spec.

Discus convexus 80  $\mu$ . latus, ad marginem cum plica carinali circulari repanda, ceterum cum poris disseminatis tectus.

In stratis marinis antiquissimis ad Kusnetzk in Russia.  
Icon: Beitr. III., tab. 29., fig. 430.

203. *Ethmodiscus rossicus* Pant. nov. spec.

Valvis a latere primario visis orbicularibus magis convexis. Discus disseminate punctatus. Valvis a latere secundario visis cylindricis cum polo convexo elevato disseminate punctato. Ceterum hyalinis. — Diametr. 52—75  $\mu$ .

In stratis antiquissimis marinis ad Kusnetzk in Russia.  
Icon: Beitr. III., tab. 34., fig. 484, 488.

204. *Ethmodiscus stellifer* Pant. nov. spec.

Discus orbicularis 68—80  $\mu$ . latus convexus, cum poris disseminatis et ad centrum cum figura radiosa, e poris disseminatis constituta ornata. Radii 10, clavati nudi.

In stratis antiquissimis marinis ad Kusnetzk Russia.  
Icon: Beitr. III., tab. 27., fig. 397.

205. *Eunotia Ehrenbergii* Grun. var. *quaternaria* Grun.

Long. 33  $\mu$ ., altit. 7·5  $\mu$ . Striis 18 in 10  $\mu$ .

In stratis tertiaris aquae dulcis ad Dobravica Hungariae.  
Icon: Beitr. III., tab. 21., fig. 319.

206. *Eunotia exigua* (Breb.) Grun.

Long. 16  $\mu$ ., altit. 4  $\mu$ . Striae 15 in 10  $\mu$ .

In stratis tertiaris aquae dulcis ad Farkasfalva Hungariae.  
Icon: Beitr. III., tab. 4., fig. 56.

207. *Eunotia flexuosa* Kg. var. *trachytica* Pant. n. v.

Valvis elongatis linearibus, modice flexis, 90—100  $\mu$ . longis, 12—14  $\mu$ . latis, cum polis rotundatis. Structura striata. Striae transversae 11—12 in 10  $\mu$ . Frustulis rectangularibus, ad polos trigibbis. Septis duobus ad polos sitis flexuosis; membrana connect. transverse punctata.

In stratis tertiaris aquae dulcis ad Bory in Hungariae.  
Icon: Beitr. III., tab. 5., fig. 80.

208. *Eunotia gracilis* (E.) Breb. var. *fossilis* Pant. n. v.

Valvis leniterflexis, elongatis linearibus, cum polis obtusis.  
Long. 87—90  $\mu$ ., lat. 42.5  $\mu$ . Striis 10 in 10  $\mu$ .

In stratis aquae dulcis tertiaris ad Dubravica Hungariae.  
Icon: Beitr. III., tab. 24., fig. 369.

209. *Eunotia japonica* Pant. nov. spec.

Valvis incrassatis 28  $\mu$ . long., 8  $\mu$ . altis, cum dorso 3 gibbo,  
polis obtusis, et ventre plano. Striae transversai radiantes  
20 in 10  $\mu$ .

In stratis aquae dulcis tertiaris ad Sentenai in insula  
Jesso. Icon: Beitr. III., tab. 2., fig. 25.

210. *Eunotia pectinalis* (Kg.) Rbh. var. *trachytica* Pant. n. v.

Frustulis quadrangulis, cum angulis obtusis. Membrana  
connectiv. plicata striata. Striae 15 in 10  $\mu$ . Valvis linearibus  
elongatis, modice arcuatis, cum polis obtusis. Long. 110—125  $\mu$ ,  
lat. 17—18  $\mu$ .

In stratis aquae dulcis tertiaris ad Bory Hungariae.  
Icon: Beitr. III., tab. 12., fig. 197.

211. *Eunotia transilvanica* Pant. nov. spec.

Valvis elongatis, linearibus 42.4  $\mu$ . longis, 7.2  $\mu$ . latis,  
cum dorso modice arcuato 4 gibbo et ventre modice concavo  
3 gibbo. — Polis subcuneatis. Pseudoraphe directa longitudi-  
nalis. Striae validae 10 in 10  $\mu$ . validae.

In stratis tertiaris aquae dulcis ad Köpecz in Transilvania.  
Icon: Beitr. III., tab. 3., fig. 36.

212. *Eunotogramma Weissei* E.

Altit. 61.5  $\mu$ . lat. ad basim 117  $\mu$ .

In stratis antiquissimis marinis ad Kusnetzk in Russia.  
Icon: Beitr. III., tab. 22., fig. 323:

213. *Eunogramma Weissei* E. var. *producta* Gr. St.

Long. 180·5  $\mu$ . lat. 48  $\mu$ .

In stratis marinis antiquissimis ad Kusnetzk in Russia.  
Icon: Beitr. III., tab. 22., fig. 332.

214. *Eudia hungarica* Pant. nov. spec.

Valvis subreniformibus hyalinis, cum polis obtusis. Struc-  
tura disseminate punctata. Long. 79  $\mu$ , lat. 21  $\mu$ .

In stratis tertiaris marinis ad Nagy Kürtös in Hungaria.  
Icon: Beitr. III., tab. 29., fig. 429.

215. *Fragilaria bivittata* Pant. nov. spec.

Valvis lanceolatis, inflatis, cum vittis duabus transversis.  
Structura striata, striae transversae 26 in 10  $\mu$ . Long. 9·5  $\mu$ ,  
lat. 4·5  $\mu$ .

In stratis tertiaris aquae dulcis ad Sentenai in insula  
Jesso. Icon: Beitr. III., tab. 4., fig. 67.

216. *Fragilaria brevistriata* Grun.

Long. 12·5  $\mu$ . lat. 4  $\mu$ . Striae 15 in 10  $\mu$ .

In stratis tertiaris aquae dulcis ad Farkasfalva Hungariae.  
Icon: Beitr. III., tab. 7., fig. 107.

217. *Fragilaria hungarica* Pant. nov. spec.

Frustulis rectangulis, cum polis trigibbis. Striae marginales  
valiidae 10 in 10  $\mu$ . Long. 22—25  $\mu$ , lat. 6·5—7·5  $\mu$ .

In stratis aquae dulcis tertiaris ad Deménd Hungariae.  
Icon: Beitr. III., tab. 8., fig. 128.

218. *Fragilaria japonica* Pant. nov. spec.

Valvis lanceolatis, 20·8  $\mu$ . longis, 8  $\mu$ . lat., cum polis  
obtusis. Striae transversae subtiliter punctatae 15 in 10  $\mu$ . a  
pseudorhaphe longitudinaliter interruptis.

In stratis tertiaris aquae dulcis ad Sentenai in insula  
Jesso. Icon: Beitr. III., tab. 6., fig. 101.

219. *Fragilaria Kochii* Pant. nov. spec.

Frustulis rectangulis, ad polos trigibbis, cum striis validis  
marginalibus 10 in 10  $\mu$ . Long. 25—26  $\mu$ , lat. 7·2  $\mu$ .

In stratis aquae dulcis tertiaris ad Köpecz et Bodos in Transilvania. Icon: Beitr. III., tab. 16., fig. 235.

220. *Fragilaria Peragalloi* Pant. nov. spec.

Frustulis rectangulis concatenatis, ad polos trigibbis, obtusis  $40\ \mu.$  long.,  $9\cdot5\ \mu.$  lat. ad marginem striatis. Striae 10 in  $10\ \mu.$

In stratis aquae dulcis tertiaris ad Deménd in Hungaria. Icon: Beitr. III., tab. 23., fig. 339.

Dedicavi Dom. collonelo M. Peragallo Parisii.

221. *Fragilaria sepulta* Pant. nov. spec.

Frustulis concatenatis rectangulis, ad polos mucronatis cum margine striolato. Striae abbreviatae 10 in  $10\ \mu.$  marginales. Long.  $46\cdot5\ \mu.$ , lat.  $7\cdot5\ \mu.$

In stratis tertiaris aquae dulcis ad Bodos Transilvaniae. Icon: Beitr. III., tab. 27., fig. 399.

222. *Fragilaria transilvanica* Pant. nov. spec.

Frustulis elongatis rectangulis, concatenatis. Valvis linearibus, cum polis obtusis, ad marginem striolatis. Striae 10—15 in  $10\ \mu.$  Long.  $72—75\ \mu.$ , lat.  $10—12\ \mu.$

In stratis aquae dulcis tertiaris ad Bodos et Köpecz in Transilvania. Icon: Beitr. III., tab. 21., fig. 317., tab. 27., fig. 400.

223. *Gomphonema dubravicensis* Pant. nov. spec.

Valvis linearibus medio inflatis,  $80—90\ \mu.$  longis,  $10—13\cdot5\ \mu.$  latis. Rhaphe directa a zona byalina dilatata cincta, ad nodulum centralem bilateraliter punctis solitariis 4 notata. Striae marginales transversae,  $8—10$  in  $10\ \mu.$  punctatae.

In stratis tertiaris aquae dulcis ad Dubravica in Hungaria. Icon: Beitr. III., tab. 20., fig. 294, 296.

224. *Gomphonema hungaricum* Pant. nov. spec.

Valvis linearibus elongatis,  $80\ \mu.$  longis,  $12—13\ \mu.$  latis, subcuneatis cum polis obtusis. Rhaphe directa. Striis transversis punctatis, 6, 8, 9 in  $10\ \mu.$ , subtiliter punctatis, ad nodulum centrale uno latere cum duabus brevioribus, in altero latere cum stria una longiori, usque ad rhaphen percurrente.

In stratis aquae dulcis tertiaris ad Deménd. Icon: Beitr. III., tab. 2., fig. 28.

225. *Gomphonema Kinkerii* Pant. nov. spec.

Valvis 61—65  $\mu$ . longis, 11—12  $\mu$ . latis, clavatis, ad polos obtusis, medio inflatis. Striae 10 in 10  $\mu$ . validis, transversis striolatis. Rhaphe directa, ad nodulum centralem stria abbreviata et poro solitario notata.

In stratis tertiaris aquae dulcis ad Köpecz, Bodos et Bibarczsalva in Transilvania. Icon: Beitr. III., tab. 10., fig. 162, 165.

Dedicavi Dom. J. Kinker in Amsterdam.

226. *Gomphonema Szaboi* Pant. nov. spec.

Clavatis elongatis, 96  $\mu$ . longis, 15·5  $\mu$ . latis medio inflatis et polis obtusis. Striae transversae, 6—8 in 10  $\mu$ . striolatae, ad medium una magis elongata et duabus abbreviatis notata.

In stratis tertiaris aquae dulcis ad Deménd Hungariae. Icon: Beitr. III., tab. 2., fig. 34.

Denominavi in memoriam Dom. Prof. geolg. Jos. de Szabo Budapestini.

227. *Gomphonema transilvanicum* Pant. nov. spec.

Frustulis cuneatis, cum augulis obtusis, poro centrali nudo dilatato et membrana connect. hyalina plicata. Rhaphe directa. Porns centralis dilatatus. Striae 10—12 in 10  $\mu$ . radiantes ad medium valvae abbreviatae. Long. 72—100  $\mu$ . lat. 14—16  $\mu$ .

In stratis aquae dulcis ad Bibarczsalva, Bodos et Köpecz in Transilvania. Icon: Beitr. III., tab. 14., fig. 219, 220.

228. *Gomphopleura hungarica* Pant. Syn. *Berkeleya hungarica* Pant. Beitr. II., pg. 55 et 56.

Valvis elongatis, cum polis obtusis 114  $\mu$ . longis, 12·5  $\mu$ . latis. Rhaphe linearis, ad formam vittae nudae dilatata polos versus oblongo elliptica, hic eam poro terminali elongato apice acuto notata. Striae transversae punctatae, 11 in 10  $\mu$ .

In stratis marinis tertiaris ad Szakal et Nagy Kürtös in Hungaria. Icon: Beitr. III., tab. 9., fig. 165.

229. *Gomphopleura neogradensis* Pant. Syn. *Berkeleya neogradensis* Pant.

*Valvis elongatis modice inflatis, 160  $\mu$ . longis, 27  $\mu$ . latis, cum polis obtusis. Rhapbe directa ad polos dilatata, hic cum poro terminali elongato acuto notata. Striae transversae 16 in 10  $\mu$ . bilateraliter vitta atra nuda longitudinali interruptae.*

In stratis marinis tertiaris ad Szelez Hungariae. Icon: Beitr. III., tab. 36., fig. 508.

230. *Grammatophora biharenis* Pant. nov. spec.

*Frustulis quadrangulis elongatis attenuatis, 145  $\mu$ . longis, 15  $\mu$ . latis, cum septis duobus linearibus elongatis, ad porum centralem leniter inflatis. Striis marginalibus 28—30 in 10  $\mu$ .*

In stratis tertiaris marinis ad Izopallaga Serges Hungariae. Icon: Beitr. III., tab. 24., fig. 364.

231. *Grammatophora lyrata* Grun. var. *japonica* Pant.

*Frustulis rectangulis, cum angulis obtusis, 55—60  $\mu$ . longis 15  $\mu$ . latis. Septis undulatis, ad porum centralem hamuliforme flexis. Striis 10 in 10  $\mu$ . punctatis transversis.*

In stratis marinis tertiaris ad Wembets in insula Jesso. Icon: Beitr. III., tab. 21., fig. 314.

232. *Grammatophora monilifera* Temp. Brn.

*Frustulis ad septa lineis 3 longitudinalibus punctatis notatis. Long. 48  $\mu$ , lat. 15  $\mu$ . Punctis 14 in 10  $\mu$ .*

In stratis tertiaris marinis ad Wembets in insula Jesso. Icon: Beitr. III., tab. 11., fig. 178.

233. *Grammatophora valida* Pant. n. s. Syn. *Grammatophora japonica* Pant.

*Frustulis rectangulis 218·5  $\mu$ . longis, 64·5  $\mu$ . latis, cum angulis obtusis, septis incrassatis et striis marginalibus 20 in 10  $\mu$ .*

In stratis marinis tertiaris ad Wembets in insula Jesso. Icon: Beitr. III., tab. 24., fig. 358.

234. *Gyrodiscus vortex* O. W.

Diametr. disci 45  $\mu$ . Altitudo cornu 22·5  $\mu$ .

In stratis antiquissimis marinis ad Kusnetz in Russia. Icon: Beitr. III., tab. 24., fig. 353.

235. *Haynaldella antiqua* Pant. nov. gen. et spec.

Diametr. disci strigillati  $135 \mu$ .

In stratis marinis tertiaris ad Bory et Elesd in Hungaria.

Icon: Beitr. III., tab. 32., fig. 459.

236. *Hemiaulus biharensis* Pant. nov. spec.

Valvis ellipticis bicornutis, cum structura disseminate punctata. Cornubus acutis, hamulosis. Long.  $36 \mu$ , lat.  $16 \mu$ . Punctis 2—3 in  $10 \mu$ . Long. cornu  $26 \mu$ , lat. cornu  $2 \mu$ .

In stratis calcareis marinis tertiaris ad Borostelek in Hungaria. Icon: Beitr. III., tab. 38., fig. 528. 529.

237. *Hemiaulus Gurowii* Pant. Syn. *Biddulphia saratoviana*

Pant. Beiträge II., pg. 87., tab. 16., fig. 276.

Long.  $80 \mu$ . Altitudo corun  $30 \mu$ , gibbi  $12 \mu$ .

In stratis marinis antiquissimis ad Kusnetzk in Russia.

Icon: Beitr. III., tab. 32., fig. 460.

238. *Hemiaulus hungaricus* Pant.

Valvis ellipticis bicornutis, cum gibbo elevato et septis duobus validis. Poris in lineas radiantes dispositis. Long. 42—56  $\mu$ , alt. 10—12  $\mu$ . Poris 7—8 in  $10 \mu$ .

In stratis marinis tertiaris ad Szakal Hungariae. Icon: Beitr. III., tab. 19., fig. 284, 286.

239. *Hemiaulus rostratus* Pant. nov. spec.

Valvis superne visis circularibus convexis, cum elevationibus duabus marginalibus et poris in lineas radiantes ordinatis. Diametr. 27—29  $\mu$ . — Valvis a latere visis elevatis cum cornubus duobus hamuliferis acutis vestitis et punctis in lineas radiantes ordinatis. Altitudo cum cornu  $18 \mu$ , latitudo  $29 \mu$ . Lineis punctatis 8 in  $10 \mu$ .

In stratis marinis tertiaris ad Káránd in Hungaria. Icon: Beitr. III., tab. 37., fig. 521, 523.

240. *Hemiaulus Weissflogii* Pant. nov. spec.

Valvis superne visis ellipticis, ad polos acutis, cum septis arcuatis et circularibus; a latere visis cum cornubus duobus

lateralibus, gibbis 5, cum medio maximo magis elevato et spinis vestitis. Structura porosa. Poris disseminatis. Long. 89—100  $\mu$ . lat. 26  $\mu$ . Altitudo cornu 22  $\mu$ .

In stratis marinis antiquissimis ad Kusnetzk Russiae. Icon: Beitr. III., tab. 27., fig. 401, 402.

Dedicavi Dom. E. Weissflog in Dresden.

241. *Hyalodiscus rossicus* Pant.

Diametr. valvae 71—80  $\mu$ . Margo 2  $\mu$ . latus.

In stratis antiquissimis marinis ad Auanino Russiae. Icon: Beitr. III., tab. 5., fig. 72.

242. *Klenodiscus russicus* Pant. nov. spec.

Valvis hyalinis, superne visis circularibus convexis, cum crista elevata confluenta circulari et duobus cornubus elevatis vestita. Valvis a latere visis elevatis, cum serie poris majoribus ad cristam sitis et cornubus dilatatis magis elevatis confluentibus ornatis. Diametr. 51—64  $\mu$ .

In stratis antiquissimis marinis ad Kusnetzk in Russia. Icon: Beitr. III., tab. 24., fig. 353, 354.

*Lampretodiscus* Pant. nov. gen.

Circularis, convexus, late marginatus. Structura celluloso papillosa, fasciculata.

243. *Lampretodiscus fasciculatus* Pant.

Valvis circularibus, convexis 71  $\mu$ . latis, cum margine 3  $\mu$ . lato, cum corona pororum a squama tectorum cineto. Structura celluloso papillosa. Cellulae 6—9 in 10  $\mu$ ., ad marginem decrescentibus, ad centrum maximis, hic disseminate, ceterum in lineas rectas fasciculos constituentes dispositae.

In stratis antiquissimis marinis ad Ananino in Russia. Icon: Beitr. III., tab. 16., fig. 236.

244. *Mastogloia neogena* Pant. Syn. *M. Kinkerii* Pant. *M. Pethöi* Pant.

Valvis ellipticolanceolatis 30—41  $\mu$  longis, 13—22  $\mu$ . latis, cum polis obtusis. — Loculamentis 12 in 10  $\mu$ . Striis

punctatis 22 in 10  $\mu$ ., ad raphen area nuda arcuata, ad formam lyrae dilatata interruptis.

In stratis marinis tertiaris ad Káránd, Borostekek, Nyermegy, Serges Izsopallaga Hungariae. Icon: Beitr. III., tab. 37., fig. 519., tab. 41., fig. 559, 562.

#### 245. *Mastogloia rhomboidalis* Pant. nov. spec. Syn. M. Debyi Cleve.

Valvis lanceolato rhomboideis, cum polis obtusis. Long. 50—56  $\mu$ ., lat. 14—15  $\mu$ . Loculamentis dilatatis rectangulis, 6 in 10  $\mu$ . Striae punctatae 28 in 10  $\mu$ .. ad raphen área angustata nuda, ad formam lyrae dilatata interruptis.

In stratis marinis tertiaris ad Káránd et Nyermegy Hungariae. Icon: Beitr. III., tab. 41., fig. 563.

#### 246. *Mastogloia Smithii* Thw.

Long. valvae 33  $\mu$ ., lat. 9  $\mu$ . Locul. 6, striae 18 in 10  $\mu$ .

In stratis tertiaris marinis ad Bory, Borostekek, Káránd, Nyermegy, Serges Hungariae. Icon: Beitr. III., tab. 37., fig. 520.

#### 247. *Melosira arcuata* Pant.

Frustulis concatenatis arcuatis, cylindricis, punctatis. Puncta in lineas obliquas ordinatis. Lat. cylindri 5—6  $\mu$ .

In stratis tertiaris aquae dulcis ad Sentenai in insula Jesso. Icon: Beitr. III., tab. 9., fig. 157.

#### 248. *Melosira arenaria* Mor. var. *hungarica* Pant.

Frustulis concatenatis cylindricis, 25  $\mu$ . altis, 71—73  $\mu$ , latis. Cum corona porum majorum et punctis minoribus, in lineas obliquas ordinatis. Valvis superne visis orbicularibus, cum corona marginali septorum et striarum ornatis. Diam. disc. 73  $\mu$ .

In stratis tertiaris aquae dulcis ad Bory in Hungaria. Icon: Beitr. III., tab. 39., fig. 546, tab. 40., fig. 555.

#### 249. *Melosira crenulata* Kg. var. *ambigua* Grun.

Altitudo cylindris 9  $\mu$ ., lat. 13  $\mu$ . Striis punctatis 20 in 10  $\mu$ .

In stratis tertiaris aquae dulcis ad Deménd in Hungaria. Icon: Beitr. III., tab. 24., fig. 352.

250. *Melosira crenulata* Kg. var. *debilis* Pant.

Altitudo cylindris 12  $\mu$ . lat., 4·5  $\mu$ . Frustulis linearibus concatenatis, punctatis. Puneta 10 in 10  $\mu$ . in lineas rectas ordinata.

In stratis aquae dulcis tertiariis ad Dubravica Hungariae.  
Icon: Beitr. III., tab. 22., fig. 328.

251. *Melosira crenulata* Kg. var. *hungarica* Pant.

Frustulis concatenatis flexuosis, 7—8  $\mu$ . altis, 4—6  $\mu$ . latis, punctatis; punctis in lineas rectas 18 in 10  $\mu$ . ordinatis.

In stratis aquae dulcis tertiariis ad Köpeezi in Transilvania.  
Icon: Beitr. III., tab. 7., fig. 115.

252. *Melosira crenulata* Kg. var. *mocsarensis* Pant.

Frustulis cylindricis concatenatis, 14·5  $\mu$ . altis, 8  $\mu$ . latis, punctatis. Puneta in lineas obliquos 10 in 10 ordinata.

In stratis aquae dulcis tertiariis ad Moesar in Hungaria.  
Icon: Beitr. III., tab. 24., fig. 360.

253. *Melosira excentrica* Pant. nov. spec.

Valvis cylindricis ad polos elevatis orbicularibus. Discus excentrica punctatus 14·5  $\mu$ . latus marginatus. Punctis 15 in 10  $\mu$ .

In stratis aquae dulcis tertiariis ad Sentenai in insula Jesso. Icon: Beitr. III., tab. 6., fig. 90.

254. *Melosira fungiformis* Pant. nov. spec.

Frustulis cylindricis concatenatis, ad marginem crenulato undulatis, punctatis. Puncta in membr. connect. in lineas duas circulares ad polos in lineas rectas dispositis. Discus punctatus; puncta in lineas radiantes disposita. Alt. 30  $\mu$ , lat. 25·5  $\mu$ . Striis 20 in 10  $\mu$ . Diametr. disci 25—28  $\mu$ .

In stratis tertiariis marinis ad Nyermegy in Hungaria.  
Icon: Beitr. III., tab. 19., fig. 275.

255. *Melosira granulata* (E.) Ralfs.

Diametr. valvae 20  $\mu$ .

In stratis aquae dulcis tertiariis ad Hidas in Hungaria.  
Icon: Beitr. III., tab. 7., fig. 106.

256. *Melosira granulata* (E.) Ralfs. var. *attenuata* Pant.

Frustulis cylindricis, hispidis concatenatis 2·4—14  $\mu$ . altis, 8—10  $\mu$ . latis, punctatis. Puncta 10 in 10  $\mu$ . in lineas longitudinales ordinata.

In stratis tertiaris aquae dulcis ad Hidas in Hungaria.

Icon: Beitr. III., tab. 28., fig. 414.

257. *Melosira granulata* (E.) Ralfs. var. *borealis* Pant.

Discus cum corona punctorum marginalium cinctus, 12—15  $\mu$ . latus.

In stratis tertiaris aquae dulcis ad Farkasfalva in Hungaria.

Icon: Beitr. III., tab. 7., fig. 109.

258. *Melosira granulata* (E.) Ralfs. var. *boryana* Pant.

Frustulis augustis cylindricis concatenatis punctatis; paneta lineas longitudinales constituentia. Long. cylindri 10—15  $\mu$ . lat. 5—6  $\mu$ . Punctis 15 in 10  $\mu$ .

In stratis tertiaris aquae dulcis ad Bory in Hungariae.

Icon: Beitr. III., tab. 1., fig. 6.

259. *Melosira granulata* (E.) Ralfs. var. *hungarica* Pant.

Frustulis cylindricis concatenatis 16  $\mu$ . longis, 16  $\mu$ . latis, punctatis, puncta 10 in 10  $\mu$ . in lineas longitudinales et obliquas ordinata.

In stratis aquae dulcis tertiaris ad Hidas Hungariae.

Icon: Beitr. III., tab. 18., fig. 272.

260. *Melosira Haradae* Pant. nov. spec.

Frustulis cylindricis concatenatis, punctatis, punctis disseminatis irregulariter dispositis, 10 in 10  $\mu$ . Long. 12—13  $\mu$ ; lat. 9—10  $\mu$ .

In stratis tertiaris aquae dulcis ad Sentenai in insula Jesso. Icon: Beitr. III., tab. 8., fig. 124.

261. *Melosira hokkaidoana* Pant. nov. spec.

Frustulis cylindricis concatenatis 14—16  $\mu$ . long., 14—16  $\mu$ . latis, punctatis. Puncta in lineas 15 in 10  $\mu$ . longitudinales ordinata. Discus 13—16  $\mu$ . latus cum margine striolato, ceterum disseminate punctatus.

In stratis tertiaris aquae dulcis ad Sentenai in insula Jesso. Icon: Beitr. III., tab. 6., fig. 91, tab. 8., fig. 136.

262. *Melosira agria* Pant. n. s. Syn. *M. hungarica* Pant.

Valvis 28—30  $\mu$ . latis, discoideis, late marginatis punctatis, puncta in linea radiantes 15 in 10  $\mu$ . ad centrum pereurrentes ordinata.

In stratis tertiaris aquae dulcis ad Demend in Hungaria. Icon: Beitr. III., tab. 11., fig. 179.

263. *Melosira japonica* Pant. nov. spec.

Frustulis attenuatis cylindricis, concatenatis, 20—24  $\mu$ . longis, 3·5—4  $\mu$ . latis punctatis. Puncta disseminata, 10 in 10  $\mu$ . Discus medio elevatus ad marginem corona punctorum ornatus.

In stratis tertiaris aquae dulcis ad Sentenai in insula Jesso. Icon: Beitr. III., tab. 4., fig. 63, tab. 8., fig. 137.

264. *Melosira Kochii* Pant. nov. spec.

Valvis discoideis cum corona striarum marginalium cinctus. Diametr. 44  $\mu$ . Radiis 10 in 10  $\mu$ .

In stratis tertiaris aquae dulcis ad Magyar Hermány in Transilvania. Icon: Beitr. III., tab. 20., fig. 292.

265. *Melosira laevis* (E.) Grun.

Long. 4—12  $\mu$ . lat. 9—10  $\mu$ ; striis 25 in 10  $\mu$ .

In stratis tertiaris aquae dulcis ad Magyar Hermány in Transilvania. Icon: Beitr. III., tab. 7., fig. 117.

266. *Melosira Perugalloi* Pant. nov. spec.

Discus convexus, ad marginem corona radiorum abbreviaturum conjunctorum ornatus et striolis marginalibus cinctus. Diametr. 57  $\mu$ . margo 3  $\mu$ . latus. radiis 5 in 10  $\mu$ , striolis 14 in 10  $\mu$ .

In stratis marinis tertiaris ad Szakal in Hungaria. Icon: Beitr. III., tab. 36., fig. 505.

267. *Melosira Pethöi* Pant. Syn. *M. spinosa* Pant.

Discus convexus, ad marginem cum corona spinarum cinctus, ceterum cum punctis majoribus, lineas radiante

constituentes ornatus. Area centralis subnuda. Diam. 45—50  $\mu$ .  
Margo 2  $\mu$ . latus.

In stratis tertiaris marinis ad Kárád Hungariae. Icon:  
Beitr. III., tab. 28., fig. 413.

268. *Melosira scala* (E.) Grun.

Long. 18·4  $\mu$ ., lat. 7·2  $\mu$ ; striis 28 in 10  $\mu$ .

In stratis tertiaris aquae dulcis ad Bory in Hungaria.  
Icon: Beitr. III., tab. 1., fig. 3.

269. *Melosira Temperei* Pant. nov. spec.

Frustulis validis concatenate, 13·6  $\mu$ . longis. 15·2  $\mu$ . latis,  
cum punctis grossis papillosum, 6 in 10  $\mu$ . in lineas longitudinales  
ornatis.

In stratis tertiaris aquae dulcis ad Köpecz in Transil-  
vania. Icon: Beitr. III., tab. 24., fig. 356.

Dedicavi Dom. J. Tempère diatomologo celeberrimo Parisii.

270. *Melosira transsilvanica* Pant. nov. spec.

Frustulis concatenate, cylindricis, ad polos magis convexis,  
punctatis, punctis in lineas longitudinales 10 in 10  $\mu$ . ordinatis.  
Lat. 20—22  $\mu$ . alt. 4·5—6  $\mu$ .

In stratis tertiaris aquae dulcis ad Köpecz et Bodos in  
Transilvania. Icon: Beitr. III., tab. 14., fig. 212.

271. *Melosira undulata* (E.) Kg.

Alt. 95—100  $\mu$ ., lat. 24—25  $\mu$ . Diametr. 56  $\mu$ .

In stratis tertiaris aquae dulcis ad Bory, Farkasfalva,  
Mocsár in Hungariae. Icon: Beitr. III., tab. 9., fig. 146, 149.

272. *Melosira undulata* (E.) Kg. var. *gracilior* Pant.

Frustulis graciliорibus quam species, 59—65  $\mu$ . longis,  
20·5—21  $\mu$ . latis. Striis 15 in 10  $\mu$ .

In stratis tertiaris aquae dulcis ad Farkasfalva in Hungaria.  
Icon: Beitr. III., tab. 3., fig. 44.

273. *Melosira undulata* (E.) Kg. var. *minor* Pant.

Frustulis minoribus, cylindricis, concatenate, 32  $\mu$ . longis,  
13·6  $\mu$ . latis, punctatis, puncta in lineas spirales 15 in 10  
ordinata.

In stratis tertiaris aquae dulcis ad Bory in Hungaria.  
Icon: Beitr. III., tab. 7., fig. 118.

274. *Navicula appendiculata* (Ag.) Kg.

Long. 44  $\mu$ ., lat. 9  $\mu$ . Striae 12 in 10  $\mu$ .

In stratis tertiaris aquae dulcis ad Magyar Hermány in Transilvania. Icon: Beitr. III., tab. 3., fig. 46.

275. *Navicula aradina* Pant. nov. spec.

Valvis lanceolatis 48—50  $\mu$ . longis, 8—9  $\mu$ . latis, cum polis obtusis. Area nuda rhaphen directam sequens dilatata lanceolata. Striae 10 in 10  $\mu$ . dilatatae marginales, radiantes.

In stratis marinis tertiaris ad Kavna Bremia in Hungaria. Icon: Beitr. III., tab. 30., fig. 434.

276. *Navicula arata* Grun.

Long. 90—93  $\mu$ ., lat. 24—25  $\mu$ . Striae 8 in 10  $\mu$ .

In stratis tertiaris aquae dulcis ad Bory, Dubravica, Farkasfalva in Hungaria. Icon: Beitr. III., tab. 23., fig. 342.

277. *Navicula arcuata* Pant. nov. spec.

Valvis late lanceolato ellipticis, 24—25  $\mu$ . longis, 13—14  $\mu$ . latis. Khaphe directa. Area centralis elliptica dilatata. Striis 25 in 10  $\mu$ . arcuatis.

In stratis tertiaris aquae dulcis ad Sentenai in insula Jesso. Icon: Beitr. III., tab. 6., fig. 97.

278. *Navicula assymetrica* Pant. nov. spec.

Valvis ellipticis obtusis, 17—18  $\mu$ . longis, 8·5—9  $\mu$ . latis. Area centralis ad formam fasciae transverse dilatata, unilateraliiter cum stria singulari abbreviata marginali notata. Striae radiantes 20 in 10  $\mu$ .

In stratis tertiaris aquae dulcis ad Sentenai in insula Jesso. Icon: Beitr. III., tab. 7., fig. 110.

279. *Navicula bacilliformis* Grun.

Long. 30—40  $\mu$ . lat. 7—8  $\mu$ . Striae 25 in 10  $\mu$ .

In stratis tertiaris aquae dulcis ad Magyar Hermány in Transilvania. Icon: Beitr. III., tab. 3., fig. 49.

280. *Navicula bodosensis* Pant. spec. nov.

Valvis elongatolanceolato ellipticis (trochisciformibus), cum polis obtusis et medio inflatis. Area axilaris lanceolata, ad porum centralem transverse dilatata, hic ad rhaphem maculis duabus oblongis notata. Striis marginalibus radiantibus ad centrum interruptis. Long. 70  $\mu$ . Lat. 21  $\mu$ . Striae 18 in 10  $\mu$ .

In stratis tertiaris aquae dulcis ad Bibarczsalva, Bodos et Köpecz in Transilvania. Icon: Beitr. III., tab. 3., fig. 35.

281. *Navicula borealis* (E.) Kg. var. *fossilis* Pant.

Long. 47—50  $\mu$ ., lat. 13—14  $\mu$ . Striae vastae ovales 3—4 in 10  $\mu$ .

In stratis tertiaris aquae dulcis ad Köpee in Transilvania. Icon: Beitr. III., tab. 5., fig. 73.

282. *Navicula Brebissonii* Kg. var. *fossilis* Pant.

Long. 60—65  $\mu$ ., lat. 12—14  $\mu$ . Striae 10 in 10  $\mu$ .

In stratis tertiaris aquae dulcis ad Magyar Hermány et Bodos in Transilvania. Icon: Beitr. III., tab. 19., fig. 279.

283. *Navicula Buvaliana* Pant. nov. spec.

Species insignis cum valvis ellipticis, 95—100  $\mu$ . longis, 35—42  $\mu$ . latis, cum polis rotundatis obtusis, ad marginem cum vitta atra elliptica, ad rhaphem cum vittis duabus atris elongatis medio inflatis ornata. Area centralis ovalis dilatata. Structura porosa. Poris ellipticis 5 in 10  $\mu$ . transversis papillosum, in lineas transversas 7—8 in 10  $\mu$ . ordinatis. Area axillaris linea margaritorum cincta. Rhaphe directa valida incrassata.

In stratis tertiaris aquae dulcis ad Bibarczsalva, Bodos et Köpecz in Transilvania. Icon: Beitr. III., tab. 4., fig. 57.

284. *Navicula carpathorum* Pant. nov. spec.

Valvis ellipticis, 85—100  $\mu$ . longis, 35—40  $\mu$ . latis, polis obtusis, cum rhaphe incrassata, et nodulo centrali dilatato elliptica. Striis punctatis 15 in 10  $\mu$ .

In stratis tertiaris ad Dubravica, Bory, Farkasfalva, Ibraes, Jastraba, Moesar in Hungaria. Icon: Beitr. III., tab. 17., fig. 246.

285. *Navicula confederata* Pant. nov. spec.

Valvis ellipticis 95—100  $\mu$ . longis, 34—36  $\mu$ . latis, cum polis obtusis. Rhaphe directa, polos versus unilateraliter hamuli forme inflexa. Porus centralis transverse ellipticus dilatatus. Striis 8 in 10  $\mu$ ., grosse punctatis subradianibus. Puncta lineas longitudinales constitueentes.

In stratis tertiaris marinis ad Richmond in Amerika borealis. Icon: Beitr. III., tab. 34., fig. 481.

286. *Navicula curtestria* Pant. nov. spec.

Valvis linearibus sublanceolatis, ad medium inflatis, cum polis obtusis 70—80  $\mu$ . longis, 14—15  $\mu$ . latis, cum striis validis abbreviatis marginalibus, 10—12 in 10  $\mu$ . Rhaphe directa dilatata. Area axillaris late lanceolata.

In stratis tertiaris aquae dulcis ad Köpecz in Transilvania. Icon: Beitr. III., tab. 12., fig. 188.

287. *Navicula debilis* Pant. nov. spec.

Valvis linearibus, cum polis obtusis, 19—20  $\mu$ . longis, 5—6  $\mu$ . latis. Striis transversis parallelis 28 in 10  $\mu$ .

In stratis tertiaris aquae dulcis ad Sentenai in insula Jesso. Icon: Beitr. III., tab. 6., fig. 98.

288. *Navicula decumana* Pant. nov. spec.

Valvis linearibus elongatis, cum polis obtusis rotundatis 117—126  $\mu$ . longis, 19—21  $\mu$ . latis. Rhaphe directa, ad polos inflexa, ab area axillari elongata dilatata cineta. Striae validae transversae ad polos ascendentes 13—14 in 10  $\mu$ .

In stratis tertiaris aquae dulcis ad Köpecz in Transilvania. Icon: Beitr. III., tab. 35., fig. 499.

289. *Navicula deficilis* Pant. nov. spec.

Valvis ellipticis 49—51  $\mu$ . longis, 34—35  $\mu$ . latis, cum area axillari dilatata lyraeformi. Striae marginales, ad rhaphem in linea longitudinali dispositae. 8 in 10  $\mu$ .

In stratis tertiaris marinis ad Nyermegy in Hungaria. Icon: Beitr. III., tab. 41., fig. 560.

290. *Navicula dubravicensis* Pant. Syn. *Nav. radiosa* Kg. var. *dubravicensis* Grun.

Long. 64—70  $\mu$ ., lat. 12—13  $\mu$ . Striae radiantes ad polos adscendentes 10 in 10  $\mu$ .

In stratis tertiaris aquae dulcis ad Dubravica in Hungaria. Icon: Beitr. III., tab. 19., fig. 281.

291. *Navicula duplex* Pant. nov. spec.

Valvis latelanceolate ellipticis, cum lateris directis et polis obtusis, 88—92  $\mu$ . longis, 37—40  $\mu$ . latis. Rhaphe directa. Area axillaris incrassata nuda, ad formam lyrae dilatata. Striae validae 9—10 in 10  $\mu$ ., marginales abbreviatae radiantes, ad rhaphen sitis separatae.

In limo maris ad Neapolium. Icon: Beitr. III., tab. 42., fig. 579.

292. *Navicula Egeria* Pant. nov. spec.

Valvis ellipticis 80  $\mu$ . longis, 25  $\mu$ . latis, cum polis obtusis. Rhaphe directa. Area axillaris angustata sublyraformis. Striae radiantes 16 in 10  $\mu$ . subtiliter punctatae, a vittis duabus atris nigris longitudinales ad rhaphen sitis subundulatis, interruptae.

In stratis marinis tertiaris ad Kavna Bremia in Hungaria. Icon: Beitr. III., tab. 42., fig. 578.

293. *Naricula elliptica* Kg. var. *fossilis* Pant.

Valvis 33·6  $\mu$ . longis, 20  $\mu$ . latis. Rhaphe valida incrassata. Nodus centralis ellipticus dilatatus. Striis 11—12 in 10  $\mu$ ., arcuatis subtiliter punctatis.

In stratis aquae dulcis tertiaris ad Deménd in Hungaria. Icon: Beitr. III., tab. 2., fig. 32.

294. *Navicula Entzii* Pant. nov. spec. Syn. *Nav. basilica* Pant. non Brun.

Valvis lanceolato ellipticis, cum polis obtusis, 66—72  $\mu$ . longis, 25—32  $\mu$ . latis. Rhaphe directa, ad polos inflexa, ab area axillari nuda ad nodulum centralem elliptice dilatata, cincta. Striae validae radiantes 6—7 in 10  $\mu$ .

In stratis tertiaris aquae dulcis ad Bodos, Köpecz in Transilvania. Icon: Beitr. III., tab. 8., fig. 129.

Dedieavi Dom. prof. Géza Entz Budapestini.

295. *Navicula exigua* Greg.

Long. 22  $\mu$ ., lat. 11  $\mu$ . Striae radiantes 10 in 10  $\mu$ . subtiliter punctatae.

In stratis tertiaris aquae dulcis ad Magyar Hermány in Transilvania. Icon: Beitr. III., tab. 3., fig. 48.

296. *Navicula filiformis* Pant. nov. spec.

Valvis angustis linearibus subrhombicis 124.5  $\mu$ . longis, 15  $\mu$ . latis, cum polis subacutis. Rhaphe directa, ab area axillari nuda dilatata subrhombica cineta. Striae radiantes marginales 12 in 10  $\mu$ .

In stratis marinis tertiaris ad Nyermegy in Hungaria. Icon: Beitr. III., tab. 39., fig. 358.

297. *Navicula Flattii* Pant. nov. spec.

Valvis elongato lanceolatis, cum polis productis subacutis. 154—160  $\mu$ . longis, 31—33  $\mu$ . latis. Rhaphe directa ab area axillari lanceolata dilatata cincta. Striae validae 6—7 in 10  $\mu$ . radiantes, striatae, uno latere valvae, a vitta hyalina lata nuda interruptis.

In stratis marinis tertiaris ad Izsópallaga Serges in Hungaria. Icon: Beitr. III., tab. 22., fig. 330.

Dedieavi hanc praeclaram speciem amico meo C. de Flatt botanopbilo Budapestini.

298. *Navicula gastrum*, (E.) Donkin.

Long. 27  $\mu$ ., lat. 10.5  $\mu$ . Striae 12—15 in 10  $\mu$ .

In stratis tertiaris aquae dulcis ad Jastraba, Ibrács, Lutilla, Dubravica, Farkasfalva, Magyar Hermány in Hungaria. Icon: Beitr. III., tab. 3., fig. 48.

299. *Navicula Gurowii* Pant. nov. spec.

Valvis rhomboideo lanceolatis, cum polis productis obtusis 49—58  $\mu$ . longis, 20.5—21  $\mu$ . latis. Rhaphe incrassata directa, ab area axillari hyalina, ad nodulum centralem elliptice dilatata cincta. Striae validae radiantes ad centrum sitis longiores brevioresque, 6—7 in 10  $\mu$ . nudae.

In stratis tertiaris aquae dulcis ad Bodos et Köpecz in Transilvania. Icon: Beitr. III., tab. 4., fig. 58.

300. *Navicula Gutwinskii* Pant. nov. spec.

Valvis elongato linearibus, cum polis rotundatis 163·5  $\mu$ . longis. 30  $\mu$ . latis. Rhaphe directa dilatata incrassata, ad nodulos terminales flexa, hic unilateraliter poro solitario notata. Area axillaris linearis dilatata. Porus centralis ovalis dilatatus. Striae validae subradiantes, ad polos ascendentes, nudae 6—8 in 10  $\mu$ .

In stratis tertiaris aquae dulcis ad Bodos, Bibarczfalva et Köpecz in Transilvania. Icon: Beitr. III., tab. 14., fig. 217.

Dedicavi amico meo dom. prof. R. Gutwinskii Krakowiae.

301. *Navicula Haraduae* Pant. nov. spec.

Valvis late ellipticis 21·6  $\mu$ . longis, 14·5 latis, ad polos rotundatis. Rhaphe directa. Area axillaris angustata nuda. Porus centralis transverse dilatatus. Striae 22—25 in 10  $\mu$ . arcuato radiantes.

In stratis tertiaris aquae dulcis ad Sentenai in insula Jesso. Icon: Beitr. III., tab. 6., fig. 100.

302. *Navicula hasta* Pant. nov. spec.

Valvis elongato lanceolatis 63—76  $\mu$ . longis, 14—18  $\mu$ . latis, cum polis productis obtusis. Rhaphe directa, ab area axillari longitudinali sat dilatata cincta. Striae validae radiantes striolatae 8—10 in 10  $\mu$ . ad centrum longiores et breviores.

In stratis tertiaris aquae dulcis ad Bibarczfalva, Bodos et Köpecz in Transilvania. Icon: Beitr. III., tab. 5., fig. 74, tab. 14., fig. 213.

303. *Navicula Hauerii* Grun.

Long. 100—110  $\mu$ ., lat. 16—18  $\mu$ . Striae 7—8 in 10  $\mu$ .

In stratis tertiaris aquae dulcis ad Dubravica, Bory, Farkasfalva, Ibrács, Jastraba, Lutilla, MagyarHermány et Moesár in Hungaria. Icon: Beitr. III., tab. 8., fig. 135.

304. *Navicula hilarula* Pant. nov. spec.

Valvis ellipticis 45—50  $\mu$ . longis, 26—27·5 latis. Rhaphe directa valde incrassata obtusa. Area axillaris lanceolate dilatata, area centralis magna ovalis. — Structura alveolata.

Alveolae ellipticae, in lineas radiantes abbreviatas 7—8 in 10  $\mu$ . dispositae, ad aream axillarem, in lineas hyalinas transientes.

In stratis tertiaris aquae dulcis ad Bibarczfalva, Bodos et Köpecz in Transylvania. Icon: Beitr. III., tab. 15., fig. 230.

305. *Navicula Hornigii* Pant. nov. spec.

Valvis ellipticis, medio leniter impressis, cum polis obtusis 49.5  $\mu$ . longis, 15  $\mu$ . latis. Rhaphe directa valida; porus centralis ellipticus dilatatus. Area axillaris lanceolata sat dilatata. Striis punctatis 8 in 10  $\mu$ . subradiantibus, ad rhaphem cum puncto majori exientibus, hic lineam longitudinalem areuatam et marginem internum repandum situm formantibus.

In stratis marinis tertiaris ad Bory Hungariae. Icon: Beitr. III., tab. 16., fig. 241.

Dedicavi Illustr. Domino lib. Bar. Hornig Episcopo Albae Regiensi.

306. *Navicula Hyrtlii* Pant. nov. spec.

Valvis lineare ellipticis, cum polis rotundatis, 180—200  $\mu$ . longis, 34—36  $\mu$ . latis. Rhaphe directa, ad polos inflexa, poro solitario notata, incrassata. Porus centralis et terminalis rotundatus dilatatus, Area axillaris elongata dilatata. Striae validae confluentes radiantes, ad polos ascendentes, 7—8 in 10  $\mu$ .

In stratis tertiaris aquae dulcis, ad Bibarczfalva, Bodos et Köpecz in Transilvania. Icon: Beitr. III., tab. 17., fig. 257.

Dedicavi dom. Prof. Jos. Hyrtl, anatomo celeberrimo et magistro meo carissimo Vindobonae.

307. *Navicula illustra* Pant. Syn. N.. Sandriana Grnn. var. *fossitis* Pant. Nav. *ypsilone* Clev.

Valvis late ellipticis, cum polis rotundatis 130  $\mu$ . longis, 50  $\mu$ . latis. Rhaphe directa, ad polos hamuliforme inflexa. Area axillaris ad formam lyrae dilatata, ad strias rhaphidem tangentes striolata, hic striolae vittam areuatam latam striolatam constituentes. Striae marginales 20 in 10  $\mu$ . radiantes nudaee, ad rhaphidem sitae quasi separatae elevatae transversae punctatae.

In stratis marinis tertiaris ad Bory Hungariae. Icon: Beitr. III., tab. 2., fig. 17.

308. *Navicula inscendens* Pant. nov. spec. Syn. Nov. muscae-formis Pant. non. Grun.

Valvis late panduraeformibus, cum polis subacutis, 42—58  $\mu$ . longis, 18—20  $\mu$ . latis. Rhaphe directa. Area axillaris panduraeformis dilatata nuda. Striae 7 in 10  $\mu$ . punctatae radiantes et in lineas longitudinales arcuato undulatas ordinatae.

In stratis tertiaris marinis ad Káránd Hungariae. Icon: Beitr. III., tab. 17., fig. 256.

309. *Navicula includens* Pant. nov. spec.

Valvis elongatis, cum polis subcuneatis 69  $\mu$ . longis, 10  $\mu$ . latis. Rhaphe directa vasta abbreviata, polos non attigens. Area axillaris angusta, usque ad polos percurrentes; area centralis elliptice dilatata. Striae punctatae transversae 18 in 10  $\mu$ . Valva ad marginem cum vitta longitudinali cincta.

In stratis marinis tertiaris ad Izsopallaga Serges in Hungaria. Icon: Beitr. III., tab. 13., fig. 201.

310. *Navicula inculta* Pant. nov. spec.

Valvis elongatis, cum polis subrostratis 88  $\mu$ . longis 14·4  $\mu$ . latis. Rhaphe directa, ad polos hamuliforme inflexa, Area axillaris elongata angusta. Striae nudae, 18—20 in 10  $\mu$ . subradiantes transversae.

In stratis tertiaris aquae dulcis ad Bibarezfalva, Bodos, Köpecz in Transilvania. Icon: Beitr. III., tab. 14., fig. 216.

311. *Navicula Jimboi* Pant. nov. spec.

Valva lanceolata, subrostrata, obtusa 32—40  $\mu$ . longa, 16—19 lata. Rhaphe directa. Area axillaris angustata, centralis angusta subtransversa, unilateraliter cum poro solitario majori notata. Striae 13 15 in 10  $\mu$ . punctatae, subradiantes ad centrum valvae unilateraliter cum longiori et breviori intermixtae.

In stratis tertiaris aquae dulcis ad Sentenai in insula Jesso. Icon: Beitr. III., tab. 5., fig. 81.

312. *Navicula Kanitzii* Pant.

Valvis elongatis medio inflatis, ad polos obtusis. Long. 93·6  $\mu$ . lat. 18·4  $\mu$ . Rhaphe directa valida, ad polos inflexa, ab

area axillari dilatata lanceolata et ad nodulum centralem bilateraliter macula oblonga cincta. Striae transversae superne parallelae, ad medium radiantes 15—18 in 10  $\mu$ .

In stratis tertiariis aquae duleis ad Köpecz in Transilvánia.  
Icon: Beitr. III., tab. 3., fig. 41.

Dedicavi amico meo dom. prof. Akusio Kanitz in universitate ad Kolozsvár.

### 313. *Navicula Kinkeriana* Pant.

Valvis panduraeformibus 143  $\mu$ . longis, ad polos 38·5  $\mu$ . ad medium 19  $\mu$ . latis. — Rhaphe directa, ab area panduriformi hyalina, tantum ad striae vitta disseminate punctata cincta. Striae radiantes marginatae, a granulis 3—4 confluentibus constitutae 7—9 in 10  $\mu$ .

In limo marino ad Neapolin. Icon: Beitr. III., tab. 42., fig. 571.

### 314. *Navicula latevittata* Pant. nov. spec.

Valvis elongatis cum polis subcuneatis. Long. 76·5  $\mu$ ., lat. 22·2  $\mu$ . Rhaphe directa, valida. Area axillaris elongata angustata; area centralis rotundata. Striae 15—18 in 10  $\mu$ . transversae parallelae ad marginem vitta dilatata nuda longitudinali interruptae.

In stratis tertiariis aquae duleis ad Bodos in Transilvania.  
Icon: Beitr. III., tab. 8., fig. 122.

### 315. *Navicula latissima* Greg.

Long. 121  $\mu$ ., lat. 51  $\mu$ . Striae 12 in 10.

In stratis tertiariis marinis ad Bory, Nagy Kürtös, Szakal, Szent Péter, Borostelek, Káránd, Serges, Nyermegy in Hungaria.  
Icon: Beitr. III., tab. 41., fig. 568.

### 316. *Navicula latissima* Greg. var. *capitata* Paut. nov. spec.

Cum polis capitatis. Long. 92  $\mu$ ., lat. 45  $\mu$ . Striae 10—11 in 10  $\mu$ .

In stratis tertiariis marinis ad Bory, Nagy Kürtös, Szakal, Szent Péter, Borostelek, Élesd, Káránd, Serges, Nyermegy in Hungaria. Icon: Beitr. III., tab. 32., fig. 461.

317. *Navicula Leonis* Pant. nov. spec. Syn. *Nav. conspersa*  
Pant. non. E.

Valvis subeltipticis cum polis capitatis, ad marginem parallelis. Long. 50·5  $\mu$ ., lat. 26  $\mu$ . Rhaphe directa. Area axillaris sat dilatata, centralis rotundata. Striae subradiantes 10—10  $\mu$ . punctatae. Puncta 20 in 10  $\mu$ .

In stratis tertiaris aquae dulcis ad Köpecz in Transilvania. Icon: Beitr. III., tab. 11., fig. 184.

318. *Navicula lucida* Pant. nov. spec.

Valvis linearibus elongatis subrhombicis. ad polos obtusis. Long. 192  $\mu$ ., lat. 19  $\mu$ . — Rhaphe directa. Area axillaris angustata, centralis elliptica. Striae 15—16 in 10  $\mu$ ., medio radiantes, ad polos parallelae.

In stratis tertiaris aquae dulcis ad Bodes. Köpecz in Transilvania. Icon: Beitr. III., tab. 18., fig., 264.

319. *Navicula Lyra* E. var. *acuta* Pant.

Long. 90  $\mu$ ., lat. 50  $\mu$ . cum polis acutis. Striae 12 in 10  $\mu$ . punctatae.

In stratis tertiaris marinis ad Nagy Kürtös Hungariae. Icon: Beitr. III., tab. 33., fig. 468.

320. *Navicula Lyra* E. var. *hungarica* Pant.

Long. 122·5  $\mu$ ., lat. 52·7  $\mu$ . subelliptica. Striae radiantes 10—11 in 10  $\mu$ .

In stratis tertiaris ad Nagy Kürtös in Hungaria. Icon: Beitr. III., tab. 34., fig. 479.

321. *Navicula Lyra* E. var. *producta* Pant.

Valvis ellipticis. Long. 145  $\mu$ ., lat. 57  $\mu$ . Area axillaris lyraeformis. ad medium leniter constricta, centralis transverse dilatata. Striae 12 in 10  $\mu$ .

In stratis tertiaris marinis ad Nagy Kürtös Hungariae. Icon: Beitr. III., tab. 33., fig. 466.

322. *Navicula major* Kg. var. *andesitica* Pant.

Linearis elongata, cum lateribus directis. polis obtusis. Long. 131  $\mu$ ., lat. 21  $\mu$ . Striae 8—10 in 10  $\mu$ .

In stratis tertiaris aquae dulcis ad Bory in Hungaria.  
Icon: Beitr. III., tab. 7., fig. 113.

323. *Navicula Mantchora* Pant. nov. spec.

Valvis panduraeformibus. Long. 161·5  $\mu$ . lat. ad polos 47·6  $\mu$ . ad constrictionem 25·5  $\mu$ . Rhaphe directa valida incrassata sub-lageniformis inflata. Area axillaris dilatata, ad rhaphen poris majoribus in linea longitudinali ordinatis notata. — Striae validae 4—5 in 10  $\mu$ . arcuato radiantes, a poris majoribus 3 confluentibus constitutae.

In stratis tertiaris marinis ad Nagy Kürtös in Hungaria.  
Icon: Beitr. III., tab. 35., fig. 490.

324. *Navicula margarita* Pant. Syn. *Nav. margaritifera* Pant.  
non Trü. Witt.

Valvis panduraeformibus ad polos rotundatis 81  $\mu$ . longis, lat. ad poles 29  $\mu$ . ad constrictionem 21  $\mu$ . Rhaphe valida, ad formam lagenae inflata, a linea longitudinali poris majoribus constituta cincta. Area axillaris sat dilatata. centralis sub-transversa. Striae 6 in 10  $\mu$ . subradiantes arcuatae, a poris majoribus papillosum constitutae.

In stratis tertiaris marinis ad Nagy Kürtös in Hungaria.  
Icon: Beitr. III., tab. 35., fig. 494.

325. *Navicula Martonfi* Pant. nov. spec.

Valvis elongatoellipticis 136·5  $\mu$ . longis, 24  $\mu$ . latis. Rhaphe directa. Area axillaris angustata linearis. ad polos rostrata, centralis elliptica. Striae transversae 20 in 10  $\mu$ . longitudinales 10 in 10  $\mu$ .

In stratis marinis tertiaris ad Nyermegy in Hungaria.  
Icon: Beitr. III., tab. 17., fig. 247.

326. *Navicula Maulerii* Brun.

Long. 20—25  $\mu$ . lat. 8—13  $\mu$ . Striae 7—8 in 10  $\mu$ .

In stratis tertiaris aquae dulcis ad Bodos et Köpeecz in Transsilvania. Icon: Beitr. III., tab. 7., fig. 105., tab. 9., fig. 150.

327. *Navicula mesolepta* (E.) Kg. var. *boryana* Pant.

Area centralis dilatata subrhombica. Long. 51  $\mu$ . lat. 11  $\mu$ .  
Striae 11—12 in 10  $\mu$ .

In stratis marinis tertiaris ad Bory Hungariae. Icon:  
Beitrg. III., tab. 21., fig. 312.

328. *Navicula Mikado* Pant. nov. spec.

Elliptica, ad polos rotundata 76—99  $\mu$ . longa, 51—61  $\mu$ .  
lata. Rhaphe directa, ad polos inflexa. Area axillaris ad formam  
lyrae dilatata nuda. Striae medio transversae parallelae ad  
polos radiantes 6, 7, 8 in 10  $\mu$  punctatae.

In stratis tertiaris marinis ad Wembets in insula Jesso.  
Icon: Beitrg. III., tab. 23., fig. 334.

329. *Navicula mocsarensis* Pant. nov. spec.

Late elliptico lanceolata, 50—55  $\mu$ . longa, 23—26  $\mu$ . lata.  
cum polis rostratis. Rhaphe directa. Area axillaris longitudi-  
nalis, centralis obliqua transverse dilatata. Striae radiantes.  
medio minores, punctatae 8—9 in 10  $\mu$ .

In stratis tertiaris aquae dulcis ad Mocsár in Hungarie.  
Icon: Beitrg. III., tab. 23., fig. 340.

330. *Navicula neogena* Pant. nov. spec.

Valvis linearibus, medio inflatis, cum polis rotundatis.  
Long. 37—62  $\mu$ ., lat. 7·5—9  $\mu$ . Rhaphe directa. Area axillaris  
angustata linearis, centralis ad formam vittae dilatatae trans-  
versae usque ad marginem percurrente, hic striae interrumpens.  
Striae transversae parallelae 20 in 10  $\mu$ .

In stratis tertiaris aquae dulcis ad Dubravica in Hungaria.  
Icon: Beitrg. III., tab. 17., fig. 252; tab. 25., fig. 372.

331. *Navicula Neumayeriana* Pant.

Valvis lanceolatis subrostratis. Long. 50  $\mu$ ., lat. 18·5  $\mu$ .  
Rhaphe directa, ad polos inflexa. Area axillaris longitudinalis  
sat dilatata, centralis transverse elliptica Poris 10 in 10  $\mu$ .  
in lineas radiosas 14 in 10  $\mu$ . ordinatis.

In stratis tertiaris aquae dulcis ad Bory Hungariae. Icon:  
Beitrg. III., tab. 4., fig. 64.

332. *Navicula nigricans* Pant. Syn. *Nav. fusca* Grun. var.  
*permagna* Pant. Beiträge II. pg. 49.

Valvis elongato ellipticis 150—200  $\mu$ . longis, 60—70  $\mu$ . latis. Rhaphe inflata. Area centralis rotundata dilatata. Striae 6—7 in 10  $\mu$ . grosse punctatae subradiantes, usque ad raphen percurrentes, hic vitta longitudinali medio inflata nigra interruptae. Valva nigreseens.

In stratis tertiariis marinis ad Bory in Hungaria. Icon: Beitr. III., tab. 40., fig. 552.

333. *Navicula nobilis* (E.) Kg. var. *neogena* Grun.

Long. 157  $\mu$ . lat. 23  $\mu$ . Striae 7—8 in 10  $\mu$ .

In stratis tertiariis aquae dulcis ad Bory, Dubravica, Farkasfalva in Hungaria. Icon: Beitr. III., tab. 9., fig. 159.

334. *Navicula oblonga* Kg.

Long. 100  $\mu$ ., lat. 12·5  $\mu$ . Striae 6—8 in 10  $\mu$ ., ad polos subcapitatos bamuliforme inflexae.

In stratis tertiariis aquae dulcis ad Bory, Dubravica, Farkasfalva, Magyar Hermány in Hungaria. Icon: Beitr. III., tab. 8., fig. 142.

335. *Navicula Orphei* Pant. nov. spec.

Valvis ellipticis elongatis, cum polis obtusis. Long. 69  $\mu$ . lat. 22  $\mu$ . Rhaphe directa. Area axillaris ad formam lyrae dilatata nuda, centralis transverse dilatata. Striae radiantes 26 in 10  $\mu$ . punctatae. An Mastogloiae spec.?

In stratis tertiariis marinis ad Nyermegy in Hungaria. Icon: Beitr. III., tab. 42., fig. 580.

336. *Navicula Ostracodarum* Pant. nov. spec.

Valvis subellipticis. Long. 33·5  $\mu$ ., lat. 22  $\mu$ . Rhaphe directa lageniforme inflata. Area centralis rotundata. Striae validae 8 in 10  $\mu$ ., a poris majoribus constitutae, arcuato radiantes ad raphen vitta longitudinali medio inflata interruptis. Poris 8—9 in 10  $\mu$ .

In stratis tertiariis aquae dulcis ad Köpecz in Transilvania. Icon: Beitr. III., tab. 9., fig. 145.

337. *Navicula pachyptera* (E.) Kg.

Long. 88·5  $\mu$ ., lat. 28·5  $\mu$ . Striae 3 in 10  $\mu$ .

In stratis tertiaris aquae dulcis ad Dubravica Hungariae.  
Icon: Beitr. III., tab. 20., fig. 302.

338. *Navicula paludinarum* Pant. nov. spec.

Valvis lanceolatis obtusis. Long. 105·4  $\mu$ .. lat. 34  $\mu$ . Rhaphe directa ad polos inflexa, ab area axillari elongata sat dilatata circulari cineta. Striae validae radiantes 7—8 in 10  $\mu$ . cum alveolis ellipticis. obliquis, confluitibus.

In stratis tertiaris aquae dulcis ad Bibarczfalva. Bodos. Köpecz in Transilvania. Icon: Beitr. III., tab. 9., fig. 144.

339. *Navicula paludinarum* Pant. var. *gracilior* Pant.

Gracilior. Long. 103  $\mu$ ., lat. 26·5  $\mu$ . Striae densiores 8—10 in 10  $\mu$ .

In stratis tertiaris aquae dulcis ad Bodos Transilvaniae.  
Icon: Beitr. III., tab. 11., fig. 186.

340. *Navicula paripinnata* Pant. nov. spec.

Valvis elongatis, cum polis obtusis subcuneatis et lateribus parum impressis. Long. 138·5  $\mu$ ., lat. 27  $\mu$ . Rhaphe directa dilatata quasi plicata, ad polos inflexa. Area axillaris elongata ad formam lagenae dilatata, centralis rotundata assymetrice dilatata, Striae transversae parallelae, confluentes 6—7 in 10  $\mu$ . ad polos ascendentibus.

In stratistertiariis aquae dulcis ad Bodos Transilvaniae. Icon: Beitr. III., tab. 18., fig. 263.

341. *Navicula pavida* Pant. nov. spec.

Linearis elongata, cum polis subcuneatis. Long. 81  $\mu$ ., lat. 19·5  $\mu$ . Rhaphe directa. Area axillaris elongata lanceolata dilatata, centralis subelliptica, ad rhaphen bilateraliter 1—1 vitta punctata abbreviata notata. Striae parallelae 10 in 10  $\mu$ .

In stratis marinis tertiaris ad Kavna Bremia Hungariae.  
Icon: Beitr. III., tab. 30., fig. 438.

342. *Navicula producta* Pant. nov. spec.

Romboideo lanceolata. Long. 99  $\mu$ . lat. 21  $\mu$ . Rhaphe directa. Area axillaris angustata lyraeformis; centralis transverse dilatata. Striae subradiantes 16 in 10  $\mu$ . punctatae. Probabiliter Mastogloia.

In stratis marinis tertiaris ad Nyermegey Hungariae. Icon: Beitr. III., tab. 18., fig. 262.

343. *Navicula perlonga* Pant.

Valvis linearibus elongatis, lateribus medio inflatis, polis subcuneatis dilatatis. Long. 360—400  $\mu$ ., lat. 35—38  $\mu$ . Rhaphe directa, ad polos parum inflexa. Area axillaris elongata ad polos rotundata, centralis rotundata. dilatata. Striae 8—10 in 10  $\mu$ . transversae parallelae.

In stratis marinis tertiaris ad Bory. Borostelek Hungariae. Icon: Beitr. III., tab. 14., fig. 209.

344. *Navicula pervasta* Pant. nov. spec.

Valvis late ellipticis, ad polos rotundatis. Long. 187·5  $\mu$ . lat. 102  $\mu$ . Rhaphe inflata sublageniformis. Area axillaris elongata, ad polos dilatata, centralis elliptica dilatata. Striae 5—6 in 10  $\mu$ ., arcuate radiantibus, porosae, ad rhaphin repando confluentes. Poris 8 in 10  $\mu$ .

In stratis marinis tertiaris ad Izsopallaga Serges in Hungaria. Icon: Beitr. III., tab. 36., fig. 510.

345. *Navicula phalangium* Pant. nov. spec.

Linearis, cum polis cuneatis. Long. 60  $\mu$ , lat. 16·5  $\mu$ . Rhaphe directa. Area axillaris sub lanceolata, dilatata. Striae validae, transversae, parallelae ad polos ascendentes 6 in 10  $\mu$ .

In stratis tertiaris marinis ad Kavna Bremia Hungariae. Icon: Beitr. III., tab. 30., fig. 432.

346. *Navicula polygibba* Pant.

Valvis lanceolate ellipticis 42  $\mu$ . longis. 17  $\mu$ . latis, cum polis subapiculatis, et lateribus undulatis 4 gibbis.

Rhaphe directa. Area axillaris elongata, attenuata, centralis rotundata. Striae 16—18 in 10  $\mu$ . punctatae radiantes.

In stratis tertiaris marinis ad Kavna Bremia in Hungaria.  
Icon: Beitr. III., tab. 5., fig. 85.

347. *Navicula praeclara* Pant. nov. spec.

Elliptica cum polis rotundatis. Long. 53  $\mu$ ., lat. 21  $\mu$ . Rhaphe directa inflata. Area axillaris angustata, centralis elliptica dilatata. Striae validae 10—11 in 10  $\mu$ . arenato radiantes, a poris majoribus constitutae, ad rhaphin a vitta longitudinali atra, medio inflata interruptae.

In stratis tertiaris aquae dulcis ad Köpecz in Transilvania.  
Icon: Beitr. III., tab. 11., fig. 182.

348. *Navicula praeflua* Pant. nov. spec.

Elliptica, cum polis productis rotundatis. Long. 61·5  $\mu$ ., lat. 22·5  $\mu$ . Rhaphe directa inflata. Area axillaris angustata, centralis elliptica, dilatata. — Striae arcuato radiantes striolatae 8—9 in 10  $\mu$ .

In stratis tertiaris marinis ad Bory Hungariae. Icon:  
Beitr. III., tab. 15., fig. 232.

349. *Navicula pressa* Pant. nov. spec.

Elliptico lanceolata, cum polis obtusis. Long. 40·5  $\mu$ ., lat. 15  $\mu$ . Rhaphe directa. Area centralis transverse dilatata. Striae 8—9 in 10  $\mu$ . radiantes, ad centrum valvae minores.

In stratis tertiaris aquae dulcis ad Bodes in Transilvania.  
Icon: Beitr. III., tab. 24., fig. 362.

350. *Navicula primordialis* Pant. nov. spec.

Species antiquissima et eximia Navicularum! Valva elongata, ad polos subrostrata. Long. 168  $\mu$ ., lat. 37·5  $\mu$ . Rhaphe directa, ad polos incrassata. Area axillaris elongata, sat dilatata, centralis subelliptica. Striae 6—7 in 10  $\mu$ . characteristice alternantim interruptae striolatae et abbreviatae.

In stratis antiquissimis marinis ad Kusnetzk in Rossia europea. Icon: Beitr. III., tab. 25., fig. 382.

351. *Navicula Proserpinae* Pant. nov. spec.

Elongata, cum lateribus medioleneriter inflatis, polis rotundatis. Rhaphe directa, ab area axillari ad polos rotundate et centro

subelliptice dilatata cincta. — Long. 102  $\mu$ ., lat. 16·5  $\mu$ . Striae sat validae, ad rhaphen confluentes transversae, parallelae, ad polos ascendentibus 14—15 in 10  $\mu$ .

In stratis tertiaris aquae dulcis ad Bodos Transilvaniae.  
Icon: Beitr. III., tab. 18., fig. 260.

352. *Navicula protracta* Grun. forma *minor* Pant.

Long. 27  $\mu$ ., lat. 9  $\mu$ . Striae 10 in 10  $\mu$ .

In stratis tertiaris aqua dulcis ad Jastraba Hungariae.  
Icon: Beitr. III., tab. 20., fig. 301.

353. *Navicula pseudoaspera* Pant. nov. spec.

Valvis elongato ellipticis 180  $\mu$ . long., 20  $\mu$ . latis. Rhaphe directa, ab area axillari angusta centrali characteristic transverse suberuciata dilatata cincta. Striae a striolis constitutae radiantes, 10—12 in 10  $\mu$ . ad centrum abbreviatae. Striolae 6 in 10  $\mu$ .

In stratis marinis tertiaris ad Borostelek in Hungaria.  
Icon: Beitr. III., tab. 18., fig. 258.

354. *Navicula pseudogemmata* Pant. nov. spec.

Valvis elongato ellipticis dilatatis cum lateribus leniter constrictis. Long. 151·3  $\mu$ ., lat. 35·5  $\mu$ . — Rhaphe directa inflata. Area axillaris elongata dilatata, ad rhaphin crenulata serrata, centralis rotundata. Striae validae 3—4 in 10  $\mu$ . a gemmis confluentibus constitutae.

In stratis marinis tertiaris ad Nagy Kurtös Hungariae.  
Icon: Beitr. III., tab. 29., fig. 420.

355. *Navicula pusilla* Grun. var. *fossilis* Pant.

Lanceolato elliptica. Long. 22  $\mu$ ., lat. 6·5  $\mu$ . Striae 12 in 10  $\mu$ .

In stratis tertiaris aquae dulcis ad Deménd Hungariae.  
Icon: Beitr. III., tab. 5., fig. 75.

356. *Navicula Reusii* Pant. nov. spec.

Valvis ellipticis, 55  $\mu$ . longis, 34  $\mu$ . latis, cum margine 1·5  $\mu$ . lato striolato. Rhaphe directa ad polos flexa. Area centralis elliptica parva. Striae 14 in 10  $\mu$ . marginales. ceterum spaciun

valvae poris, disseminatis, in lineas irregulariter longitudinalibus, ad rhaphen in lineam longitudinalem directam dispositis.

In stratis marinis tertiaris ad Thesiogori in insula Jesso.  
Icon: Beitr. III., tab. 33., fig. 473.

357. *Navicula scythica* Pant. nov. spec.

Elongata, angustata, cum polis rotundatis. Long. 94  $\mu$ ., lat. 15  $\mu$ . Rhaphe directa, ad polos poro solitario unilateraliter notata et hic leniter flexa. Area axillaris elongata, sat dilatata ad polos rotundata, centralis subrhomboideo elliptica. Striae 8—10 in 10  $\mu$ . radiantes, ad polos adscendentes, ad aream nudam confluentes.

In stratis tertiaris aquae dulcis ad Dubravica in Hungaria.  
Icon: Beitr. III., tab. 23., fig. 335.

358. *Navicula seriosa* Pant. nov. spec.

Elliptica, cum polis rostrato acuminatis. Long. 37  $\mu$ ., lat. 26  $\mu$ . Rhaphe directa, ab area nuda lyraeformi cineta. Striae ab area interrupte ad marginem radiantes, ad rhaphen parallelae, punctatae 16 in 10  $\mu$ . Area nuda ad marginem leniter constricta et striolis irregulariter dispositis tecta.

In stratis tertiaris marinis ad Bory Hungariae. Icon: Beitr. III., tab. 32., fig. 484.

359. *Navicula Sieboldii* Pant. nov. spec.

E greve Nav. asperae E., cum valvis ellipticis. Long. 85·5  $\mu$ ., lat. 37·5  $\mu$ . Rhaphe directa ad polos inflexa. Area axillaris augusta, centralis transverse quasi ad figuram clepsydrae dilatata. Striae 8 in 10  $\mu$ . radiantes, grosse punctatae.

In stratis tertiaris marinis ad Abashiri in insula Jesso.  
Icon: Beitr. III., tab. 20., fig. 293.

360. *Navicula styriaca* Grun.

Long. 60·8  $\mu$ ., lat. 20  $\mu$ . Striae punctatae 10—12 in 10  $\mu$ .

In stratis tertiaris aquae dulcis ad Bory in Hungaria.  
Icon: Beitr. III., tab. 6., fig. 102; tab. 12., fig. 194; tab. 20., fig. 298.

361. *Navicula subfuscata* Pant. nov. spec.

Elongato elliptica. Long. 165·5  $\mu$ ., lat. 53·5. Rhaphe directa inerasata. Area axillaris angusta, centralis elliptice dilatata. Striae 8 in 10  $\mu$ . subradiantes punctatae. Puncta 16 in 10  $\mu$ .

In stratis marinis tertiariorum ad Seres in Hungaria. Icon: Beitr. III., tab. 40., fig. 553.

362. *Navicula Toulae* Pant. nov. spec.

Lanceolata 48·8  $\mu$ . long., 18·8  $\mu$ . lata. Rhaphe directa. Area axillaris angusta, centralis rotundata dilatata. Striae 12—13 in 10  $\mu$ . radiantes, striolatae, striolae 10 in 10  $\mu$ . in lineas longitudinales dispositae. Striae mediae maxime abbreviatae.

In stratis tertiariorum aquarum dulcis ad Köpecz in Transsilvania. Icon: Beitr. III., tab. 12., fig. 196.

363. *Navicula transsilvanica* Pant. nov. spec.

Valvis elongato lanceolatis, cum polis rotundatis. Long. 75  $\mu$ ., lat. 18  $\mu$ . Rhaphe directa dilatata plicata, ad polos inflexa. Area nuda axillaris lanceolata dilatata, ad polos rotundata. Striae radiantes, ad polos adscendentibus, cum poro solitario vittam longitudinalem arcuatam constitutae notatae. 9—10 in 10  $\mu$ .

In stratis tertiariorum aquarum dulcis ad Köpecz in Transsilvania. Icon: Beitr. III., tab. 1., fig. 7.

364. *Navicula transsilvanica* Pant. var. *producta* Pant.

Valvis gracilioribus, longioribus 145  $\mu$ . long., 27  $\mu$ . lat. Striae 6—8 in 10  $\mu$ .

In stratis tertiariorum aquarum dulcis ad Köpecz in Transsilvania. Icon: Beitr. III., tab. 33., fig. 345.

365. *Navicula Trevelyaniana* Donk. var. *hungarica* Pant.

Valvis elongatis convexis cum polis rotundatis. Long. 170  $\mu$ ., lat. 8·5  $\mu$ . Rhaphe directa. Area axillaris angusta, ad polos unilateraliter rotundata; centrali rotundata. Striae radiantes, ad polos adscendentibus 9—10 in 10  $\mu$ . in latere connectiv. in parte superiori et inferiori a vitta longitudinali nuda dilatata interruptae.

In stratis marinis tertiaris ad Nyermegy Hungariae. Icon: Beitr. III., tab. 42., fig. 575.

366. *Navicula trinotata* Pant. nov. spec.

Linearis dilatata, cum polis rotundatis. Long. 71  $\mu$ ., lat. 18·7  $\mu$ . Rhaphe directa. Area axillaris linearis dilatata, centralis elliptica, ad polos et ad centrum cum poro solitario notata. Striae ad medium subradiantes superne transversae parallelae, hyalinae 15—16 in 19  $\mu$ .

In stratis tertiaris aquae dulcis ad Köpecz in Transilvania. Icon: Beitr. III., tab. 9., fig. 152.

367. *Navicula turgidula* Pant. nov. spec.

Late elliptica, 37  $\mu$ . longa, 25  $\mu$ . lata, cum polis rotundatis. Rhaphe directa. Area axillaris lyraeformis arcuata, centralis transversa. Striae punctatae, 12—14 in 10  $\mu$ ., marginales arcuatae, ad rhaphen sitae abbreviatae, transversae parallelae.

In stratis tertiaris marinis ad Bory in Hungaria. Icon: Beitr. III., tab. 32., fig. 462.

368. *Navicula Vaszaryi* Pant. nov. spec.

Valvis rhomboideo lanceolatis subacutis. Long. 44  $\mu$ ., lat. 21·5  $\mu$ . Rhaphe directa abbreviata. Area axillaris angusta, centralis transverse dilatata. Striae 18—20 in 10  $\mu$ . subtiliter punctatae radiantes, ad centrum magis abbreviatae. An valva superior Achnanthis?

In stratis tertiaris marinis ad Nyermegy in Hungariae. Icon: Beitr. III., tab. 16., fig. 239.

369. *Navicula Venus* Pant. nov. spec.

Panduriformis 108  $\mu$ ., longa, ad polos 35  $\mu$ . ad constr. 18  $\mu$ . lata. Rhaphe directa, ad polos inflexa. Area axillaris et centralis dilatata elongata, medio leniter constricta, cum poris disseminatis hyalinis notata. Striae radiantes a granulis longitudinalibus constitutae 8 in 10  $\mu$ ., ad marginem cum vitta atra longitudinali arcuata constricta notatae.

In stratis tertiaris marinis ad Nagy Kurtös in Hungaria. Icon: Beitr. III., tab. 29., fig. 422.

370. *Navicula viridis* (E.) Kg.

Long. 95·2  $\mu$ ., lat. 19·2  $\mu$ . Striae 7—8 in 10  $\mu$ .

In stratis tertiariis aquae dulcis ad Magyar Hermány in Transilvania. Icon: Beitr. III., tab. 7., fig. 119.

371. *Navicula viridis* (E.) Kg. var. *fossilis* Pant. nov. var.

Linearis, cum polis rotundatis. Long. 105·6  $\mu$ ., lat. 18·4  $\mu$ . Rhaphe directa. Area axillaris ad polos rotundate, centralis elliptice dilatata. Striae validae 8—10 in 10  $\mu$ . radiantes, ad polos adscendentibus.

In stratis tertiariis aquae dulcis ad Bory Hungariae. Icon: Beitr. III., tab. 12., fig. 193.

372. *Navicula viridis* (E.) Kg. var. *staurophora* Pant. nov. var.

Long. 76  $\mu$ ., lat. 13·6  $\mu$ . Striae 10—12 in 10  $\mu$ ., medio valvae vitta transversa nuda interruptis.

In stratis tertiariis aquae dulcis ad Magyar Hermány in Transilvania. Icon: Beitr. III., tab. 6., fig. 96.

373. *Nitzschia bicuspidata* Pant.

Long. 51·5  $\mu$ ., lat. 11  $\mu$ ; puncta carinalia 6—7 in 10  $\mu$ . Striae 20 in 10  $\mu$ .

In stratis tertiariis aquae dulcis ad Aranyos in Hungaria. Icon: Beitr. III., tab. 4., fig. 53.

374. *Nitzschia costata* Pant. nov. spec.

Linearis elongata, cum polis subrostratis. Long. 134  $\mu$ ., lat. 7  $\mu$ . Carina elevata, costae transversae 4—5 in 10  $\mu$ .

In stratis marinis tertiariis ad Nyermegy in Hungaria. Icon: Beitr. III., tab. 41., fig. 566.

375. *Nitzschia pulcherrima* Grun. var. *interrupta* Pant. nov. var.

Valvis elongatis carinatis. Poris carinalibus distinctis. Striae transversae parallelae punctatae, a maculis interruptis.

In stratis marinis tertiariis ad Szakal in Hungaria. Icon: Beitr. III., tab. 23., fig. 237.

376. *Nitzschia spectabilis* (E.) Grun.

Long. 234  $\mu$ ., lat. 33  $\mu$ . Puncta carinalia 4—5 in 10  $\mu$ .  
Striae 13—14 in 10  $\mu$ .

In stratis aquae dulcis tertiariis ad Bory in Hungaria.  
Icon: Beitr. III., tab. 7., fig. 120.

377. *Nitzschia transilvanica* Pant. nov. spec.

Valvis linearibus, cum polis parum productis rubrostratis.  
rotundatis. Long. 113·2  $\mu$ ., lat. 13·6  $\mu$ . Cariua elevata. Striae  
punctatae 10 in 10  $\mu$ .

In stratis aquae dulcis tertiariis ad Köpecz in Transilvania.  
Icon: Beitr. III., tab. 10., fig. 167.

378. *Nitzschia Tryblionella* Hantzsch. var. *maxima* Grun.

Long. 73·6  $\mu$ ., lat. 28  $\mu$ . Poris carinalibus 8—9 in 10  $\mu$   
Striae 8—9 in 10  $\mu$ .

In stratis aquae dulcis et marinis tertiariis ad Bory in  
Hungaria. Icon: Beitr. III., tab. 7., fig. 116.

379. *Odontella boryana* Pant.

Diam. long. valvae 60  $\mu$ ., diam. minor valvae 48  $\mu$ .  
Long. frustulae 57—76  $\mu$ . Lat. 31—60  $\mu$ .

In stratis tertiariis marinis ad Bory Hungariae. Icon:  
Beitr. III., tab. 6., fig. 89.; tab. 24., fig. 367.

380. *Odontella pygmaea* Pant. nov. spec.

Frustulis rectis elevatis bicornutis, 28·5  $\mu$ . longis, 24  $\mu$ .  
latis. Altitudo cornu 3  $\mu$ . Membrana connect. nuda. Structura  
punctata, ad centrum valvae elevatum, cum setis duabus longi-  
oribus. Puncta 6—2 in 10  $\mu$ . in lineas longitudinales ordinata.

In stratis tertiariis marinis ad Bory Hungariae. Icon:  
Beitr. III., tab. 35., fig. 493.

381. *Odontotropis birostrata* Pant.

Long. 145  $\mu$ ., lat. 37  $\mu$ .

In stratis antiquissimis marinis ad Kusnetzk in Rossia.  
Icon: Beitr. III., tab. 14., fig. 214.

382. *Odontotropis vitrea* Pant. nov. spec.

Frustulis hyalinis elliptice lanceolatis elevatis cariatis, ad polos cornutis, cornu abbreviatum. Carina maxime elevata bicornuta. Cornu carinale cum disco canali longitudinali comunicans. Long. 135  $\mu$ . Altitudo cum carina 40  $\mu$ . long. cornu carinalis 52  $\mu$ . Valvis disseminate punctatis. Margo hyalinus 5  $\mu$ . latus.

In stratis marinis tertiaris ad Szakal in Hungaria. Icon: Beitr. III., tab. 38., fig. 535.

383. *Orthoneis Pethöi* Pant. nov. spec.

Valvis lateellipticis, cum polis acuminatis. Long. 32  $\mu$ . lat. 24·8  $\mu$ . Rhaphe directa, abbreviata. Area centralis rotunda. Loculamenta marginalia 1·5—2 in 10  $\mu$ . striolata. Puncta 3—4 in 10  $\mu$ . valida papillosa, ad raphen parvula in linea longitudinali ordinata, ceterum lineas arcuato curvatas constituentia.

In stratis marinis tertiaris ad Nyermegy in Hungaria. Icon: Beitr. III., tab. 9., fig. 148.

384. *Paralia Debyi* Pant. nov. spec.

Frustulis concatenatis 8  $\mu$ . altis, 13·6  $\mu$ . latis, cum margine dilatato undulato. Membrana connect. loculamentis 10 in 10  $\mu$ . subtiliter punctatis ornata.

In stratis tertiaris marinis ad Bory Hungariae. Icon: Beitr. III., tab. 33., fig. 475.

385. *Paralia hokkaideana* Pant. nov. spec.

Valvis circularibus late marginatis. Margo 9  $\mu$ . latus, cum corona punctorum et striolis validoribus cinctus. Centrum valvae nuda figura circulari squamarum hyalinarum constituta ornatum. Diametr. 79·5  $\mu$ .

In stratis marinis tertiaris ad Wembets in insula Jesso. Icon. Beitr. III., tab. 29., fig. 428.

386. *Paralia Pethöi* Pant. nov. spec.

Valva circularis late marginata. Margo 2  $\mu$ . latus crenulatus et corona squamorum tectus. Structura valvae punctata.

Puncta in lineas radiantes usque ad centrum percurrentes, ordinata. Discus inter centrum et marginem corona punctorum majorum ornatus. Diam. 32  $\mu$ . Puncta 16 in 10  $\mu$ . Squamae marginales 6 in 10  $\mu$ .

In stratis tertiaris marinis ad Káránd in Hungaria. Icon: Beitr. III., tab. 27., fig. 407.

387. *Paralia polycystinica* Pant. nov. spec.

Valva circularis, cum margine dilatato corona punctorum et squamarum oblongarum cincto. Discus radiis marginalibus abbreviatis ornatus. Diametr. 40  $\mu$ .

In stratis marinis antiquissimis ad Kusnetzk in Rossia. Icon: Beitr. III., tab. 21., fig. 307.

388. *Peronia? boryana* Pant.

Frustulis cuneiformis concatenatis. Valvis cuneatis 18  $\mu$ . long., 8  $\mu$ . latis striolatis. Striae transversae parallelae 15 in 10  $\mu$ .

In stratis aquae dulcis tertiaris ad Bory Hungariae. Icon: Beitr. III., tab. 8., fig. 126.

389. *Plagiogramma boryanum* Pant.

Long. 40  $\mu$ ., lat. 9  $\mu$ . Septis 5—6 in 10  $\mu$ .

In stratis tertiaris marinis ad Bory in Hungaria. Icon: Beitr. III., tab. 4., fig. 55.

390. *Plagiogramma Lóczyi* Pant. nov. spec.

Valvis linearibus elongatis angustis, ad medium inflatis, cum polis rotundatis. Porus centralis rotundatus dilatatus. Striae 9—10 in 10  $\mu$ . punctatae transversae, parallelae. Long. 125  $\mu$ ., lat. 11  $\mu$ .

In stratis tertiaris marinis ad Kavna Bremia in Hungaria. Icon: Beitr. III., tab. 18., fig. 266.

391. *Plagiogramma Truanii* Pant.

Long. valvae 70—80  $\mu$ ., lat. 12—14  $\mu$ . Striis 15 in 10  $\mu$ .

In stratis tertiaris marinis ad Bory in Hungaria. Icon: Beitr. III., tab. 15., fig. 224.; tab. 24., fig. 351.

392. *Pleurosigma biharensis* Pant. nov. spec.

Valvis sigmoideis, ad polos rotundatis. Rhaphe sigmoidea. Porus centralis rotundatus. Striae 24 in 10  $\mu$ . transversae paralleliae. Long. 70  $\mu$ ; lat. 8  $\mu$ .

In stratis tertiaris marinis ad Kárád Hungariae. Icon: Beitr. III., tab. 42., fig. 581.

393. *Pleurosigma Kochii* Pant. nov. spec.

Valvis lanceolato sigmoideis marginatis, cum polis obtusis. Rhaphe leniter sigmoidea. Porus centralis elliptice dilatatus. Striae longitudinales 15 in 10  $\mu$ ; transversae paralleliae 14 in 10  $\mu$ . Long. 250  $\mu$ , lat. 32  $\mu$ .

In stratis tertiaris aquae dulcis ad Köpecz in Transilvania. Icon: Beitr. III., tab. 9., fig. 153.

394. *Pleurosigma neogradense* Pant.

Long. 114.5  $\mu$ , lat. 25  $\mu$ . Striae ad medium 12—13 in 10  $\mu$ . ad polos 20 in 10  $\mu$ .

In stratis tertiaris marinis ad Felsö Esztergály in Hungaria. Icon: Beitr. III., tab. 21., fig. 315.

395. *Pleurosigma transsilvanicum* Pant. nov. spec.

Valvis lanceolato sigmoideis, cum polis subacutis. Rhaphe sigmoidea. Porus centralis rotundatus. Striae longitudinales et transversae 22 in 10  $\mu$ . Long. 133  $\mu$ , lat. 18  $\mu$ .

In stratis tertiaris aquae dulcis ad Köpecz in Transilvania. Icon: Beitr. III., tab. 6., fig. 94.

396. *Podosira constricta* Pant.

Frustulis concatenatis 36  $\mu$ . longis, 30  $\mu$ . latis marginatis, margine 2  $\mu$ . lato striolato. Structura punctata. Puncta subtilissima in lineas rectas et decussatas ordinata. Valvis circularibus convexis punctatis, eum centro nudo. Diametr. valvae 45  $\mu$ .

In stratis tertiaris marinis ad Bory in Hungaria. Icon: Beitr. III., tab. 33., fig. 477; tab. 36., fig. 506.

397. *Podosira transsilvanica* Pant. nov. spec.

Valvis circularibus marginatis convexis, eum centro dilatato disseminate punctato. Structura punctata. Puncta in lineas spirales disposita. Diametr. 32  $\mu$ .

In stratis tertiaris aquae dulcis ad Köpecz in Transilvania.  
Icon: Beitr. III., tab. 39., fig. 542.

398. *Pseudoauliscus Brunii* Pant.

Diametr. valvae 54—68  $\mu$ ., lat. marg. 3  $\mu$ .

In stratis marinis antiquissimis ad Ananino in Russia.  
Icon: Beitr. III., tab. 26., fig. 388.

399. *Pseudoauliscus granulatus* Pant. nov. spec.

Valvis circularibus, marginatis, cum ocellis duobus dilatatis marginalibus et structura punctata ornat. Puneta in lineas decussatas ordinata, et per totum discum disposita 9 in 10  $\mu$ . Diametr. valvae 43  $\mu$ ., lat. ocelli 8  $\mu$ .

In stratis antiquissimis marinis ad Ananino in Russia.  
Icon: Beitr. III., tab. 10., fig. 173.

400. *Pseudocerataulus Kochii* Pant. nov. spec.

Valva circularis, late marginata, cum ocellis majoribus duobus marginalibus ornata. Structura puncta et setulosa. Puneta 14 in 10  $\mu$ . in lineas arcuato radiantes ordinata, usque ad centrum percurrentia. Valva et cum duabus spinis validis inter marginem et centrum dispositis vestita. Margo 3  $\mu$ . latus striolatus. Diametr. 64  $\mu$ .

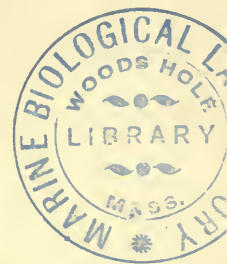
In stratis tertiaris aquae dulcis ad Köpecz in Transilvania.  
Icon: Beitr. III., tab. 6., fig. 87.

*Pseudomastogloia* Pant. nov. genus.

Valvis sublanceolatis ad marginem loculamentis ad formam squamulae dilatatis ornata. Rhaphe ad porum centrale unilateraliter leniter curvata, area centralis unilateraliter elliptice dilatata. Structura duplex striolata et punctata. Frustula rectangula cum angulis obtusis. Loculamenta ad formam squamae dilatata, majora et breviora alternantia. Membrana connect. cum duabus lineis longitudinalibus margaritis majoribus constitutis ornata.

401. *Pseudomastogloia Castracanei* Pant. Syn. *Alloeoneis Castracanei* Pant. *Mastogloia Castracanei* Cleve.

Valva lanceolato elliptica, subcapitata 65  $\mu$ . longa, 21·5  $\mu$ . lata. Rhaphe directa ad porum centrale unilateraliter inflexa.



Area axillaris angustata, centralis elliptica unilateraliter sinuata. Margo cum loculamentis minutis abbreviatis squamosis et corona margaritarum majorum cinctus. Structura duplex, striata et puncta. Striae 6—7 in 10  $\mu$ . superiores a serie duplice punctorum compositae ad rhabdem cum poro majori exientes et hic seriem punctorum majororum longitudinalem ad polum centrale unilaterali sinuatam constituentes. Structura inferior valvae subtiliter punctulata.

In stratis tertiaris marinis ad Bory et Borostelek in Hungaria. Icon: Beitr. II., tab. 23., fig. 344; Beitr. III., tab. 25., fig. 374.

402. *Pyrgodiscus Kinkerii* Pant. nov. spec.

Frustula cylindrica elevata turifera. Valva discoidea 5—5·5  $\mu$ . lat. ad centrum valvae coronata; corona a crista aculeata elevata constituta. Aculei validi incrassati. Margo striolatus. Structura valvae striolata flamma.

In stratis tertiaris ad Mors in insula Jütland. Icon: Beitr. III., tab. 34., fig. 486.

403. *Pyxilla carinifera* Grun. var. *rossica* Pant.

Frustulis cylindricis 55  $\mu$ . altis, 32  $\mu$ . latis, cornutis, hyalinis. Cornu incrassatum, elevatum, obtusum. — Valva discoidea 26—32  $\mu$ . lata, cum figura asteroidea 5—7—9 radiata et poro circulari centrali ornata.

In stratis antiquissimis marinis ad Kusnetzk in Russia. Icon: Beitr. III., tab. 29., fig. 423; tab. 35., fig. 491.

404. *Pyxilla directa* Pant. nov. spec.

Frustulis cylindricis cornutis. Long. 130  $\mu$ ., lat. 18·5  $\mu$ . Cornu elevatum, hyalinum, acutum. Structura disseminate punctata.

In stratis marinis tertiaris ad Nagy Krtös in Hungaria. Icon: Beitr. III., tab. 32., fig. 458.

405. *Pyxilla hungarica* Pant. nov. spec.

Frustulis cylindricis validis hyalinis 28  $\mu$ . latis, ad polum elevatis, cum cornu obtuso abbreviato incrassato. Structura disseminate punctata.

In stratis tertiariis marinis ad Nagy Kürtös in Hungaria.  
Icon: Beitr. III., tab. 26., fig. 392.

406. *Pyxilla Lunyacsekii* Pant. nov. spec.

Frustulis elongatis, angustis, cylindricis, 140  $\mu$ . longis, 20  $\mu$ . latis, hyalinis, ad polum superiorem cornutis, cornu elevatum, inferne convexis. Structura valvae disseminate punctata. Puncta crassa, magna.

In stratis tertiariis marinis ad Nagy Kürtös in Hungaria.  
Icon: Beitr. III., tab. 26., fig. 387.

407. *Pyxilla rossica* Pant. nov. spec.

Frustulis cylindricis abbreviatis, hyalinis, ad polum superiorem elevatis convexis, hic disseminate punctatis, ad inferiorem planis. Altitudo cylindris 36·5  $\mu$ . lat. 22·5  $\mu$ .

In stratis marinis antiquissimis ad Kusnetzk in Russia.  
Icon: Beitr. III., tab. 19., fig. 277.

408. *Pyxilla vasta* Pant. nov. spec.

Frustulis cylindricis, hyalinis, vastis, ad polum superiorem concavis, cum margine elevato et centro cum cornu obtuso abbreviato vasto ornatis. Structura disseminate punctata. Latitudo 40  $\mu$ .

In stratis tertiariis marinis ad Szakal in Hungaria. Icon: Beitr. III., tab. 40., fig. 284, 551.

409. *Rhabdonema diminutum* Pant. nov. spec.

Frustulis concatenatis, quadrangulis, septatis, cum septis duplicis, longioribus per totum frustulum percurrentibus et brevioribus arcuatis incrassatis; angulis obtusis. Structura striata. Striae 10 in 10  $\mu$ . transversae parallelae. Long. 51  $\mu$ .

In stratis tertiariis marinis ad Izsopallaga in Hungaria.  
Icon: Beitr. III., tab. 28., fig. 412.

410. *Rhabdonema formosum* Brun.

Long. 150—152  $\mu$ ., lat. 71—73  $\mu$ . Striae 7 in 10  $\mu$ .

In stratis tertiariis marinis marinis ad Abashiri in insula Jesso. Icon: Beitr. III., tab. 33., fig. 467; tab. 34., fig. 489.

411. *Rhabdonema japonicum* Temp. Brun.

Long. 101  $\mu$ . lat. 30  $\mu$ . Squamae 4 in 10  $\mu$ .

In stratis tertiaris ad Thesiogori in insula Jesso. Icon: Beitr. III., tab. 30., fig. 440.

412. *Rhabdonema Mikado* Pant. nov. spec.

Frustulis rectangularibus, cum angulis obtusis validis, cum septis marginatis incrassatis et striis transversis 20 in 10  $\mu$ . punctatis, in lineas longitudinales dispositis. Long. 96  $\mu$ . — Valva elongata cum latere inflato et polis incrassatis obtusis. Structura squamosa. Squamae 4—5 in 10  $\mu$ . punctatae, parallelae, transversae.

In stratis tertiaris marinis ad Thesiogori in insula Jesso. Icon: Beitr. III., tab. 33., fig. 469., 470.

413. *Rhabdonema taeniatum* Pant. Syn. *Synedra taeniata* Pant.

Valvis elongatis, angustis, striatis, cum polis obtusis nudis. Striae marginales 15 in 10  $\mu$ ., irregulariter flexae. Long. 141  $\mu$ ., lat. 10·5  $\mu$ .

In stratis tertiaris marinis ad Nyermegy in Hungaria. Icon: Beitr. III., tab. 19., fig. 278.

414. *Rhaphoneis Kinkerii* Pant. nov. spec.

Valvis lanceolatis 55  $\mu$ . longis, 14  $\mu$ . latis. Area axillaris lanceolate elongata nuda. Striae marginales parallelae 6 in 10  $\mu$ ., a poris duobus constitutae. Polis disseminate punctatis.

In stratis tertiaris marinis ad Izsopallaga Serges in insula Jesso. Icon: Beitr. III., tab. 15., fig. 222.

415. *Rhizosolenia squamosa* Pant. nov. spec.

Frustulis hyalinis elongatis cylindricis 29  $\mu$ . latis, ad polum cornu elongato angustato obtuso vestitis. Structura squamosa.

In stratis marinis tertiaris ad Nyermegy in Hungaria. Icon: Beitr. III., tab. 35., fig. 496.

416. *Rhopalodia Budayana* Pant. Syn. *Epithemia Budayana* Pant.

Frustulis elongatis, ad ventrem planis, dorso arcuato medio impresso, polis obtusis modice inflexis. Rhaphe cum

margine dorsum parallelae percurrentes. Septa crassa transversa 7 in 10  $\mu$ . Striae subradiantes nuda 15 in 10  $\mu$ . Long. 88  $\mu$ ., lat. 8·8  $\mu$ .

In stratis tertiariis aquae dulcis ad Köpecz in Transilvania. Icon: Beitr. III., tab. 24., fig. 365.

417. *Rhopalodia gibba* O. Müller var. *boryana* Pant. Syn.  
*gibba* (E.) Kg. var. *boryana* Pant.

Long. 170  $\mu$ ., alt. 8  $\mu$ . Costae 8—10 in 10  $\mu$ .

In stratis tertiariis marinis ad Bory in Hungaria. Icon: Beitr. III., tab. 41., fig. 558.

418. *Rhopalodia incisa* Pant. Syn. *Epithemia incisa* Pant.

Frustula elongata 107  $\mu$ . longa, 21  $\mu$ . lata, cum dorso arcuato impresso, ventre plano, polis obtusis. Costae validae transversae 4—6 in 10  $\mu$ ; striae punctatae transversae parallelae 15 in 10  $\mu$ . Membrana connect. hyalina, cum seriebus duabus longitudinalibus punctorum ornata.

In stratis tertiariis marinis ad Káránd in Hungaria. Icon: Beitr. III., tab. 38., fig. 533.

419. *Rhopalodia Pethöi* Pant. Syn. *Epithemia Pethöi* Pant.

Long. 114  $\mu$ ., lat. 13  $\mu$ . Costae 5—6 in 10  $\mu$ . Striae 14 in 10  $\mu$ .

In stratis tertiariis marinis ad Bory et Káránd in Hungaria. Icon: Beitr. III., tab. 42., fig. 572.

420. *Rhopalodia ventricosa* O. Müller var. *hungarica* Pant. Syn.  
*Epithemia ventricosa* Kg. var. *hungarica* Pant.

Frustulis elongatis, medio inflatis, ad polos obtusis. Membrana connect. nuda, ad ventrem serie punctorum longitudinali marginali ornata. Valva elongata 83  $\mu$ . longa, 17·5  $\mu$ . alta. Costae transversae 8 in 10  $\mu$ . Striae transversae, nudae, parallelae 15 in 10  $\mu$ . Rbaphe ad dorsum percurrentis inflata.

In stratis tertiariis aquae dulcis ad Magyar Hermány in Transilvania. Icon: Beitr. III., tab. 7., fig. 114.

421. *Rutilaria capitata* Temp. Brun.

Long. 161  $\mu$ ., lat. 48  $\mu$ ., cap. 18  $\mu$ . lata.

In stratis tertiaris ad Theshiogori in insula Jesso. Icon: Beitr. III., tab. 33., fig. 472.

422. *Rutilaria Kernerii* Pant. nov. spec.

Valvis late elliptico lanceolatis, cum polis obtusis, marginatis. Margine cum corona aculeorum cincto. Centrum elevatum umbilicatum. Umbilicus spiraliter tortus. Structura punctata. Punctis in lineas radiantes ordinatis. Long. 99  $\mu$ ., lat. 34.5  $\mu$ .

In stratis tertiaris marinis ad Theshiogori in insula Jesso. Icon: Beitr. III., tab. 33., fig. 474.

423. *Rutilaria longicornis* Temp. Brun.

Long. 241.5  $\mu$ ., lat. 27  $\mu$ .

In stratis tertiaris marinis ad Theshiogori in insula Jesso. Icon: Beitr. III., tab. 33., fig. 478.

424. *Scoliopleura tumida* (Bréb.) Rabh.

Long. 108  $\mu$ ., lat. 25  $\mu$ . Striae 13—14 in 10  $\mu$ .

In stratis tertiaris aquae dulcis ad in Dubravica Hungariae. Icon: Beitr. III., tab. 17., fig. 245.

425. *Stauroneis boryana* Pant.

Valvis lanceolatis, polis protractis, obtusis. Long. 64  $\mu$ ., lat. 14.5  $\mu$ . Rhaphe directa. Area centralis ad formam stauri dilatata, usque ad marginem percurrentes, hic striae interrumpens. Striae radiantes punctatae 18—20 in 10.

In stratis tertiaris aquae dulcis ad Bory in Hungaria. Icon: Beitr. III., tab. 5., fig. 78.

426. *Stauroneis Kochii* Pant. nov. spec.

Valvis elongato lanceolatis, cum polis rotundatis. Long. 127  $\mu$ ., lat. 21  $\mu$ . Rhaphe directa. Area axillaris elongata dilatata, centralis ad formam stauri dilatata. Striae radiantes punctatae 20 in 10  $\mu$ .

In stratis tertiaris aquae dulcis ad Bodos et Köpecz in Transilvania. Icon: Beitr. III., tab. 6., fig. 92.

427. *Stauroneis Phoenicenteron* E.

Long. 133  $\mu$ ., lat. 24  $\mu$ . Striae 15—17 in 10  $\mu$ . Rhaphe plicata.

In stratis tertiariorum aquae dulcis ad Magyar Hermány in Transilvania. Icon: Beitr. III., tab. 8., fig. 134.

428. *Stauroneis Szontaghii* Pant. nov. spec.

Valvis 114  $\mu$ . longis, 25·5  $\mu$ . latis, elongato lanceolato ellipticis, cum polis productis, rotundatis. Raphe directa, ad polos inflexa. Area axillaris elongata dilatata, centralis ad formam vittae transverse usque ad marginem percurrente dilatata. Striae radiantes punctatae 12—13 in 10  $\mu$ ., puncta 15 in 10  $\mu$ .

In stratis tertiariorum aquae dulcis ad Bory in Hungaria. Icon: Beitr. III., tab. 8., fig. 143.

429. *Staurosira construens* (E.) Grun.

Long. 12  $\mu$ ., lat. 6·5  $\mu$ . Striae 12 in 10  $\mu$ .

In stratis aquae dulcis tertiariorum ad Bory in Hungaria. Icon: Beitr. III., tab. 1., fig. 5.

430. *Staurosira Grunowii* Pant. Syn. *Staurosira Harrisonii* (W. Sm.) Grun. var. *Amphitetas* Grun.

Species eximia! Valvis quadrangulis, cum angulis productis rotundatis, ontus et lateribus magis impressio, concavis. Striae validae, 5 in 10  $\mu$ . marginales, abbreviatae ab area axillari eructata, hyalina nuda longitudinali interruptis. Long. et lat. diametros inter angulos 42·5  $\mu$ ; long. et lat. diametr. inter latera 21  $\mu$ .

In stratis tertiariorum aquae dulcis ad Bory, Buesa, Dubravica, Kopacsel in Hungaria. Icon: Beitr. III., tab. 4., fig. 66.

431. *Staurosira Harrisonii* (W. Sm.) Grun.

Long. 31·5  $\mu$ ., lat. 14·5  $\mu$ . Striae 7 in 10  $\mu$ .

In stratis tertiariorum aquae dulcis ad Bory, Dubravica, Farkasfalva Mocsár in Hungaria. Icon: Beitr. III., tab. 4., fig. 60.

432. *Staurosira Harrisonii* (W. Sm.) Grun. var. *fossilis* Pant.

Valvis lanceolatis, cum polis productis, rotundatis, optusis. Area axillaris lanceolata, sat dilatata. Striae validae marginales 7 in 10  $\mu$ . Long. 17·5  $\mu$ ., lat. 6·5  $\mu$ .

In stratis tertiaris aquae dulcis ad Moesár in Hungaria.  
Icon: Beitr. III., tab. 5., fig. 77.

433. *Staurosira vasta* Pant. nov. spec.

Frustulis concatenatis, rectangularis, cum angulis obtusis.  
Striae 15 in 10  $\mu$ . marginales, abbreviatae. Long. 16·5  $\mu$ ., lat. 4  $\mu$ .

In stratis tertiaris aquae dulcis ad Magyar Hermány in  
Transilvania. Icon: Beitr. III., tab. 27., fig. 405.

434. *Staurosira Venter* (E.) Grün.

Long. 8—13  $\mu$ ., lat. 3·5—7·2  $\mu$ . Striae punctatae 15 in 10  $\mu$ .

In stratis tertiaris ad Bory, Deménd, Dubravica, Farkásfalva, Jastraba, Ihrács, Magyar Hermány, Moesár in Hungaria.  
Icon: Beitr. III., tab. 8., fig. 123, 127; tab. 20., fig. 299; tab.  
27., fig. 403.

435. *Stephanodiscus transilvanicus* Pant. nov. spec.

Discus marginatus, corona spinulorum cinctus et radiis hyalinis  
nudis a spinulis ad centrum percurrentibus ornatus. Spatium  
inter radios punctatum. Puneta in lineas decussatas ordinata.  
Area centralis radiato punctata, radii alternatim longiores,  
previoresque. Diametr. 35—40  $\mu$ . margo 1·5 latus. Puneta 15 in 10  $\mu$ .

In stratis tertiaris aquae dulcis ad Bibareczfalva, Bodos et  
Köpecz in Transilvania. Icon: Beitr. III., tab. 8., fig. 125.

436. *Stephanopyxis antiqua* Pant. nov. spec.

Discus convexus elevatus, marginatus. Margo 2·5  $\mu$ . latus,  
corona punctorum cinctus. Cellulae 1—2—3 in 10  $\mu$ . papillosae,  
hexagonae, in lineas excentricas dispositae. Diametr. 75  $\mu$ .

In stratis antiquissimis mariinis ad Kusnetzk in Russia.  
Icon: Beitr. III., tab. 19., fig. 280.

437. *Stephanopyxis maxima* Pant. nov. spec.

Discus convexus elevatus, marginatus. Margo 15  $\mu$ . latus,  
cum corona cellularum rotundarum cinctus. Structura cellulosa.  
Cellulae 1 in 10  $\mu$ . papillosae, hexagonae, in lineas excentricas  
ordinatae. Diametr. 144  $\mu$ .

In stratis marinis antiquissimis ad Kusnetzk in Russia.  
Icon: Beitr. III., tab. 26., fig. 384.

438. *Stephanopyxis rasta* Pant. nov. spec.

Discus magis convexus late marginatus. Margo 12  $\mu$ . latus, cum cellulis magnis cinctus. Structura cellulosa, cellulae majores minoresque, hexagonae, papillosoe, 2 in 10  $\mu$ , in lineas excentricas dispositae. Diametr. 54  $\mu$ .

In stratis marinis antiquissimis ad Kusnetzk in Russia. Icon: Beitr. III., tab. 30.. fig. 437.

439. *Stictodiscus hungaricus* Pant. nov. spec.

Frustula capsuliformia, cum polo uno magis elevato, convexo, altero modice elevato truncato. Membrana connect. cum septis longitudinalibus, ad valvas percurrentibus, vestita et punctis parvulis in lineas decussates dispositis ornata. — Discus convexus ad marginem crenulatus, septatus et carinatus, septa abbreviata marginalia radiosa. Structura punctata. Puncta 5 in 10  $\mu$ . in lineas radiantes, ad centrum elevatum percurrentes ordinata. Diamet. discis 55.5  $\mu$ . Septa 2—3 in 10  $\mu$ . Altitudo membr. connect. 22.5  $\mu$ .

In stratis marinis tertiariis ad Káránd in Hungaria. Icon: Beitr. III., tab. 38.. fig. 534, 536.

440. *Stictodiscus Kossuthii* Pant. nov. spec.

Discus circularis, planus, marginatus. Margo 1.5  $\mu$ . latus hyalinus, corona squamorum cinctus. Structura punctata. Puncta ad squamas, in fasciculos abbreviatos radiantes ordinata, ad centrum majora et disseminate disposita. Diametr valvae 58  $\mu$ .

In stratis marinis antiquissimis ad Kusnetzk in Russia. Icon: Beitr. III., tab. 26., fig. 395.

Dedicavi illustris. dom. Ludovico de Kossuth, quodam gubernatori Hungariae, rei publicae et rei botanicae peritiissimo, Augustae Taurinorum.

441. *Stictodiscus Pantocsekii* Temp.

Valvis orbiculato trigonis, cum lateribus arcuatis et gonis elevatis. Margo dilatatus, cum squamis confluentibus et parvulis punctis ornatus. Structura punctata. Puncta 4 in 10  $\mu$ . ad marginem in lineas subcirculares ordinata. Altitudo 93  $\mu$ ; long. lateris 90  $\mu$ . Radiis 2 in 10  $\mu$ .

In stratis antiquissimis marinis ad Kusnetzk in Russia.  
Icon: Beitr. III., tab. 2., fig. 31.

442. *Stictodiscus Szontaghii* Pant. nov. spec.

Discus circularis, ad marginem crenulatus et septis abbreviatis radiantibus ornatus. Septa bilateraliter subtiliter punctata, 4 in 10  $\mu$ . Structura, cum spinis intermixta punctata. Puneta in lineas radiantes ordinata, ad aream centralem circularem nudam percurrentia. Diametr. 47  $\mu$ .

In stratis tertiaris marinis ad Izsopallaga in Hungaria.  
Icon: Beitr. III., tab. 39., fig. 540.

443. *Stictodiscus Tschestnowii* Pant.

Triangularis, marginatns, lateribus modice arcuatis et gonis rotundatis. Structura punctata. Puneta, 3 in 10  $\mu$ , ad marginem in lineas radiantes, ad centrum in lineas subcirculares ordinata, papillosa. Altitudo 159  $\mu$ . long. lat. 174  $\mu$ .

In stratis antiquissimis marinis ad Kusnetzk in Russia.  
Icon: Beitr. III., tab. 19., fig. 282.

444. *Stictodiscus tuberculatus* Pant. nov. spec.

Discus circularis ad marginem septatus. Structura tuberculata; tuberuli irregulariter dispositi. Area centralis dilatata, rotundata, nuda. Diametr. 54  $\mu$ .

In stratis antiquissimis marinis ad Kusnetzk in Russia.  
Icon: Beitr. III., tab. 29., fig. 427.

445. *Stigmophora? hungarica* Pant.

Frustulis rectangularis hyalinis, obtusis, ad centrum septo uno arenato et uno alato ornatis. Long. 20—22  $\mu$ . lat. 10—12  $\mu$ .

In stratis tertiaris marinis ad Borostekek in Hungaria.  
Icon: Beitr. III. tab. 9.. fig. 155.

446. *Stylobiblum Huradiae* Pant. nov. spec.

Valvis late ellipticis subcircularibus, ad marginem crenatis, septatis. Septa elongata, usque ad aream axillarem lanceolatam percurrentia. Structura striata, striae arcuatae. Long. 19·2  $\mu$ ., lat. 17·6  $\mu$ .

In stratis tertiaris aquae dulcis ad Sentenai in insula Jesso.  
Icon: Beitr. III., tab. 2., fig. 20.

*447. Stylobiblum inflatum* Pant. nov. spec.

Valvis lanceolatis, septatis, cum lateribus polygibbis et polis obtusis; Septa transversa, penetrantia 2 in 10  $\mu$ . Structura striata. Striae transversae arcuato parallelae. Valva unilateralis spina longiori notata. Long. 29·5  $\mu$ , lat. 15·2  $\mu$ .

In stratis aquae dulcis tertiaris ad Sentenai in insula Jesso.  
Icon: Beitr. III., tab. 2., fig. 23.

*448. Stylobiblum carinatum* Pant. Syn. *St. japonicum* Pant. non Petit.

Late elliptica, subrotunda, cum lateribus polygibbis et polis rotundatis. Septa transversa totam valvam percurrentia. Striae arcuatae. Poli nudi hyalini. Long. 20  $\mu$ , lat. 18·5  $\mu$ .

In stratis tertiaris aquae dulcis ad Sentenai in insula Jesso.  
Icon: Beitr. III., tab. 2., fig. 18.

*449. Stylobiblum Jimboi* Pant. nov. spec.

Late lanceolata, cum polis productis rotundatis hyalinis. Septa transversa. Structura striata. Striae transversae. Long. 35·5  $\mu$ , lat. 12·5  $\mu$ .

In stratis tertiaris aquae dulcis ad Sentenai in insula Jesso.  
Icon: Beitr. III., tab. 2., fig. 21.

*450. Stylobiblum ovale* Pant. nov. spec.

Valvis ellipticis, cum polis rotundatis et lateribus nudis. Septa transversa, totam valvam penetrantia et brevioria marginalia. Striae transversae arcuatae, totam valvam percurrentes. Long. 27·5  $\mu$ , lat. 13·5  $\mu$ . Septa 2—3 in 10  $\mu$ .

In stratis tertiaris aquae dulcis ad Sentenai in insula Jesso. Icon: Beitr. III., tab. 1., fig. 13.

*451. Stylobiblum polygibbum* Pant. nov. spec.

Frustulis rectangulis, concatenatis septatis. Septa plicis longitudinalibus conjugata. Valvis ellipticis, lateribus polygibbis. Septis transversis, totam valvam percurrentibus. Striae transversae. Long. 20·5—33·6  $\mu$ , lat. 12·5—13·5  $\mu$ . Septa 2—3 in 10  $\mu$ .

In stratis tertiariis aquae dulcis ad Sentenai in insula Jesso. Icon: Beitr. III., tab. 1., fig. 15, tab. 2., fig. 19.

452. *Surillela amoena* Pant. nov. spec.

Valvis ellipticis marginatis. Costae dilatatae, ad marginem arcuatae, striato punctatae 2 in 10  $\mu$ . Area axillaris nuda, hyalina elongata, angustata lanceolata. Long. 48  $\mu$ , lat. 25.5  $\mu$ .

In stratis aquae dulcis tertiariis ad Bodos in Transilvania. Icon: Beitr. III., tab. 18., fig. 268.

453. *Surillela baldjickii* Norm.

Long. 108—142.5  $\mu$ , lat. 27—48  $\mu$ . Costae 1—2 in 10  $\mu$ .

In stratis tertiariis marinis ad Bory, Borostelek, Káránd, Nyermegy, Izsopallaga Serges in Hungaria. Icon: Beitr. III., tab. 30., fig. 435.

454. *Surillela Clementis* Grun.

Long. 147  $\mu$ , lat. 24  $\mu$ . Costis 3—4 in 10  $\mu$ .

In stratis tertiariis aquae dulcis ad Bory Kopacsel et Dubravica Hungariae. Icon: Beitr. III., tab. 42., fig. 576.

455. *Surillela fastuosa* E. var. *fossilis* Pant.

Long. 89.5—96.8  $\mu$ , lat. 69—76.3  $\mu$ . Costae 1—2 in 10  $\mu$ .

In stratis tertiariis mariuis ad Bory Hungariae. Icon: Beitr. III., tab. 31., fig. 450.

456. *Surillela Jimboi* Pant. nov. spec.

Late elliptica. Costis angustis, arcuate radiantibus, usque ad aream axillarem longitudinalem angustatam nudam percurrentibus, striolatis. Long. 29.6  $\mu$ , lat. 20  $\mu$ . Costae 6 in 10  $\mu$ .

In stratis tertiariis aquae dulcis ad Sentenai in insula Jesso. Icon: Beitr. III., tab. 2., fig. 29.

457. *Surillela Kellerii* Pant. nov. spec.

Ovato elliptica, cum margine lato, alato. Costae validae, ad marginem arcuato conjunctae, striatae, usque ad pseudorhaphem elevatam quasi carinatam, ad polos duobus aculeis

validis vestitam, arcuatam percurrentes. Long. 244·5  $\mu$ ., lat. 97·5  $\mu$ . Costa 1 in 10  $\mu$ .

In stratis tertiaris aquae dulcis ad Köpecz in Transilvania. Icon: Beitr. III., tab. 4., fig. 61.

458. *Surillela Kinkerii* Pant. nov. spec.

Ovalis, cum margine hyalino, costata. Costae ad marginem arcuato confluentes, subtile striolatae. Striae usque ad pseudorhaphen percurrentes, hic vitta longitudinali arcuata bilateraliter interruptae. Long. 108  $\mu$ ., lat. 40  $\mu$ . Margo 1·5  $\mu$ . latus. Costae 3—4 in 10  $\mu$ .

In stratis tertiaris marinis ad Nyermegy in Hungaria. Icon: Beitr. III., tab. 31., fig. 444.

459. *Surillela Kochii* Pant. nov. spec.

Elliptico elongatis, cum polis productis rotundatis et lateribus impressis. Margo 2  $\mu$ . latus hyalinus. Costis 15 in 10  $\mu$ . arcuatis, ad marginem confluentibus. Striae transversae striolis validis intermixtae 30 in 10  $\mu$ . Long. 89·5  $\mu$ ., lat. 24·8  $\mu$ .

In stratis aquae dulcis tertiaris ad Bodos in Transilvania. Icon: Beitr. III., tab. 7., fig. 111.

460. *Surillela lanceolato elliptica* Pant. nov. spec.

Lanceolato elliptica, late marginata. Costis validis 3 in 10  $\mu$ . arcuatis, striolatis. Area axillaris lanceolata transverse striata. Long. 141  $\mu$ ., lat. 39  $\mu$ .

In stratis tertiaris aquae dulcis ad Bodos in Transilvania. Icon: Beitr. III., tab. 31., fig. 446.

461. *Surillela salsa* W. Sm. var. *hungarica* Pant.

Elongata, cum polis cuneatis. Costae ad marginem arcuato confluentes, 3 in 10  $\mu$ . Area axillaris elongata transverse striolata. Striae 20 in 10  $\mu$ . Long. 136·5  $\mu$ ., lat. 28·5  $\mu$ .

In stratis aquae dulcis tertiaris ad Dubravica Hungariae. Icon: Beitr. III., tab. 22., fig. 325.

462. *Surillela signata* Pant. nov. spec.

Circularis, cum margine striolato; costis ad marginem arcuato conjugatis, validis, abbreviatis, striolatis, ad centrum

duabus vittis striatis arcuatis cum vitta transversa conjunctis ornatis. Long. 54  $\mu$ ., lat. 49  $\mu$ . Costae 2 in 10  $\mu$ . Margo 1.5  $\mu$ . latus. Altitudo figurae centralis 21  $\mu$ ., lat. 33  $\mu$ .

In stratis tertiaris marinis ad Borostekek Hungariae. Icon: Beitr. III., tab. 39., fig. 544.

463. *Surillela subfastuosa* Pant. nov. spec.

Circularis, cum margine spinuloso striolato. Costae abbreviatae cuneiformes, dilatatae, ad marginem confluentes, ad aream axillarem lanceolatam, striis validis tectam et duabus lineis arcuatis striolatis cinctam, cum stria perlonga arcuata percurrentes. Long. 97  $\mu$ ., lat. 82  $\mu$ ; costae 1 in 10  $\mu$ . Long. imaginis 62  $\mu$ ., lat. 30  $\mu$ .

In stratis tertiaris marinis ad Káránd in Hungaria. Icon: Beitr. III., tab. 38., fig. 530.

464. *Surillela tenera* Greg. var. *fossilis* Pant. nov. var.

Elliptico ovalis, ad marginem late alata fenestrata. Costae ad marginem arcuato confluentes, ad aream axillarem elongatam percurrentes. Long. 91.5  $\mu$ ., lat. 29.2  $\mu$ . Fenestra 1.5 in 10  $\mu$ . Costae 2 in 10  $\mu$ .

In stratis tertiaris aquae dulcis ad Bory in Hungaria. Icon: Beitr. III., tab. 11., fig. 176.

465. *Surillela torquata* Pant. nov. spec.

Ovalis ad polum superiorem torquata, cum margine corona punctorum ornato; costis arcuato confluentibus, ad marginem spinosis. Costae 2 in 10  $\mu$ . cuneiformae striolatae. Area axillaris elongata. Long. 124.5  $\mu$ ., lat. 76.5  $\mu$ .

In stratis tertiaris marinis ad Káránd in Hungaria. Icon: Beitr. III., tab. 41., fig. 570.

466. *Surillela Toulaae* Pant. nov. spec.

Circularis, cum margine hyalino; costis arcuato confluentibus spinosis, cuneiformibus nudis, ad formam lagenae inflatis. Area axillaris late lanceolata rhombica, cum vittis duabus subrhombicis cincta. Long. 126  $\mu$ ., lat. 121.5  $\mu$ . Costae 2 in 10  $\mu$ .

In stratis tertiaris marinis ad Baldjick in Romania.  
Icon: Beitr. III., tab. 38., fig. 527.  
Dedicavi dom. Profes. Toula in Polytechnico Vienensi.

467. *Surillela transsilvanica* Pant. nov. spec.

Valva elongata, cum lateribus constrictis, apieibus parum productis, subcapitatis. Costae transversae validae, nudae, usque ad aream axillarem elongatam angustam percurrentes, 4—5 in 10  $\mu$ ., ad marginem cum stria valida notatae. Long. 86'5  $\mu$ ., lat. 11'2  $\mu$ .

In stratis tertiaris aquae dulcis ad Bodos in Transilvania  
Icon: Beitr. III., tab. 1., fig. 1.

468. *Surillela Vaszuryi* Pant. nov. spec.

Elliptica, cum lateribus leniter constrictis, margine corona punctorum cineta; costae validae, cuneatae, striolatae, ad marginem arcuato conjugatae 1—2 in 10  $\mu$ . abbreviatae radiantes. Area axillaris ad formam crucis dilatata et striis abbreviatis cineta, medio cum carina spinosa vestita. Long. 117  $\mu$ ., lat. 63  $\mu$ .

In stratis tertiaris marinis ad Bory in Hungaria. Icon: Beitr. III., tab. 30., fig. 431.

Dedicavi Eminentiae suaे Cardinali et Principi Priunati Hungariae Dom. Claudio Vaszary Strigonii, quondam caro magistro meo.

469. *Surillela verrucosa* Pant. nov. spec.

Lanceolato elliptica, 80  $\mu$ . longa. 28  $\mu$ . lata, marginata, costata; costae 2 in 10  $\mu$ . cuneatae, ad marginem arcuato confluentes striatae. Area axillaris elongata, angustate lanceolata, spatia intercostalia verrucosa.

In stratis aquae dulcis tertiaris ad Bodos in Transilvania.  
Icon: Beitr. III., tab. 12., fig. 191.

470. *Syndetoneis rossica* Pant.

Frustulis fungiformibus, cum capello dilatato et stylo nudo elongato vestitis. Frustula inter se ad polum inferiorem cum anulo concatenata. — Capillus convexus, punctatus. Long. 40  $\mu$ .. lat. capelli 32  $\mu$ .

In stratis antiquissinis marinis ad Kusnetzk in Russia.  
Icon: Beitr. III., tab. 25., fig. 376.

471. *Synedra dubravicensis* Pant. nov. spec.

Valva elongata, angustata medio inflata, cum polis obtusis.  
Striae marginales abbreviatae, 15 in 10  $\mu$ . Long. 64  $\mu$ ., lat. 4·5  $\mu$ .  
In stratis tertiaris aquae dulcis ad Dubravica in Hungaria.  
Icon: Beitr. III., tab. 21., fig. 320.

472. *Synedra Jurányii* Pant. nov. spec.

Valvis elongatis. ad polos clavaeformibus rotundatis, cum  
plicis duabus longitudinalibus, ad marginem sitis vestitis.  
Pseudorhaphe directa nuda. Structura punctata. Paneta 20 in  
10  $\mu$ . in strias 11 in 10  $\mu$ . transversas parallelas ordinata.  
Long. 456  $\mu$ ., lat. 12  $\mu$ ., ad polos 24  $\mu$ .

In stratis tertiaris marinis ad Borostelek in Hungaria.  
Icon: Beitr. III., tab. 16., fig. 242.

Dedicavi Dom. Prof. Jurányi in universitate Budapestini.

473. *Synedra transilvanica* Pant. nov. spec.

Valva elongata, angusta, ad polos inflata rostrata, cum  
vitta longitudinali, ad marginem sitam et corona margaritarum  
marginalium ornata. Pseudorhaphe ad formam vittae nudae  
totam valvam percurrens. Striae 10 in 10  $\mu$ . transversae,  
parallelae. Long. 133·5  $\mu$ ., lat. 6·4  $\mu$ ., ad polos 10·4  $\mu$ .

In stratis tertiaris ad Köpecz in Transilvania. Icon: Beitr.  
III., tab. 5., fig. 86.

474. *Synedra ulna* E. var. *fossilis* Pant. nov. spec.

Long. 151  $\mu$ ., lat. 9  $\mu$ . Striae 10 in 10.

In stratis tertiaris aquae dulcis ad Dubravica in Hungaria.  
Icon: Beitr. III., tab. 24., fig. 370.

475. *Synedra Van Henrkii* Brun.

Long. 220  $\mu$ ., lat. 12  $\mu$ . Striae 15 in 10  $\mu$ .

In stratis tertiaris marinis ad Wembets in insula Jesso.

Icon: Beitr. III., tab. 25., fig. 378.

476. *Terpsinoë Brunii* Pant. nov. spec.

Trigona, cum lateribus undulatis, polis rotundatis, cum margine striolato, septis tribus transversis validis. Structura ad polos punctata. Puncta in lineas longitudinales figuram triangularem constituentia, ordinata. Centrum valvae trigonum, disseminate punctatum. Long. lateris  $78\ \mu$ . Alt. valvae  $64\cdot5\ \mu$ .

In stratis tertiaris marinis ad Wembets in insula Jesso. Icon: Beitr. III., tab. 17., fig. 254.

477. *Terpsinoë polygibba* Pant. nov. spec.

Circularis polygibba, gibbis rotundatis, dense punctatis. Structura punctata. Puncta in lineas radiantes ordinata, ad centrum rotundatum nudum percurrentia. Diametr.  $46\ \mu$ .

In stratis tertiaris mariuis ad Izsopallaga in Hungaria. Icon: Beitr. III., tab. 21., fig. 310.

478. *Terpsinoë triquetra* Pant. nov. spec.

Trigona, lateribus, undulatis, gonis rotundatis. Valva ad polos septis tribus transversis separata. Centrum valvae trigonum. Structura punctata. Puncta ad polos et ad centrum disseminate disposita. Altitudo  $48\cdot5\ \mu$ , long. lateris  $57\ \mu$ .

In stratis mariuis tertiaris ad Izsopallaga in Hungaria. Icon: Beitr. III., tab. 26., fig. 390.

479. *Tetracyclus emarginatus* E.

Altitudo  $38\cdot5\ \mu$ , lat.  $12\cdot5\ \mu$ .

In stratis tertiaris aquae dulcis ad Bodos in Transilvania. Icon: Beitr. III., tab. 18., fig. 270.

480. *Tetracyclus lacustris* Ralf. var. *fossilis* Pant.

Valvis elongatis, cum lateribus undulatis, vel tantum ad medium inflatis. Frustulis quadrangulis, angulis obtusis, cum plieis duabus transversis, et septis validis vestitis. Long.  $32\cdot5$ — $40\cdot5\ \mu$ , lat.  $13\cdot5$ — $25\cdot5\ \mu$ .

In stratis tertiaris aquae dulcis ad Bory et Deménd Hungariae. Icon: Beitr. III., tab. 3., fig. 42.; tab. 4., fig. 62.; tab. 5., fig. 71.

481. *Triceratium antipodum* Pant. nov. spec.

- Trigona, lateribus leniter concavis, gonis rotundatis punctulatis. Margine squamuloso striolato. Structura punctata, puneta papillosa, disseminata. Valva ad centrum cum tribus vittis convexis notata. Altitudo 42  $\mu$ . long., lateris 51  $\mu$ ., lat. marginis 1  $\mu$ . Squamae marginales 6 in 10  $\mu$ .

In stratis marinis tertiaris ad Oamaru in Nova Seelandia.  
Icon: Beitr. III., tab. 36., fig. 514.

482. *Triceratium Armaševskii* Pant. nov. spec.

Valvis trigonis, validis, lateribus concavis, gonis rotundatis, punctatis. Septis ad formam squamae dilatatis abbreviatis et elongatis usque ad centrum valvae percurrentibus. Structura cellulosa. Cellulae rotundae papillosae, inter septa in lineas radiantes dispositae. Altitudo valvae 87  $\mu$ ., long. lateris 105  $\mu$ ., lat. marginis 2  $\mu$ . Squamae 2 in 10  $\mu$ . Cellulae 2—3 in 10  $\mu$ .

In stratis marinis antiquissimis ad Kusnetzk in Russia.  
Icon: Beitr. III., tab. 11., fig. 183.

Dedicavi Dom. Armaševski rei herbariac perito in Set. Petersburg.

483. *Triceratium biharensse* Pant. nov. spec.

Valvis triangularibus, cum angulis rotundatis, punctatis et lateribus directis marginatis. Cellulae papillosae ovales, radiantes. Long. lateris 53  $\mu$ . Altitudo 47  $\mu$ . Lat. marginis 2  $\mu$ . Cellulae 3 in 10  $\mu$ .

In stratis tertiaris marinis ad Borostelek in Hungaria.  
Icon: Beitr. III., tab. 37., fig. 524.; tab. 40., fig. 549.

484. *Triceratium boryanum* Pant.

Altitudo 67—81  $\mu$ ; long. lateris 52—58·5  $\mu$ . Cellulae 4—5 in 10  $\mu$ .

In stratis tertiaris marinis ad Bory in Hungaria. Icon: Beitr. III., tab. 33., fig. 476.

485. *Triceratium Brandtii* Pant. nov. spec.

Triangularis, cum lateribus undulatis late marginatis et angulis obtusis, cornutis. Septa transversa, 3, ad gonos disposita.

Centrum valvae triangulare, cum polis truncatis. Structura cellulosa. Cellulae papillosae, disseminatae. Long. later 69  $\mu$ . Altit. 60  $\mu$ . Margo 3  $\mu$ . latus.

In stratis marinis antiquissimis ad Kusnetzk in Rossia.  
Icon: Beitr. III., tab. 25., fig. 379.

486. *Triceratium caducum* Pant. nov. spec.

Trigona, cum lateribus directis late marginatis et angulis obtusis, cornutis. Structura cellulosa. Cellulae 2—3 in 10  $\mu$ . papillosae, in lineas subcirculares dispositae. Altitudo 70·5  $\mu$ .; long. later. 75  $\mu$ .

In stratis antiquissimis marinis ad Kusnetzk in Rossia.  
Icon: Beitr. III., tab. 37., fig. 526.

487. *Triceratium coerulescens* Pant. nov. spec.

Tri et quadrigona, lateribus leniter concavis; gonis rotundatis punctatis. Structura granulosa. Granulae disseminatae. Valva coerulescens. Long. axis inter angulos 319·5  $\mu$ . Long. axis inter latera 204·5  $\mu$ . Long. lateris 229·6—230  $\mu$ .

In stratis marinis tertiaris ad Sendaï in Japonia. Icon: Beitr. III., tab. 18., fig. 265.

488. *Triceratium cristatum* Pant. nov. spec.

Triangularis, cum angulis rotundatis cornutis et lateribus modice arcuatis, late marginatis. Valva ad marginem cum crista elevata et cellulis papilloso in lineas radiantes circulares ornata, ad centrum rotundatum spinis tectum. Altitudo 77  $\mu$ .; long. lateris 80  $\mu$ .; latit. marginis 2  $\mu$ . Cellulae 3—5 in 10  $\mu$ .

In stratis marinis antiquissimis ad Kusnetzk in Rossia.  
Icon: Beitr. III., tab. 14., fig. 218.

489. *Triceratium cucullatum* Pant. var. *validior* Pant. nov. var.

Altitudo 65  $\mu$ .; long. lateris 74  $\mu$ . Cellulae robustae papillosae 4 in 10  $\mu$ .

In stratis antiquissimis marinis ad Kusnetzk in Rossia.  
Icon: Beitr. III., tab. 31., fig. 448.

490. *Triceratium deductum* Pant. nov. spec.

Trigona, cum lateribus concavis marginatis, gonis dilatatis rotundatis punctatis. Anguli per septa transversa dilatata

hyalina a centro separati. Centrum valvae disseminate punctatum. Altitudo 100·5  $\mu$ ., long. lateris 120  $\mu$ ., latitudo marginis 3  $\mu$ ., latitudo angulis 37·5  $\mu$ .

In stratis antiquissimis marinis ad Kusnetzk in Rossia.  
Icon: Beitr. III., tab. 19., fig. 285.

491. *Triceratium delectabile* Pant. nov. spec.

Trigona, cum lateribus leniter concavis, angulis rotundatis. Anguli a centro septis dilatatis separati. Structura disseminate punctata. Altit. 48  $\mu$ ., long. later. 57  $\mu$ . Margo 1·5  $\mu$ . latus.

In stratis antiquissimis marinis ad Kusnetzk in Rossia.  
Icon: Beitr. III., tab. 20., fig. 290.

492. *Triceratium de Tonii* Pant. nov. spec.

Triangularis, cum lateribus parum arcuatis, angulis obtusis, punctatis. Structura cellulosa. Cellulae papilloso ordinatae. Centrum valvae rotundatum nudum. Altitudo 67  $\mu$ ., longitudo lateris 74  $\mu$ .

In stratis tertiariorum marinis ad Szakal in Hungaria. Icon: Beitr. III., tab. 36., fig. 515.

493. *Triceratium distinguendum* Pant. nov. spec.

Trigona, cum lateribus concavis, gonis productis rotundatis punctatis. Structura papilloso spinulosa. Centrum dilatatum, rotundatum nudum. Altitudo 79  $\mu$ . Long. later. 98·5  $\mu$ . Latit. marginis 3  $\mu$ .

In stratis antiquissimis marinis ad Ananino in Rossia.  
Icon: Beitr. III., tab. 16., fig. 240.

494. *Triceratium Dutertrei* Pant. Temp.

Altitud. 151·5  $\mu$ ; long. lateris 138  $\mu$ ; latit. marginis 4·5  $\mu$ .

In stratis antiquissimis marinis ad Kusnetzk in Rossia.  
Icon: Beitr. III., tab. 8., fig. 132.

495. *Triceratium elatum* Pant. nov. spec.

Frustulis elevatis, cum gonis tribus truncatis elevatis, cum margine concavo conjungitis. — Structura punctata. Puncta 10 in 10  $\mu$ ., in lineas decussatas circulares ordinata. Altit. frust. 120  $\mu$ . altitud. cornu 7·5  $\mu$ .

In stratis marinis tertiaris ad Káránd in Hungaria.  
Icon: Beitr. III., tab. 40., fig. 554.

496. *Triaceratium Endlicherii* Pant. nov. spec.

Trigona, lateribus concavis late marginatis. Gonis productis, rotundatis, dilatatis punctatis. Centrum valvae magis dilatatum, rotundatum, nudum. Structura cellulosa, cellulae rotundatae, disseminatae. Altitudo 81  $\mu$ ., long. lat. 97.5  $\mu$ .

In stratis antiquissimis marinis ad Kusnetzk in Rossia.  
Icon: Beitr. III., tab. 20., fig. 300.

Dedicavi in memoriam Dom. Stefani Endlicher, botan. professoris in univer. Vindobonensi.

497. *Triceratium fasciatum* Pant.

Altitudo 91.5  $\mu$ ; long. later. 96  $\mu$ . lat. marginis 3  $\mu$ .

In stratis antiquissimis marinis ad Kusnetzk in Rossia.  
Icon: Beitr. III., tab. 27., fig. 406.

498. *Triceratium fragile* Pant. nov. spec.

Triangularis, angulis obtusis punctatis. Structura spinulozo cellulosa. Cellulae in lineas subradiantes ordinatae, ad centrum rotundatum nudum percurrentes. Long. lat. 63  $\mu$ . Altit. valvae 60  $\mu$ . Cellulae 4—5 in 10  $\mu$ . Latit. marginis 2  $\mu$ .

In stratis antiquissimis marinis ad Kusnetzk in Rossia.  
Icon: Beitr. III., tab. 13., fig. 206.

499. *Triceratium Gurowii* Pant. nov. spec.

Triangularis, lateribus marginatis, angulis rotundatis, cornutis; cornubus validis elevatis, punctatis. Structura cellulosa. Cellulae 2—3 in 10  $\mu$ . papillose, in lineas radiantes, ad centrum percurrentes ordinatae. — Altitudo 156  $\mu$ ; longit. later. 175.5  $\mu$ ; latitud. marginis 4.5  $\mu$ .

In stratis antiquissimis marinis ad Kusnetzk in Rossia.  
Icon: Beitr. III., tab. 24., fig. 361.

500. *Triceratium hilaratum* Pant. nov. spec.

Triangularis, late marginata, lateribus concavis et angulis dilatatis, rotundatis, punctatis. Valva ceterum disseminate

punctata, cum centro rotundato nudo. Altitud. 87  $\mu$ .; long. lat. 108  $\mu$ .; lat. marg. 3  $\mu$ .; latid. poli 30  $\mu$ .

In stratis antiquissimis marinis ad Kusnetzk in Hungaria. Icon: Beitr. III., tab. 27., fig. 408.

501. *Triceratium hungaricum* Pant. nov. spec.

Valvis tri-pentagonis, cum lateribus concavis, angulis productis rotundatis; cornutis; cornua elevata valida, grosse punctata. Structura duplex; superior reticulato squamosa, reticula irregularia, et cellulosa. Cellulae papillosoe 2—4 in 10  $\mu$ . in lineas radiantes, ad centrum percurrentes ordinatae. Altitudo 138  $\mu$ .; long. lateris 106·5  $\mu$ .

In stratis marinis tertiaris ad Bory Hungariae. Icon: Beitr. III., tab. 17., fig. 250.

502. *Triceratium illustrum* Pant. nov. spec.

Valvis trigonis, cum lateribus concavis et gonis productis, dilatatis, rotundatis punctatis. Cornua a centro vittis transversis nudis, dilatatis, separata. Structura cellulosa. Cellulae 1—2 in 10  $\mu$ . in lineas radiantes ordinatae, ad centrum, disseminatae. Altitudo 198  $\mu$ .; long. lateris 243  $\mu$ .

In stratis vetustissimis marinis ad Kusnetzk in Rossia. Icon: Beitr. III., tab. 25., fig. 375.

503. *Triceratium Jimboi* Pant. nov. spec.

Valvis pentagonis, late marginatis, lateribus leniter concavis, angulis rotundatis, incrassatis, dense punctatis. Structura cellulosa, cellulae papillosoe, polygonae, in lineas radiantes, ad centrum percurrentes, ordinatae. Altitudo 138  $\mu$ .; long. lateris 105  $\mu$ .; latit. marginis 3  $\mu$ .; cellulae 2, 3, 4 in 10  $\mu$ .

In stratis tertiaris marinis ad Wembets in insula Jesso. Icon: Beitr. III., tab. 20., fig. 295.

504. *Triceratium jucundum* Pant. nov. spec.

Valva triangularis, late marginata, cum lateribus leniter convexis et angulis parum productis, rotundatis, cornutis. Cornua valida, punctata. Structura cellulosa. Cellulae 2—3 in 10  $\mu$ ., papillosoe, in lineas meandricas dispositae. Centrum

convexum subnudum. Altitudo 91  $\mu$ .; long. later. 98  $\mu$ .; latitud. marginis 3  $\mu$ .

In stratis antiquissimis marinis ad Kusnetzk in Rossia. Icon: Beitr. III., tab. 22., fig. 333.

505. *Triceratium junctum* A. Schin. var. *fossilis* Pant.

Altit. 135—151·5  $\mu$ .; long. lat. 88—102·5  $\mu$ .; margo 3  $\mu$ . latus. Cellulis 3—4 in 10  $\mu$ .

In stratis tertiaris marinis ad Bory Hungariae. Icon: Beitr. III., tab. 34.. fig. 480.: tab. 35., fig. 502.

506. *Triceratium lanceolatum* Pant.

Altit. axis longit. et transv. 105  $\mu$ .; long. lateris 75  $\mu$ .

In stratis antiquissimis marinis ad Kusnetzk in Rossia. Icon: Beitr. III., tab. 6., fig. 99.

507. *Triceratium mikrotis* Grun. var. *quadriocellata* Pant.

Subcircularis. late marginata, 4 ocellata. Margine punctato. Puneta 12 in 10  $\mu$ . Structura cellulosa. cellulae polygonae 3—4 in 10  $\mu$ . Diametr. 60·5  $\mu$ .

In stratis marinis tertiaris ad Szakal in Hungaria. Icon: Beitr. III., tab. 18., fig. 269.

508. *Triceratium notatum* Pant. nov. spec.

Valva triangularis, lateribus leniter concavis. marginatis; angulis parum productis, cornutis. Structura cellulosa. Cellulae rotundae, papillose 3 in 10  $\mu$ . disseminatae. Altit. 51  $\mu$ .: long. later. 60  $\mu$ .; lat. marg. 1·5  $\mu$ .

In stratis antiquissimis marinis ad Kusnetzk in Rossia. Icon: Beitr. III., tab. 20., fig. 288.

509. *Triceratium Perugalloi* Pant.

Altit. 90  $\mu$ .; long. lat. 88  $\mu$ .; puneta 8 in 10  $\mu$ .

In stratis antiquissimis marinis ad Kusnetzk in Rossia. Icon: Beitr. III., tab. 10.. fig. 172.

510. *Triceratium Pethöi* Pant.

Long. axis long. et transv. 118  $\mu$ . Long. lateris 86  $\mu$ . Granula 3 in 10  $\mu$ . Margo 2  $\mu$ . latus.

In stratis marinis tertiaris ad Nagy Kűrtös in Hungaria.  
Icon: Beitr. III., tab. 26., fig. 389.

511. *Triceratium Pilosus* E. var. *robustior* Pant.

Altitud. 67·5—94·5  $\mu$ ; long. later. 67·5—76·5  $\mu$ . Granulis 3—4 in 10  $\mu$ .

In stratis tertiaris marinis ad Bory in Hungaria. Icon: Beitr. III., tab. 42., fig. 574.

512. *Triceratium praeferox* Pant. nov. spec.

Valva triangularis, late marginata, lateribus directis; gonis rotundatis punctatis. Structura granulosa et spinulosa. Graula papillosa disseminata. Altitud. 80  $\mu$ ; long. later. 90  $\mu$ .

In stratis antiquissimis marinis ad Kusnetzk in Rossia.  
Icon: Beitr. III., tab. 15., fig. 231.

513. *Triceratium proprium* Pant. nov. spec.

Valva triangularis, late marginata, cum lateribus leniter convexis, angulis rotundatis, cornutis. Cornua valida. Structura granulosa. Granula 3—4 in 10  $\mu$ . papillosa, in lineas radiantes ordinata, ad centrum, cum area parva nuda notatum, percurrentia. Altit. 81  $\mu$ ; long. lat. 84  $\mu$ ; lat. marg. 3·5  $\mu$ .

In stratis antiquissimis marinis ad Kusnetzk in Rossia.  
Icon: Beitr. III., tab. 28., fig. 418.

514. *Triceratium pseudoarctium* Pant. nov. spec.

Valva convexa triangularis; margine dilatato; lateribus directis; angulis rotundatis, dilatatis, punctatis. Structura cellulosa. Cellulae papillosae, polygonae 2—5 in 10  $\mu$ . in lineas radiantes et repando curvatas ordinatae, ad centrum disseminatae. Altit. 150  $\mu$ , long. lat. 165  $\mu$ , lat. marg. 3  $\mu$ .

In stratis tertiaris marinis ad Nagy Kűrtös in Hungaria.  
Icon: Beitr. III., tab. 29., fig. 426.

515. *Triceratium Rehakii* Pant.

Altit. 69  $\mu$ , long. lat. 88·5  $\mu$ . Cellulae 4 in 10  $\mu$ . Lat. marg. 2  $\mu$ .

In stratis tertiaris marinis prope Nikolsburg in Moravia.  
Icon: Beitr. III., tab. 1., fig. 14.

516. *Triceratium Smithii* Pant.

Altit. 98  $\mu$ ., long. later. 103  $\mu$ ., lat. marg. 1·5  $\mu$ ; granulae 6 in 10  $\mu$ .

In stratis marinis antiquissimis ad Kusnetzk in Rossia. Icon: Beitr. III., tab. 5., fig. 83.

Dedicavi in memoriam Dom. W. Smith diatomologo celeberrimo auctori: Synops. Brith. Diatom. Londonii.

517. *Triceratium Sokolowii* Pant. nov. spec.

Valva convexa, triangularis, late marginata; lateribus arcuatis: angulis subacutis. Structura granulosa, granula 6—7 in 10  $\mu$ . in lineas radiantes disposita. Altitud. 88·5  $\mu$ ., long. later. 93  $\mu$ ., latit. marg. 3  $\mu$ .

In stratis antiquissimis marinis ad Kusnetzk in Rossia. Icon: Beitr. III., tab. 22., fig. 331.

518. *Triceratium speciosum* Pant. nov. spec.

Valva triangularis, convexa, late marginata; lateribus arcuatis, angulis rotundatis, cornutis. Cornua valida. Structura cellulosa. Cellulae 3—4 in 10  $\mu$ ., rotundae, magnae, papillose, in lineas radiantes ordinatae, ad centrum disseminatae. Altitud. 100  $\mu$ ., long. lateris 105  $\mu$ ., lat. marg. 3  $\mu$ .

In stratis antiquissimis marinis ad Kusnetzk in Rossia. Icon: Beitr. III.; tab. 12., fig. 195.

519. *Triceratium Staubii* Pant. nov. spec.

Valva triangularis, late marginata; lateribus directis; angulis rotundatis, cornutis. Cornua valida. Structura granulosa, granula disseminata. Altitud. 62  $\mu$ ., long. later. 65  $\mu$ ., latit. marg. 4  $\mu$ .

In stratis tertiariorum marinis ad Szakal in Hungaria. Icon: Beitr. III., tab. 36., fig. 513.

Dedicavi dom. dr. M. Staub, phytopaleontologo Budapestini.

520. *Triceratium stigmaticum* Pant. nov. spec.

Valvis triangularibus, lateribus parum arcuatis, marginatis: angulis rotundatis cornutis. Structura granulosa; granula disseminata, ad angulos in lineas directas ordinata. Altitudo 121  $\mu$ ., long. lateris 135  $\mu$ ., lat. marginis 3  $\mu$ .

In stratis antiquissimis marinis ad Kusnetzk in Rossia.  
Icon: Beitr. III., tab. 22., fig. 324.

521. *Triceratium suborbiculare* Pant.

Altitudo 84  $\mu$ ., long. lateris arcuati 84  $\mu$ ., latit. marg. 3  $\mu$ .  
Granula papillosa 3 in 10  $\mu$ .

In stratis tertiaris marinis ad Nagy Kurtös in Hungaria.  
Icon: Beitr. III., tab. 3., fig. 47.

522. *Triceratium tectum* Pant. nov. spec.

Valva triangularis, lateribus directis, margine 3  $\mu$ . lato;  
angulis rotundatis, cornutis. Structura granulosa. Granula  
2—3 in 10  $\mu$ ., papillosa, in lineas radiantes ordinata. Centrum  
elevatum valvae rotundatum, nudum. Altitud. 117  $\mu$ ., long.  
later. 133·5  $\mu$ .

In stratis marinis antiquissimis ad Kusnetzk in Rossia.  
Icon: Beitr. III., tab. 22., fig. 322.

523. *Triceratium triasicum* Pant.

Valva triangularis, parum convexa; lateribus directis,  
angulis dilatatis rotundatis. Structura granulosa. Granula  
5—6 in 10  $\mu$ . papillosa, in lineas arcuato radiantes ordinata.  
Altit. 74  $\mu$ ; long. later. 86  $\mu$ .

In stratis antiquissimis marinis ad Kusnetzk in Rossia.  
Icon: Beitr. III., tab. 12., fig. 189.

524. *Triceratium vastum* Pant. nov. spec.

Frustulis elevatis, tricornutis, cornua incrassata, elevata.  
Structura punetata. Puneta 8 in 10  $\mu$ . in lineas arcuatas  
decussatas ordinata. — Valva triangularis, lateribus directis,  
angulis dilatatis, rotundatis cornutis. Cornua magis elevata.  
incrassata. Structura granulosa. Granula in lineas radiantes  
ordinata, 6 in 10  $\mu$ . Altit. valvae 44  $\mu$ ., long. lat. 45  $\mu$ .

In stratis marinis tertiaris ad Borostelek in Hungaria.  
Icon: Beitr. III., tab. 13., fig. 208; tab. 40., fig. 556.

525. *Triceratium rates* Pant. nov. spec.

Valva triangularis, late marginata; lateribus concavis;  
angulis dilatatis rotundatis, capitatis. stromatophoris, stromata

punctata, puncta in lineas longitudinales ordinata, a centro valvae vitta transversa nuda dilatata separata. Centrum valvae disseminate granuloso hispidum. Altit. 138  $\mu$ ., long. later. 181  $\mu$ ., latit. anguli 46·5  $\mu$ ., latit. marg. 4·5  $\mu$ .

In stratis antiquissimis marinis ad Kusnetzk in Rossia.  
Icon: Beitr. III., tab. 23., fig. 341.

526. *Trinacia antiqua* Pant. nov. spec.

Valva triangularis, lateribus marginatis concavis, angulis cornutis, cornibus acutis. Structura granuloso spinosa. Granula in lineas radiantes ordinata, 3—4 in 10  $\mu$ . Area centralis valvae convexae, rotundata, dilatata nuda. Altitud. 93  $\mu$ ., long. lat. 108  $\mu$ ., lat. marg. 3  $\mu$ .

In stratis antiquissimis marinis ad Kusnetzk in Rossia.  
Icon: Beitr. III., tab. 32., fig. 456.

527. *Trinacia excavata* Hbg. var. *producta* Pant.

Valva triangularis, lateribus marginatis, magis concavis; anguli magis producti cornuti; cornua acuta. Structura granulosa; granula papillosa disseminata, ad marginem squamose dilatata. Area centralis valvae elevatae rotundata, dilatata, nuda. Altitud. 130·5  $\mu$ ., long. later. 180  $\mu$ .

In stratis antiquissimis marinis ad Ananino in Rossia.  
Icon: Beitr. III., tab. 13., fig. 203.

528. *Trinacia hystrix* Pant. Synon. *Triceratum hystrix* Pant.

Beiträge II., pg. 91.

Valva a latere connectiv. visa 18·5  $\mu$ ., alta. Altitudo cornu acuti 15  $\mu$ . Structura disseminate granulosa.

In stratis antiquissimis marinis ad Kusnetzk in Rossia.  
Icon: Beitr. III., tab. 34., fig. 487.

529. *Trinacia Müllerii* Pant. nov. spec.

Triangularis, lateribus magis concavis late alatis. margine squamuoso: squamae medio porosae 6—7 in 10  $\mu$ . Angulis subrotundatis cornutis. Cornua acuta elevata. Valva subnuda, tantum ad angulos nonullis granulis disseminatis notata.

In stratis tertiariorum marinis ad Oamaru in Noya Seelandia.

Icon: Beitr. III., tab. 39., fig. 541.

Dedicavi Dom. Dr. O. Müller diatomologo celeberrimo Berolini.

530. *Trinacia praecellens* Pant.

Valva triangularis, lateribus parum concavus, angulis subrotundatis, cornutis, acutis. Structura spinulo-so granulosa; granula 2—3 in 10  $\mu$ . papillosa, disseminata. Area centralis rotundata nuda. Altitud. 105  $\mu$ ., long. lat. 120  $\mu$ ., latit. marg. 1·5  $\mu$ .

In stratis antiquissimis marinis ad Kusnetzk in Rossia.

Icon: Beitr. III., tab. 31., fig. 447.

531. *Trinacia rossica* Pant. nov. spec.

Triangularis, lateribus magis concavus, angulis productis rotundatis, angustatis, cornutis. Structura granuloso spinuloso; granula papillosa 2—3 in 10  $\mu$ . disseminata. Altitud. 88·5  $\mu$ ., long. later. 121  $\mu$ ., latit. marg. 1·5  $\mu$ .

In stratis antiquissimis marinis ad Kusnetzk in Rossia.

Icon: Beitr. III., tab. 28., fig. 419.

532. *Trinacia Semseyi* Pant.

Triangularis, late marginata, lateribus subrectis; angulis rotundatis cornutis; cornua elevata acuta, interse per cristam atram, elevatam marginem sequente conjuncta. Structura setuloso granulosa; granula, ovata, papillosa, disseminata, quasi in lineas radiantes ordinata. Alt. 56  $\mu$ ., long. lat. 61  $\mu$ ., latit. marg. 3  $\mu$ .

In stratis antiquissimis marinis ad Kusnetzk in Rossia.

Icon: Beitr. III., tab. 7., fig. 108.

Dedicavi illustr. Dom. A. de Semsey geologo perito, et rei naturali maeccenati maximo Budapestini.

533. *Trinacia simulacroides* Pant. nov. spec.

Valva triangularis, cum lateribus magis convexis, margine squamu-loso, squamulae 5 in 10  $\mu$ ; angulis productis, rotundatis, acutis. Structura granulosa. Granula disseminata. Altitud. 57  $\mu$ ., long. lateris 72  $\mu$ .

In stratis antiquissimis marinis ad Kusnetzk in Rossia.  
Icon: Beitr. III., tab. 28., fig. 417.

534. *Trinacia sparsa* Pant. nov. spec.

Triangularis, lateribus marginatis concavis; angulis acutis, cornutis; cornua acuta. Structura spinulozo granulosa; granula papillosa rotunda, in lineas radiantes ordinata. Altitud. 67  $\mu$ ., long. lat. 83  $\mu$ ., latit. marg. 1.5  $\mu$ .

In stratis antiquissimis mariuis ad Kusnetzk in Rossia.  
Beitr. III., tab. 25., fig. 381.

535. *Trinacia Tscheschnowii* Pant.

Valva triangularis, lateribus directis: angulis rotundatis cornutis; cornua acuta, per cristam elevatam laterem sequentem conjungata. Structura granuloso spinulosa; granula disseminata; area centralis subnuda. Altitud. 127.5  $\mu$ ., long. lat. 139.5  $\mu$ .

In stratis antiquissimis mariuis ad Kusnetzk in Rossia.  
Icon: Beitr. III., tab. 9., fig. 156.

536. *Trinacia vetustissima* Pant. nov. spec.

Fragmentum unicum cum margine squamoso, angulo rotundato cornuto. Cornu elevatum validum, acutum, cum crista elevata marginem sequente conjugatum. Structura disseminate granulosa. Valva maxima.

In stratis antiquissimis marinis ad Kusnetzk in Rossia.  
Icon: Beitr. III., tab. 30., fig. 439.

*Van Heurckella* Pant. nov. gen. 1892 condit.

Frustula discoidea, ocello magno marginali instructa, per porum (canalum angustum) discum percurrentem perforata. Structura plumoso ignea.

536. *Van Heurckella admirabilis* Pant. nov. spec.

Valva discoidea ocellata, marginata, margine ad ocellum paulo prominente. Ocellum dilatatum nudum, ad marginem pero perforatum. Structura ad imaginem pennae caudae pavonis plumoso ignea, circularis, ad marginem vitta nuda circulari, ad ocellum area semi elliptica nuda interrupta. Valva canaliculo

usque ad polum superiorem ocelli percurrente instituta. Diametr. long. 43  $\mu$ ., transvers. 42  $\mu$ ., diametr. ocelli 12  $\mu$ .

In stratis tertiaris marinis ad Jacceson Paddok in Nova Seelandia. Icon: Beitr. III., tab. 1., fig. 4.

538. *Zygoceros antiquus* Pant.

Frustulis cylindricis, disseminate punctatis, aculeatis. Aculei elongati acutissimi. Long. 24  $\mu$ ., lat. 22  $\mu$ ., long. aculei 35  $\mu$ .

In stratis antiquissimis marinis ad Kusnetzk in Rossia. Icon: Beitr. III., tab. 25., fig. 377.

539. *Zygoceros antiquus* Pant. var. *interruptus* Pant. n. v.

Frustulis cylindricis, ad polum superiorem elevatis, hic aculeis elongatis vestitis. Structura disseminate punctata; valva in parte superiori ab area subconvexa nuda interrupta. Altitudo cylindri 28  $\mu$ ., lat. 25  $\mu$ .

In stratis antiquissimis marinis ad Kusnetzk in Rossia. Icon: Beitr. III., tab. 26., fig. 391.

540. *Zygoceros hungaricus* Pant. nov. spec.

Frustulis elevatis, ad polum aculeis perlongis 67  $\mu$ . longis, obtusis vestitis. Structura punctata. Puncta in lineas decussatas ordinata. Lat. ad collum 24  $\mu$ .

In stratis tertiaris marinis ad Káránd in Hungaria. Icon: Beitr. III., tab. 13., fig. 207.











III. TEIL:  
SÜSSWASSER-BACILLARIEN.

ANHANG:

Analysen 15 neuer Depôts von **Bulgarien, Japan, Mähren,  
Russland und Ungarn.**  
42 Tafeln mit Tafel-Erklärungen.





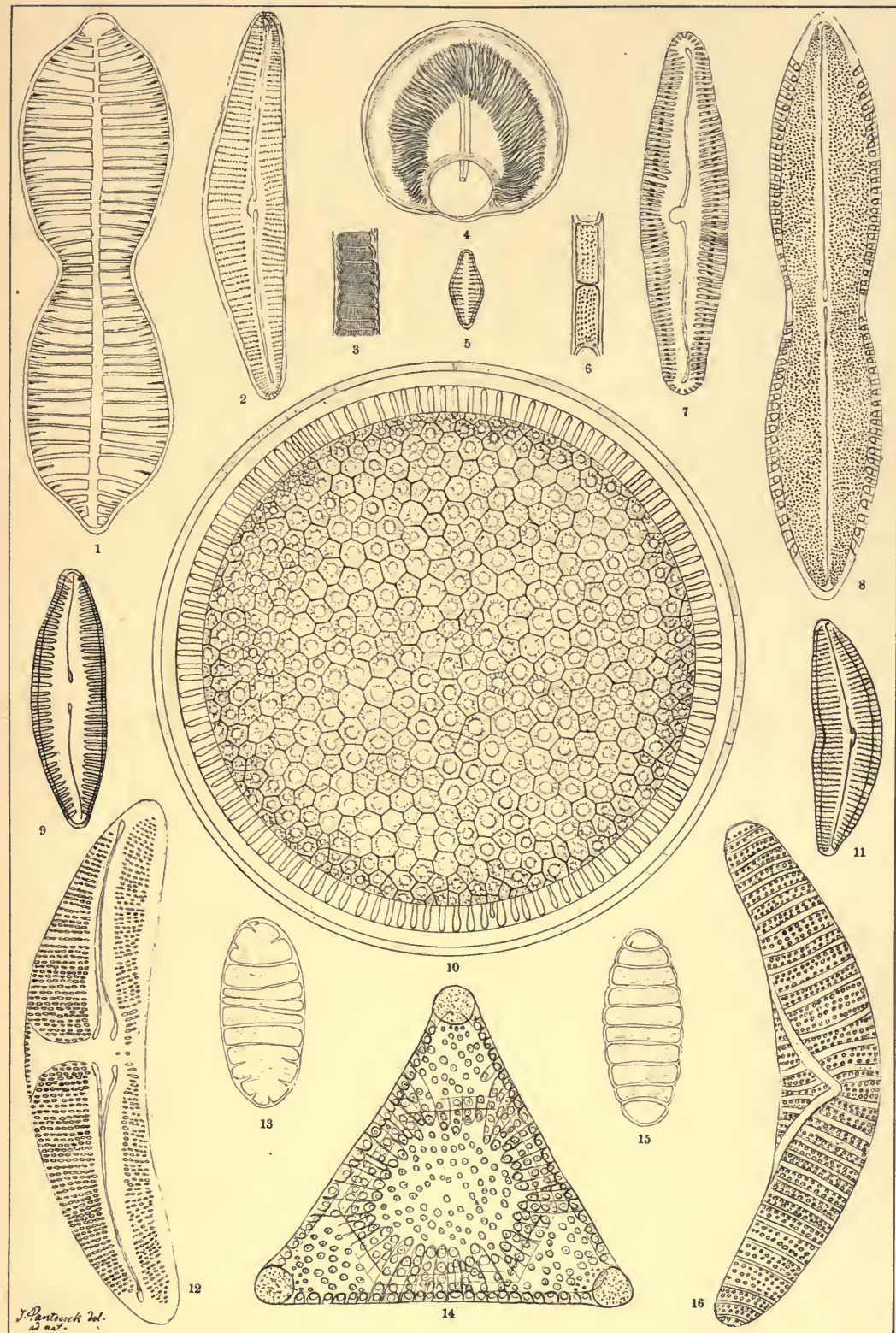


## Band III. Tafel I.

---

1. <b>Surirella transylvanica</b> n. s.	<i>Bodos</i>
2. <b>Cymbella Kochii</b> n. s.	<i>Bodos</i>
3. <b>Melosira scala</b> (E.) Grun.	<i>Bory</i>
4. <b>Van Heurckella admirabilis</b> n. g. et. sp.	<i>Jackson Paddock</i> $\text{600/}_1$
5. <b>Staurosira construens</b> E.	<i>Bory</i>
6. <b>Melosira granulata</b> (E.) Ralfs var. <b>boryana</b> n. v.	<i>Bory</i>
7. <b>Navicula transylvanica</b> n. s.	<i>Köpecz</i> $\text{600/}_1$
8. <b>Pseudodictyoneis hungarica</b> Pant.	<i>Kavna Bremia</i> $\text{600/}_1$
9. <b>Cymbella (austriaca</b> Grun var?) <b>latestriata</b> n. s.	<i>Bory</i>
10. <b>Coseinodiscus japonicus</b> n. s.	<i>Wembets</i> $\text{452/}_1$
11. <b>Cymbella austriaca</b> Grun. var. <b>excisa</b> Grun.	<i>Bory</i>
12. <b>Amphora transylvanica</b> n. s.	<i>Bodos</i> $\text{600/}_1$
13. <b>Stylobiblum ovale</b> n. s.	<i>Sentenai</i>
14. <b>Triceratium Rzehakii</b> n. s.	<i>Nikolsburg</i> $\text{600/}_1$
15. <b>Stylobiblum polygibbum</b> n. s.	<i>Sentenai</i>
16. <b>Epithemia transylvanica</b> n. s.	<i>Bodos</i>

Vergrösserung  $\text{832/}_1$





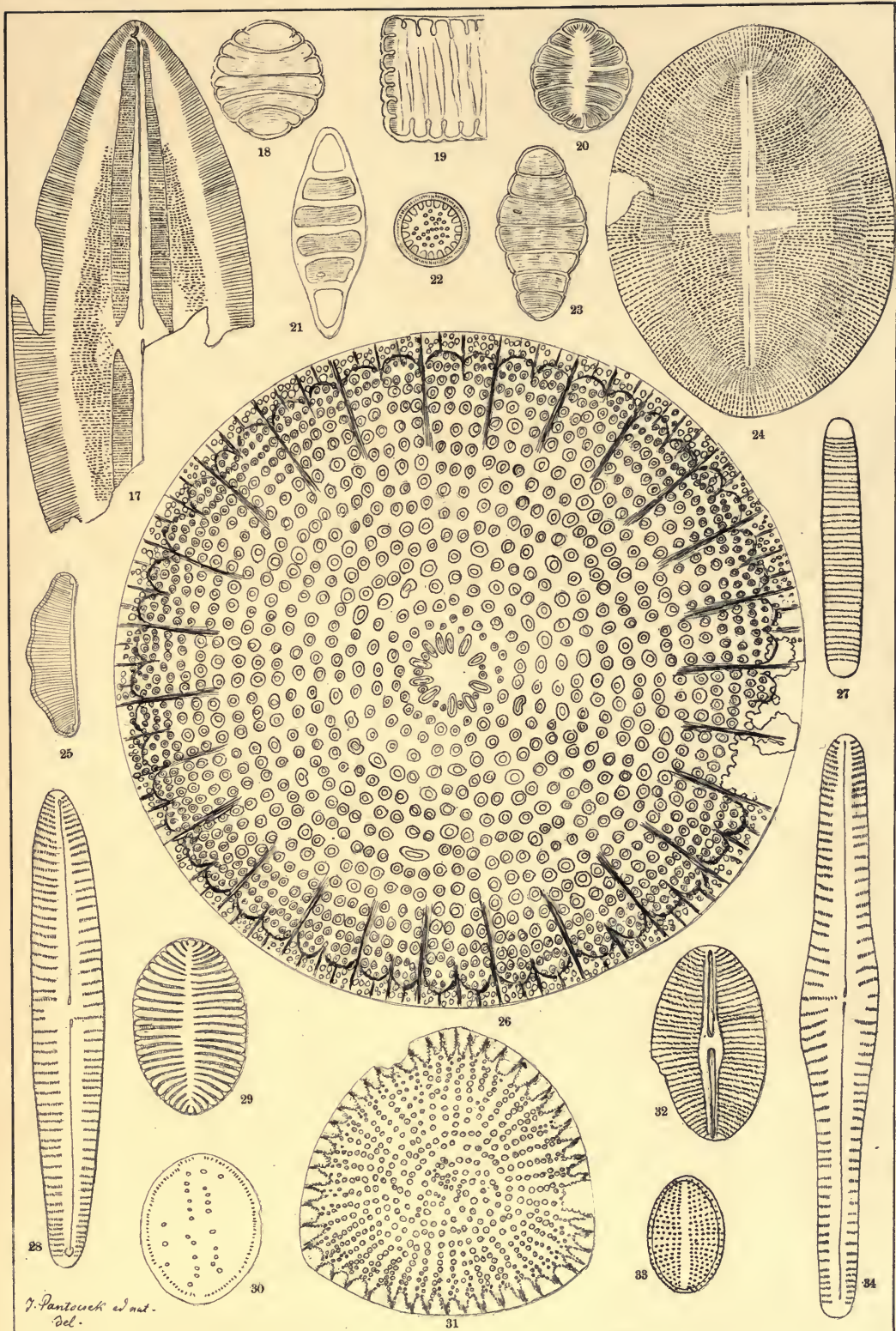


## Band III. Tafel II.

---

17. <b>Navicula illustra</b> n. s.	<i>Bory</i> <sup>600</sup> / <sub>1</sub>
18. <b>Stylobiblum carinatum</b> n. s.	<i>Sentenai</i>
19. <b>Stylobiblum polygibbum</b> n. s.	<i>Sentenai</i>
20. <b>Stylobiblum Haradae</b> n. s.	<i>Sentenai</i>
21. <b>Stylobiblum Jimboi</b> n. s.	<i>Sentenai</i>
22. <b>Cyclotella pygmaea</b> n. s.	<i>Köpecz</i>
23. <b>Stylobiblum inflatum</b> n. s.	<i>Sentenai</i>
24. <b>Cocconeis Jimboi</b> n. s.	<i>Wembets</i> <sup>600</sup> / <sub>1</sub>
25. <b>Eunotia japonica</b> n. s.	<i>Sentenai</i>
26. <b>Arachnoidiscus giganteus</b> n. s.	<i>Kusnetzk</i> <sup>453</sup> / <sub>1</sub>
27. <b>Diatoma fossile</b> n. s.	<i>Deménd</i>
28. <b>Gomphonema hungaricum</b> n. s.	<i>Deménd</i>
29. <b>Surirella Jimboi</b> n. s.	<i>Sentenai</i>
30. <b>Cocconeis Kinkerii</b> n. s.	<i>Wembets</i>
31. <b>Stictodiscus Pantocsekii</b> Temp.	<i>Kusnetzk</i> <sup>453</sup> / <sub>1</sub>
32. <b>Navicula elliptica</b> Kg. var. <b>fossilis</b> n. v.	<i>Deménd</i>
33. <b>Cocconeis boryana</b> n. s.	<i>Bory</i>
34. <b>Gomphonema Szabói</b> n. s.	<i>Deménd</i>

Vergrosserung <sup>832</sup>/<sub>1</sub>





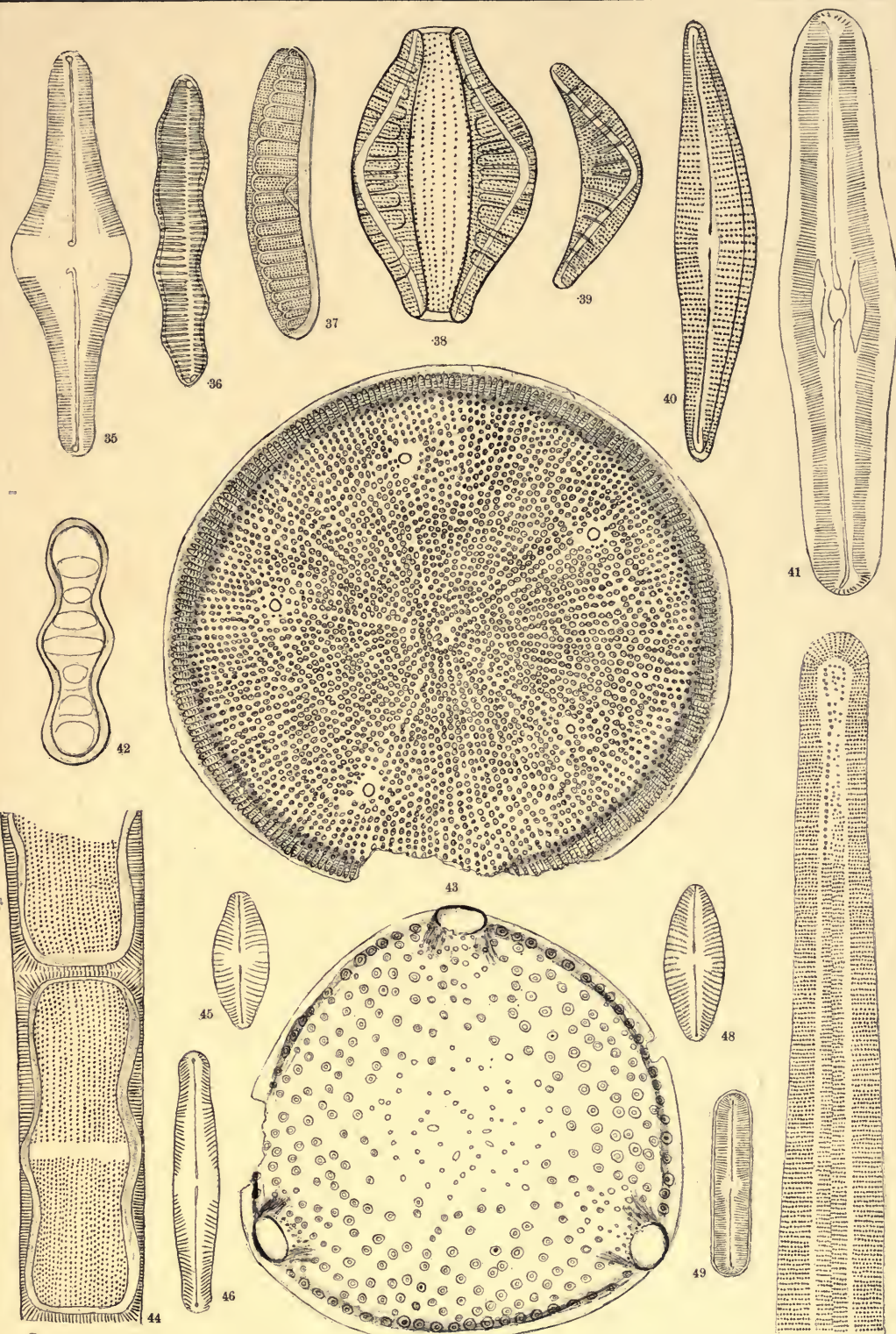


### Band III. Tafel III.

---

35. <i>Navicula bodosensis</i> n. s.	<i>Bodos</i>
36. <i>Eunotia transylvanica</i> n. s.	<i>Köpecz</i>
37. <i>Epithemia Argus</i> (E.) Kg. var. <i>fossilis</i> n. v.	<i>Köpecz</i>
38, 39. <i>Epithemia cistula</i> (E.) Grun. var. <i>lunaris</i> Grun.	<i>Bory</i>
40. <i>Cymbella cistula</i> (E.) Hempr. var. <i>hungarica</i> n. v.	<i>Bory</i>
41. <i>Navicula Kanitzii</i> n. s.	<i>Köpecz</i>
42. <i>Tetracyclus lacustris</i> Ralfs var. <i>fossilis</i> n. v.	<i>Bory</i>
43. <i>Anlacodiscus boryanus</i> Pant.	<i>Bory</i> <sup>452</sup> / <sub>1</sub>
44. <i>Melosira undulata</i> (E.) Kg.	<i>Farkasfalva</i>
45. <i>Navicula exigua</i> Greg.	<i>Magyar-Hermány</i>
46. <i>Navicula appendiculata</i> (Ag.) Kg.	<i>Magyar-Hermány</i>
47. <i>Triceratium suborbiculare</i> Pant.	<i>Nagy-Kürtös</i> <sup>600</sup> / <sub>1</sub>
48. <i>Navicula gastrum</i> (E.) Donk.	<i>Magyar-Hermány</i>
49. <i>Navicula bacilliformis</i> Grun.	<i>Magyar-Hermány</i>
50. <i>Clavicula Kinkerii</i> n. s.	<i>Bory</i>

Vergrösserung <sup>832</sup>/<sub>1</sub>





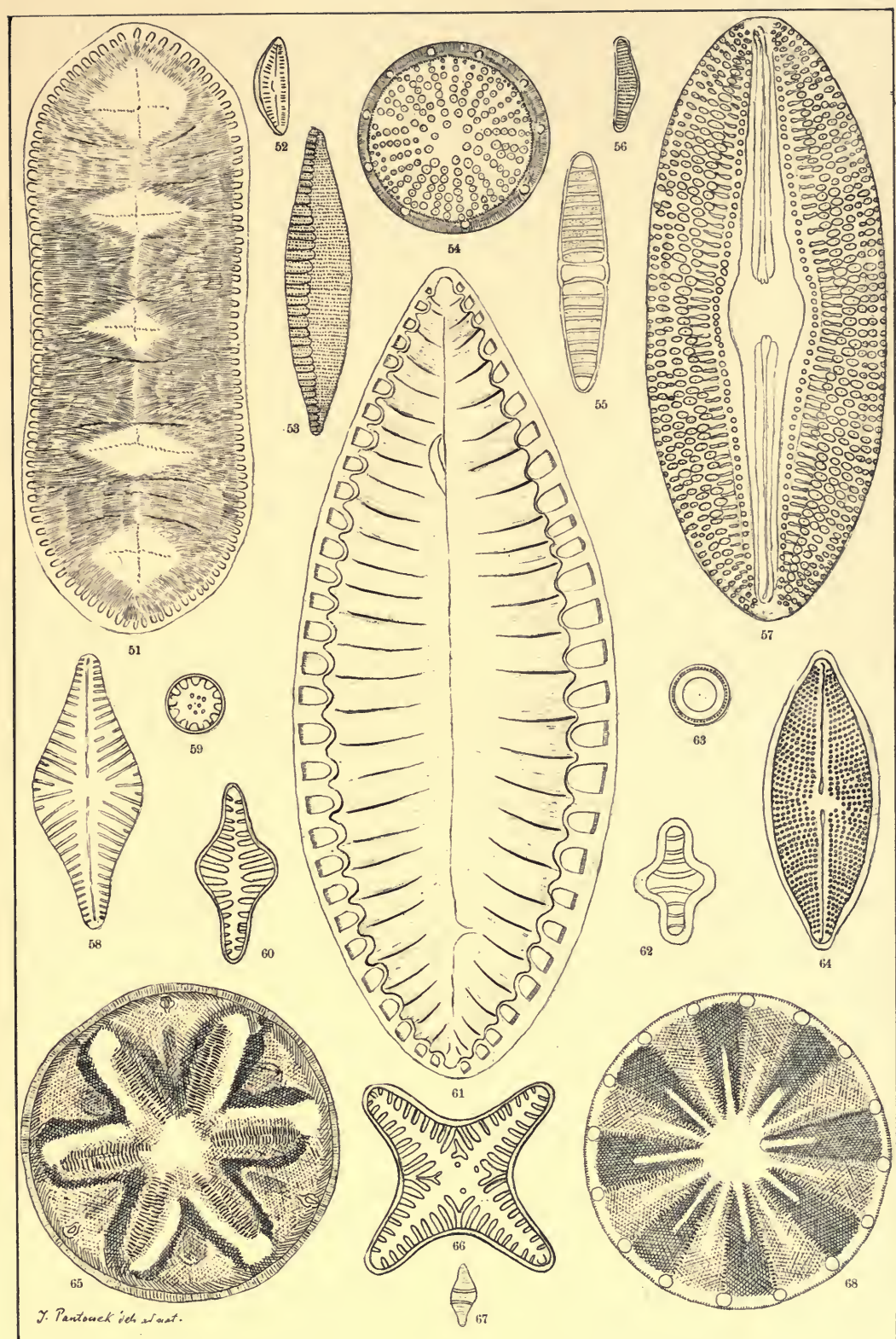


## Band III. Tafel IV.

---

51. <i>Cymatopleura Kinkerii</i> n. s.	<i>Köpecz</i> <sup>500/</sup> <sub>1</sub>
52. <i>Cymbella affinis</i> Kg.	<i>Farkasfalva</i>
53. <i>Nitzschia bienspidata</i> Pant.	<i>Aranyos</i>
54. <i>Coseinodiscus Jimboi</i> n. s.	<i>Wembets</i> <sup>600/</sup> <sub>1</sub>
55. <i>Plagiogramma? boryanum</i> Pant.	<i>Bory</i>
56. <i>Eunotia exigua</i> (Bréb.) Grun.	<i>Farkasfalva</i>
57. <i>Navicula Budayana</i> n. s.	<i>Köpecz</i>
58. <i>Navicula Gurovii</i> n. s.	<i>Köpecz</i>
59. <i>Cyclotella pygmaea</i> n. s.	<i>Köpecz</i>
60. <i>Staurosira Harrisonii</i> (W. Sm). Grun.	<i>Bory</i>
61. <i>Surirella Kellerii</i> n. s.	<i>Köpecz</i> <sup>500/</sup> <sub>1</sub>
62. <i>Tetracyclus lacustris</i> Ralfs var. <i>fossilis</i> n. v.	<i>Deménd</i> <sup>452/</sup> <sub>1</sub>
63. <i>Melosira japonica</i> n. s.	<i>Sentenai</i>
64. <i>Navicula Neumayeriana</i> n. s.	<i>Bory</i>
65. <i>Actinoptychus Schmidtii</i> Pant.	<i>Bory</i> <sup>600/</sup> <sub>1</sub>
66. <i>Staurosira Grunowii</i> n. s.	<i>Bory</i>
67. <i>Fragilaria bivittata</i> n. s.	<i>Sentenai</i>
68. <i>Actinoptychus Semseyi</i> Pant.	<i>Nagy-Kürtös</i> <sup>600/</sup> <sub>1</sub>

Vergrösserung <sup>832</sup>/<sub>1</sub>





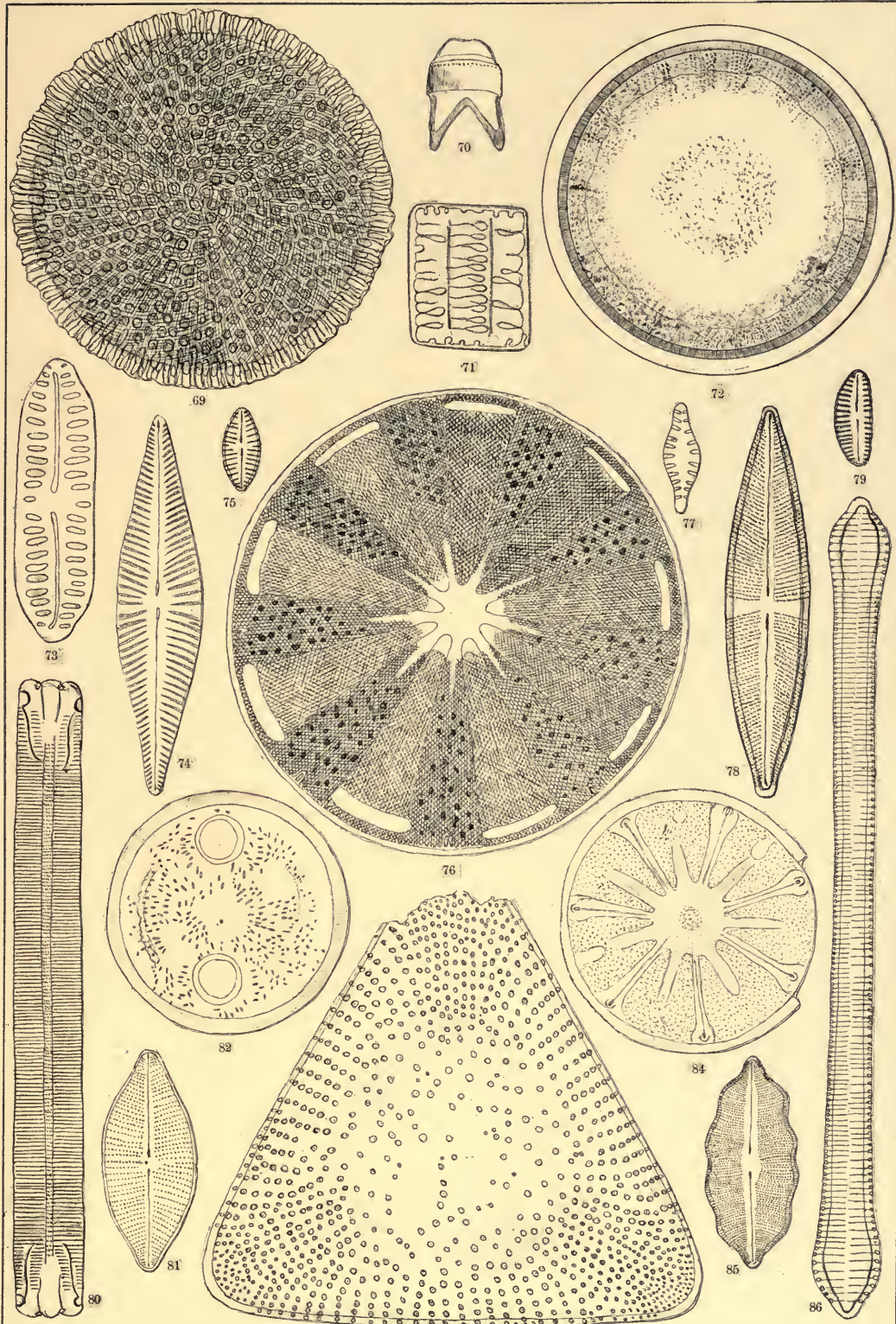


## Band III. Tafel V.

---

69. <i>Endictya Schmidtii</i> Pant.	<i>Nagy-Kürtös</i> <sup>452/1</sup>
70. <i>Dycladia japonica</i> n. s.	<i>Wembets</i> <sup>600/1</sup>
71. <i>Tetracyclus lacustris</i> Ralfs var. <i>fossilis</i> n. v.	<i>Deménd</i> <sup>452/1</sup>
72. <i>Hyalodiscus russicus</i> Pant.	<i>Ananino</i> <sup>600/1</sup>
73. <i>Navicula borealis</i> (E.) Kg. var. <i>fossilis</i> n. v.	<i>Köpecz</i>
74. <i>Navicula hasta</i> n. sp.	<i>Köpecz</i>
75 <i>Navicula pumila</i> Grun. var. <i>fossilis</i> n. v.	<i>Deménd</i>
76. <i>Actinoptychus glabratus</i> Gr. var. <i>andesitica</i> Pant.	<i>Bory</i> <sup>600/1</sup>
77. <i>Staurosira Harrisonii</i> (W. Sm.) Gr. var. <i>fossilis</i> n. v.	<i>Mocsár</i>
78. <i>Stauroneis boryana</i> n. s.	<i>Bory</i>
79. <i>Cymbella obtusa</i> n. s.	<i>Bory</i>
80. <i>Eunotia flexuosa</i> Kg. var. <i>trachytica</i> n. v.	<i>Bory</i>
81. <i>Navicula Jimboi</i> n. s.	<i>Sentenai</i>
82. <i>Auliscus Lóczyi</i> n. s.	<i>Kavna Bremia</i> <sup>332/1</sup>
83. <i>Triceratium Smithii</i> Pant.	<i>Kusnetzk</i> <sup>600/1</sup>
84. <i>Actinodictyon Weissflogii</i> n. s.	<i>Ananino</i> <sup>600/1</sup>
85. <i>Navicula polygibba</i> n. s.	<i>Kavna Bremia</i> <sup>600/1</sup>
86. <i>Synedra transylvanica</i> n. s.	<i>Köpecz</i>

Vergrösserung <sup>832/1</sup>





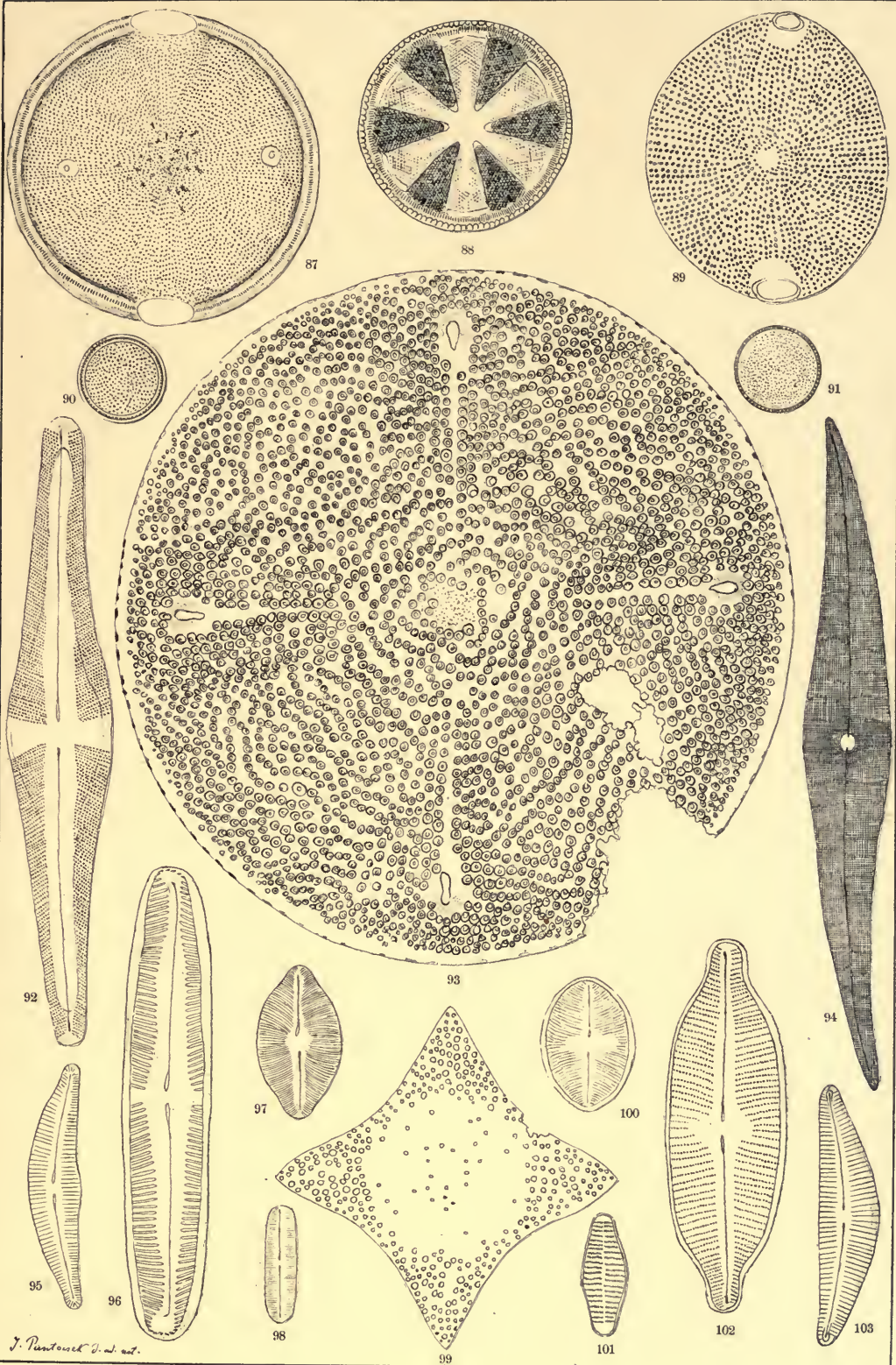


## Band III. Tafel VI.

---

87. <b>Pseudocerataulus Kochii</b> n. s.	<i>Köpecz</i> <small>600/1</small>
88. <b>Actinoptychus Staubii</b> Pant.	<i>Bory</i> <small>600/1</small>
89. <b>Odontella boryana</b> Pant.	<i>Bory</i> <small>600/1</small>
90. <b>Melosira excentrica</b> n. s.	<i>Sentenai</i>
91. <b>Melosira hokkaidoana</b> n. s.	<i>Sentenai</i>
92. <b>Stauroneis Kochii</b> n. s.	<i>Köpecz</i> <small>600/1</small>
93. <b>Aulacodiscus Tscheestnovii</b> Pant.	<i>Kusnetzk</i> <small>600/1</small>
94. <b>Pleurosigma transylvanicum</b> n. s.	<i>Köpecz</i> <small>600/1</small>
95. <b>Cymbella perdurrans</b> n. s.	<i>Sentenai</i>
96. <b>Navicula viridis</b> (E.) Kg. var. <b>staurofora</b> n. v.	<i>Magyar-Hermány</i>
97. <b>Navicula arcuata</b> n. s.	<i>Sentenai</i>
98. <b>Navicula debilis</b> n. s.	<i>Sentenai</i>
99. <b>Triceratium lanceolatum</b> Pant.	<i>Kusnetzk</i> <small>452/1</small>
100. <b>Navicula Haradae</b> n. s.	<i>Sentenai</i>
101. <b>Fragilaria japonica</b> n. s.	<i>Sentenai</i>
102. <b>Navicula styriaca</b> Grun.	<i>Bory</i>
103. <b>Cymbella turgida</b> Greg.	<i>Bory</i>

Vergrösserung 832/1





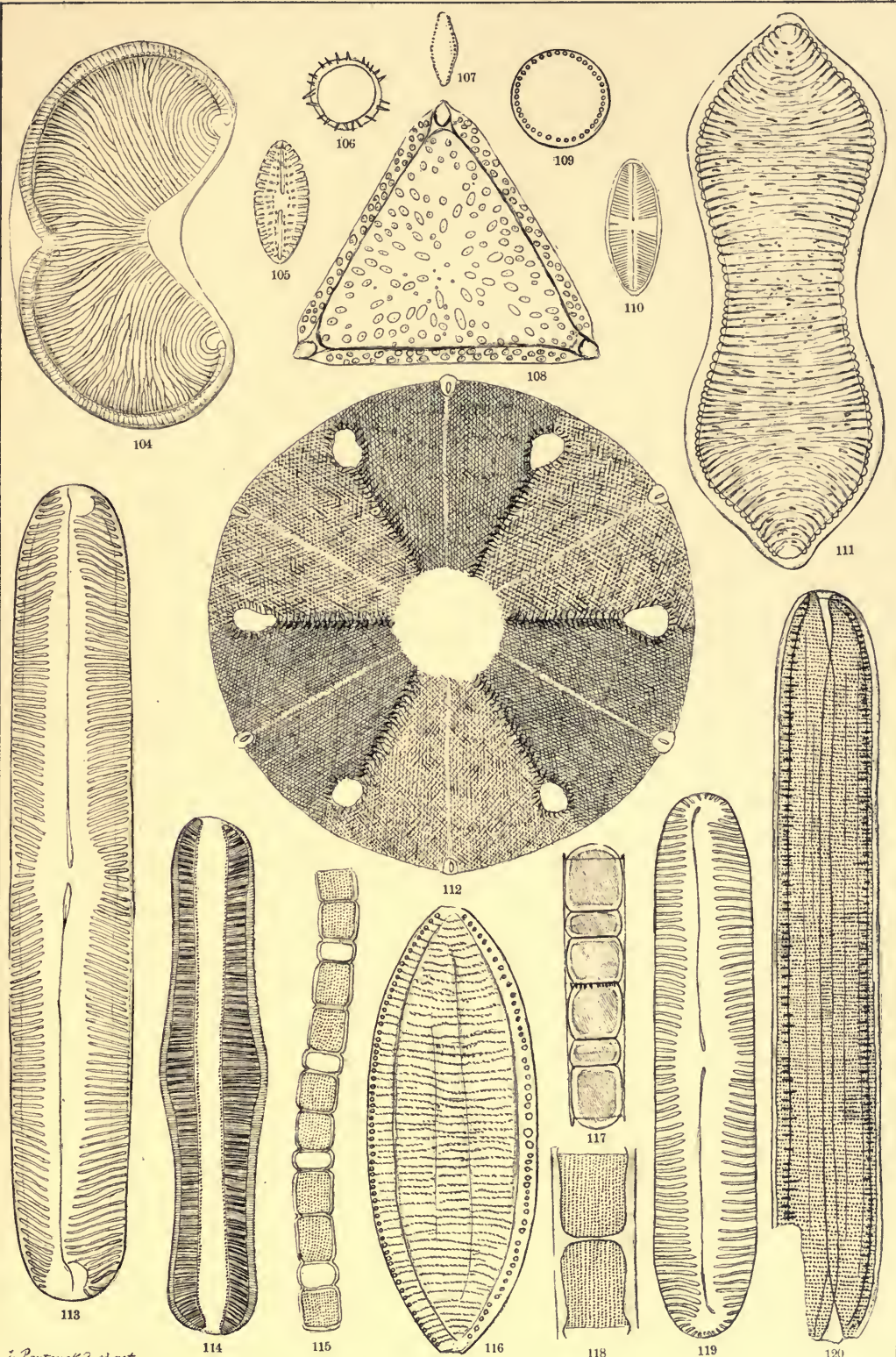


### Band III. Tafel VII.

---

104. <i>Auricula Szontághii</i> n. s.	<i>Borostelek</i> $\frac{600}{1}$
105. <i>Navicula Maulerii</i> Brun	<i>Bodos</i>
106. <i>Melosira granulata</i> (E.) Ralfs	<i>Hidas</i>
107. <i>Fragilaria brevistriata</i> Grun.	<i>Farkasfalva</i>
108. <i>Trinaeria Semseyi</i> Pant.	<i>Kusnetzk</i> $\frac{600}{1}$
109. <i>Melosira granulata</i> (E.) Ralfs var. <i>borealis</i> n. v.	<i>Farkasfalva</i>
110. <i>Navicula diversa</i> n. s.	<i>Sentenai</i>
111. <i>Surirella Kochii</i> n. s.	<i>Bodos</i>
112. <i>Actinoptychus Petitii</i> Pant.	<i>Bory</i> $\frac{600}{1}$
113. <i>Navicula major</i> Kg. var. <i>andesitica</i> n. v.	<i>Bory</i>
114. <i>Epithemia ventricosa</i> Kg. var. <i>hungarica</i> n. v.	<i>Magyar-Hermány</i>
115. <i>Melosira crenulata</i> Kg. var. <i>hungarica</i> n. v.	<i>Köpecz</i>
116. <i>Nitzschia Tryblionella</i> Hantz. var. <i>maxima</i> Grun.	<i>Bory</i>
117. <i>Melosira laevis</i> (E.) Grun.	<i>Magyar-Hermány</i>
118. <i>Melosira undulata</i> (E.) Kg. var. <i>minor</i> Pant.	<i>Bory</i>
119. <i>Navicula viridis</i> (E.) Kg.	<i>Magyar-Hermány</i>
120. <i>Nitzschia spectabilis</i> (E.) Grun.	<i>Bory</i> $\frac{452}{1}$

Vergrösserung  $\frac{832}{1}$





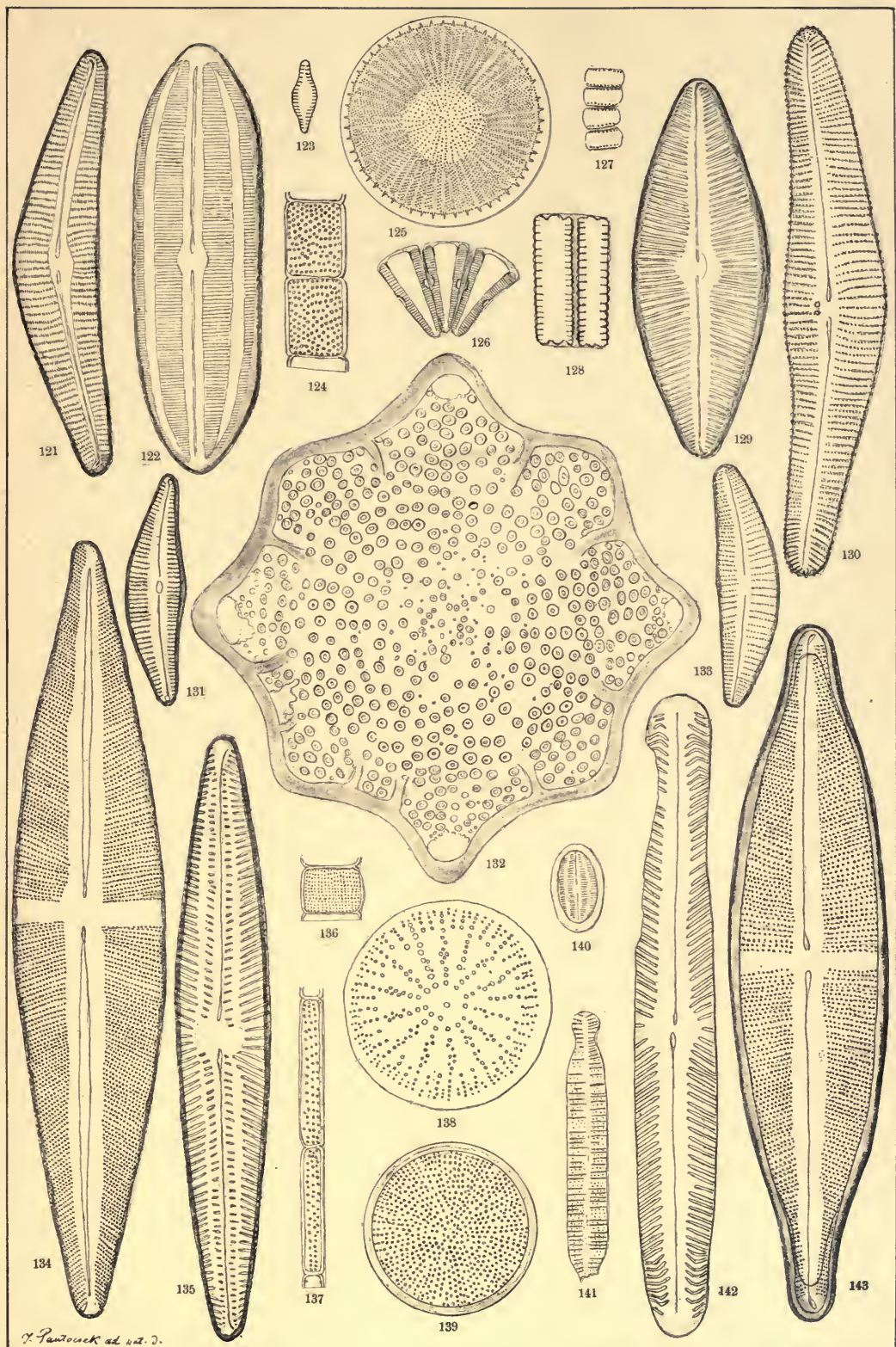


### Band III. Tafel VIII.

---

121. <i>Cymbella Rákóczyana</i> n. s.	<i>Köpecz</i>
122. <i>Navicula latevittata</i> n. s.	<i>Bodos</i>
123. 127. <i>Staurosira Venter</i> (E.) Grun.	<i>Deménd</i>
124. <i>Melosira Haradaeae</i> n. s.	<i>Sentenäi</i>
125. <i>Stephanodiscus transylvanicus</i> n. s.	<i>Köpecz</i>
126. <i>Peronia?</i> <i>boryana</i> n. s.	<i>Bory</i>
128. <i>Fragilaria hungarica</i> n. s.	<i>Deménd</i>
129. <i>Navicula Entzii</i> n. s.	<i>Bodos</i>
130. <i>Cymbella Jimboi</i> n. s.	<i>Sentenäi</i>
131. <i>Cymbella Staubii</i> n. s.	<i>Bory</i>
132. <i>Triceratium Dutertrei</i> Pant. et Temp.	<i>Kusnetzk</i> <sup>459/1</sup>
133. <i>Cymbella austriaca</i> Grun. var. <i>fossilis</i> n. v.	<i>Deménd</i>
134. <i>Stauroneis phœnicenteron</i> E.	<i>Magyar-Hermány</i>
135. <i>Navicula Hauerii</i> Grun.	<i>Bory</i>
136. <i>Melosira hokkaidoana</i> n. s.	<i>Sentenäi</i>
137. <i>Melosira japonica</i> n. s.	<i>Sentenäi</i>
138. <i>Coscinodiscus transylvanicus</i> n. s.	<i>Bodos</i>
139. <i>Coscinodiscus Haradaeae</i> n. s.	<i>Sentenäi</i> <sup>1066/1</sup>
140. <i>Cocconeis lineata</i> (E.) Grun. var. <i>pygmaea</i> n. v.	<i>Köpecz</i>
141. <i>Diatoma anceps</i> (E.) Grun. var. <i>fossilis</i> n. v.	<i>Sentenäi</i>
142. <i>Navicula oblonga</i> Kg.	<i>Magyar-Hermány</i>
143. <i>Stauroneis Szontaghii</i> n. s.	<i>Bory</i>

Vergrösserung <sup>832/1</sup>



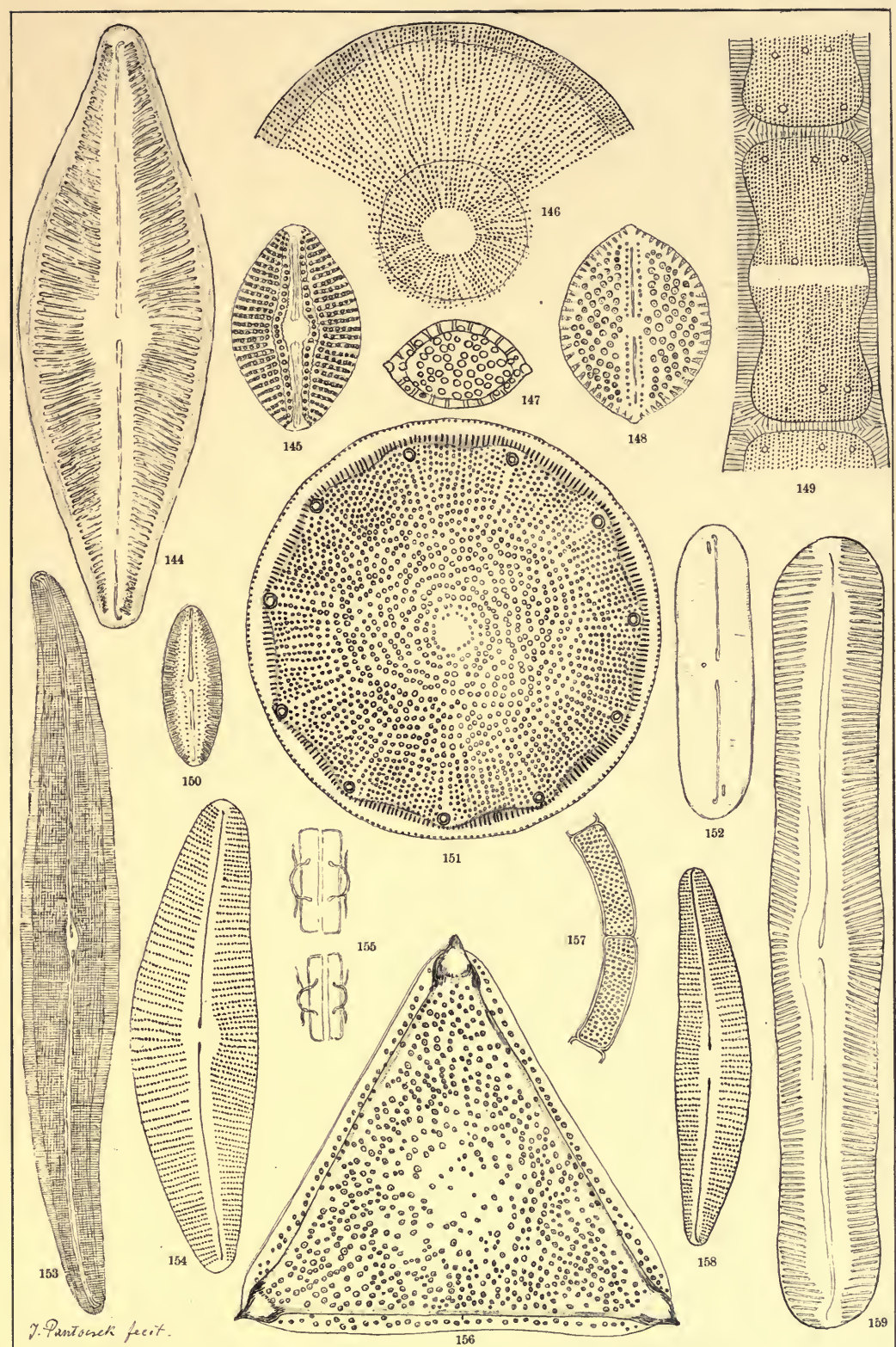




### Band III. Tafel IX.

---

- |   |  |
|---|--|
| 144. <i>Navicula paludinarum</i> n. s.                        | <i>Bodos</i> <sup>832</sup> / <sub>1</sub>       |
| 145. <i>Navicula ostracodarum</i> n. s.                       | <i>Köpecz</i> <sup>745</sup> / <sub>1</sub>      |
| 146. 149. <i>Melosira undulata</i> (E.) Kg.                   | <i>Bory</i> <sup>1066</sup> / <sub>1</sub>       |
| 147. <i>Biddulphia Grovei</i> n. s.                           | <i>Oamaru</i> <sup>832</sup> / <sub>1</sub>      |
| 148. <i>Orthoneis Pethői</i> n. s.                            | <i>Nyermegy</i> <sup>832</sup> / <sub>1</sub>    |
| 150. <i>Navicula Maulerii</i> Brun                            | <i>Köpecz</i> <sup>600</sup> / <sub>1</sub>      |
| 151. <i>Aulacodiscus notabilis</i> Pant.                      | <i>Nagy-Kürtös</i> <sup>452</sup> / <sub>1</sub> |
| 152. <i>Navicula trinotata</i> n. s.                          | <i>Köpecz</i> <sup>332</sup> / <sub>1</sub>      |
| 153. <i>Pleurosigma Kochii</i> n. s.                          | <i>Köpecz</i> <sup>452</sup> / <sub>1</sub>      |
| 154. <i>Cymbella valida</i> n. s.                             | <i>Deménd</i> <sup>832</sup> / <sub>1</sub>      |
| 155. <i>Stigmaphora?</i> <i>hungarica</i> n. s.               | <i>Borostelek</i> <sup>600</sup> / <sub>1</sub>  |
| 156. <i>Trinaeria Tschestnovii</i> Pant.                      | <i>Kusnetzk</i> <sup>452</sup> / <sub>1</sub>    |
| 157. <i>Melosira arcuata</i> n. s.                            | <i>Sentenai</i> <sup>832</sup> / <sub>1</sub>    |
| 158. <i>Cymbella helvetica</i> Kg. var. <i>fossilis</i> n. v. | <i>Farkasfalva</i> <sup>832</sup> / <sub>1</sub> |
| 159. <i>Navicula nobilis</i> Kg. var. <i>neogena</i> Grun.    | <i>Bory</i> <sup>600</sup> / <sub>1</sub>        |



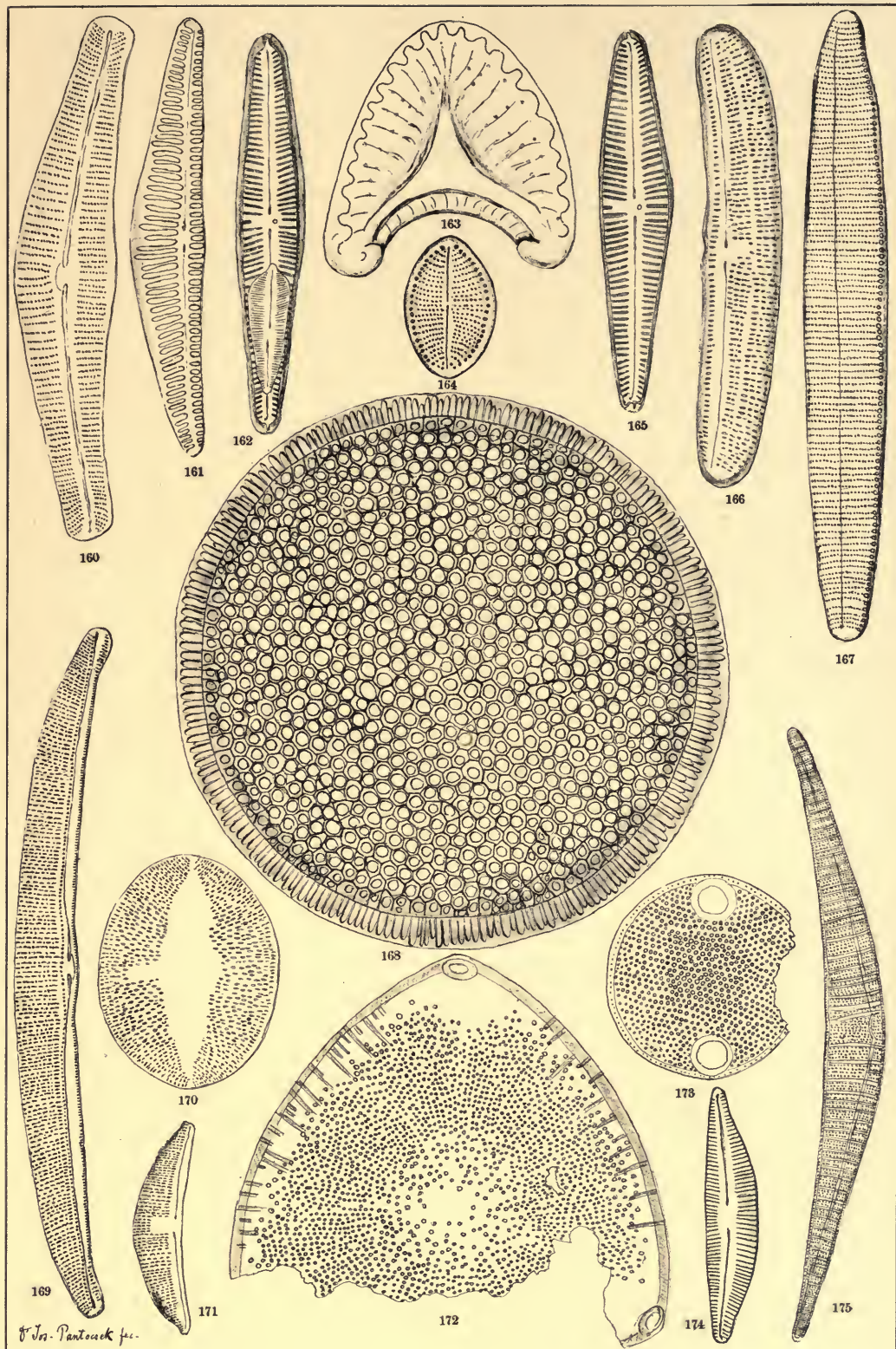




### Band III. Tafel X.

---

160. <i>Cymbella capitata</i> n. s.	<i>Bodos</i> <sup>832</sup> / <sub>1</sub>
161. <i>Cymbella Szontághii</i> n. s.	<i>Borostelek</i> <sup>600</sup> / <sub>1</sub>
162. 165. <i>Gomphonema Kinkerii</i> n. s.	<i>Köpecz</i> <sup>746</sup> / <sub>1</sub>
163. <i>Campylodiscus hibernicus</i> E. v. <i>transylvanicus</i> n. v.	<i>Köpecz</i> <sup>832</sup> / <sub>1</sub>
164. <i>Cocconeis californica</i> Grun. var. <i>hungarica</i> n. v.	<i>Bory</i> <sup>1066</sup> / <sub>1</sub>
166. <i>Amphora verrucosa</i> n. s.	<i>Köpecz</i> <sup>746</sup> / <sub>1</sub>
167. <i>Nitzschia transylvanica</i> n. s.	<i>Köpecz</i> <sup>832</sup> / <sub>1</sub>
168. <i>Endictya Lunyaesekii</i> Pant.	<i>Nagy-Kürtös</i> <sup>452</sup> / <sub>1</sub>
169. <i>Amphora Kossuthii</i> n. s.	<i>Nyermegy</i> <sup>500</sup> / <sub>1</sub>
170. <i>Cocconeis andesitica</i> Pant.	<i>Bory</i> <sup>832</sup> / <sub>1</sub>
171. <i>Amphora Staubii</i> n. s.	<i>Köpecz</i> <sup>600</sup> / <sub>1</sub>
172. <i>Triceratium Peragalloii</i> Pant. et Temp.	<i>Kusnetzk</i> <sup>600</sup> / <sub>1</sub>
173. <i>Pseudoauliscus granulatus</i> n. s.	<i>Ananino</i> <sup>600</sup> / <sub>1</sub>
174. <i>Cymbella cymbiformis</i> E.	<i>Deménd</i> <sup>832</sup> / <sub>1</sub>
175. <i>Epithemia gibberula</i> Grun. var. <i>perlonga</i> Pant.	<i>Bory</i> <sup>600</sup> / <sub>1</sub>



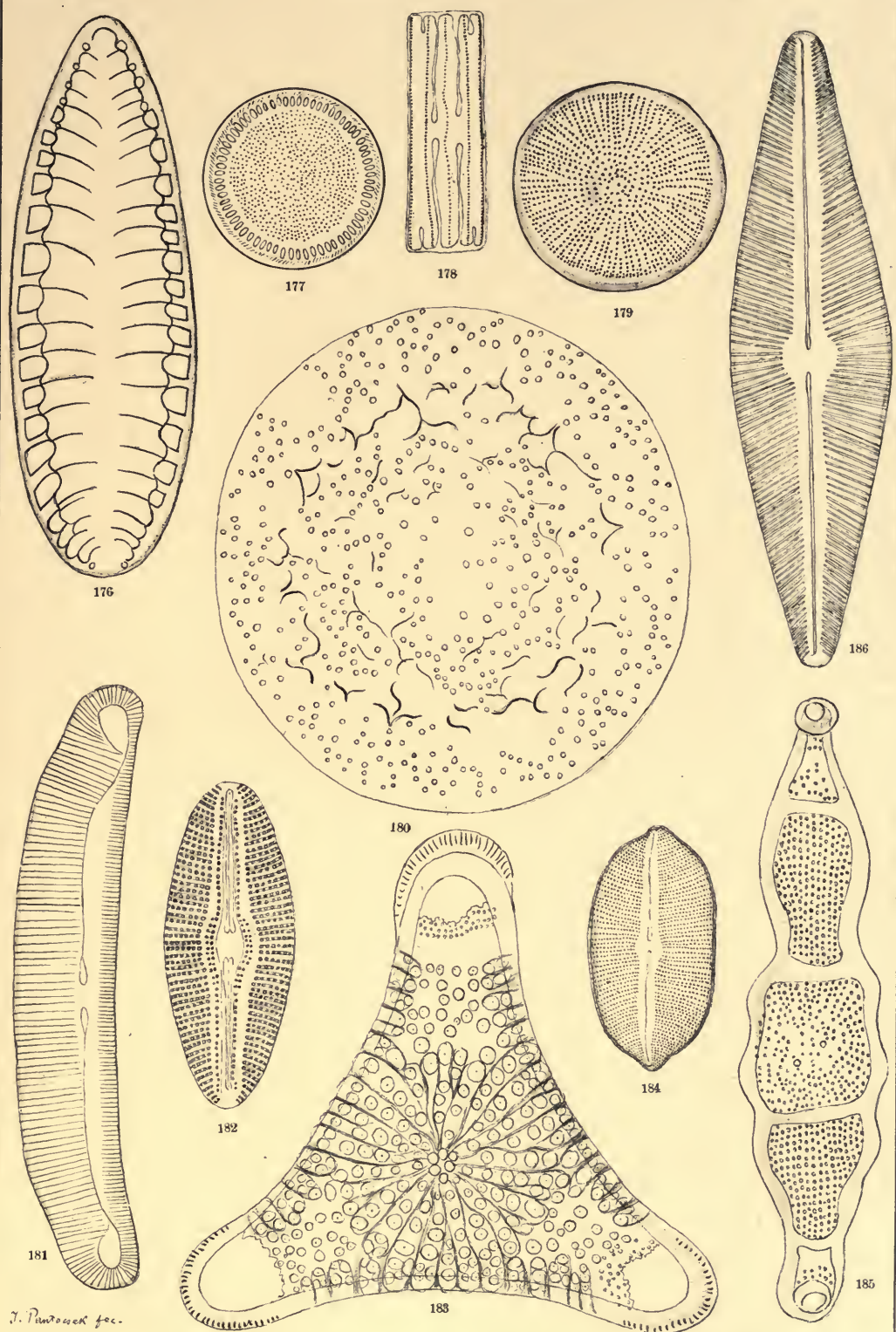




### Band III. Tafel XI.

---

176. <i>Surirella tenera</i> Greg. var. <i>fossilis</i> n. v.	<i>Bory</i>
177. <i>Cyclotella transylvanica</i> n. s.	<i>Köpecz</i>
178. <i>Grammatophora monilifera</i> Temp. Brun	<i>Wembets</i> $^{600}/_1$
179. <i>Melosira agria</i> n. s.	<i>Deménd</i>
180. <i>Acanthodiscus rugosus</i> n. g. et. s.	<i>Kusnetzk</i> $^{600}/_1$
181. <i>Amphora strigata</i> n. s.	<i>Sentenäï</i>
182. <i>Navicula praeclarata</i> n. s.	<i>Köpecz</i> $^{746}/_1$
183. <i>Triceratium Armaševskii</i> n. s.	<i>Kusnetzk</i> $^{600}/_1$
184. <i>Navicula Leonis</i> n. s.	<i>Köpecz</i> $^{600}/_1$
185. <i>Biddulphia Tuomeyi</i> (Bail.) Rop. var. <i>boryana</i> Pant.	<i>Bory</i>
186. <i>Navicula paludinarum</i> n. s. var. <i>gracilior</i>	<i>Bodos</i> $^{600}/_1$
	Vergrösserung $^{833}/_1$



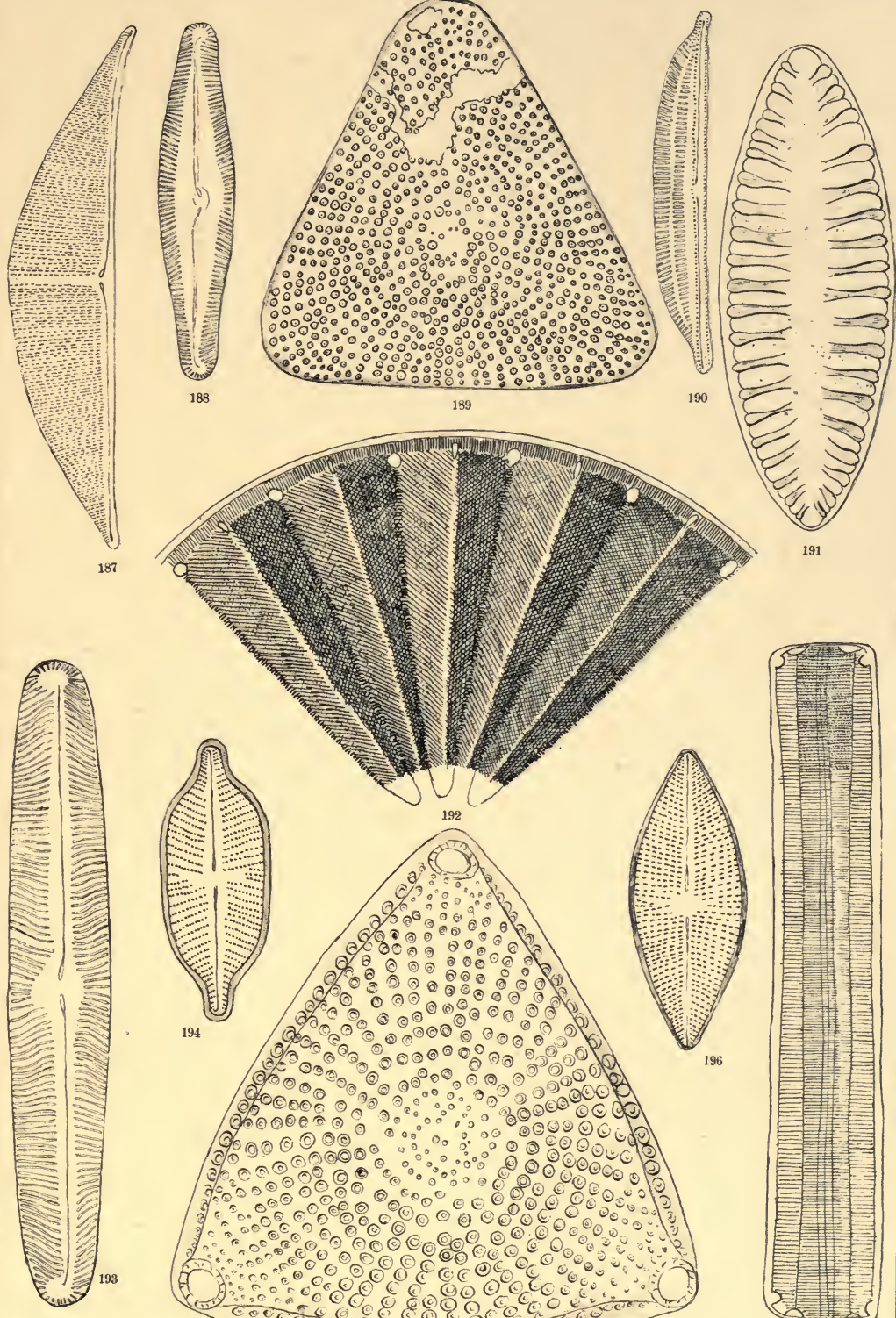




### Band III. Tafel XII.

---

187. <i>Amphora acuta</i> Greg. var. <i>neogena</i> Pant.	<i>Bory</i>
188. <i>Navicula curtestriata</i> n. s.	<i>Köpecz</i> $\frac{600}{1}$
189. <i>Triceratium triasicum</i> Pant.	<i>Kusnetzk</i> $\frac{600}{1}$
190. <i>Amphora intersecta</i> A. Schm.	<i>Borostelek</i> $\frac{600}{1}$
191. <i>Surirella verrucosa</i> n. s.	<i>Bodos</i>
192. <i>Actinoptychus Pethöi</i> Pant.	<i>Nagy-Kürtös</i> $\frac{600}{1}$
193. <i>Navicula viridis</i> (E.) Kg. var. <i>fossilis</i> n. v.	<i>Bory</i>
194. <i>Navicula styriaca</i> Grun.	<i>Bory</i>
195. <i>Triceratium speciosum</i> n. s.	<i>Kusnetzk</i> $\frac{600}{1}$
196. <i>Navicula Toulaeae</i> n. s.	<i>Köpecz</i>
197. <i>Eunotia pectinalis</i> (Kg.) Rbh. var. <i>trachytica</i> n. v.	<i>Bory</i>
	Vergrösserung $\frac{832}{1}$



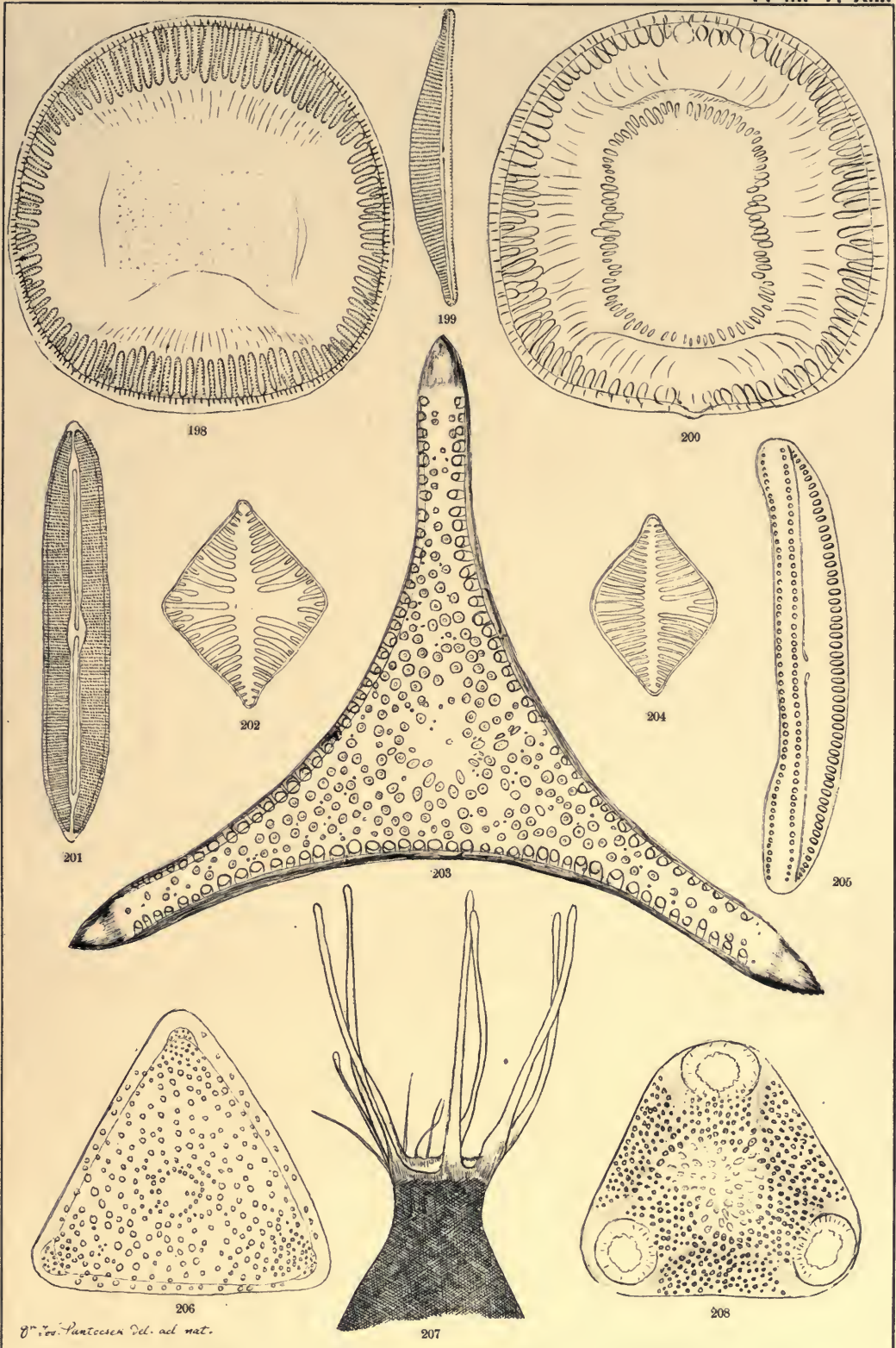




### Band III. Tafel XIII.

---

198. <i>Campylodiscus Eulensteini</i> Pant.	<i>Nagy-Kürtös</i> 600/1
199. <i>Amphora juvenalis</i> n. s.	<i>Izsopallaga-Serges</i> 900/1
200. <i>Campylodiscus Kidstonii</i> Pant.	<i>Bory</i> 600/1
201. <i>Navicula includens</i> n. s.	<i>Izsopallaga-Serges</i> 900/1
202. <i>Achnanthes baldjickii</i> (Bright). Gr.v. <i>subquadrata</i> n.v.	<i>Borostelek</i> 900/1
203. <i>Trinacria excavata</i> Hbg. var. <i>producta</i> Pant.	<i>Ananino</i> 680/1
204. <i>Achnanthes baldjickii</i> (Bright). Grun.	<i>Nyermegy</i> 900/1
205. <i>Amphora andesitica</i> n. s.	<i>Káránd</i> 900/1
206. <i>Triceratium fragile</i> n. s.	<i>Kusnetzk</i> 600/1
207. <i>Zygoceros hungaricus</i> n. s.	<i>Káránd</i> 680/1
208. <i>Triceratium vastum</i> n. s.	<i>Borostelek</i> 900/1



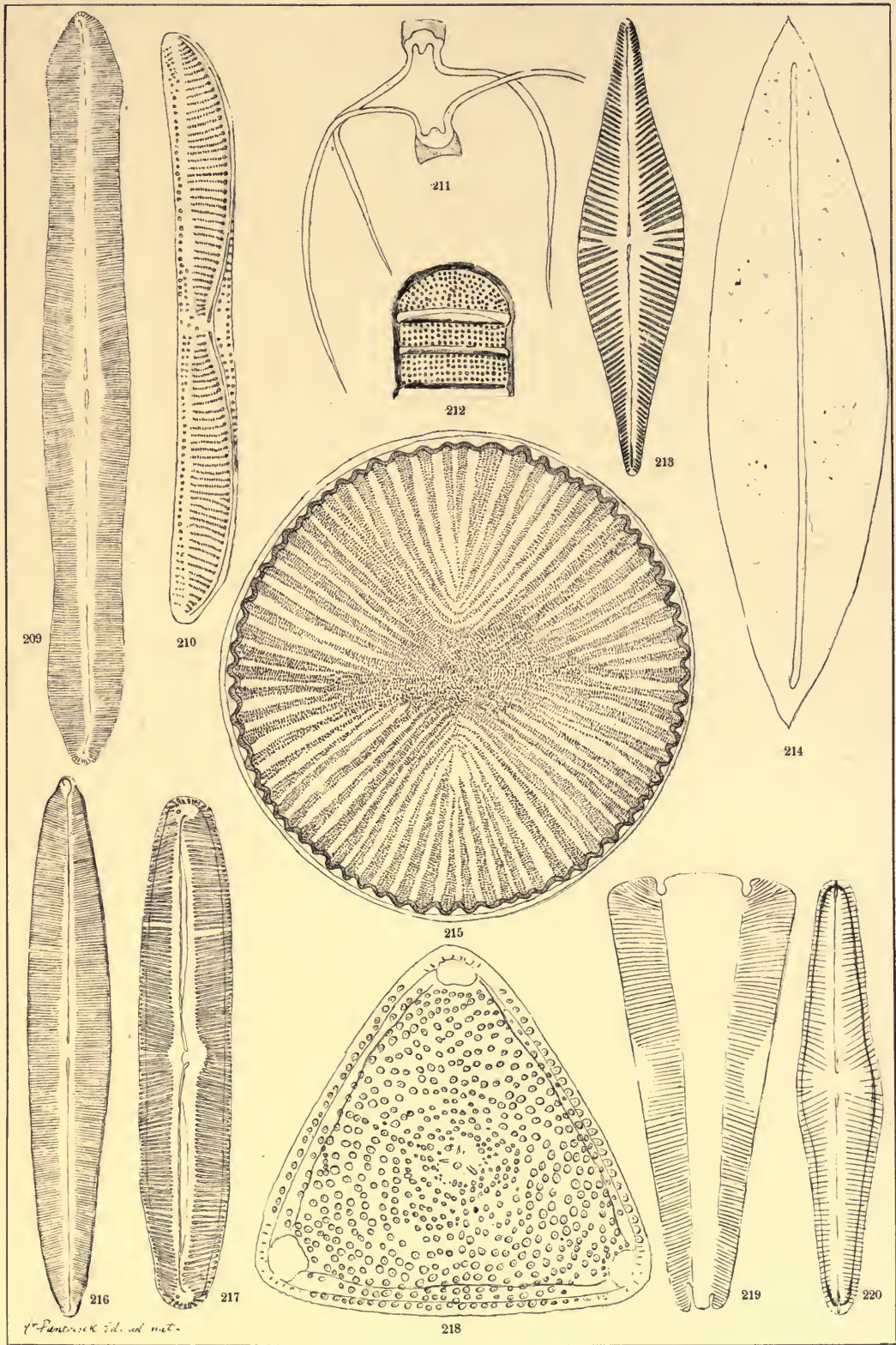




## Band III. Tafel XIV.

---

209. <i>Navicula perlonga</i> Pant.	<i>Borostelek</i> $\frac{320}{1}$
210. <i>Amphora invidenda</i> n. s.	<i>Izsopallaga-Serges</i> $\frac{600}{1}$
211. <i>Chatoceros hungaricus</i> n. s.	<i>Káránd</i> $\frac{680}{1}$
212. <i>Melosira transylvanica</i> n. s.	<i>Köpecz</i> $\frac{832}{1}$
213. <i>Navicula hasta</i> n. s.	<i>Köpecz</i> $\frac{832}{1}$
214. <i>Odontotropis birostrata</i> Pant.	<i>Kusnetzk</i> $\frac{600}{1}$
215. <i>Campylodiscus noricus</i> E. var. <i>fossilis</i> n. s.	<i>Bodos</i> $\frac{400}{1}$
216. <i>Navicula inculta</i> n. s.	<i>Köpecz</i> $\frac{832}{1}$
217. <i>Navicula Gutvinskii</i> n. s.	<i>Bodos</i> $\frac{452}{1}$
218. <i>Triceratium cristatum</i> n. s.	<i>Kusnetzk</i> $\frac{600}{1}$
219. 220. <i>Gomphonema transylvanicum</i> n. s.	<i>Köpecz</i> $\frac{832}{1}$



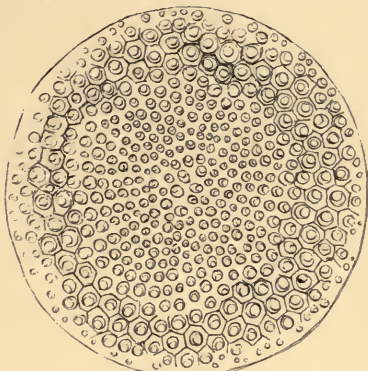




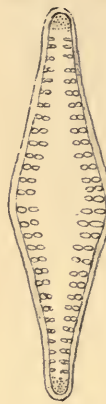
### Band III. Tafel XV.

---

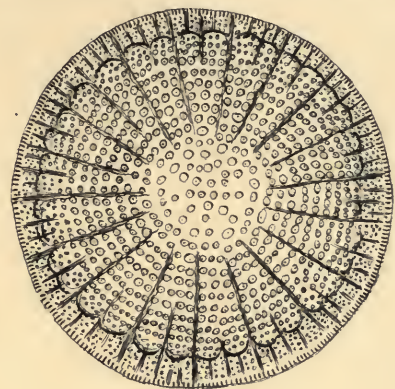
221. <i>Coscinodiscus Asonumaae</i> n. s.	<i>Wembets</i> <sup>360</sup> / <sub>1</sub>
222. <i>Rhaphoneis Kinkerii</i> n. s.	<i>Izsopallaga-Serges</i> <sup>746</sup> / <sub>1</sub>
223. <i>Arachnoidiscus simbirskianus</i> n. s.	<i>Ananino</i> <sup>452</sup> / <sub>1</sub>
224. <i>Plagiogramma Truanii</i> Pant.	<i>Bory</i> <sup>832</sup> / <sub>1</sub>
225. <i>Amphora tertaria</i> Pant.	<i>Nagy-Kürtös</i> <sup>452</sup> / <sub>1</sub>
226. <i>Arachnoidiscus russicus</i> Pant.	<i>Kusnetzk</i> <sup>452</sup> / <sub>1</sub>
227. <i>Amphora Nova Caledonica</i> Grun.	<i>Bory</i> <sup>600</sup> / <sub>1</sub>
228. <i>Amphora staurophora</i> Pant.	<i>Bory</i> <sup>600</sup> / <sub>1</sub>
229. <i>Cymbella suavis</i> n. s.	<i>Köpecz</i> <sup>600</sup> / <sub>1</sub>
230. <i>Navicula hilarula</i> n. s.	<i>Köpecz</i> <sup>832</sup> / <sub>1</sub>
231. <i>Triceratium præferox</i> n. s.	<i>Kusnetzk</i> <sup>600</sup> / <sub>1</sub>
232. <i>Navicula præflua</i> n. s.	<i>Bory</i> <sup>650</sup> / <sub>1</sub>
233. <i>Cymbella Budayiana</i> n. s.	<i>Köpecz</i> <sup>832</sup> / <sub>1</sub>



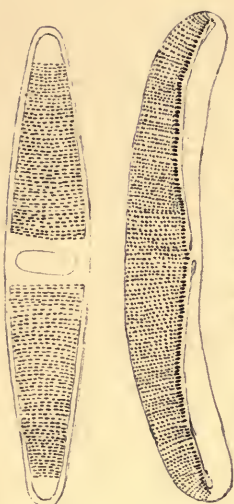
221



222



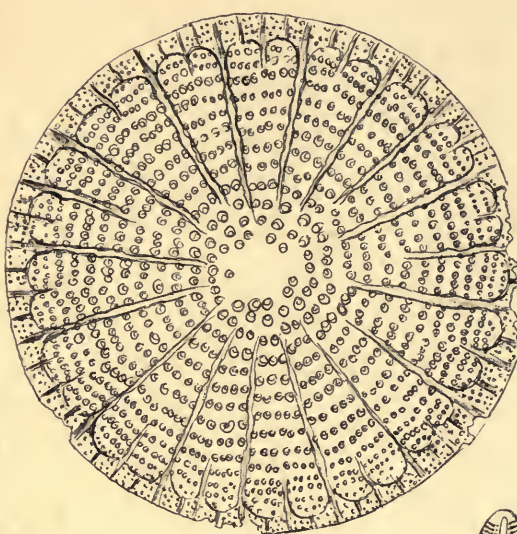
223



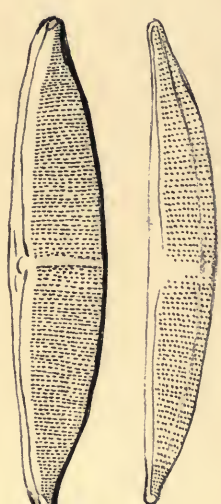
224



225

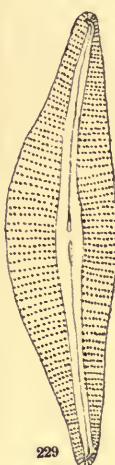


226

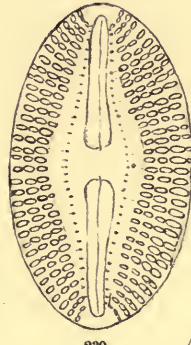


227

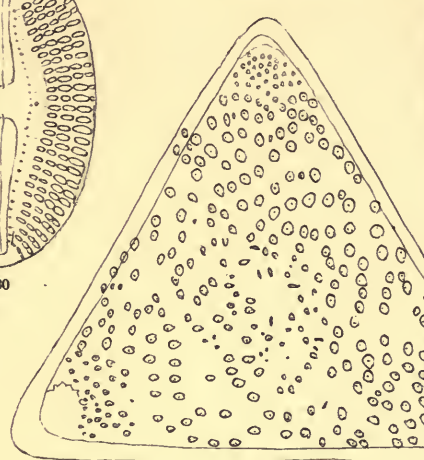
228



229



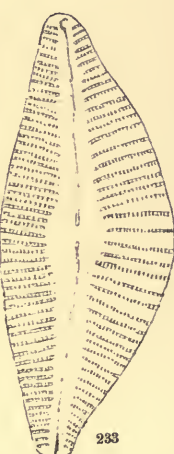
230



231



232



233

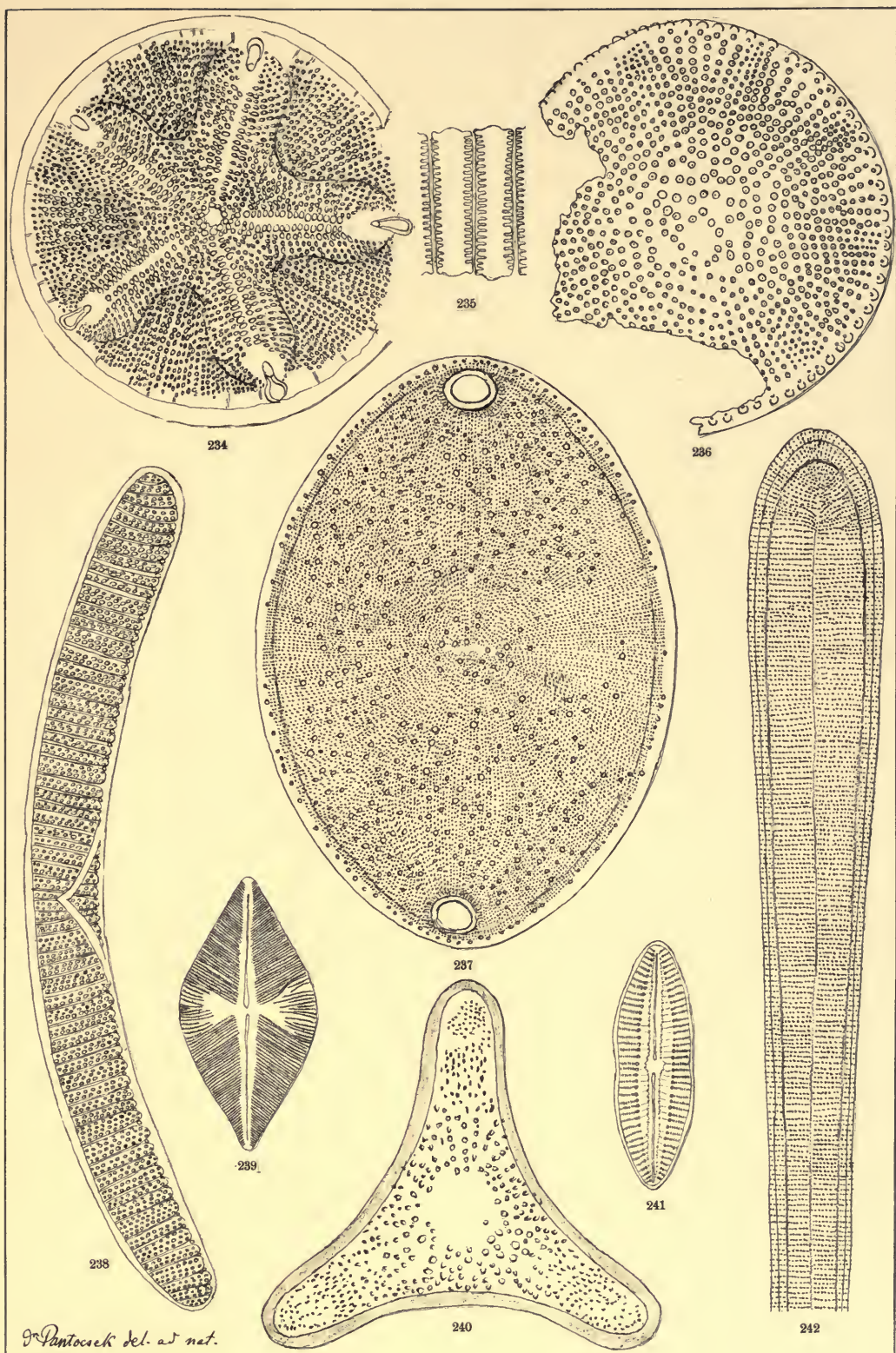




### Band III. Tafel XVI.

---

234. <b>Aulacodiscus Ledebourii</b> Pant.	<i>Kusnetzk</i> $600/1$
235. <b>Fragilaria Kochii</b> n. s.	<i>Köpecz</i> $832/1$
236. <b>Lamprotediscus fasciculatus</b> n. s.	<i>Ananino</i> $600/1$
237. <b>Cerataulus japonicus</b> n. s.	<i>Wembets</i> $360/1$
238. <b>Epithemia perlonga</b> n. s.	<i>Köpecz</i> $600/1$
239. <b>Navicula Vaszaryi</b> n. s.	<i>Nyermegy</i> $746/1$
240. <b>Triceratium distinguendum</b> n. s.	<i>Ananino</i> $600/1$
241. <b>Navicula Hornigii</b> n. s.	<i>Bory</i> $650/1$
242. <b>Synedra Jurányi</b> n. s.	<i>Borostelek</i> $746/1$





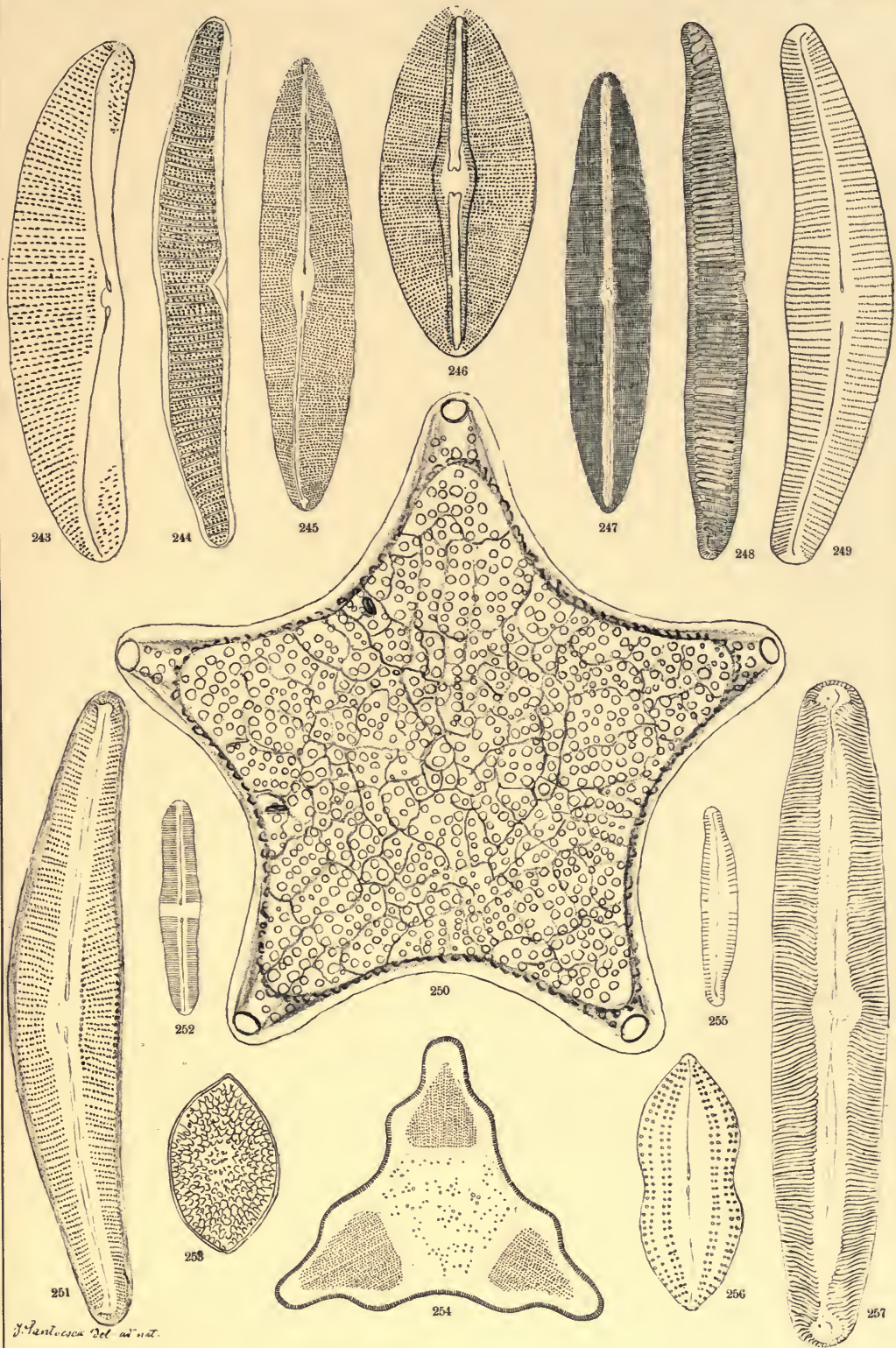


### Band III. Tafel XVII.

---

243. <i>Amphora gigantea</i> Grun. var. <i>andesitica</i> Pant.	<i>Bory</i>
244. <i>Epithemia directa</i> n. s.	<i>Köpecz</i>
245. <i>Scoliopleura tumida</i> (Bréb.) Rab.	<i>Dubravica</i>
246. <i>Navicula carpathorum</i> n. s.	<i>Dubravica</i>
247. <i>Navicula Mártonfii</i> n. s.	<i>Nyermegy</i> $500/1$
248. <i>Epithemia striolata</i> n. s.	<i>Köpecz</i>
249. <i>Cymbella perfecta</i> n. s.	<i>Deménd</i> $832/1$
250. <i>Triceratium hungaricum</i> n. s.	<i>Bory</i>
251. <i>Cymbella dubravicensis</i> Grun.	<i>Dubravica</i>
252. <i>Navicula neogena</i> n. s.	<i>Dubravica</i>
253. <i>Epithelion curvatum</i> nov. gen. et spec.	<i>Kusnetzk</i> $500/1$
254. <i>Terpsinoë Brunii</i> n. s.	<i>Wembets</i>
255. <i>Cymbella abnormis</i> Grun. var. <i>fossilis</i> n. v.	<i>Dubravica</i>
256. <i>Navicula inscendens</i> n. s.	<i>Káránd</i> $832/1$
257. <i>Navicula Hyrtlii</i> n. s.	<i>Bodos</i> $500/1$

Vergrosserung  $600/1$





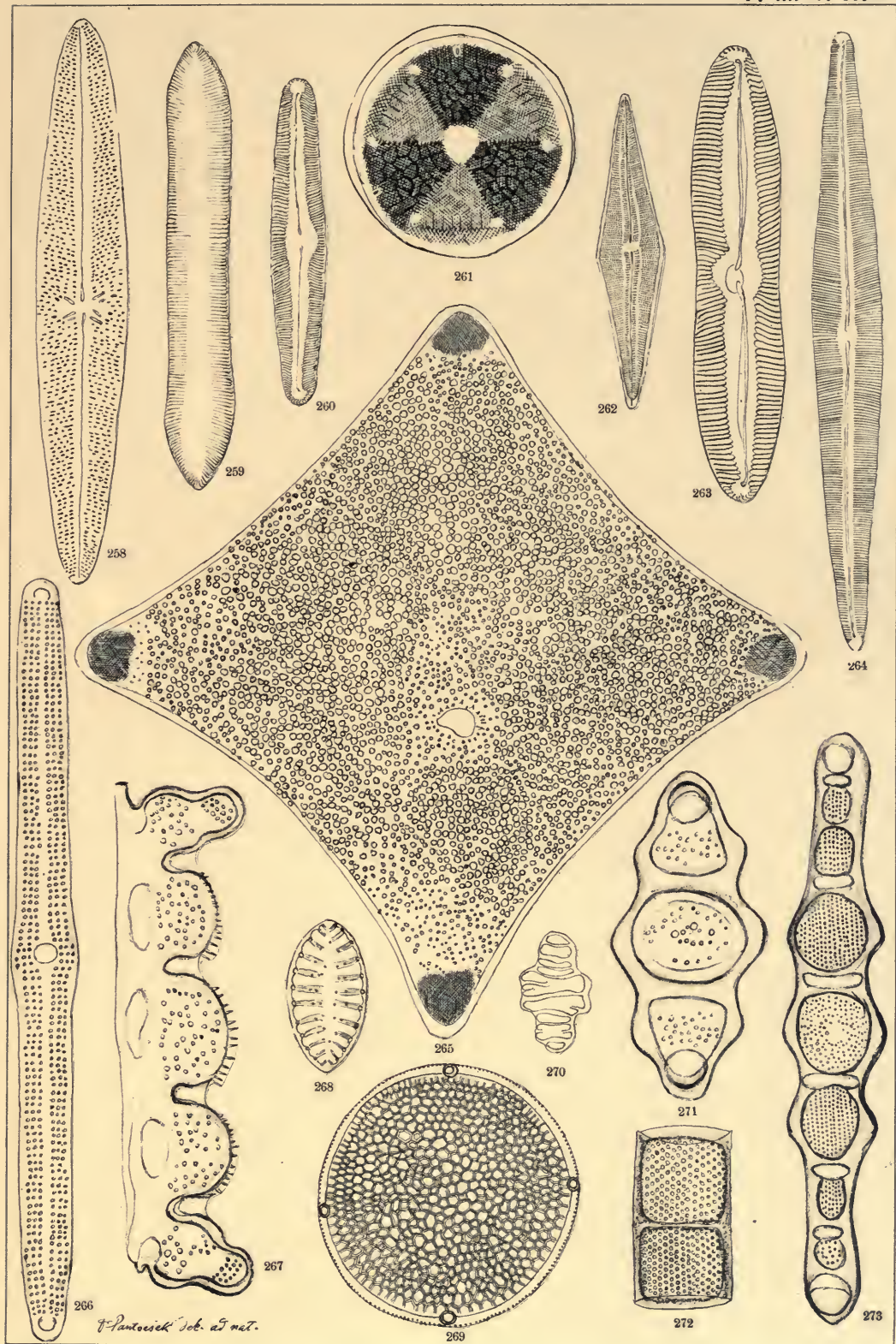


### Band III. Tafel XVIII.

---

258. <i>Navicula pseudoaspera</i> n. s.	<i>Borostelek</i> $^{600}/_1$
259. <i>Cymatopleura gracilis</i> n. s.	<i>Köpecz</i>
260. <i>Navicula persculpta</i> n. s.	<i>Bodos</i>
261. <i>Actinoptychus Baxterii</i> n. s.	<i>Izsópallaga-Serges</i>
262. <i>Navicula perducta</i> n. s.	<i>Nyermegy</i>
263. <i>Navicula paripinnata</i> n. s.	<i>Bodos</i>
264. <i>Navicula lucifera</i> n. s.	<i>Bodos</i>
265. <i>Triceratium coerulescens</i> n. s.	<i>Sëndai</i> $^{300}/_1$
266. <i>Plagiogramma Lóczyi</i> n. s.	<i>Karna-Bremia</i> $^{750}/_1$
267. 271. <i>Biddulphia Jimboi</i> n. s.	<i>Wembets</i> $^{600}/_1$
268. <i>Surirella amœna</i> n. s.	<i>Bodos</i>
269. <i>Triceratium microtis</i> Gr. var. <i>quadriocellata</i> Pant.	<i>Szakal</i> $^{832}/_1$
270. <i>Tetracyclus emarginatus</i> E.	<i>Bodos</i>
272. <i>Melosira granulata</i> (E.) Ralf. var. <i>hungarica</i> n. v.	<i>Hidas</i> $^{832}/_1$
273. <i>Biddulphia fistulosa</i> n. s.	<i>Kusnetzk</i>

Vergrösserung  $^{500}/_1$





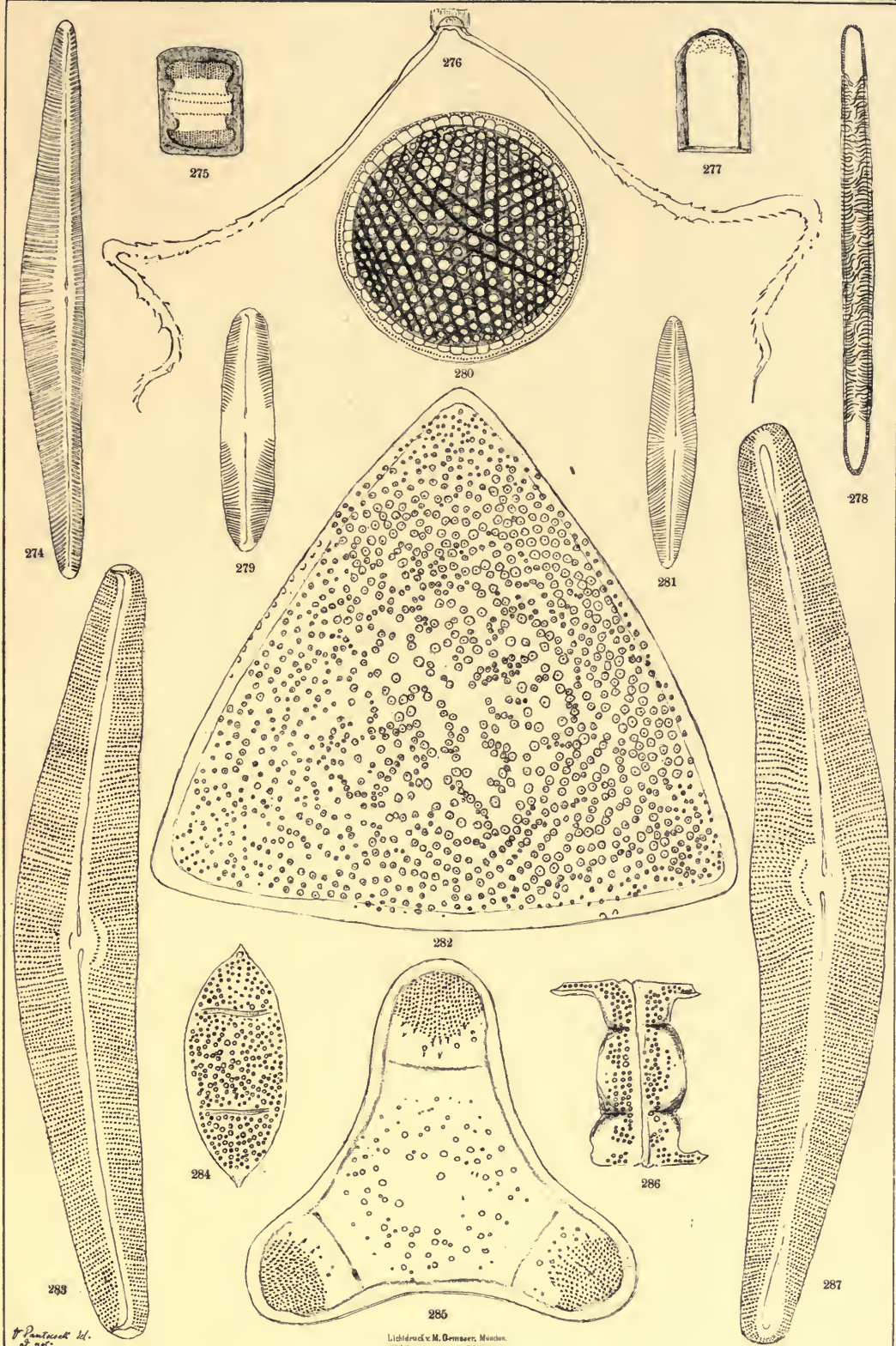


### Band III. Tafel XIX.

---

274. <i>Cymbella Neptuni</i> n. s.	<i>Wembets</i> $^{600}/_1$
275. <i>Melosira fungiformis</i> n. s.	<i>Nyermegy</i>
276. <i>Chaetoceros gracilis</i> n. s.	<i>Káránd</i> $^{600}/_1$
277. <i>Pyxilla russica</i> n. s.	<i>Kusnetzk</i>
278. <i>Rhabdonema taeniata</i> n. s.	<i>Nyermegy</i>
279. <i>Navicula Brébisonii</i> Kg. var. <i>fossilis</i> n. v.	<i>Bodos</i> $^{600}/_1$
280. <i>Stephanopyxis antiqua</i> n. s.	<i>Kusnetzk</i>
281. <i>Navicula dubravicensis</i> Grun.	<i>Dubravica</i> $^{600}/_1$
282. <i>Stictodiscus Tschestnovii</i> n. s.	<i>Kusnetzk</i>
283. <i>Cymbella Grunowii</i> n. s.	<i>Dubravica</i> $^{600}/_1$
284. 286. <i>Hemiaulus hungaricus</i> Pant.	<i>Szakal</i> $^{832}/_1$
285. <i>Triceratium deductum</i> n. s.	<i>Kusnetzk</i>
287. <i>Cymbella Sturii</i> Grun.	<i>Dubravica</i> $^{600}/_1$

Vergrösserung  $^{500}/_1$





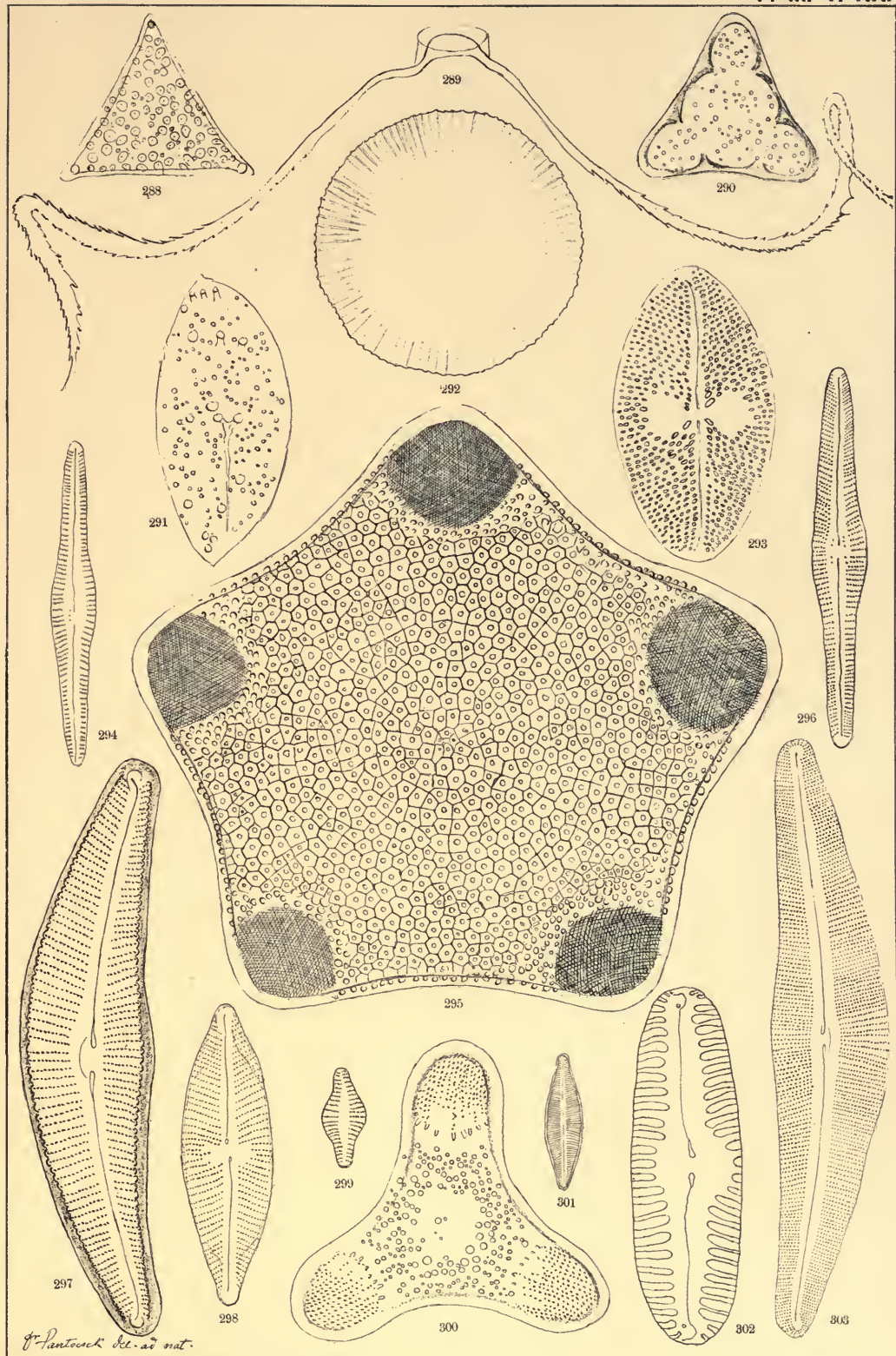


### Band III. Tafel XX.

---

288. <i>Triceratium notatum</i> n. s.	<i>Kusnetzk</i> $500/1$
289. <i>Chaetoceros Pethöi</i> n. s.	<i>Kárdind</i>
290. <i>Triceratium delectabile</i> n. s.	<i>Kusnetzk</i> $500/1$
291. <i>Epithelion spinifer</i> n. s.	<i>Kusnetzk</i> $500/1$
292. <i>Melosira Kochii</i> n. s.	<i>Köpecz</i> $832/1$
293. <i>Navicula Sieboldii</i> n. s.	<i>Abashiri</i>
294. 296. <i>Gomphonema dubravicense</i> n. s.	<i>Dubravica</i>
295. <i>Triceratium Jimboi</i> n. s.	<i>Wembets</i>
297. <i>Cymbella plutonica</i> n. s.	<i>Bory</i> $832/1$
298. <i>Navicula styriaca</i> Grun.	<i>Bory</i>
299. <i>Staurosira Venter</i> (E.) Grun.	<i>Bory</i> $832/1$
300. <i>Triceratium Endlicherii</i> n. s.	<i>Kusnetzk</i> $500/1$
301. <i>Navicula protracta</i> Grun. form. <i>minor</i>	<i>Jastraba</i>
302. <i>Navicula pachyptera</i> (E.) Kg.	<i>Dubravica</i>
303. <i>Cymbell Clementis</i> n. s.	<i>Dubravica</i>

Vergrösserung  $600/1$







### Band III. Tafel XXI.

---

304. <i>Cymbella pachyptera</i> n. s.	<i>Dubravica</i> 600/1
305. <i>Asteromphalus Debyi</i> n. s.	<i>Káránd</i> 500/1
306. <i>Chaetoceros biharensis</i> n. s.	<i>Káránd</i> 600/1
307. <i>Paralia polycystinica</i> n. s.	<i>Kusnetzk</i> 500/1
308. <i>Cymbella simplex</i> n. s.	<i>Dubravica</i> 600/1
309. <i>Asteromphalus Brunii</i> n. s.	<i>Borostelek</i> 500/1
310. <i>Terpsinoë polygibba</i> Pant.	<i>Izsopallaga</i> 500/1
311. <i>Cocconeis lineata</i> E var. <i>minor</i> n. v.	<i>Köpecz</i> 832/1
312. <i>Navicula mesolepta</i> (E.) Kg. var. <i>boryana</i> n. v.	<i>Bory</i> 600/1
313. <i>Aulacodiscus Gurowii</i> n. s.	<i>Kusnetzk</i> 500/1
314. <i>Grammatophora lyrata</i> Grun. var. <i>japonica</i> n. v.	<i>Wembets</i> 600/1
315. <i>Pleurosigma neogradense</i> Pant.	<i>Felső-Esztergály</i> 1066/1
316. <i>Cymbella latestriata</i> n. s.	<i>Dubravica</i> 600/1
317. <i>Fragilaria transylvanica</i> n. s.	<i>Bodos</i> 500/1
318. <i>Cosecinodiscus Pethöi</i> n. s.	<i>Káránd</i> 832/1
319. <i>Eunotia Ehrenbergii</i> Grun. var. <i>quaternaria</i> Grun.	<i>Dubravica</i> 600/1
320. <i>Synedra dubravicensis</i> n. s.	<i>Dubravica</i> 600/1
321. <i>Cymbella gigantea</i> n. s.	<i>Bodos</i> 500/1

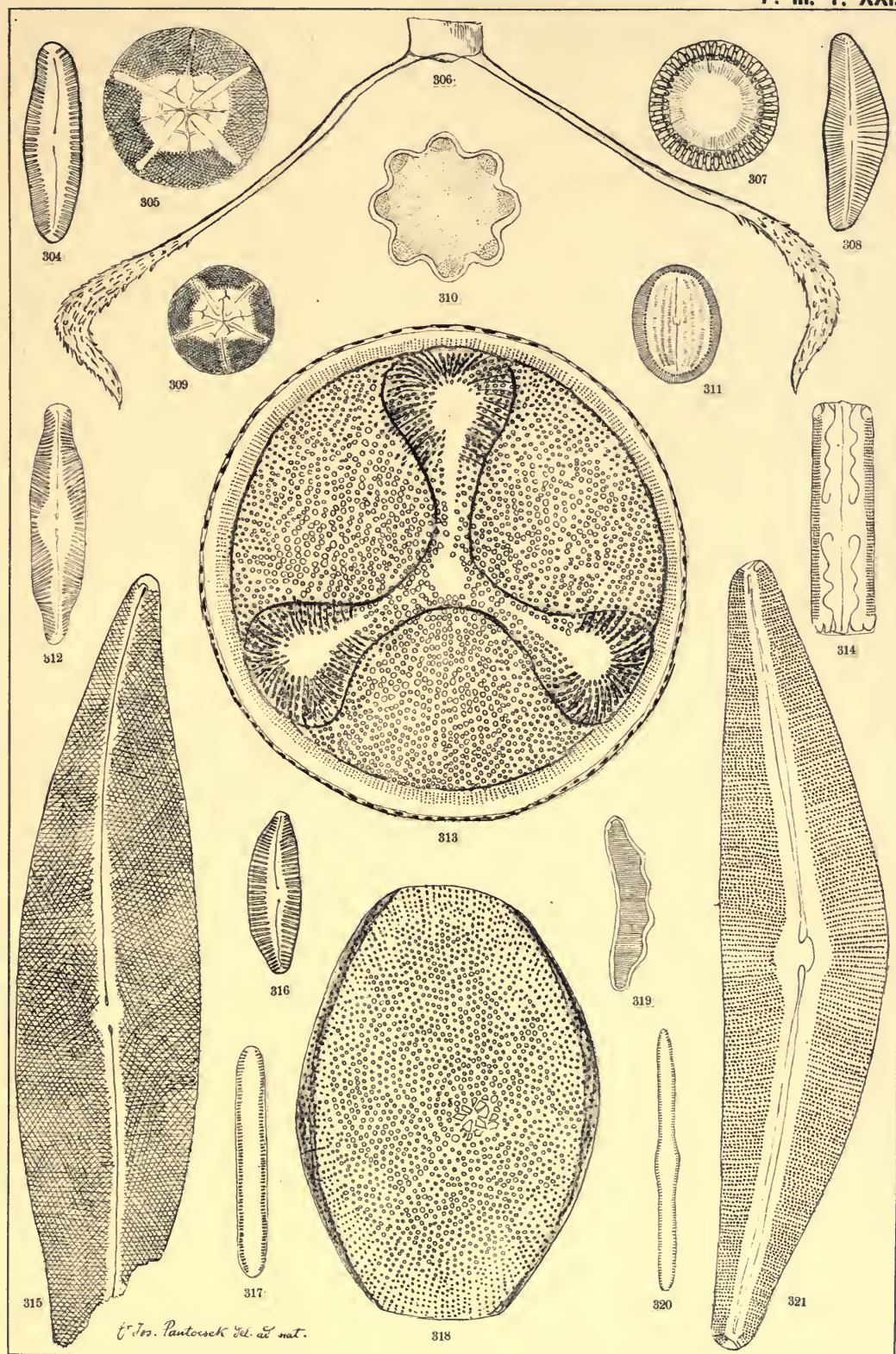


Fig. 303. Pantoset. Gel. ex nat.

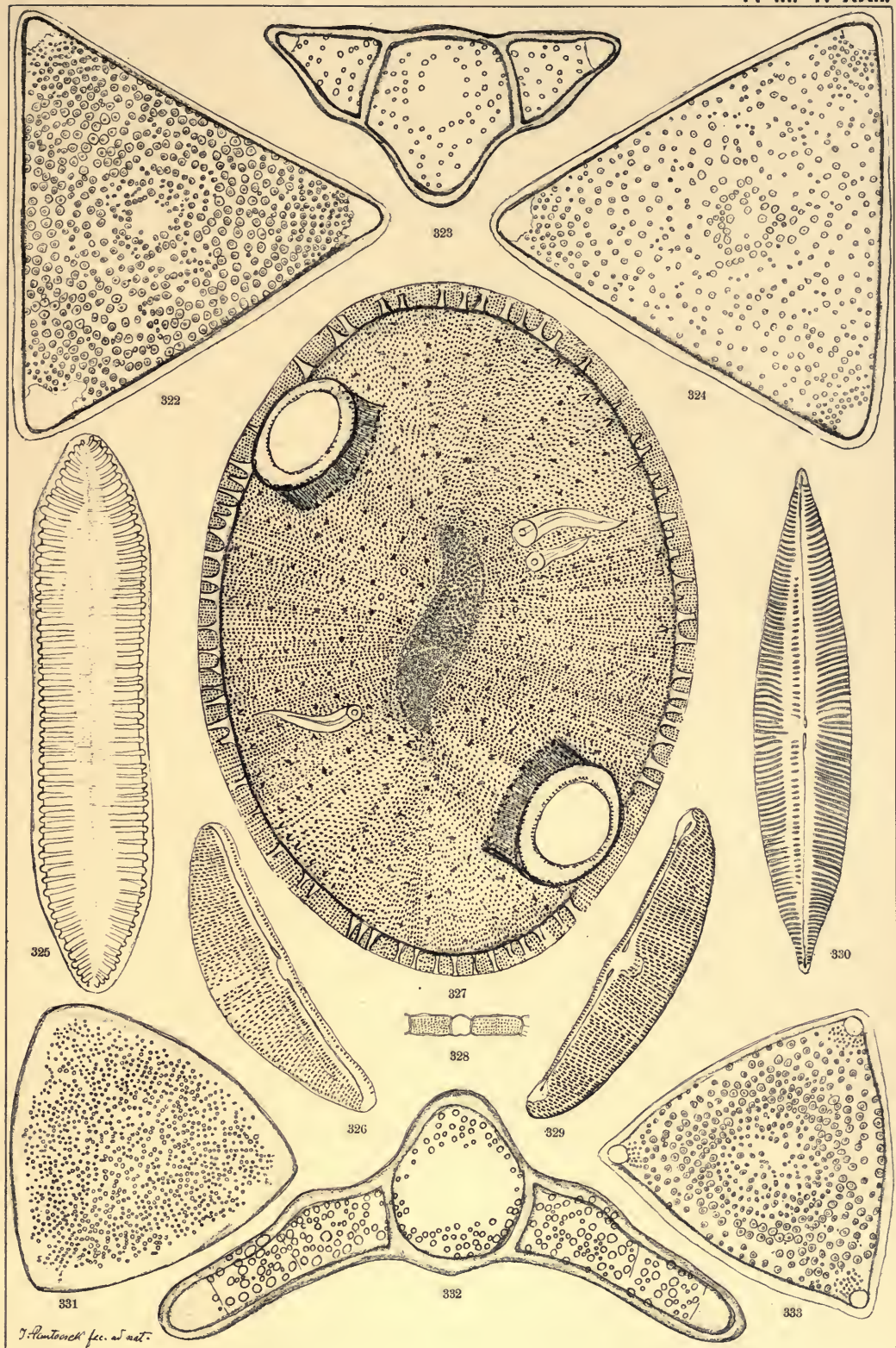




### Band III. Tafel XXII.

---

322. <i>Triceratium tectum</i> n. s.	<i>Kusnetzk</i>
323. <i>Eunotogramma Weissei</i> E.	<i>Kusnetzk</i> $^{452}/_1$
324. <i>Triceratium stigmaticum</i> n. s.	<i>Kusnetzk</i>
325. <i>Surirella salsa</i> W. Sm var. <i>hungarica</i> n. v.	<i>Dubravica</i> $^{600}/_1$
326. <i>Amphora vittata</i> Pant.	<i>Bory</i> $^{600}/_1$
327. <i>Cerataulus Weissflogii</i> n. s.	<i>Szakal</i> $^{600}/_1$
328. <i>Melosira crenulatata</i> Kg. var. <i>debilis</i> n. v.	<i>Dubravica</i> $^{600}/_1$
329. <i>Amphora Argus</i> n. s.	<i>Köpecz</i>
330. <i>Navicula (Alloeoneis) Flattii</i> n. s.	<i>Izsopallaga-Serges</i>
331. <i>Triceratium Sokolowii</i> n. s.	<i>Kusnetzk</i>
332. <i>Eunotogramma Weissei</i> E. var. <i>producta</i> Gr. St.	<i>Kusnetzk</i> $^{452}/_1$
333. <i>Triceratium jucundum</i> n. s.	<i>Kusnetzk</i>
Vergrösserung $^{600}/_1$	



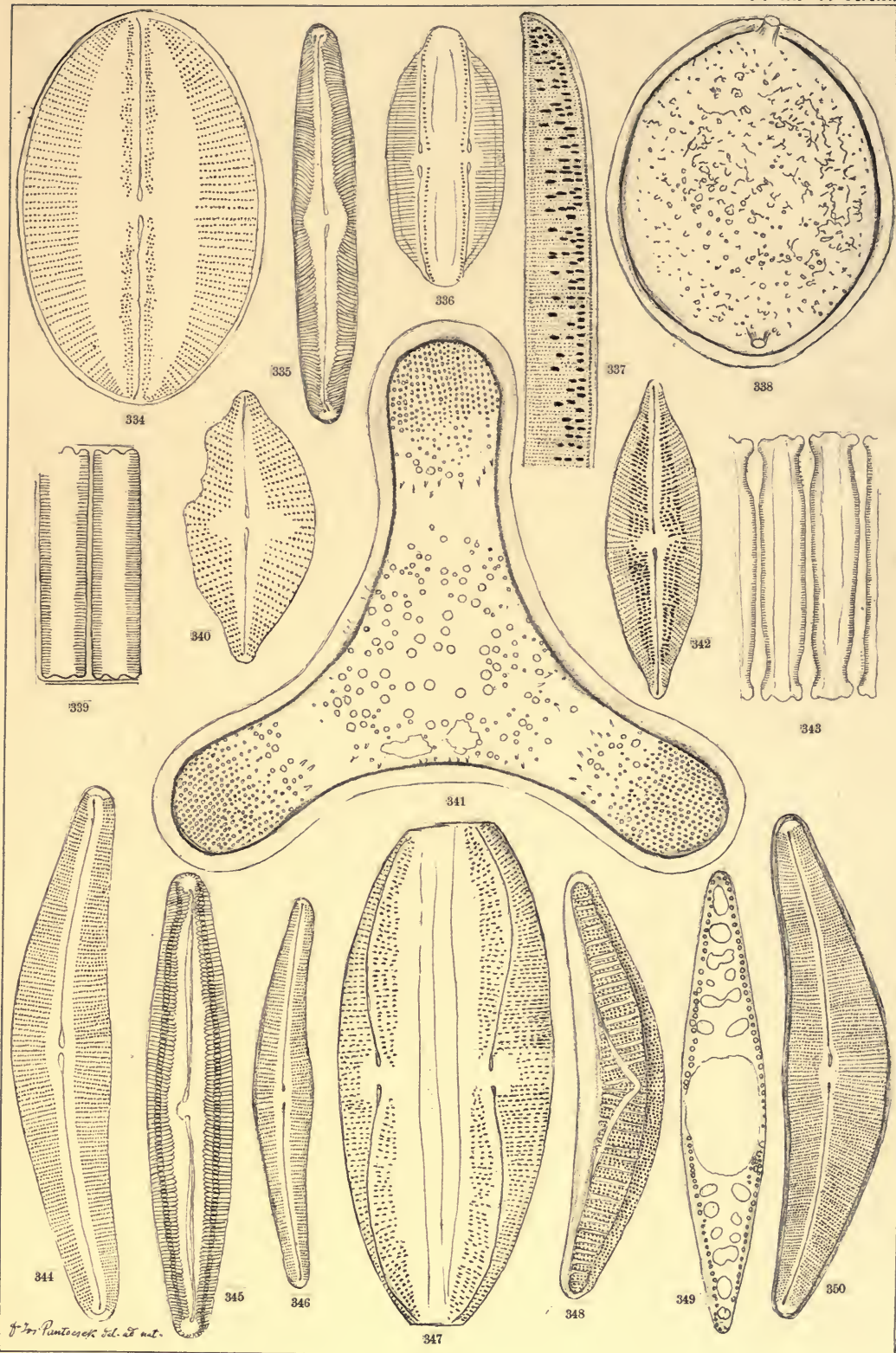




### Band III. Tafel XXIII.

---

334. <i>Navicula Mikado</i> n. s.	<i>Wembets</i> $600/1$
335. <i>Navicula scythica</i> n. s.	<i>Dubravica</i> $600/1$
336. <i>Amphora Budayana</i> n. s.	<i>Köpecz</i> $832/1$
337. <i>Nitzschia pulcherrima</i> Grun. var. <i>interrupta</i> n. v.	<i>Szakal</i> $832/1$
338. <i>Biddulphia Tschestnovii</i> n. s.	<i>Kusnetzk</i> $500/1$
339. <i>Fragilaria Peragalloi</i> n. s.	<i>Deménd</i> $832/1$
340. <i>Navicula mocsarensis</i> n. s.	<i>Mocsár</i> $832/1$
341. <i>Triceratium vates</i> n. s.	<i>Kusnetzk</i> $500/1$
342. <i>Navicula arata</i> Grun.	<i>Dubravica</i> $600/1$
343. <i>Dimeregramma boryanum</i> Pant.	<i>Bory</i> $832/1$
344. <i>Cymbella lanceolata</i> E. var. <i>fossilis</i> Pant.	<i>Bory</i> $600/1$
345. <i>Navicula transylvanica</i> n. s. var. <i>producta</i> n. v.	<i>Bodos</i> $500/1$
346. <i>Cymbella cymbiformis</i> E. var. <i>producta</i> n. v.	<i>Dubravica</i> $600/1$
347. <i>Amphora Lima</i> A. Schm.	<i>Bory</i> $832/1$
348. <i>Epithemia Ehrenbergii</i> n. s.	<i>Köpecz</i> $600/1$
349. <i>Craticula hungarica</i> n. s.	<i>Szent-Péter</i> $600/1$
350. <i>Cymbella lanceolata</i> E. var. <i>robusta</i> n. s.	<i>Köpecz</i> $452/1$



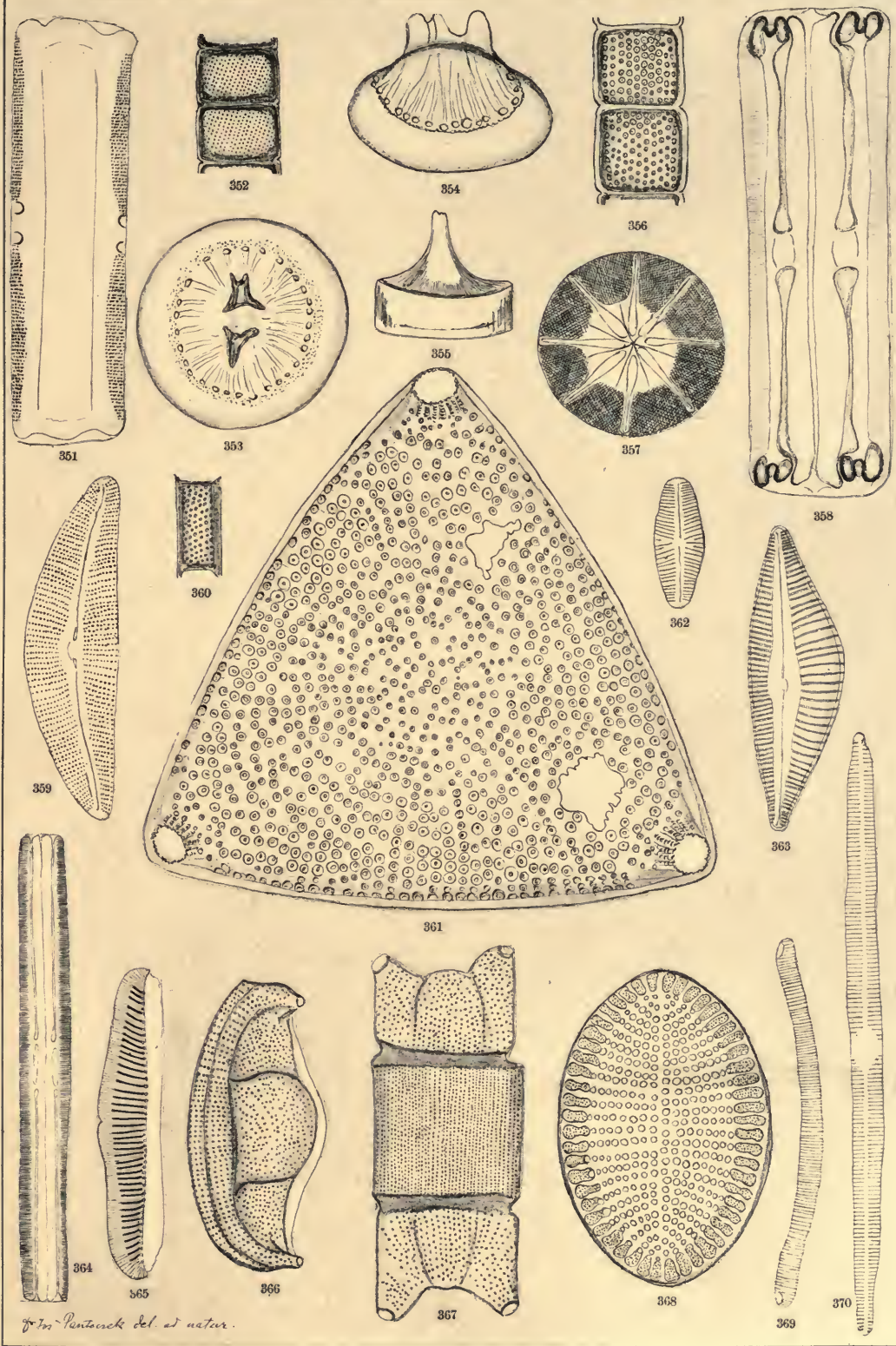




### Band III. Tafel XXIV.

---

351. <i>Plagiogramma Truanii</i> Pant.	<i>Bory</i> <sup>832/1</sup>
352. <i>Melosira crenulata</i> (E.) Ralfs var. <i>ambigua</i> Grun.	<i>Deménd</i> <sup>832/1</sup>
353, 354. <i>Ktenodiscus russicus</i> n. s.	<i>Kusnetzk</i> <sup>500/1</sup>
355. <i>Gyrodiseus Vortex</i> N. O. Witt.	<i>Kusnetzk</i> <sup>500/1</sup>
356. <i>Melosira Tempèrei</i> n. s.	<i>Köpecz</i> <sup>832/1</sup>
357. <i>Asteromphalus Kinkerii</i> n. s.	<i>Káránd</i> <sup>500/1</sup>
358. <i>Grammatophora valida</i> n. s.	<i>Wembets</i> <sup>600/1</sup>
359. <i>Cymbella vegeta</i> n. s.	<i>Dubravica</i> <sup>600/1</sup>
360. <i>Melosira crenulata</i> (E.) Ralfs var. <i>mocsarensis</i> n. v.	<i>Mocsár</i> <sup>832/1</sup>
361. <i>Triceratium Gurowii</i> n. s.	<i>Kusnetzk</i> <sup>500/1</sup>
362. <i>Navicula pressa</i> n. s.	<i>Bodos</i> <sup>500/1</sup>
363. <i>Cymbella Budayana</i> n. s. var. <i>gracilior</i> n. v.	<i>Köpecz</i> <sup>600/1</sup>
364. <i>Grammatophora biharensis</i> n. s.	<i>Izsópallaga-Serges</i> <sup>500/1</sup>
365. <i>Epithemia Budayana</i> n. s.	<i>Köpecz</i> <sup>832/1</sup>
366. <i>Biddulphia Gurowii</i> n. s.	<i>Kusnetzk</i> <sup>500/1</sup>
367. <i>Odontella boryana</i> Pant.	<i>Bory</i> <sup>600/1</sup>
368. <i>Coccneis Haradae</i> n. s.	<i>Wembets</i> <sup>600/1</sup>
369. <i>Eunotia gracilis</i> (E.) Rab. var. <i>fossilis</i> n. s.	<i>Dubravica</i> <sup>600/1</sup>
370. <i>Synedra Ulna</i> (Nitzsch) E. var. <i>fossilis</i> n. v.	<i>Dubravica</i> <sup>600/1</sup>



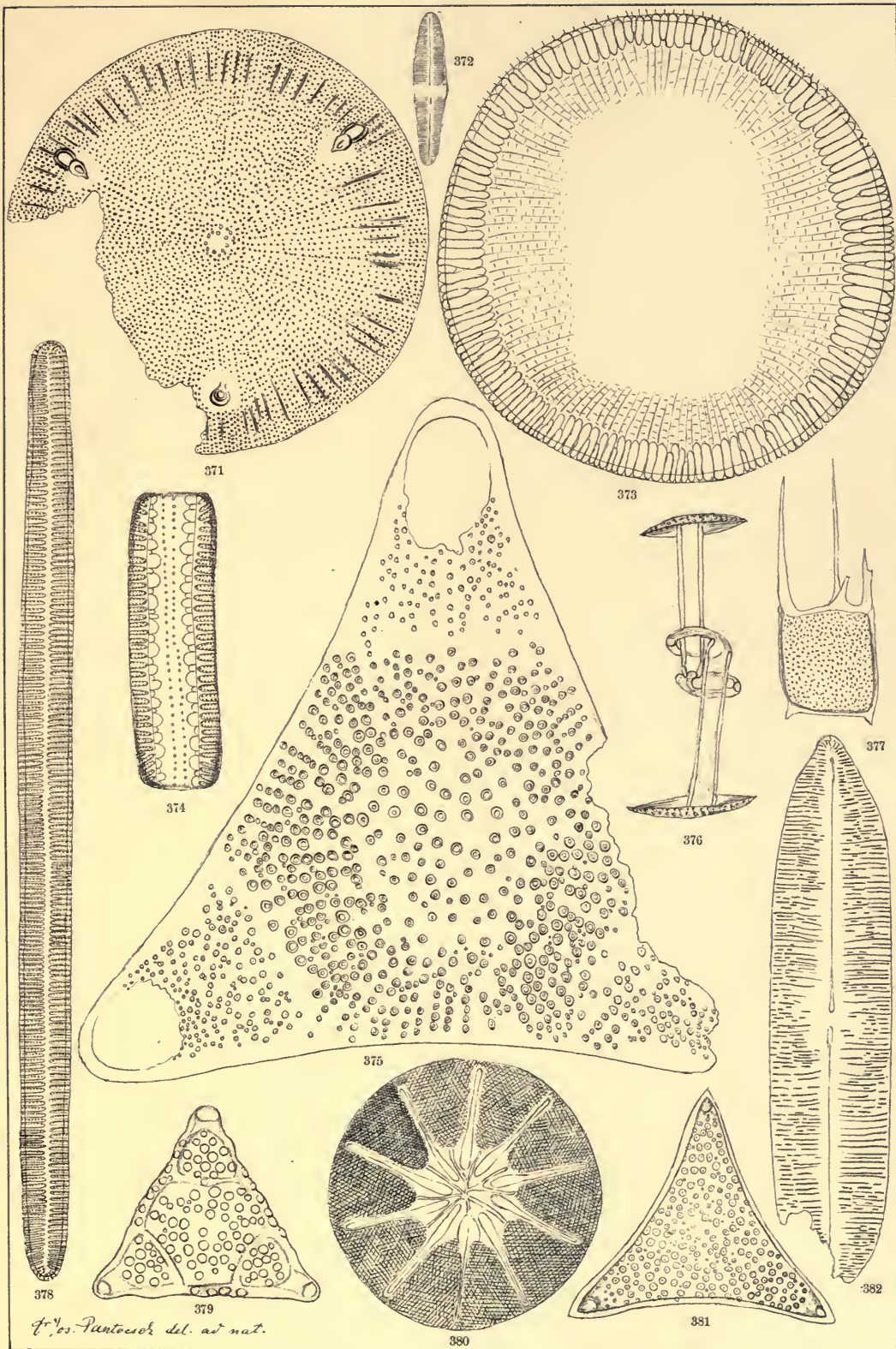




### Band III. Tafel XXV.

---

371. <i>Aulacodiscus Peragalloi</i> n. s.	<i>Kusnetzk</i> $\frac{600}{1}$
372. <i>Navicula neogena</i> n. s.	<i>Dubravica</i> $\frac{600}{1}$
373. <i>Campylodiscus Szontághii</i> n. s.	<i>Izsopallaga-Serges</i> $\frac{600}{1}$
374. <i>Alloeoneis Castracanei</i> Pant. latus. conlect.	<i>Káránd</i> $\frac{832}{1}$
375. <i>Triceratium illustrum</i> n. s.	<i>Kusnetzk</i> $\frac{452}{1}$
376. <i>Syndetoneis russica</i> n. s.	<i>Kusnetzk</i> $\frac{600}{1}$
377. <i>Zygoceros antiquus</i> n. s.	<i>Kusnetzk</i> $\frac{600}{1}$
378. <i>Synedra Van Heurckii</i> Brun.	<i>Wembets</i> $\frac{360}{1}$
379. <i>Triceratium Brandtii</i> n. s.	<i>Kusnetzk</i> $\frac{500}{1}$
380. <i>Asteromphalus Grovei</i> n. s.	<i>Borostelek</i> $\frac{500}{1}$
381. <i>Trinacria sparsa</i> n. s.	<i>Kusnetzk</i> $\frac{500}{1}$
382. <i>Navicula primordialis</i> n. s.	<i>Kusnetzk</i> $\frac{500}{1}$



Fr. & S. Partes del. ac nat.

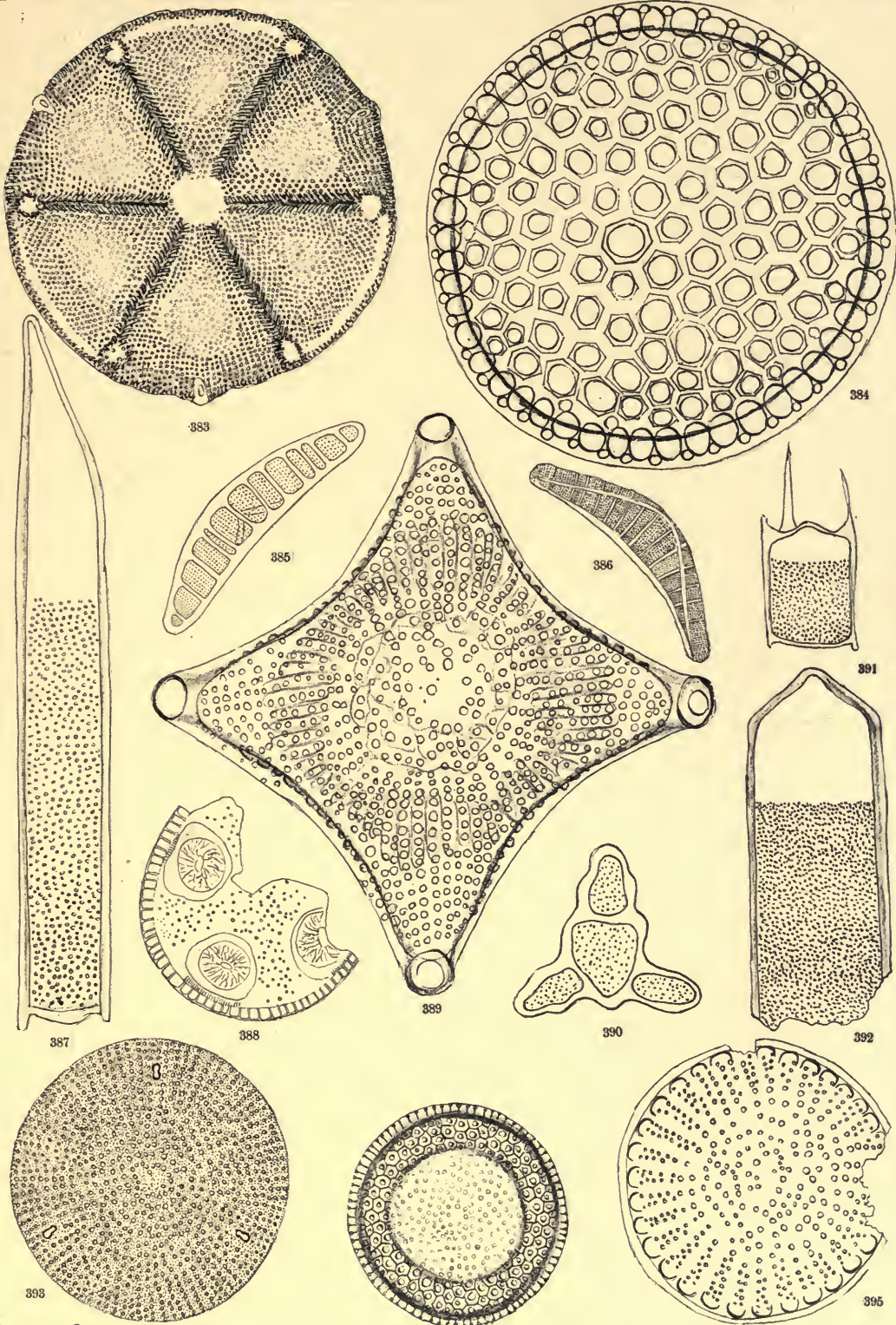




### Band III. Tafel XXVI.

---

383. <i>Actinoptychus Kusnetzkianus</i> n. s.	<i>Kusnetzk</i> $500/1$
384. <i>Stephanopyxis maxima</i> n. s.	<i>Kusnetzk</i> $500/1$
385. <i>Epithemia zebrina</i> (E.) Grun.	<i>Magyar-Hermány</i> $832/1$
386. <i>Epithemia cistula</i> (E.) Grun. var. <i>lunaris</i> Grun.	<i>Dubravica</i>
387. <i>Pyxilla Lunyaesekii</i> n. s.	<i>Nagy-Kürtös</i>
388. <i>Pseudoauliscus Brunii</i> Pant.	<i>Ananino</i>
389. <i>Triceratium Pethői</i> Pant.	<i>Nagy-Kürtös</i>
390. <i>Terpsinoë triquetra</i> n. s.	<i>Izsopallaga</i> $500/1$
391. <i>Zygoceros antiquus</i> n. s. var. <i>interrupta</i>	<i>Kusnetzk</i>
392. <i>Pyxilla hungarica</i> n. s.	<i>Nagy-Kürtös</i>
393. <i>Aulacodiscus nigrescens</i> n. s.	<i>Kusnetzk</i> $500/1$
394. <i>Craspedodiscus Weissflogii</i> n. s.	<i>Szakal</i>
395. <i>Stictodiscus Kossuthii</i> n. s.	<i>Kusnetzk</i>
	Vergrösserung $600/1$



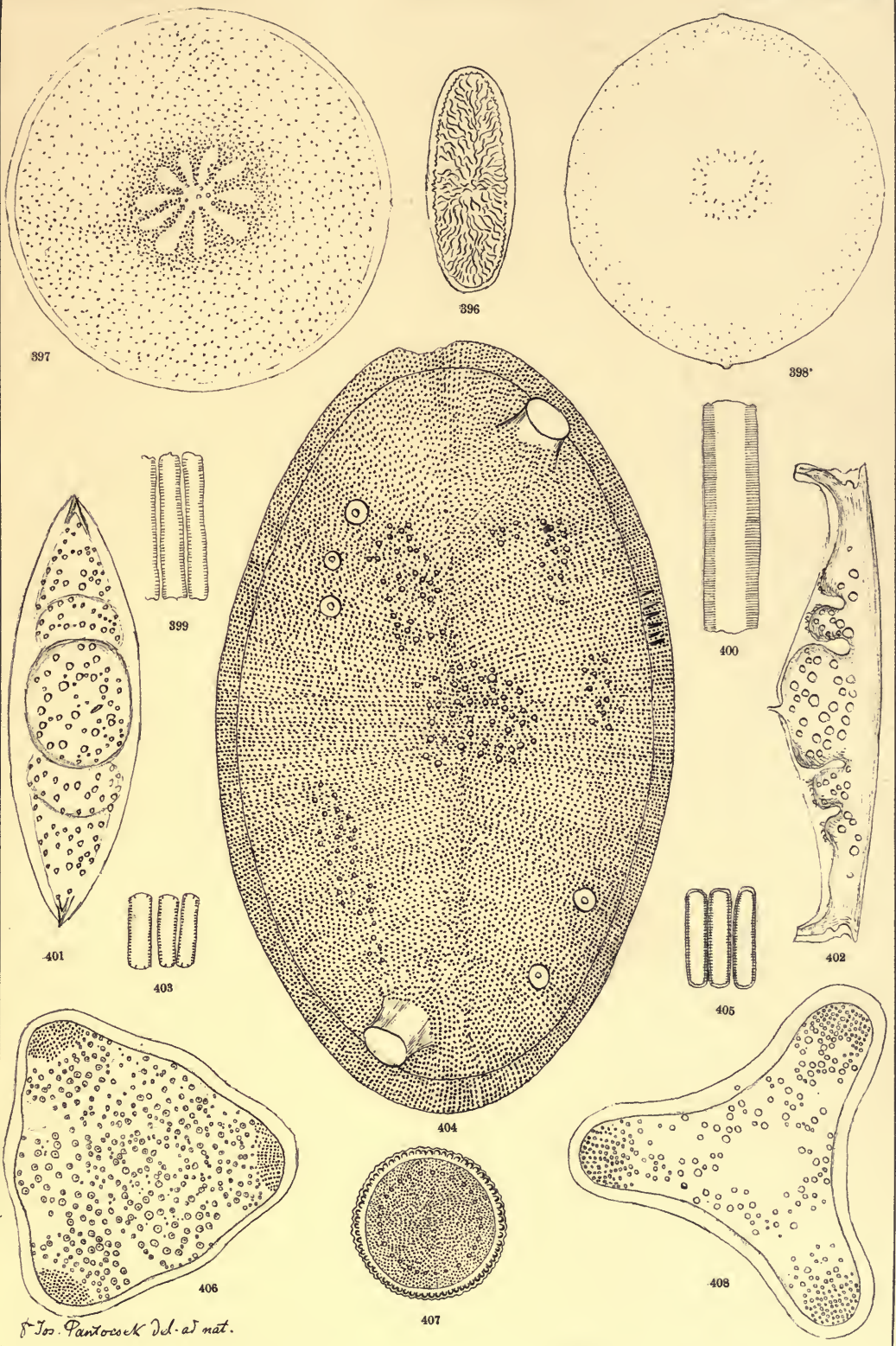




### Band III. Tafel XXVII.

---

396. <i>Epithelion hungaricum</i> n. s.	<i>Nagy-Kürtös</i> $^{600}/_1$
397. <i>Ethmodiscus stellifer</i> n. s.	<i>Kusnetzk</i> $^{600}/_1$
398. <i>Cheloniodiscus ananinensis</i> Pant. <i>Valva inferior</i>	<i>Ananino</i> $^{600}/_1$
399. <i>Fragilaria sepulta</i> n. s.	<i>Bodos</i> $^{500}/_1$
400. <i>Fragilaria transylvanica</i> n. s.	<i>Bodos</i> $^{500}/_1$
401, 402. <i>Hemiaulus Weissflogii</i> n. s.	<i>Kusnetzk</i> $^{600}/_1$
403. <i>Staurosira Venter</i> (E.) Grun.	<i>Bory</i> $^{832}/_1$
404. <i>Cerataulus turgidus</i> E. var. <i>hispidissimus</i> Pant.	<i>Bory</i> $^{600}/_1$
405. <i>Staurosira vasta</i> n. s.	<i>Magyar-Hermány</i> $^{832}/_1$
406. <i>Triceratium fasciatum</i> Pant.	<i>Kusnetzk</i> $^{500}/_1$
407. <i>Paralia Pethöi</i> n. s.	<i>Káránd</i> $^{600}/_1$
408. <i>Triceratium hilaratum</i> n. s.	<i>Kusnetzk</i> $^{500}/_1$





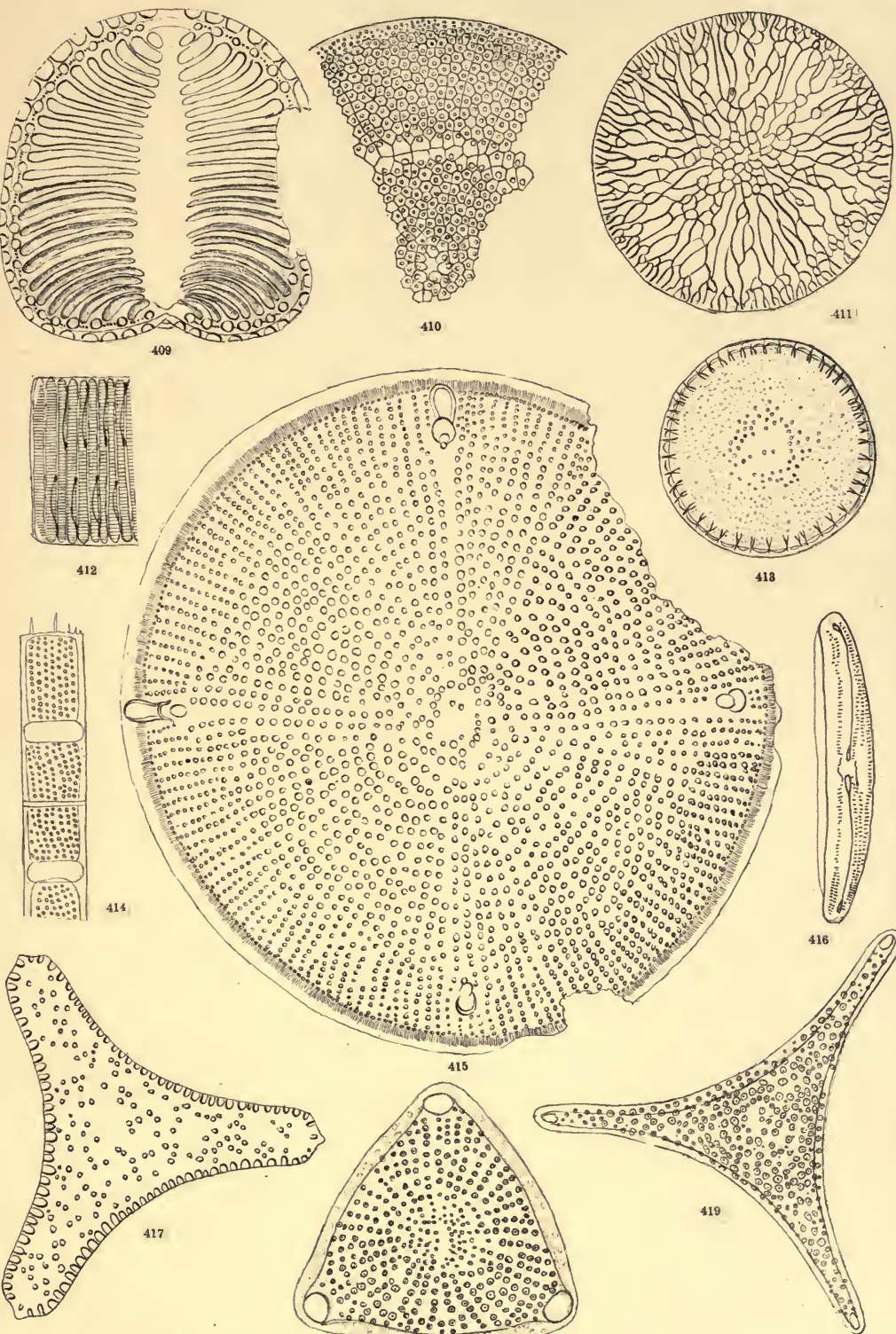


### Band III. Tafel XXVIII.

---

409. <i>Campylodiscus Jimboi</i> n. s.	<i>Teshiogori</i>
410. <i>Coscinodiscus brigthwellioides</i> n. s.	<i>Káránd</i>
411. <i>Coscinodiscus deformatus</i> n. s.	<i>Káránd</i>
412. <i>Rhabdonema diminutum</i> n. s.	<i>Serges-Izsopallaga</i> $^{500/1}$
413. <i>Melosira Pethöi</i> n. s.	<i>Káránd</i>
414. <i>Melosira granulata</i> (E.) Ralfs var. <i>attenuata</i> n. v.	<i>Hidas</i> $^{852/1}$
415. <i>Aulacodiscus szakalensis</i> n. s.	<i>Szakal</i>
416. <i>Amphora suavis</i> n. s.	<i>Bodos</i> $^{500/1}$
417. <i>Trinaeria simulacroides</i> n. s.	<i>Kusnetzk</i>
418. <i>Triceratium proprium</i> n. s.	<i>Kusnetzk</i> $^{500/1}$
419. <i>Trinaeria russica</i> n. s.	<i>Kusnetzk</i> $^{500/1}$

Vergrösserung  $^{600/1}$





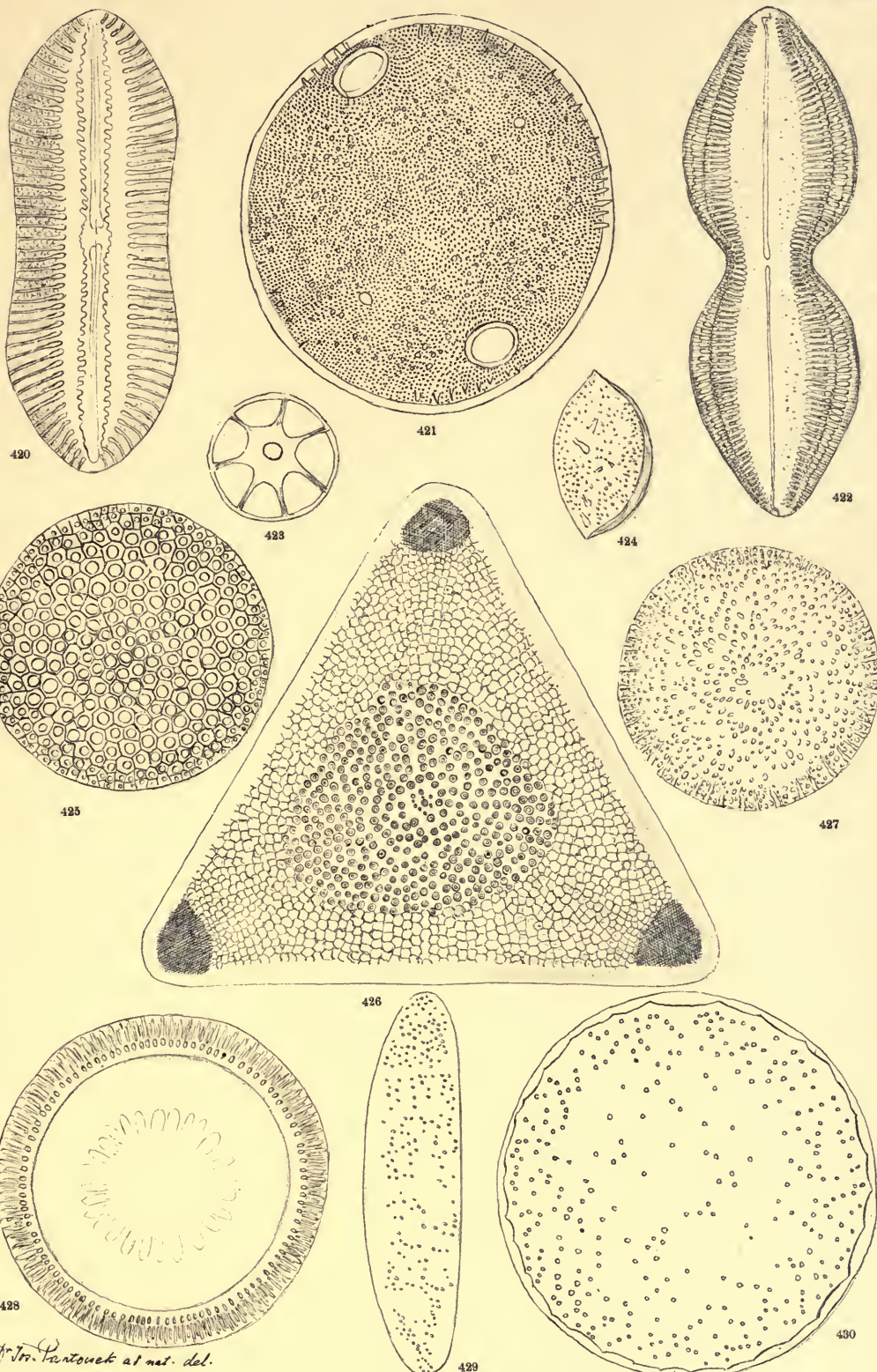


### Band III. Tafel XXIX.

---

420. <i>Navicula pseudogemmata</i> n. s.	<i>Nagy-Kürtös</i> $\frac{452}{1}$
421. <i>Cerataulus boryanus</i> Pant.	<i>Bory</i>
422. <i>Navicula Venus</i> n. s.	<i>Nagy-Kürtös</i>
423. <i>Pyxilla carinifera</i> Grun. var. <i>russica</i> n. v.	<i>Kusnetzk</i>
424. <i>Epithelion russicum</i> n. s.	<i>Kusnetzk</i> $\frac{500}{1}$
425. <i>Coscinodiscus kusnetzkianus</i> n. s.	<i>Kusnetzk</i> $\frac{500}{1}$
426. <i>Triceratium pseudoarcticum</i> n. s.	<i>Nagy-Kürtös</i> $\frac{500}{1}$
427. <i>Stictodiscus tuberculatus</i> n. s.	<i>Kusnetzk</i>
428. <i>Paralia hokkaideana</i> n. s.	<i>Wembets</i>
429. <i>Euodia hungarica</i> n. s.	<i>Nagy-Kürtös</i>
430. <i>Ethmodiscus carinatus</i> n. s.	<i>Kusnetzk</i>

Vergrösserung  $\frac{600}{1}$



F. J. Parrotet al. nat. del.



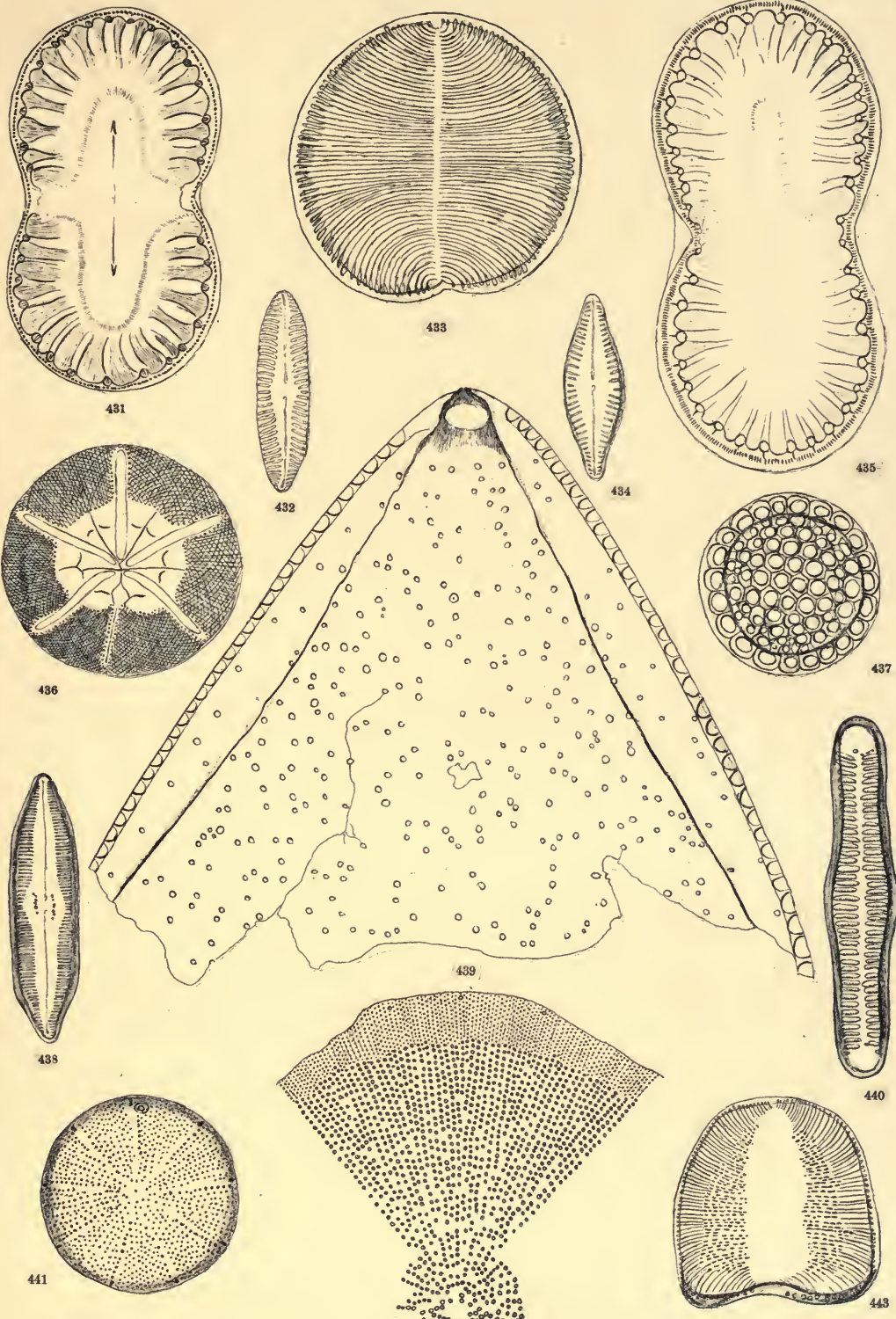


### Band III. Tafel XXX.

---

431. <i>Surirella Vaszaryi</i> n. s.	<i>Bory</i>
432. <i>Navicula phalangium</i> n. s.	<i>Kavna-Bremia</i>
433. <i>Campylodiscus Kützingii</i> Bail.	<i>Káránd</i>
434. <i>Navicula aradina</i> n. s.	<i>Kavna-Bremia</i>
435. <i>Surirella baldjickii</i> Norm.	<i>Nyermegy</i>
436. <i>Asteromphalus hungaricus</i> Pant.	<i>Nyermegy</i>
437. <i>Stephanopyxis vasta</i> n. s.	<i>Kusnetzk</i>
438. <i>Navicula pavida</i> n. s.	<i>Kavna-Bremia</i>
439. <i>Trinaeria vetustissima</i> n. s.	<i>Kusnetzk</i> <sup>600/1</sup>
440. <i>Rhabdonema japonicum</i> Tp. Br.	<i>Teshiogori</i>
441. <i>Actinocyclus boryanus</i> Pant.	<i>Bory</i> <sup>832/1</sup>
442. <i>Actinocyclus Lóczyi</i> n. s.	<i>Kavna-Bremia</i> <sup>833/1</sup>
443. <i>Campylodiscus Brassayi</i> n. s.	<i>Bory</i>

Vergrösserung <sup>500/1</sup>



F. Joz. Pantocsek del. ad nat.

Lithographie v. M. Germaser, Miasha.

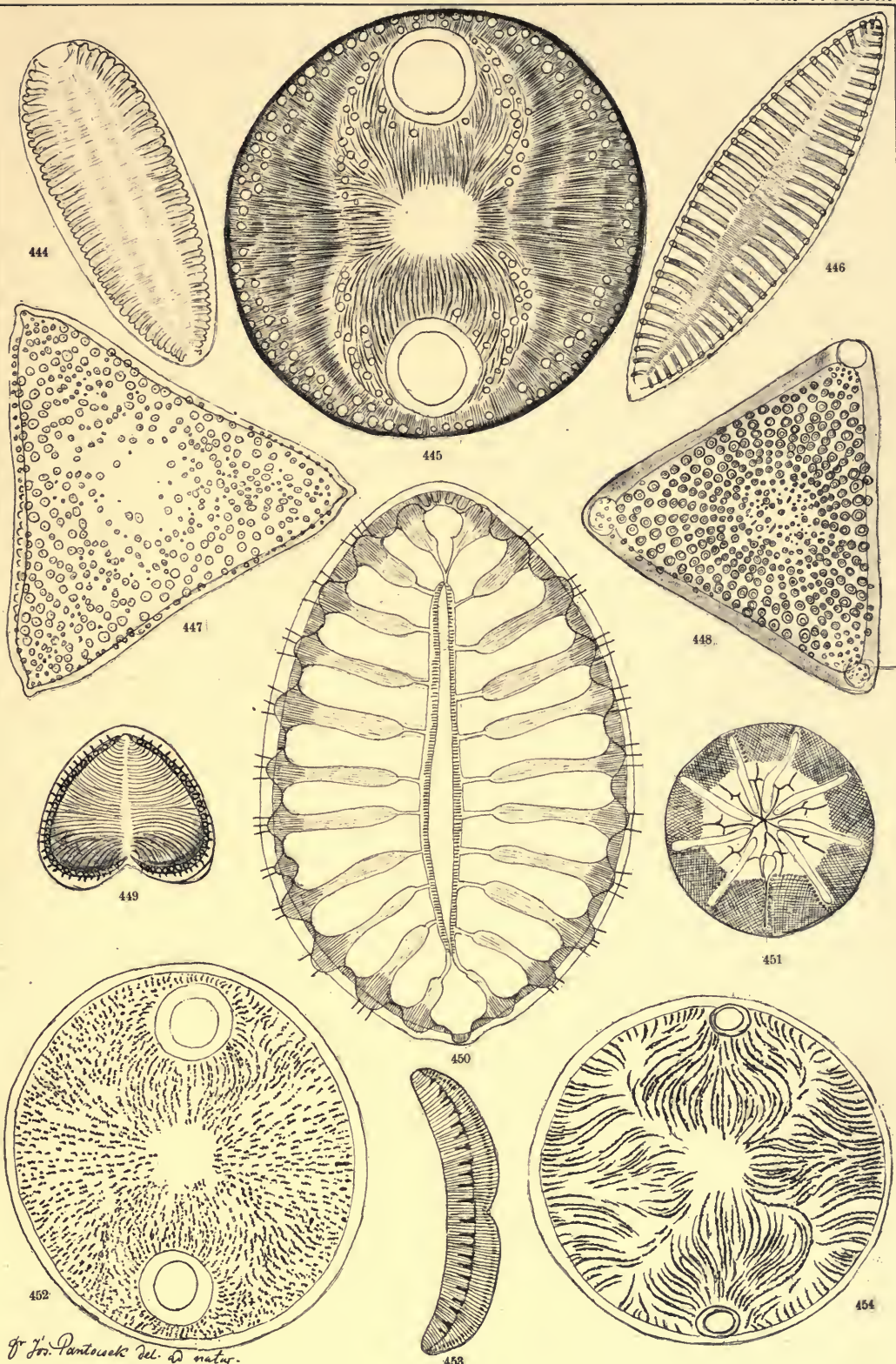




### Band III. Tafel XXXI.

---

444. <i>Surirella Kinkerii</i> n. s.	<i>Nyermegy</i> <sup>500</sup> / <sub>1</sub>
445. <i>Auliscus Stoeckhartii</i> Jan. var. <i>flavescens</i> n. s.	<i>Sendai</i> <sup>600</sup> / <sub>1</sub>
446. <i>Surirella lanceolato-cuspidata</i> n. s.	<i>Bodos</i> <sup>500</sup> / <sub>1</sub>
447. <i>Trinacria præcellens</i> n. s.	<i>Kusnetzk</i> <sup>500</sup> / <sub>1</sub>
448. <i>Triceratium cucullatum</i> Pant. var. <i>validior</i>	<i>Kusnetzk</i> <sup>600</sup> / <sub>1</sub>
449. <i>Campylodiscus Grunowii</i> n. s.	<i>Karma-Bremia</i> <sup>500</sup> / <sub>1</sub>
450. <i>Surirella fastuosa</i> E. var. <i>fossilis</i> Pant.	<i>Bory</i> <sup>832</sup> / <sub>1</sub>
451. <i>Asteromphalus Lóczyi</i> Pant.	<i>Karma-Bremia</i> <sup>500</sup> / <sub>1</sub>
452. <i>Auliscus Haradae</i> n. s.	<i>Sendai</i> <sup>600</sup> / <sub>1</sub>
453. <i>Auricula Grunowii</i> n. s.	<i>Nyermegy</i> <sup>600</sup> / <sub>1</sub>
454. <i>Auliscus Jimboi</i> n. s.	<i>Sendai</i> <sup>600</sup> / <sub>1</sub>



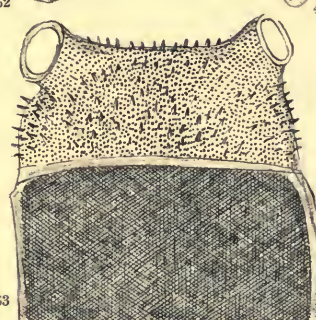
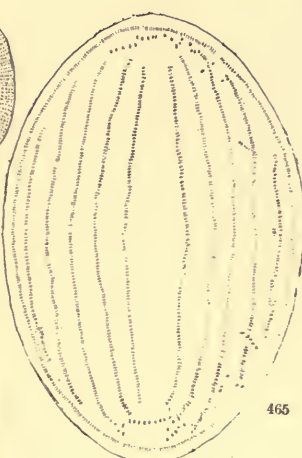
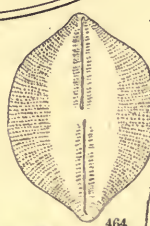
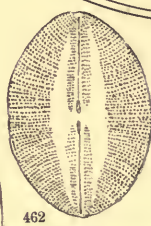
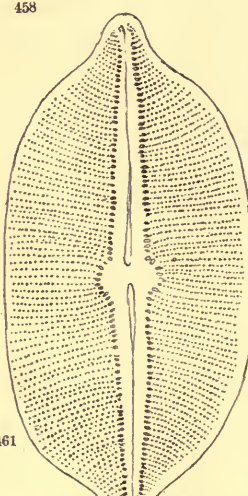
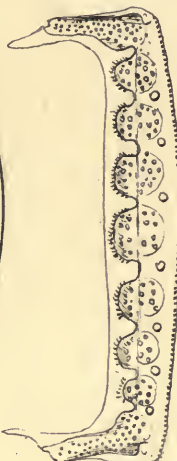
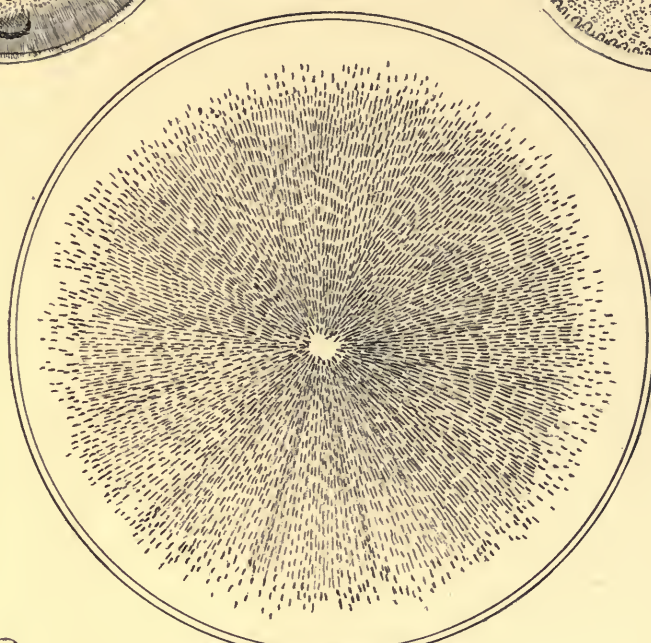
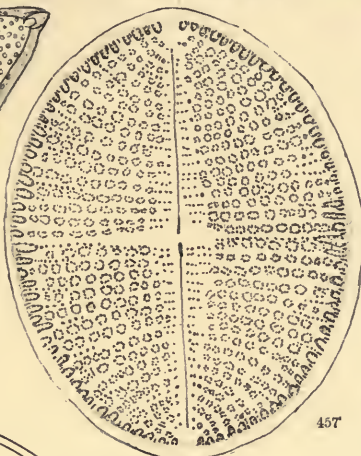
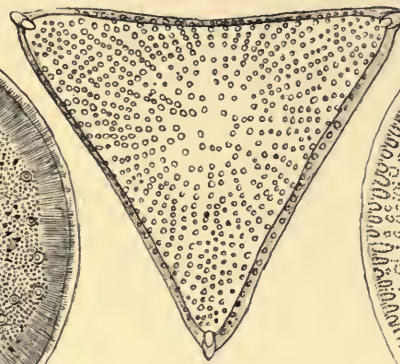
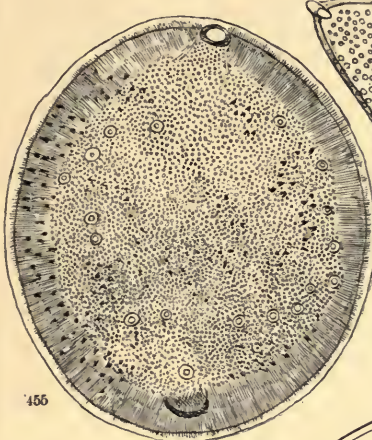




### Band III. Tafel XXXII.

---

455. <b>Cerataulus Peragalloi</b> n. s.	<i>Kavna-Bremia</i> $500/1$
456. <b>Trinacria antiqua</b> n. s.	<i>Kusnetzk</i> $500/1$
457. <b>Cocconeis formosa</b> Br.	<i>Wembets</i>
458. <b>Pyxilla directa</b> n. s.	<i>Nagy-Kürtös</i>
459. <b>Haynaldella antiqua</b> n. g. et spec.	<i>Bory</i>
460. <b>Hemiaulus Grunowii</b> n. s.	<i>Kusnetzk</i>
461. <b>Navicula latissima</b> Grg. var. <b>capitata</b> Pant.	<i>Bory</i>
462. <b>Navicula turgidula</b> n. s.	<i>Bory</i>
463. <b>Cerataulus boryanus</b> Pant.	<i>Bory</i>
464. <b>Navicula seriosa</b> n. s.	<i>Bory</i>
465. <b>Cocconeis pellucida</b> Grun. var. <b>fossilis</b> n. v.	<i>Nagy-Kürtös</i> $452/1$
	Vergrösserung $600/1$





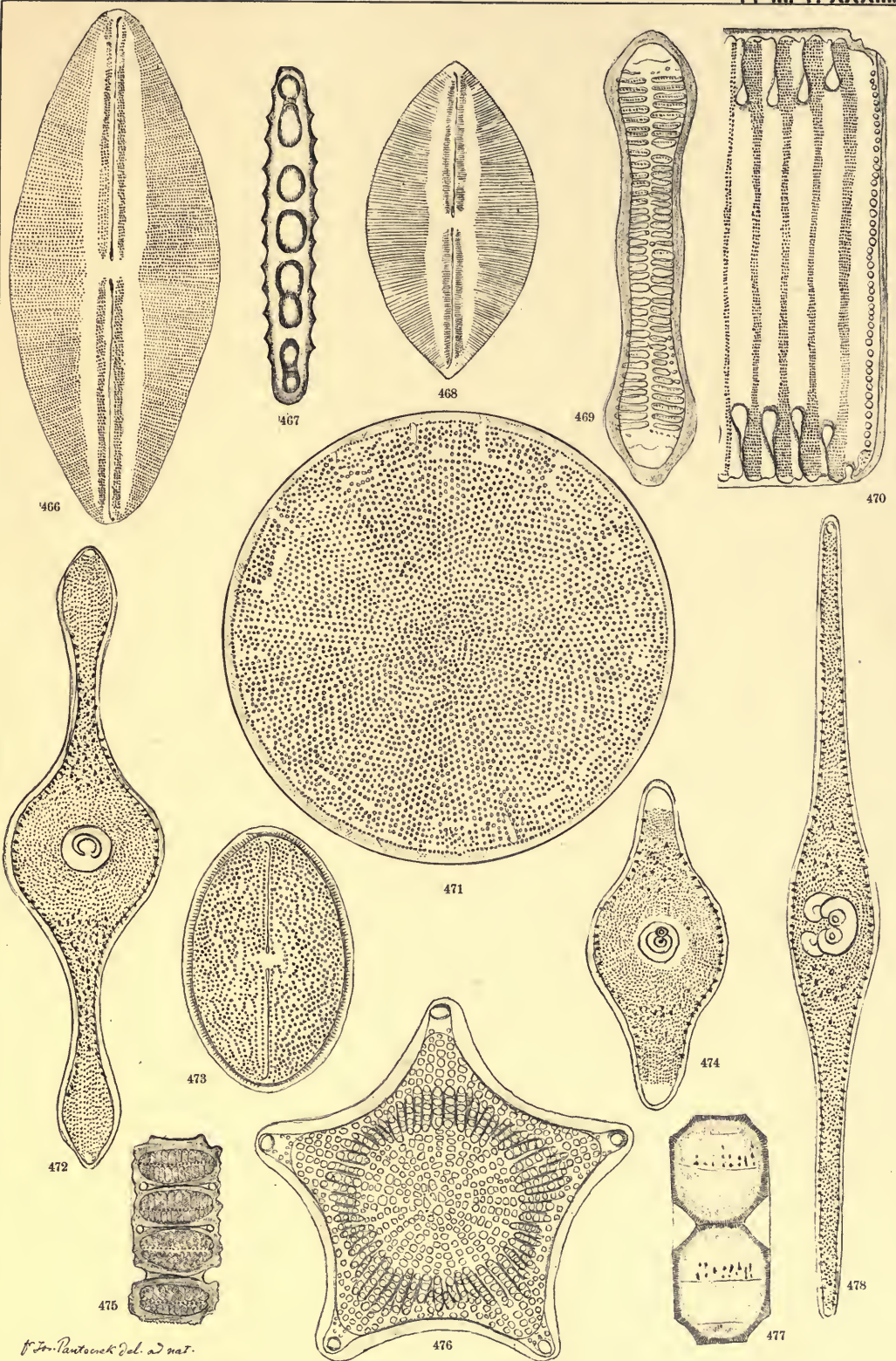


### Band III. Tafel XXXIII.

---

466. <i>Navicula Lyra</i> E. var. <i>producta</i> Pant.	<i>Nagy-Kürtös</i> $^{452}/_1$
467. <i>Rhabdonema formosum</i> Brun	<i>Abashiri</i>
468. <i>Navicula Lyra</i> E. var. <i>acuta</i> Pant.	<i>Nagy Kürtös</i> $^{452}/_1$
469, 470. <i>Rhabdonema Mikado</i> n. s.	<i>Thesiogori</i>
471. <i>Cosecinodiscus Peragalloi</i> n. s.	<i>Thesiogori</i> $^{600}/_1$
472. <i>Rutilaria capitata</i> Tp. Br.	<i>Thesiogori</i>
473. <i>Navicula Reusii</i> n. s.	<i>Thesiogori</i> $^{600}/_1$
474. <i>Rutilaria Kernerii</i> n. s.	<i>Thesiogori</i>
475. <i>Paralya Debyi</i> n. s.	<i>Bory</i>
476. <i>Triceratium boryanum</i> Pant.	<i>Bory</i> $^{600}/_1$
477. <i>Podosira constricta</i> n. s.	<i>Bory</i>
478. <i>Rutilaria longicornis</i> Tp. Br.	<i>Thesiogori</i>

Vergrösserung  $^{406}/_1$



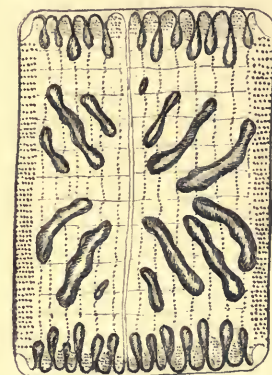
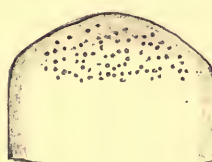
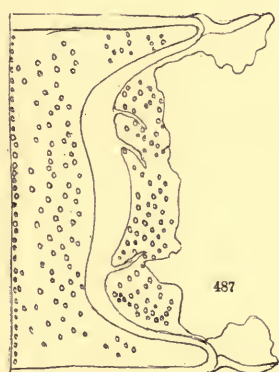
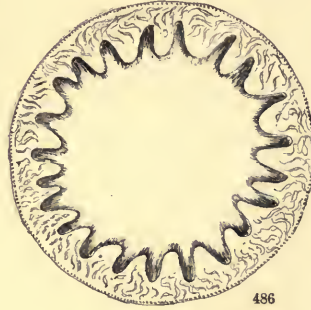
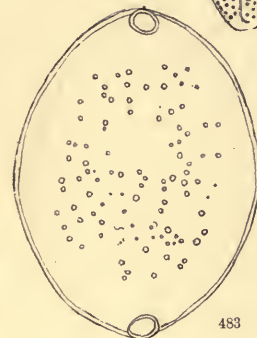
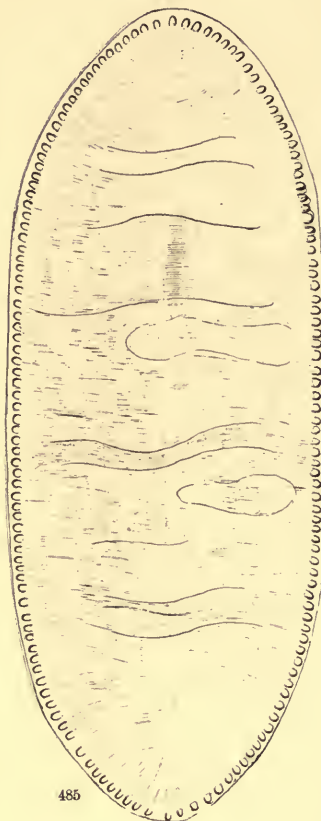
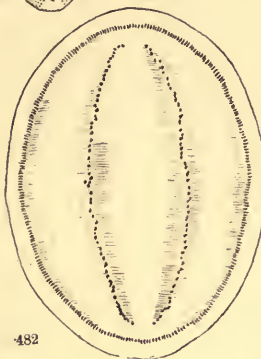
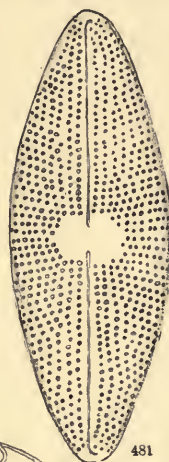
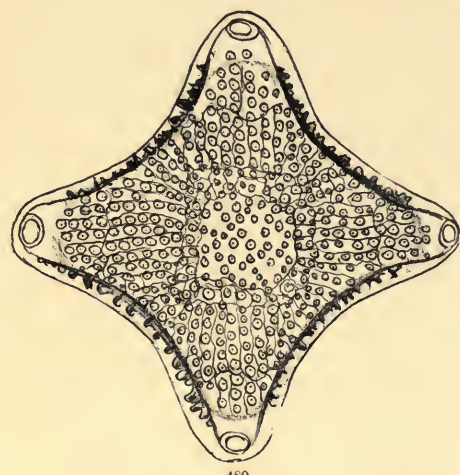
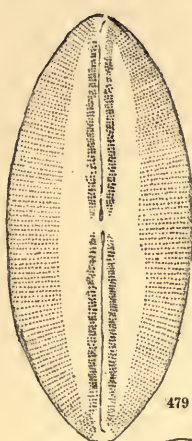




### Band III. Tafel XXXIV.

---

- |  |                                    |
|--|------------------------------------|
| 479. <i>Navicula Lyra</i> E. var. <i>hungarica</i> n. v.         | <i>Nagy-Kürtös</i> $\frac{452}{1}$ |
| 480. <i>Triceratium junctum</i> A. S. var. <i>fossilis</i> Pant. | <i>Bory</i> $\frac{600}{1}$        |
| 481. <i>Navicula confoederata</i> n. s.                          | <i>Richmond</i> $\frac{600}{1}$    |
| 482. <i>Cocconeis De Toniana</i> n. s.                           | <i>Nagy Kürtös</i> $\frac{452}{1}$ |
| 483. <i>Biddulphia crassiuscula</i> n. s.                        | <i>Kusnetzk</i> $\frac{600}{1}$    |
| 484. 488. <i>Ethmodiscus russicus</i> Pant.                      | <i>Kusnetzk</i> $\frac{500}{1}$    |
| 485. <i>Cymatopleura gigantea</i> n. s.                          | <i>Köpecz</i> $\frac{500}{1}$      |
| 486. <i>Pyrgodiscus Kinkerii</i> n. s.                           | <i>Mors</i> $\frac{600}{1}$        |
| 487. <i>Trinaeria hystrix</i> Pant. (sub. <i>Tricer.</i> )       | <i>Kusnetzk</i> $\frac{600}{1}$    |
| 489. <i>Rhabdonema formosum</i> Brun                             | <i>Abashiri</i> $\frac{500}{1}$    |



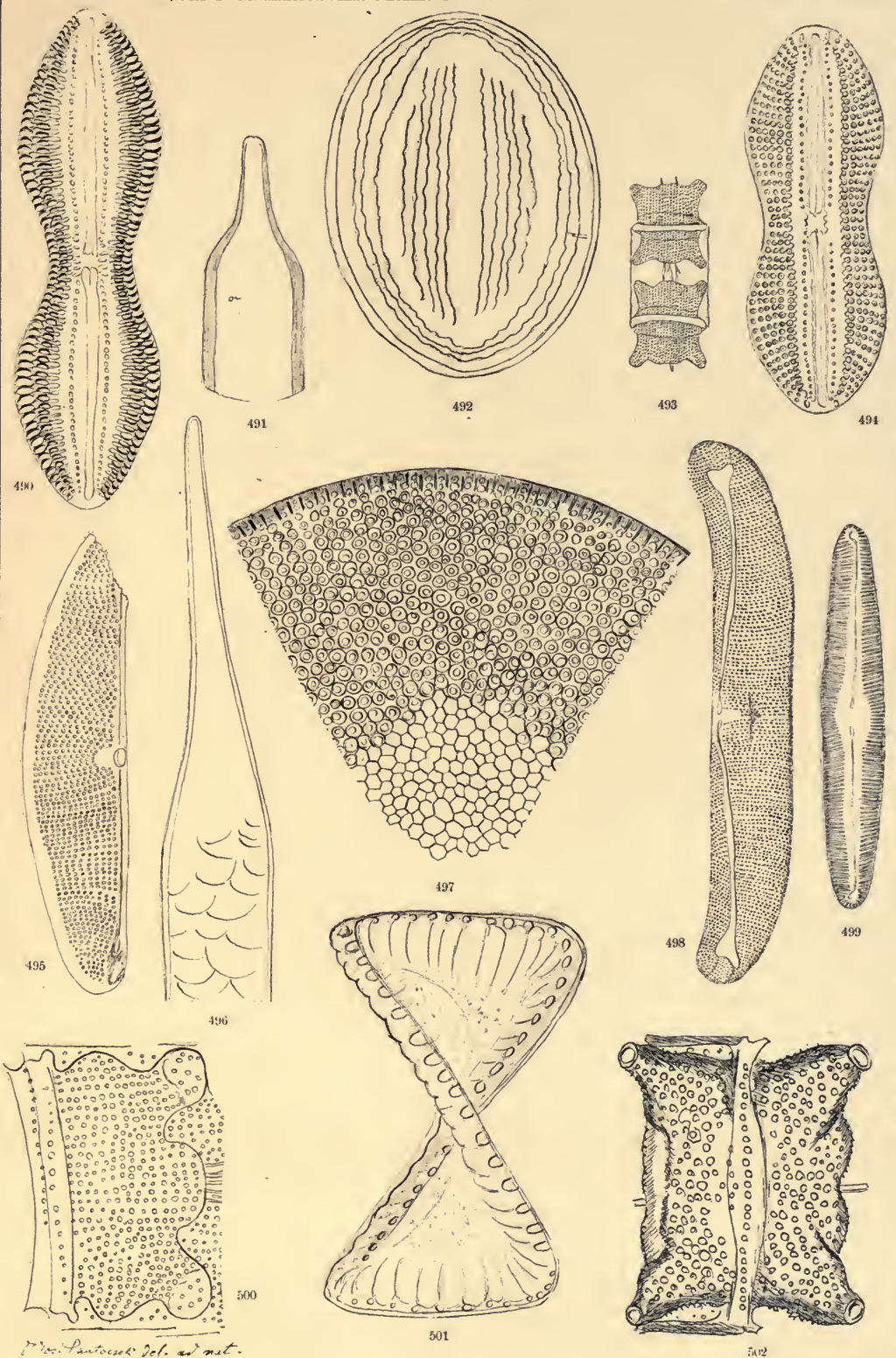




### Band III. Tafel XXXV.

---

- |  |                                |
|--|--------------------------------|
| 490. <b>Navicula Mantichora</b> n. s.                            | <i>Nagy-Kürtös</i> $^{452}/_1$ |
| 491. <b>Pyxilla carinifera</b> Grun. var. <b>russica</b> n. v.   | <i>Kusnetzk</i> $^{600}/_1$    |
| 492. <b>Cocconeis notabilis</b> n. s.                            | <i>Wembets</i> $^{600}/_1$     |
| 493. <b>Odontella pygmaea</b> n. s.                              | <i>Bory</i> $^{500}/_1$        |
| 494. <b>Navicula margaritata</b> n. s.                           | <i>Nagy-Kürtös</i> $^{600}/_1$ |
| 495. <b>Amphora sejuncta</b> n. s.                               | <i>Köpecz</i> $^{600}/_1$      |
| 496. <b>Rhizosolenia squamosa</b> n. s.                          | <i>Nyermegy</i> $^{600}/_1$    |
| 497. <b>Coscinodiscus Boeckhii</b> Pant.                         | <i>Bory</i> $^{600}/_1$        |
| 498. <b>Amphora Lunyacsekii</b> Pant.                            | <i>Nagy-Kürtös</i> $^{452}/_1$ |
| 499. <b>Navicula decumana</b> n. s.                              | <i>Köpecz</i> $^{500}/_1$      |
| 500. <b>Biddulphia permagna</b> Pant.                            | <i>Bory</i> $^{452}/_1$        |
| 501. <b>Campylodiscus contortus</b> n. s.                        | <i>Köpecz</i> $^{600}/_1$      |
| 502. <b>Triceratium junctum</b> A. S. var. <b>fossilis</b> Pant. | <i>Bory</i> $^{600}/_1$        |



*Dr. Pantocsek del. ad nat.*

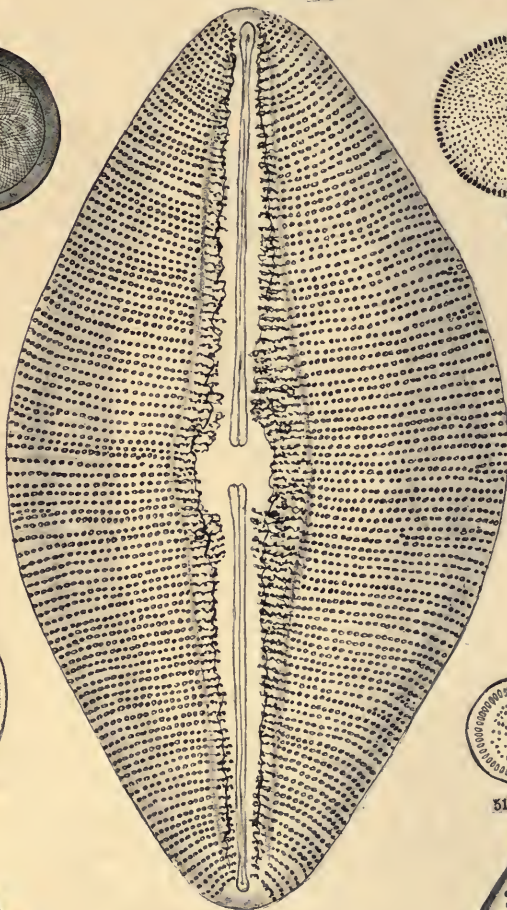
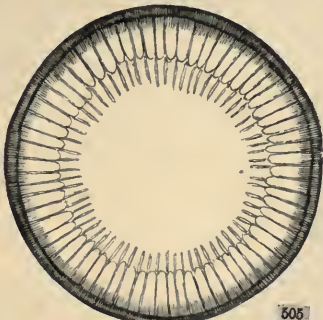
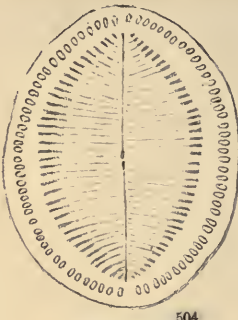
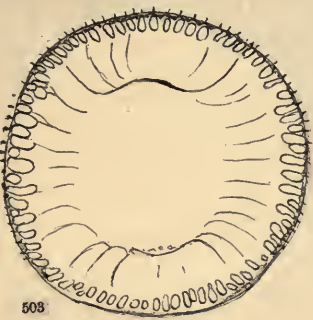




### Band III. Tafel XXXVI.

503. <i>Campylodiscus szakalensis</i> n. s.	<i>Szakal</i>
504. <i>Cocconeis Pethöi</i> n. s.	<i>Borostelek</i> $\frac{500}{1}$
505. <i>Melosira Peragalloii</i> n. s.	<i>Szakal</i>
506. <i>Podosira constricta</i> n. s. lat. valv.	<i>Bory</i> $\frac{500}{1}$
507. <i>Cyclotella radiato-punctata</i> n. s.	<i>Köpecz</i>
508. <i>Berkeleya neogradensis</i> n. s.	<i>Szelcz</i>
509. <i>Cocconeis dubravicensis</i> n. s.	<i>Dubravica</i>
510. <i>Navicula pervasta</i> n. s.	<i>Izsopallaga-Serges</i> $\frac{500}{1}$
511. <i>Cyclotella transylvanica</i> n. s. var. <i>disseminata-punctata</i> n. v.	<i>Köpecz</i>
512. <i>Cymbella praeclara</i> n. s.	<i>Köpecz</i>
513. <i>Triceratium Staubii</i> n. s.	<i>Szakal</i>
514. <i>Triceratium antipodum</i> n. s.	<i>Oamaru</i>
515. <i>Triceratium De Tonii</i> n. s.	<i>Szakal</i>

Vergrösserung  $\frac{600}{1}$

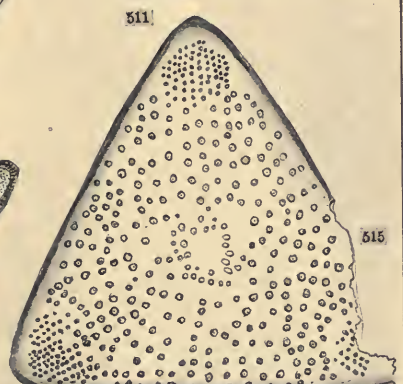
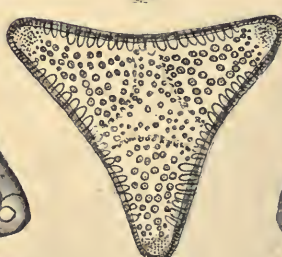
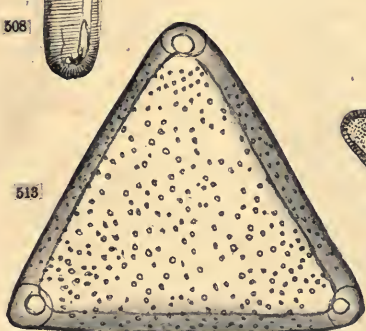


508

511

512

515





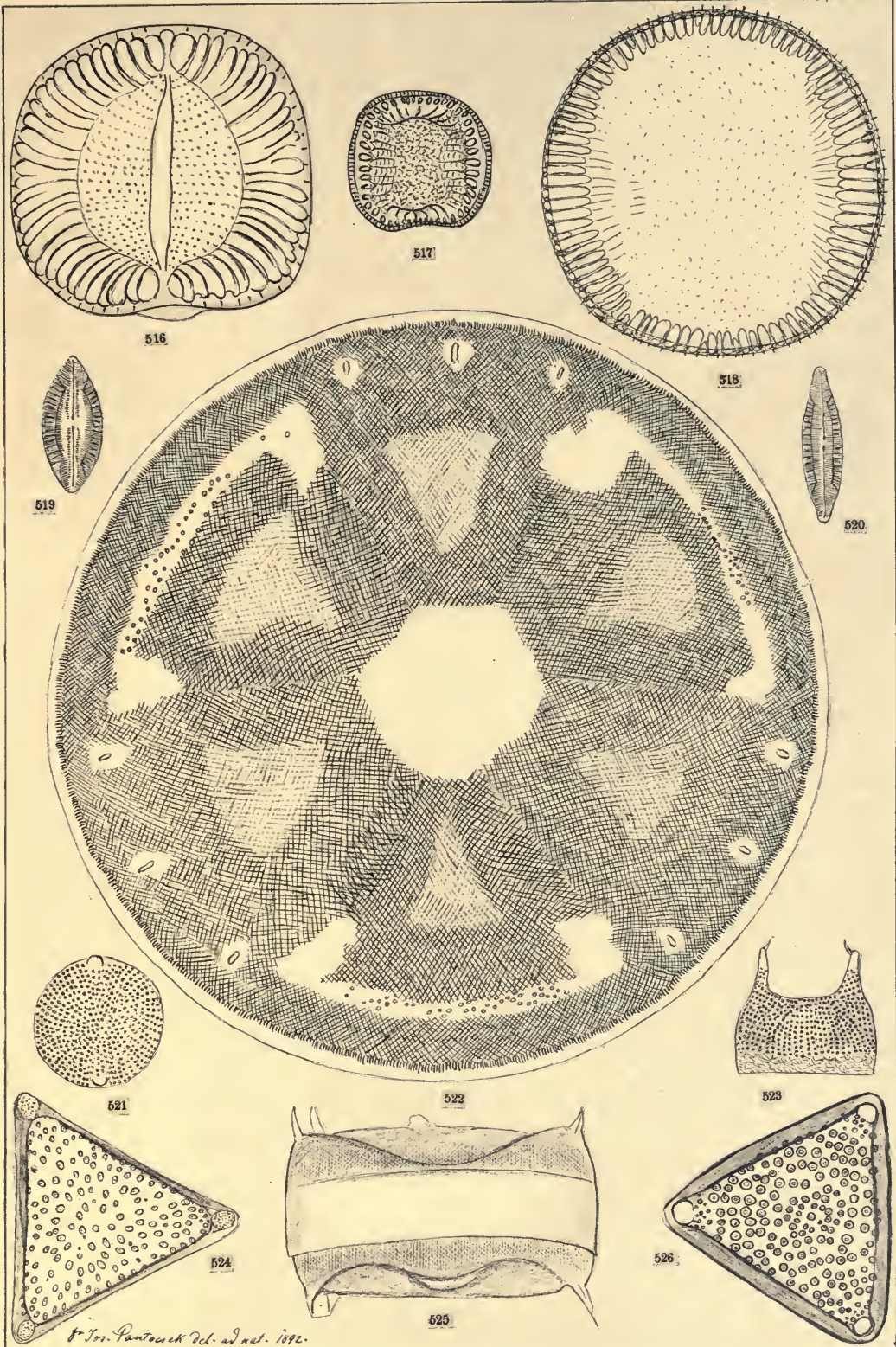


### Band III. Tafel XXXVII.

---

516. <i>Campylodiscus crassus</i> n. s.	<i>Káránd</i>
517. <i>Campylodiscus squamosus</i> n. s.	<i>Borostelek</i> $500/1$
518. <i>Campylodiscus neogradensis</i> n. s.	<i>Szakal</i>
519. <i>Mastogloia Pethői</i> n. s.	<i>Káránd</i>
520. <i>Mastogloia Smithii</i> Thwait.	<i>Káránd</i>
521, 523. <i>Hemiaulus rostratus</i> n. s.	<i>Káránd</i>
522. <i>Actinoptychus Imperator</i> n. s.	<i>S. Redondo Calif.</i>
524. <i>Triceratium biharensse</i> n. s.	<i>Borostelek</i>
525. <i>Anisodiscus Pantocsekii</i> Grun.	<i>Szelcz</i> $832/1$
526. <i>Triceratium caducum</i> n. s.	<i>Kusnetzk</i> $500/1$

Vergrösserung  $500/1$





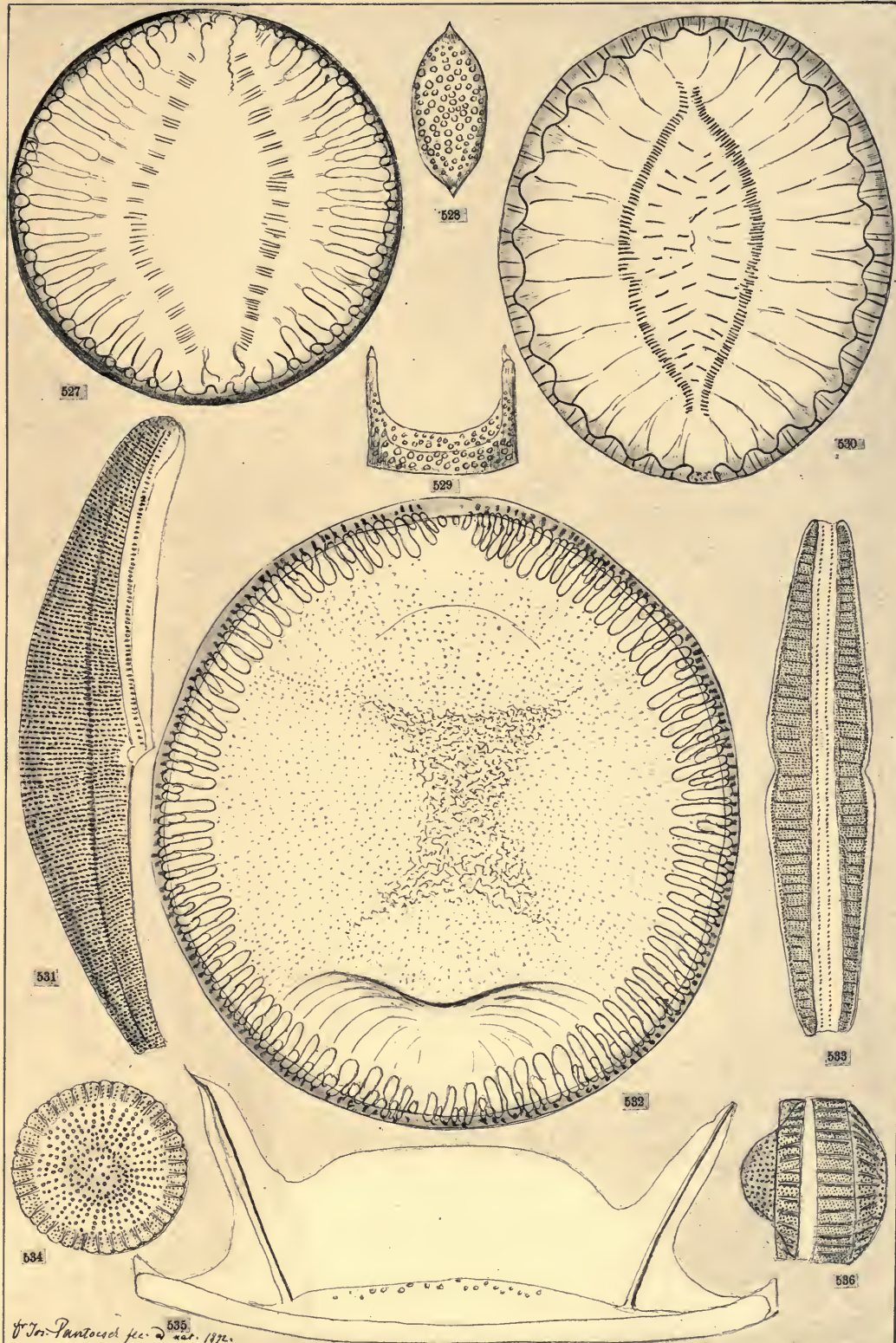


### Band III. Tafel XXXVIII.

---

527. <i>Surirella Toulaae</i> n. s.	<i>Baldjik</i> <small>500/1</small>
528, 529. <i>Hemiaulcus biharensis</i> n. s.	<i>Borostelek</i>
530. <i>Surirella subfastuosa</i> n. s.	<i>Káránd</i>
531. <i>Amphora boryana</i> Pant.	<i>Bory</i> <small>452/1</small>
532. <i>Campylodiscus dilatatus</i> n. s.	<i>Káránd</i>
533. <i>Epithemia incisa</i> n. s.	<i>Káránd</i>
534, 536. <i>Stictodiscus hungaricus</i> n. s.	<i>Káránd</i>
535. <i>Odontotropis vitrea</i> n. s.	<i>Szakal</i>

Vergrösserung 600/1





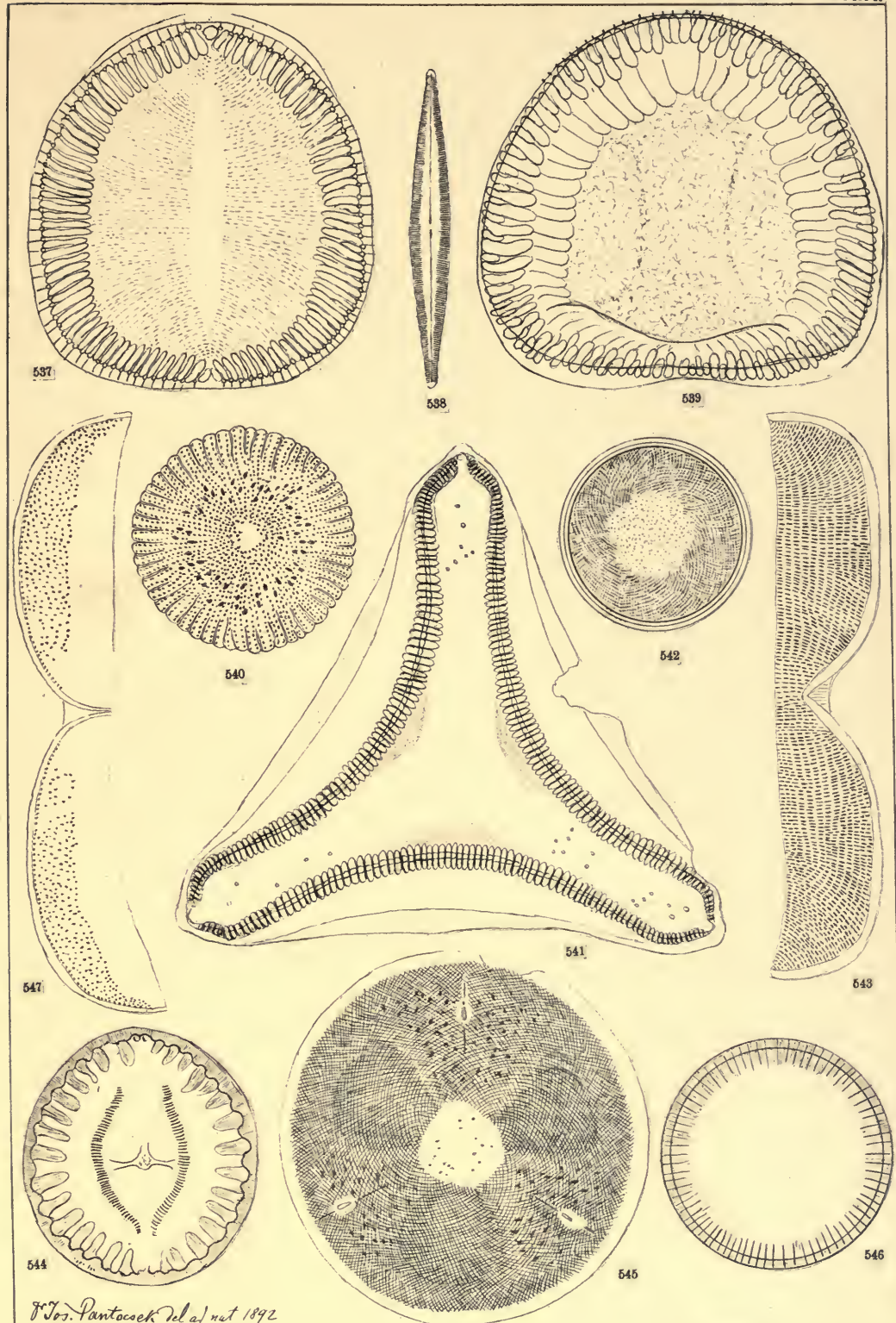


### Band III. Tafel XXXIX.

---

537. <i>Campylodiscus Bergonii</i> n. s.	<i>Nyermegy</i>
538. <i>Navicula filiformis</i> n. s.	<i>Nyermegy</i> $^{500/1}$
539. <i>Campylodiscus reticulatus</i> n. s.	<i>Borostelek</i>
540. <i>Stictodiscus Szontaghii</i> n. s.	<i>Izsopallaga-Serges</i>
541. <i>Trinaeria Muellerii</i> n. s.	<i>Oamaru</i>
542. <i>Podosira transylvanica</i> n. s.	<i>Köpecz</i> $^{832/1}$
543. <i>Amphiprora striata</i> n. s.	<i>Nyermegy</i>
544. <i>Surirella signata</i> n. s.	<i>Borostelek</i>
545. <i>Actinoptechus maculosus</i> n. s.	<i>Oamaru</i>
546. <i>Melosira arenaria</i> More var. <i>hungarica</i> n. v.	<i>Bory</i> $^{500/1}$
547. <i>Amphiprora punctata</i> n. s.	<i>Nyermegy</i>

Vergrösserung  $^{600/1}$



J. J. Pantocsek del ad nat 1892



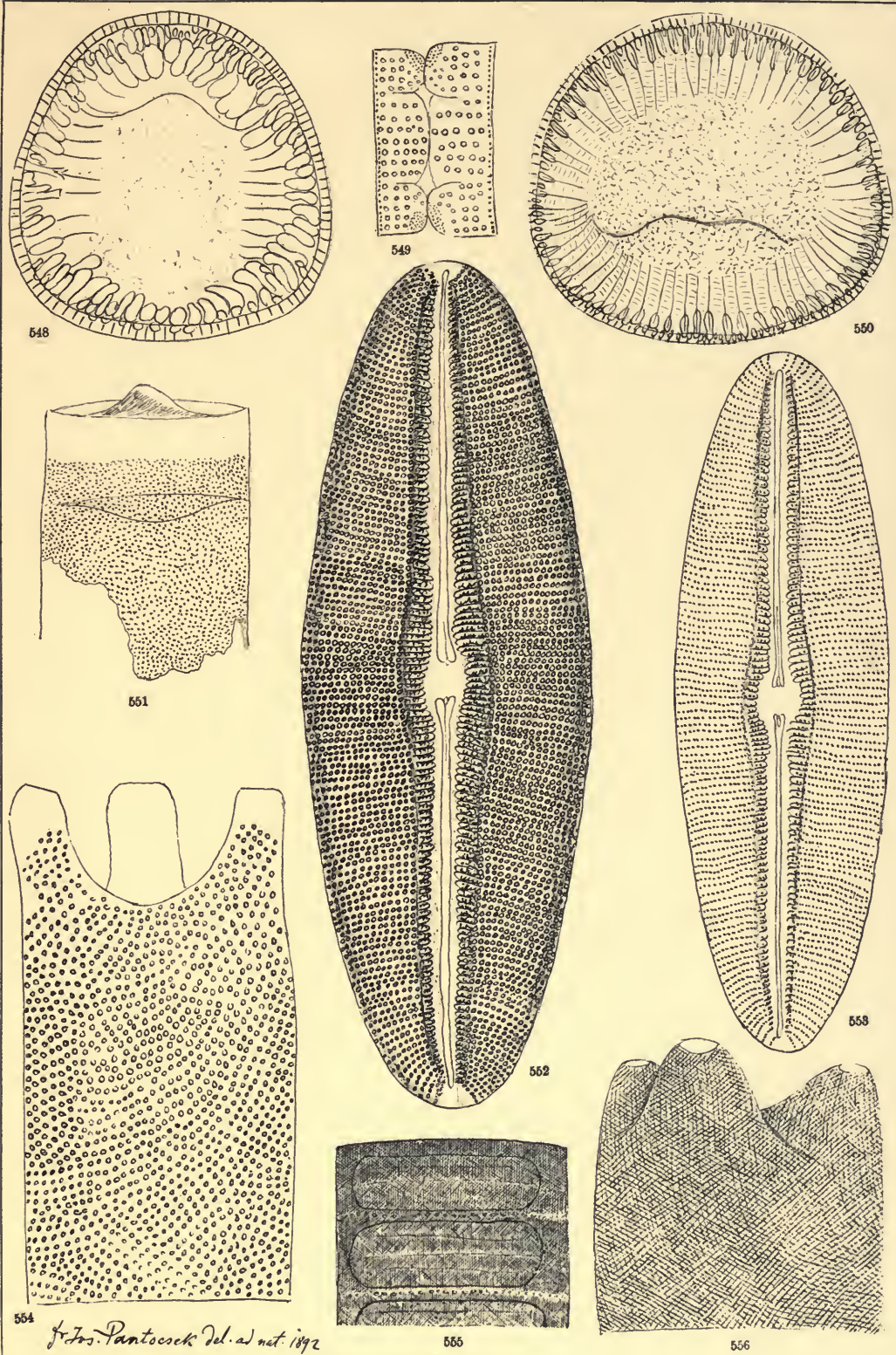


### Band III. Tafel XL.

---

548. <i>Campylodiscus bremianus</i> n. s.	<i>Kavna-Bremia</i>
549. <i>Triceratium biharensis</i> n. s. lat. con.	<i>Borostelek</i>
550. <i>Campylodiscus boryanus</i> n. s.	<i>Bory</i> $^{500/1}$
551. <i>Pyxilla vasta</i> n. s.	<i>Szakal</i>
552. <i>Navicula nigricans</i> n. s.	<i>Bory</i>
553. <i>Navicula subfuscata</i> n. s.	<i>Izsopallaga-Serges</i> $^{500/1}$
554. <i>Triceratium elatum</i> n. s.	<i>Káránd</i>
555. <i>Melosira arenaria</i> More var. <i>hungarica</i> n. v.	<i>Bory</i> $^{500/1}$
556. <i>Triceratium vastum</i> n. s.	<i>Borostelek</i>

Vergrösserung  $^{600/1}$



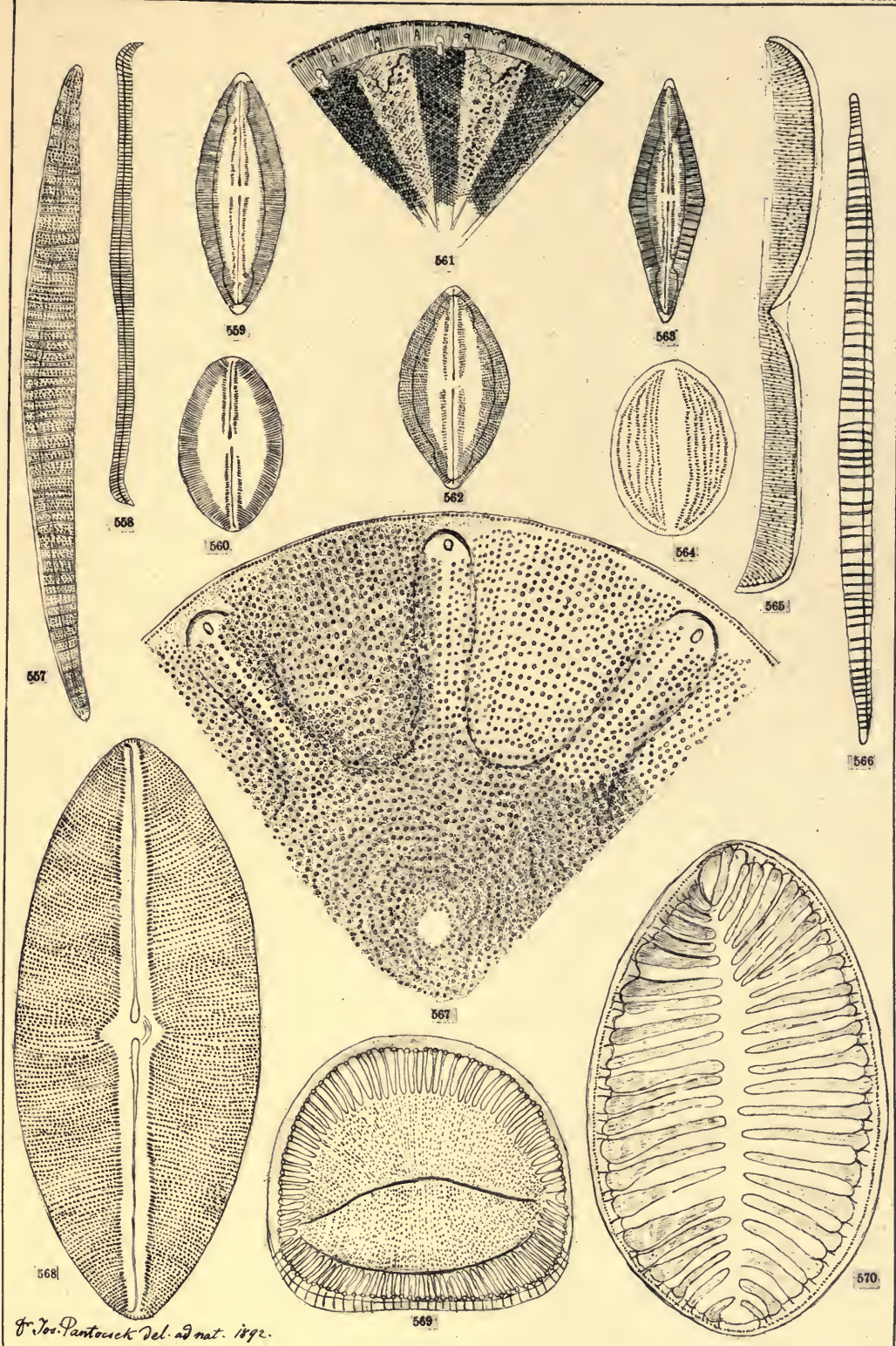




### Band III. Tafel XLI.

557. <i>Epithemia tertaria</i> n. s.	<i>Nyermegy</i>
558. <i>Epithemia gibba</i> (E.) Kg. var. <i>boryana</i> Pant.	<i>Bory</i> <sup>332/1</sup>
559. <i>Mastogloia neogena</i> n. s.	<i>Nyermegy</i>
560. <i>Navicula perennis</i> n. s.	<i>Nyermegy</i>
561. <i>Actinoptychus californicus</i> n. s.	<i>Sct. Monica</i>
562. <i>Mastogloia Kinkerii</i> n. s.	<i>Nyermegy</i>
563. <i>Mastogloia rhomboidalis</i> n. s.	<i>Nyermegy</i>
564. <i>Cocconeis Lunyacekii</i> n. s.	<i>Nagy-Kürtös</i> <sup>452/1</sup>
565. <i>Amphiprora Pethői</i> n. s.	<i>Káránd</i>
566. <i>Nitzschia costata</i> n. s.	<i>Nyermegy</i>
567. <i>Aulacodiscus Jimboi</i>	<i>Sendai</i> <sup>500/1</sup>
568. <i>Navicula latissima</i> Greg.	<i>Bory</i>
569. <i>Campylodiscus Bergonii</i> n. s.	<i>Nyermegy</i>
570. <i>Surirella tortquata</i> n. s.	<i>Káránd</i>

Vergrösserung <sup>600/1</sup>







### Band III. Tafel XLII.

---

571. <i>Navicula Kinkeriana</i> n. s.	<i>Neapel</i>
572. <i>Epithemia Pethöi</i> Pant.	<i>Bory</i>
573. <i>Actinocyclus neogradensis</i> n. s.	<i>Szelcz</i> <sup>832/1</sup>
574. <i>Triceratium Pileus</i> E. var. <i>robustior</i> Pant.	<i>Bory</i>
575. <i>Navicula Trevelyanana</i> Donk. var. <i>hungarica</i> n. v.	<i>Nyermegy</i> <sup>500/1</sup>
576. <i>Surirella Clementis</i> Grun.	<i>Dubravica</i>
577. <i>Amphiprora biharensis</i> n. s.	<i>Nyermegy</i>
578. <i>Navicula Egeria</i> n. s.	<i>Kavna-Bremia</i>
579. <i>Navicula duplex</i> n. s.	<i>Neapel</i>
580. <i>Navicula Orphei</i> n. s.	<i>Nyermegy</i>
581. <i>Pleurosigma biharensse</i> n. s.	<i>Káránd</i>
582. <i>Cocconeis trachytica</i> n. s.	<i>Wembets</i>
583. <i>Clavieula Jimboi</i> n. s.	<i>Abashiri</i> <sup>832/1</sup>
584. <i>Cymbella Peragalloi</i> n. s.	<i>Köpecz</i>

Vergrösserung <sup>600/1</sup>



